Évaluation de quelques gisements de mye commune (*Mya arenaria*) de la rive sud de l'estuaire du Saint-Laurent en 2005 et 2006

Michel Giguère, Sylvie Brulotte et Frédéric Hartog

Direction régionale des sciences
Ministère des Pêches et des Océans
Institut Maurice-Lamontagne
850 route de la Mer, C. P. 1000
Mont-Joli, Québec, G5H 3Z4

2007

Rapport technique canadien des sciences halieutiques et aquatiques 2738

Pêches et Océans Canada | Fisheries and Oceans Canada

Canada

Rapport technique canadien des sciences halieutiques et aquatiques

Les rapports techniques contiennent des renseignements scientifiques et techniques qui constituent une contribution aux connaissances actuelles, mais qui ne sont pas normalement appropriés pour la publication dans un journal scientifique. Les rapports techniques sont destinés essentiellement à un public international et ils sont distribués à cet échelon. Il n'y a aucune restriction quant au sujet; de fait, la série reflète la vaste gamme des intérêts et des politiques du ministère des Pêches et des Océans, c'est-à-dire les sciences halieutiques et aquatiques.

Les rapports techniques peuvent être cités comme des publications intégrales. Le titre exact paraît au-dessus du résumé de chaque rapport. Les rapports techniques sont indexés dans la base de données *Aquatic Sciences and Fisheries Abstracts*.

Les numéros 1 à 456 de cette série ont été publiés à titre de rapports techniques de l'Office des recherches sur les pêcheries du Canada. Les numéros 457 à 714 sont parus à titre de rapports techniques de la Direction générale de la recherche et du développement, Service des pêches et de la mer, ministère de l'Environnement. Les numéros 715 à 924 ont été publiés à titre de rapports techniques du Service des pêches et de la mer, ministère des Pêches et de l'Environnement. Le nom actuel de la série a été établi lors de la parution du numéro 925.

Les rapports techniques sont produits à l'échelon régional, mais numérotés à l'échelon national. Les demandes de rapports seront satisfaites par l'établissement d'origine dont le nom figure sur la couverture et la page du titre. Les rapports épuisés seront fournis contre rétribution par des agents commerciaux.

Canadian Technical Report of Fisheries and Aquatic Sciences

Technical reports contain scientific and technical information that contribute to existing knowledge but that are not normally appropriate for primary literature. Technical reports are directed primarily toward a worldwide audience and have an international distribution. No restriction is placed on subject matter, and the series reflects the broad interests and policies of the Department of Fisheries and Oceans, namely, fisheries and aquatic sciences.

Technical reports may be cited as full publications. The correct citation appears above the abstract of each report. Each report is indexed in the data base *Aquatic Sciences and Fisheries Abstracts*.

Numbers 1-456 in this series were issued as Technical Reports of the Fisheries Research Board of Canada. Numbers 457-714 were issued as Department of the Environment, Fisheries and Marine Service, Research and Development Directorate Technical Reports. Numbers 715-924 were issued as Department of Fisheries and the Environment, Fisheries and Marine Service Technical Reports. The current series name was changed with report number 925.

Technical reports are produced regionally but are numbered nationally. Requests for individual reports will be filled by the issuing establishment listed on the front cover and title page. Out-of-stock reports will be supplied for a fee by commercial agents.

2008-02591/

Rapport technique canadien
des sciences halieutiques et aquatiques 2738

2007

Évaluation de quelques gisements de mye commune (*Mya arenaria*) de la rive sud de l'estuaire du Saint-Laurent en 2005 et 2006

Michel Giguère, Sylvie Brulotte et Frédéric Hartog

Direction régionale des sciences
Ministère des Pêches et des Océans
Institut Maurice-Lamontagne
850 route de la Mer, C. P. 1000
Mont-Joli, Québec, G5H 3Z4

© Sa Majesté la Reine du Chef du Canada, 2007
No de cat. Fs 97-6/2738F ISSN 0706-6570

On devra citer la publication comme suit :

Giguère, M., S. Brulotte et F. Hartog. 2007. Évaluation de quelques gisements de mye commune (*Mya arenaria*) de la rive sud de l'estuaire du Saint-Laurent en 2005 et 2006. Rapp. tech. can. sci. halieut. aquat. 2738 : xi + 107 p.

TABLE DES MATIÈRES

Liste des Tableaux v

Liste des Figures vi

Liste des Cartes vii

Liste des Annexes ix

Résumé x

Abstract xi

1 Introduction 1

2 Matériel et méthodes 4

2.1 Description sommaire de la zone d'étude 4

2.2 Relevés 2005 5

2.3 Relevés 2006 6

2.3.1 Sédiments et granulométrie 7

2.3.2 Altimétrie 7

2.3.3 Échantillonnage biologique 8

2.4 Croissance et relations allométriques 8

2.5 Traitement des données 9

3 Résultats et discussion 10

3.1 Relevés 2005 10

3.1.1 Kamouraska 10

3.1.2 Anse au Persil 12

3.1.3 Île Verte 13

3.1.4 Batture de Tobin 13

3.1.5 Îlets D'Amours 13

3.1.6 Pointe des Riou 14

3.1.7 Baie du Ha! Ha! 14

3.1.8 Baie Hâtée 15

3.1.9 Rimouski 15

3.1.10 Anse aux Coques 16

3.1.11 Baie Mitis 16

3.1.12 Anse du Petit Mitis 17

3.1.13 Petits-Méchins 17

3.1.14 Capucins 17

3.2 Relevés 2006 18
3.2.1 Pointe des Riou 18
3.2.2 Rimouski 20
3.2.3 Capucins 23
3.3 Croissance et relations allométriques 25
4 Discussion générale 28
5 Remerciements 34
6 Références 34

LISTE DES TABLEAUX

Tableau 1. Date d'échantillonnage, distance entre les transects et les stations et nombre de stations par site échantillonné en 2005. 6

Tableau 2. Période d'échantillonnage, distance entre les transects et les stations et nombre de stations par site échantillonné en 2006. 6

Tableau 3. Classification des sédiments meubles utilisée lors des relevés de 2005 et 2006, selon leur teneur (%) en argile, sable, gravier et galet. 7

Tableau 4. Période de croissance, localisation des parcelles expérimentales et nombre de myes communes (*Mya arenaria*) utilisées par site échantillonné en 2006. 8

Tableau 5. Superficie, sédiments dominants et fréquence du macrobenthos (Mye = *Mya arenaria*, Mac = *Macoma balthica*, Mes = *Mesodesma arctatum*, Myt = *Mytilus edulis*, Pol = Polychaeta) et de la zostère marine (Zos = *Zostera marina*) par site échantillonné en 2005. 11

Tableau 6. Nombre de stations, superficie et densités moyenne (± erreur-type) et maximale des myes communes (*Mya arenaria*) par gisement échantillonné en 2005. 12

Tableau 7. Fréquence et densité moyenne (± erreur-type) du macrobenthos et de la zostère marine au site Pointe des Riou en 2006. 19

Tableau 8. Densités moyenne (± erreur-type) et maximale, abondance, rendements moyen (± erreur-type) et maximal et biomasse des myes communes (*Mya arenaria*) par catégorie de tailles sur le gisement de Pointe des Riou en 2006. 20

Tableau 9. Fréquence et densité moyenne (± erreur-type) du macrobenthos et de la zostère marine au site Rimouski en 2006. 21

Tableau 10. Densités moyenne (± erreur-type) et maximale, abondance, rendements moyen (± erreur-type) et maximal et biomasse des myes communes (*Mya arenaria*) par catégorie de tailles sur le gisement de Rimouski en 2006. 22

Tableau 11. Fréquence et densité moyenne (± erreur-type) du macrobenthos et de la zostère marine au site Capucins en 2006. 24

Tableau 12. Densités moyenne (± erreur-type) et maximale, abondance, rendements moyen (± erreur-type) et maximal et biomasse des myes communes (*Mya arenaria*) par catégorie de tailles sur le gisement de Capucins en 2006. 25

Tableau 13. Nombre de myes récupérées, taux de récupération, longueurs moyennes initiale et finale et accroissement moyen pour la période d'avril à septembre 2006 aux sites Pointe des Riou, Rimouski et Capucins. 26

Tableau 14. Exposition au vent et type de sédiments dominants par site échantillonné en 2005 et 2006. 30

LISTE DES FIGURES

Figure 1. Débarquements commerciaux de la mye commune (*Mya arenaria*) par région maritime du Québec. 1

Figure 2. Nombre de stations par classe de densités des myes communes (*Mya arenaria*) de taille ≥ 11 mm sur le gisement de Pointe des Riou en 2006. 19

Figure 3. Nombre de stations par classe de densités des myes communes (*Mya arenaria*) de taille ≥ 11 mm sur le gisement de Rimouski en 2006. 22

Figure 4. Nombre de stations par classe de densités des myes communes (*Mya arenaria*) de taille ≥ 11 mm sur le gisement de Capucins en 2006. 24

Figure 5. Relations allométriques entre la largeur (A), l'épaisseur (B), le poids entier humide (C), le poids des coquilles sèches (D) et le poids des viscères secs (E) et la longueur des myes communes (*Mya arenaria*) échantillonnées à Pointe des Riou, Rimouski et Capucins en 2006. 27

Figure 6. Superficie des gisements (A), longueurs moyenne (myes ≥ 11 mm), minimale et maximale (B) et densité moyenne (± erreur-type) par catégorie de tailles (C), des myes communes (*Mya arenaria*) par gisement échantillonné en 2005 et 2006. 29

LISTE DES CARTES

Carte 1a. Secteurs coquilliers et sites inventoriés en 2005 et 2006, portion Kamouraska (K-01) à Rimouski (B-04.1)..... 39

Carte 1b. Secteurs coquilliers et sites inventoriés en 2005 et 2006, portion Rimouski (B-04.1) à Capucins (B-10.1)..... 40

Carte 2a. Localisation des stations et type de sédiments au site Kamouraska en 2005..... 41

Carte 2b. Densité par station et structure de taille des myes communes (*Mya arenaria*) au site Kamouraska en 2005..... 42

Carte 3a. Localisation des stations et type de sédiments au site Anse au Persil en 2005..... 43

Carte 3b. Densité par station et structure de taille des myes communes (*Mya arenaria*) au site Anse au Persil en 2005..... 44

Carte 4a. Localisation des stations et type de sédiments au site Île Verte en 2005..... 45

Carte 4b. Densité par station et structure de taille des myes communes (*Mya arenaria*) au site Île Verte en 2005..... 46

Carte 5a. Localisation des stations et type de sédiments au site Batture de Tobin en 2005..... 47

Carte 5b. Densité par station et structure de taille des myes communes (*Mya arenaria*) au site Batture de Tobin en 2005..... 48

Carte 6a. Localisation des stations et type de sédiments aux sites Îlets D'Amours et Pointe des Riou en 2005..... 49

Carte 6b. Densité par station et structure de taille des myes communes (*Mya arenaria*) aux sites Îlets D'Amours et Pointe des Riou en 2005..... 50

Carte 7a. Localisation des stations et type de sédiments au site Baie du Ha! Ha! en 2005..... 51

Carte 7b. Densité par station et structure de taille des myes communes (*Mya arenaria*) au site Baie du Ha! Ha! en 2005..... 52

Carte 8a. Localisation des stations et type de sédiments au site Baie Hâtée en 2005..... 53

Carte 8b. Densité par station et structure de taille des myes communes (*Mya arenaria*) au site Baie Hâtée en 2005..... 54

Carte 9a. Localisation des stations et type de sédiments au site Rimouski en 2005..... 55

Carte 9b. Densité par station et structure de taille des myes communes (*Mya arenaria*) au site Rimouski en 2005..... 56

Carte 10a. Localisation des stations et type de sédiments au site Anse aux Coques en 2005..... 57

Carte 10b. Densité par station et structure de taille des myes communes (*Mya arenaria*) au site Anse aux Coques en 2005..... 58

Carte 11a. Localisation des stations et type de sédiments au site Baie Mitis en 2005..... 59

Carte 11b. Densité par station et structure de taille des myes communes (*Mya arenaria*) au site Baie Mitis en 2005..... 60

Carte 12a. Localisation des stations et type de sédiments au site Anse du Petit Mitis en 2005. 61

Carte 12b. Densité par station et structure de taille des myes communes (*Mya arenaria*) au site Anse du Petit Mitis en 2005. 62

Carte 13a. Localisation des stations et type de sédiments au site Petits-Méchins en 2005. 63

Carte 14a. Localisation des stations et type de sédiments au site Capucins en 2005. 64

Carte 14b. Densité par station et structure de taille des myes communes (*Mya arenaria*) au site Capucins en 2005. 65

Carte 15a. Localisation des stations et type de sédiments au site Pointe des Riou en 2006 66

Carte 15b. Densité par station et structure de taille des myes communes (*Mya arenaria*) au site Pointe des Riou en 2006. 67

Carte 15c. Rendement par station des myes communes (*Mya arenaria*) au site Pointe des Riou en 2006. 68

Carte 16a. Localisation des stations et type de sédiments au site Rimouski en 2006. 69

Carte 16b. Altimétrie au site Rimouski en 2006. 70

Carte 16c. Densité par station et structure de taille des myes communes (*Mya arenaria*) au site Rimouski en 2006. 71

Carte 16d. Rendement par station des myes communes (*Mya arenaria*) au site Rimouski en 2006. 72

Carte 17a. Localisation des stations et type de sédiments au site Capucins en 2006. 73

Carte 17b. Altimétrie au site Capucins en 2006. 74

Carte 17c. Densité par station et structure de taille des myes communes (*Mya arenaria*) au site Capucins en 2006. 75

Carte 17d. Rendement par station des myes communes (*Mya arenaria*) au site Capucins en 2006. 76

LISTE DES ANNEXES

Annexe 1. Liste des secteurs coquilliers (nom et numéro) et parcs aquicoles, classification de 2006 selon le Programme canadien de contrôle de la salubrité des mollusques, région administrative et nom utilisé pour les sites échantillonnés en 2005 et 2006..... 77

Annexe 2. Résultats détaillés des relevés 2005 sur la rive sud de l'estuaire du Saint-Laurent.... 79

Annexe 3. Résultats détaillés des relevés 2006 sur la rive sud de l'estuaire du Saint-Laurent.... 93

Annexe 4. Paramètres des relations allométriques linéaires entre différentes variables et la longueur pour les myes communes (*Mya arenaria*) par gisement échantillonné en 2006 et valeur estimée de chaque variable dépendante pour une mye de 51 mm..... 104

Annexe 5. Superficie, densité (± erreur-type) des myes communes (*Mya arenaria*) par catégorie de tailles des gisements du Québec inventoriés entre 2001 et 2005..... 105

Annexe 6. Historique des informations relatives aux différents gisements de mye commune (*Mya arenaria*) de la rive sud de l'estuaire du Saint-Laurent. 106

RÉSUMÉ

Giguère, M., S. Brulotte et F. Hartog. 2007. Évaluation de quelques gisements de mye commune (*Mya arenaria*) de la rive sud de l'estuaire du Saint-Laurent en 2005 et 2006. Rapp. tech. can. sci. halieut. aquat. 2738 : xi + 107 p.

En 2005 et 2006, un peu plus de 19 km^2 de batture ont été inventoriés sur la rive sud de l'estuaire du Saint-Laurent, entre Kamouraska et Capucins. Quatorze sites ont été échantillonnés en 2005 et trois d'entre eux, soit Pointe des Riou, Rimouski et Capucins, ont été revisités en 2006. Les résultats des relevés montrent que la superficie de ces gisements varie de 0,1 à 4,5 km^2. Le gisement de Rimouski est le plus grand et Kamouraska suit avec 1,8 km^2. Les gisements Îlets D'Amours (0,1 km^2), Anse aux Coques (0,1 km^2), Baie Hâtée (0,2 km^2) et Capucins (0,2 km^2) n'occupent, pour leur part, que des surfaces restreintes. Les travaux réalisés à l'anse des Méchins (Petits-Méchins) n'ont pas permis de localiser un gisement de mye à cet endroit. La superficie des gisements à l'étude diffère souvent de celle présentée dans la littérature. Une partie des écarts observés pourrait s'expliquer par des différences méthodologiques ou des changements environnementaux et de l'habitat. La majorité des gisements échantillonnés se retrouvent à l'embouchure où à proximité de cours d'eau et sont principalement exposés aux vents du nord (N.-O., N. et N.-E.). En 2005, les myes de taille légale ($\geq$ 51 mm) sont absentes des gisements de Kamouraska, Anse au Persil et Îlets D'Amours. Sur les autres gisements, les densités moyennes de myes de taille légale varient entre 3,4 individus/m^2 à Batture de Tobin et 32,5 individus/m^2 à Capucins. Les densités maximales observées pour cette catégorie de myes varient entre 25 et 150 individus/m^2. Les résultats de 2006, à Pointe des Riou, Rimouski et Capucins diffèrent sensiblement de ceux de 2005. Ces différences pourraient s'expliquer par des variations d'abondance et de la structure démographique à très petite échelle, à des variations saisonnière et annuelle de ces deux paramètres ainsi qu'aux méthodologies utilisées. La taille maximale des myes est inférieure à 60 mm sur les gisements situés à l'ouest de la zone d'étude, mais atteint, à l'exception de Baie du Ha! Ha! et Anse aux Coques, près de 80 mm sur ceux localisés à l'est de Batture de Tobin. Les résultats des travaux réalisés sur quelques petites parcelles expérimentales suggèrent une croissance plus rapide à Pointe des Riou, intermédiaire à Capucins et plus faible à Rimouski. La comparaison des relations allométriques de chacun de ces trois gisements, relations déterminées à partir de spécimens recueillis sur de plus grandes superficies, suggère toutefois que pour une même longueur, les myes provenant de Rimouski ont un poids entier et un poids des viscères secs plus élevés qu'aux deux autres sites. Parmi tous les sites échantillonnés en 2005 et 2006, Rimouski et Capucins se distinguent, entre autres, par leur facilité d'accès, une bonne protection aux vents, une forte abondance de myes, un pourcentage élevé de la superficie colonisée et une structure démographique où toutes les classes de tailles sont bien représentées et qui incluent une proportion non négligeable d'individus dont la taille est supérieure à la taille légale de capture.

ABSTRACT

Giguère, M., S. Brulotte et F. Hartog. 2007. Évaluation de quelques gisements de mye commune (*Mya arenaria*) de la rive sud de l'estuaire du Saint-Laurent en 2005 et 2006. Rapp. tech. can. sci. halieut. aquat. 2738 : xi + 107 p.

In 2005 and 2006, a little over 19 km^2 of foreshore were surveyed on the south shore of the St. Lawrence Estuary, between Kamouraska and Capucins. Fourteen sites were sampled in 2005 and three of them, Pointe des Riou, Rimouski and Capucins, were revisited in 2006. Survey results show that these beds cover an area varying between 0.1 to 4.5 km^2. The Rimouski bed is the largest followed by Kamouraska, which measures 1.8 km^2. The beds at Îlets D'Amours (0.1 km^2), Anse aux Coques (0.1 km^2), Baie Hâtée (0.2 km^2) and Capucins (0.2 km^2) cover smaller areas. Work conducted at Anse des Méchins (Petits-Méchins) failed to locate any clam aggregation there. The size of the beds surveyed often differs from what is presented in the literature. Part of the discrepancies recorded could be on account of methodological differences or changes in environment or habitat. Most of the sampled beds are located in proximity or at the mouth of rivers and are usually exposed to north winds (NW, N and NE). In 2005, legal size clams (≥ 51 mm) were absent from the Kamouraska, Anse au Persil and Îlets D'Amours beds. In the other beds, the mean density of legal size clams varies from 3.4 individuals/m^2 at Batture de Tobin to 32.5 individuals/m^2 at Capucins. Maximum densities recorded for this category of clams vary between 25 and 150 individuals/m^2. Results from 2006, at Pointe des Riou, Rimouski and Capucins differ from 2005. These differences could be explained by very small scale changes in abundance and demographic structure, seasonal and annual variations of these two parameters and by the methodologies used. The maximum size of clams is less than 60 mm on the beds located west of the surveyed area, but reached, except for Baie du Ha! Ha! and Anse aux Coques, nearly 80 mm over those located east of Batture de Tobin. Results from work conducted on a few experimental plots suggest a more rapid growth at Pointe des Riou, intermediate at Capucins and weaker at Rimouski. Comparisons of allometric relations for each of these three beds, relations that are determined using specimens collected over larger areas, suggest however, that for the same length, clams coming from Rimouski have a whole weight and a weight of dry viscera higher than to the others sites. Among all the sampled sites in 2005 and 2006, Rimouski and Capucins stand out on account of, among other things, their easy access, good protection of winds, strong clam abundance, a high percentage of colonized area and a demographic structure where all size classes are well represented and which include a significant proportion of larger size individuals at legal catch size.

1 INTRODUCTION

La mye commune (*Mya arenaria*) suscite un grand intérêt au Québec, à la fois pour les communautés riveraines et pour la communauté scientifique. Dans de nombreuses localités, la cueillette de myes est une activité très populaire, en raison principalement de la disponibilité de la ressource, de sa grande accessibilité et de la simplicité des techniques de cueillette (Brulotte *et al.* 2006). Par son omniprésence dans l'estran et le rôle important qu'elle joue dans cet écosystème, la mye et la communauté benthique qui y est associée se trouvent ainsi en plein cœur de plusieurs problématiques d'utilisation et de gestion de la zone côtière. Par ailleurs, certaines caractéristiques de la mye, organisme filtreur, fouisseur et sédentaire, en font une espèce de choix pour l'étude de la dynamique des populations, ainsi que comme espèce indicatrice de la présence des contaminants et de leurs effets sur son habitat immédiat.

Depuis 1940, les débarquements de mye au Québec ont varié selon la demande des marchés, les prix offerts aux cueilleurs ainsi qu'en fonction de l'occurrence d'épisodes de toxicité ou de pollution bactérienne (Figure 1). Depuis quelques décennies, les débarquements proviennent presque exclusivement de la rive nord de l'estuaire du Saint-Laurent, alors que la cueillette récréative est pratiquée dans toutes les régions québécoises. Sur la rive sud de l'estuaire du Saint-Laurent, la mye est l'objet d'une récolte récréative, mais ne supporte pas de récolte commerciale reconnue.

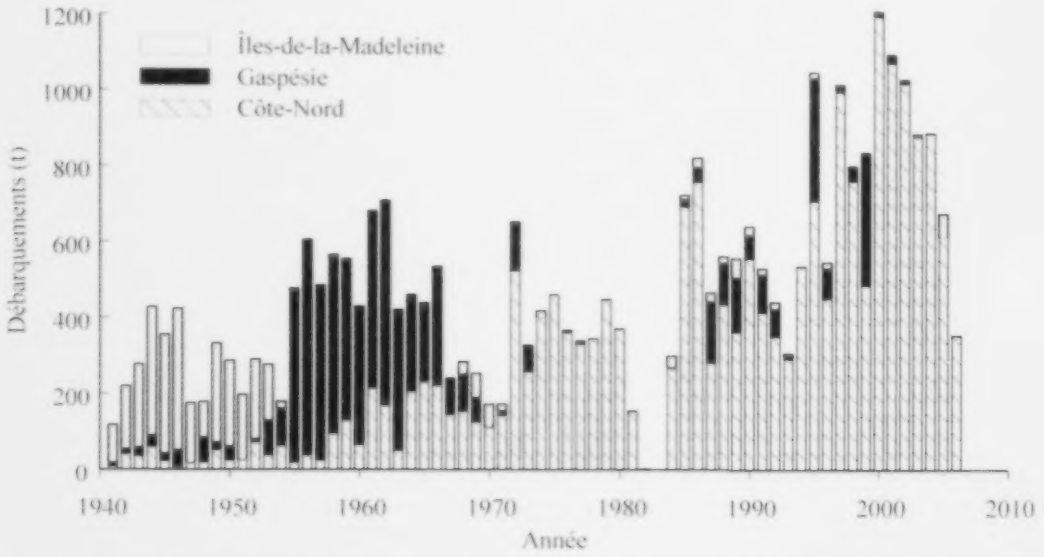

Figure 1. Débarquements commerciaux de la mye commune (*Mya arenaria*) par région maritime du Québec.

Au Québec, comme partout au Canada, la gérance des secteurs coquilliers est assurée par trois organismes qui unissent leurs efforts dans le cadre du Programme canadien de contrôle de la salubrité des mollusques (PCCSM) : le Ministère de l'Environnement du Canada (EC), l'Agence canadienne d'inspection des aliments (ACIA) ainsi que le Ministère des Pêches et des Océans (MPO) (PCCSM 2007). EC surveille la qualité de l'eau dans les secteurs de cueillette des mollusques, en procédant à l'analyse de la qualité bactériologique de l'eau des secteurs coquilliers, et recommande leur fermeture à la cueillette si les eaux sont jugées polluées. L'ACIA surveille, entre autres, la qualité des mollusques pour la consommation, le niveau de toxines qu'ils contiennent, l'efficacité des processus de dépuration des mollusques et recommande si nécessaire la fermeture des secteurs toxiques. Pour sa part, le MPO établit la réglementation qui permet la gestion des stocks des espèces commerciales, assure le suivi de la récolte des mollusques et émet les ordonnances de fermeture des secteurs coquilliers.

En 2006, il y avait 395 secteurs coquilliers et parcs aquicoles répertoriés au Québec (J. Savaria, EC Montréal, comm. pers.), certains des secteurs regroupant à l'occasion plus d'un gisement de mye. Ces secteurs sont répartis entre les Îles-de-la-Madeleine (65), la rive sud de la Gaspésie (97), le Bas-Saint-Laurent et la rive nord de la Gaspésie (76), la Côte-Nord (137) et d'autres régions (20) comme Charlevoix et la rivière Saguenay.

Des 39 secteurs coquilliers identifiés entre Kamouraska et Capucins, 37 sont actuellement fermés à la cueillette (R. Gosselin, MPO Québec, comm. pers.) (Cartes 1a et 1b et Annexe 1). Cinq parcs aquicoles sont également alloués à l'oursin vert (*Strongylocentrotus droebachiensis*) dans ce territoire. Au cours des dernières années, la cueillette récréative de la mye est pratiquée dans quelques secteurs du Bas-Saint-Laurent, notamment à l'île Verte et à l'intérieur du parc national du Bic (baie du Ha! Ha!). Dans le Bas-Saint-Laurent, comme dans les autres régions maritimes du Québec où se trouvent des sites propices au maintien de populations de mye, la récolte et la culture à des fins commerciales suscitent de l'intérêt. La mariculture est à ce jour très peu développée au Bas-Saint-Laurent, le grossissement et le conditionnement de l'oursin vert en milieu naturel étant la seule activité aquicole pratiquée au cours de la dernière décennie (Giguère 2004). Lorsque comparée avec d'autres types de mariculture pratiqués actuellement au Québec, la myiculture offre, en théorie, un bon potentiel en raison de la présence de l'espèce à l'état indigène et de sa grande résistance aux conditions environnementales rigoureuses, telles l'exposition au vent et la présence de glace en hiver, qui compromettent le succès de plusieurs types d'élevages en milieu marin. Cette affirmation ne tient pas compte, tout comme l'énonce Giguère (2004), des contraintes anthropiques réversibles (par exemple les secteurs fermés pour contamination bactérienne).

Entre 1966 et 1975, des efforts ont été déployés par les services publics pour inventorier les stocks commerciaux de mye du Québec (Lavoie 1967, 1969a, 1969b, 1970a et 1970b, Lamoureux 1974, 1975a, 1975b et 1977). Plus récemment, le MPO a entrepris, en collaboration avec divers partenaires, l'inventaire de 24 gisements de mye répartis sur les rives de la Gaspésie, des Îles-de-la-Madeleine et de la Côte-Nord (Brulotte et Giguère 2003, Roy *et al.* 2003, Brulotte *et al.* 2006, M. Giguère, MPO Mont-Joli, données non publiées). Les données pertinentes à la rive sud de l'estuaire du Saint-Laurent sont cependant limitées et datent généralement de plus d'une décennie. Lavoie (1967) présente quelques données d'abondance des myes de taille légale pour la région comprise entre Cacouna-Est (B-02.3) et Capucins (B-10.1). Une grande partie des données recueillies lors des inventaires réalisés en 1966 par cet auteur n'apparaissent malheureusement pas dans cette publication. Bourget et Messier (1976), Andersen et Gagnon

(1980) et Biorex (1992) reprennent toutefois ces données non publiées sous différents formats. Biorex (1992) a bonifié ces informations par des recensements semi-quantitatifs de plusieurs gisements de la rive sud de l'estuaire du Saint-Laurent.

Au cours des dernières décennies, d'autres travaux scientifiques ont été réalisés sur les gisements de mye de la rive sud de l'estuaire, principalement entre Saint-Fabien-sur-Mer et Rimouski. Durant cette période, l'Université du Québec à Rimouski (UQAR) a dirigé plusieurs études sur la batture de Rimouski et dans différentes baies du parc national du Bic (Jacques 1983, Belzile 1984, Desrosiers et Bréthes 1984, Roseberry 1988, Vincent *et al.* 1988, Tremblay 1990, Bourassa 1991, Roseberry *et al.* 1991, Tremblay 1992, Thorin 1998). Jacques (1983) a étudié la dynamique des populations d'une partie du gisement de mye de Rimouski. Cet auteur a observé que la nature du substrat et la durée d'immersion, cette dernière étant tributaire du niveau altimétrique et des marées, expliquaient près de 90 % des variations locales de la croissance. Les myes enfouies dans le sable et en eau plus profonde bénéficieraient, selon cet auteur, d'une croissance plus rapide. Toutefois, le taux de croissance mesuré à Rimouski était faible à l'époque comparativement aux taux mesurés dans des régions à température plus clémente. Roseberry *et al.* (1991) ont étudié les stratégies de croissance et de reproduction de la mye à l'anse à l'Orignal (B-03.6), un site situé à l'intérieur du parc national du Bic. Il a observé, notamment, un indice gonadosomatique et une masse fraîche plus élevés pour les myes ayant un temps d'immersion plus long. Brulotte et Giguère (2007), qui ont étudié le cycle reproducteur et la taille à la maturité sexuelle de plusieurs gisements de mye au Québec, ont observé que la ponte avait lieu principalement en juin et juillet dans la baie de Mitis et s'étendait sur quelques semaines. Ces auteurs ont également estimé que la taille à la maturité sexuelle était de 41-42 mm à Rimouski.

Outre son importance commerciale, la mye est intéressante par son potentiel comme espèce indicatrice des contaminants ou encore de l'état de santé général d'un écosystème (Mayrand *et al.* 1994, Blaise *et al.* 1999, Fournier *et al.* 2001, Gauthier-Clerc *et al.* 2002 et 2006, Gagné *et al.* 2003 et 2006, Mark *et al.* 2003, Frouin *et al.* 2007). La mye est considérée comme un bon indicateur biologique de la pollution, dont celle au tributylétain (TBT), un produit utilisé dans les peintures antisalissures des navires. La mye élimine en effet très peu le TBT tout en tolérant des concentrations relativement élevées (Kure et Depledge 1994). Siah *et al.* (2003) ont comparé les niveaux de TBT dans des myes provenant des gisements de Batture de Tobin situé à l'embouchure de la rivière des Trois Pistoles (B-02.9), Anse à l'Orignal (B-03.6), Rimouski (B-04.1) et Capucins (B-10.1). Ces auteurs ont observé que les myes de Rimouski affichaient des concentrations de TBT les plus élevées, auxquelles ils ont associé un indice gonadosomatique et des taux d'hormones de reproduction plus faibles que dans les sites sans ou avec des niveaux intermédiaires de TBT.

Malgré ces dernières études relativement récentes, il n'y a pas d'information à jour sur la distribution, l'abondance et la structure démographique des populations de mye de la rive sud de l'estuaire du Saint-Laurent. Les objectifs principaux de ce document visent à combler, à tout le moins en partie, ces lacunes pour les principaux gisements de mye de la rive sud de l'estuaire du Saint-Laurent et à présenter quelques caractéristiques biologiques et physiques de ces milieux.

2 MATÉRIEL ET MÉTHODES

2.1 DESCRIPTION SOMMAIRE DE LA ZONE D'ÉTUDE

L'estuaire du Saint-Laurent est délimité à l'ouest par la pointe est de l'île d'Orléans et à l'est par la ligne imaginaire qui relie Pointe-des-Monts sur la rive nord à Les Méchins sur la rive sud. L'embouchure du Saguenay partage l'estuaire en deux grandes régions soit, l'estuaire moyen (ouest) et l'estuaire maritime (est). Les travaux présentés dans ce document ne concernent qu'une partie des gisements de mye retrouvés entre Kamouraska et Capucins (Cap-Chat). Précisons que ce territoire recouvre la région administrative du Bas-Saint-Laurent qui regroupe huit municipalités régionales de comté (MRC), soit les municipalités comprises entre La Pocatière et Les Méchins. La municipalité de Cap-Chat est, quant à elle, incluse dans la MRC de la Haute-Gaspésie.

La topographie de la côte en bordure du fleuve est généralement peu élevée. Les marées dans l'estuaire sont semi-diurnes. Le marnage moyen, soit l'écart entre les niveaux des basses et des hautes mers lors des marées moyennes, augmente de l'aval vers l'amont. Il est de 2,4 m à Cap-Chat, 3,4 m au niveau de l'île Verte et 3,8 m à Rivière-du-Loup (SHC 2006).

À l'intérieur du territoire à l'étude, la salinité oscille entre 18 à 30 ‰ selon la saison, le moment de la marée et la proximité d'une source d'eau douce (Jacques 1983, Belzile 1984, Thériault et Levasseur 1985, Ferreyra 1987, Giguère 2004, OSL 2007). À première vue, il ne semble pas que des salinités de cet ordre soient inquiétantes pour la mye, car celle-ci est une espèce euryhaline qui s'adapte bien aux variations de salinité. Selon Dow et Wallace (1957 cités par Jacques 1983), les variations de salinité engendrées par la présence de rivière auraient peu d'effets sur le développement de la mye.

Les eaux de surface du territoire à l'étude sont relativement froides et varient d'environ -1 °C à 16-20 °C durant la saison estivale (Jacques 1983, Giguère 2004, OSL 2007, M. Giguère, MPO Mont-Joli, données non publiées). Des variations sont également observées selon le site. Par exemple, des températures maximales de 10 et 12 °C ont été mesurées à l'anse à l'Orignal (Ferreyra 1987) et de 16 °C à Rimouski durant une période similaire de l'année (Jacques 1983). La température des sédiments, où habitent les myes, atteint par contre des valeurs plus élevées à marée basse, de l'ordre de 23-25 °C en juillet et août (Ferreyra 1987, Olivier 1989, M. Giguère, MPO Mont-Joli, données non publiées). Des différences de la température sont également notables entre les niveaux altimétriques, la température des sédiments du haut de l'estran étant plus élevée que celle de la strate inférieure durant l'été (Joly 1987).

Un premier survol de la zone d'étude a été réalisé en 2005 afin de cibler les gisements de mye et de déterminer les sites les plus favorables pour son élevage et les plus propices à la réalisation d'une expérience sur sa croissance. L'emphase a été mise en 2005 sur les sites déjà connus pour héberger des myes et présentant des facilités d'accès au site. Certains sites n'ont pas été retenus en 2005, car ceux-ci n'ayant aucune possibilité d'être exploités commercialement, comme les gisements situés à l'intérieur du parc national du Bic ou dans une aire protégée. Le site Baie du Ha! Ha! est la seule exception puisqu'il est un des rares gisements ouverts à la cueillette de mollusques dans la région.

Une localisation approximative des gisements de mye a été faite à partir de la documentation disponible ainsi qu'à l'aide des informations recueillies lors d'une consultation informelle menée

auprès d'intervenants locaux. Seuls les sites sans ou avec des contraintes mineures à la mariculture (Giguère 2004) ont été retenus en 2005. Une inspection visuelle des sites a été effectuée au début de septembre 2005 afin de préciser les limites respectives de chacun. Les herbiers de zostère marine (*Zostera marina*) ont été exclus des inventaires. Finalement, 14 sites compris dans 13 secteurs coquilliers (Baie Hâtée et Rimouski partagent le secteur coquillier B-04.1) et répartis le long de la rive sud de l'estuaire du Saint-Laurent, ont été sélectionnés pour une première évaluation (Cartes 1a et 1b).

Les sites Pointe des Riou, Rimouski et Capucins, qui se sont avérés d'un intérêt supérieur à la suite des travaux de 2005, ont fait l'objet d'une évaluation systématique et approfondie au cours de l'été 2006. Les principaux critères retenus pour ce choix ont été la superficie potentielle disponible, l'étendue des tailles des myes récoltées et l'abondance des myes de taille légale ($\geq$ 51 mm) et de taille sous-légale (11 à 50 mm) aux stations échantillonnées. De plus, les sites choisis devaient être répartis sur l'ensemble du Bas-Saint-Laurent. Ces trois sites, actuellement fermés à la cueillette, ont également été retenus pour une étude de la croissance de la mye.

2.2 Relevés 2005

Des travaux de terrain ont été réalisés entre le 16 septembre et le 20 octobre 2005 sur les 14 sites identifiés au préalable (Tableau 1). Afin de couvrir l'ensemble des sites dans un temps restreint, il a été nécessaire d'utiliser une méthode d'échantillonnage abrégée afin de réduire le temps d'échantillonnage. À chaque site, des transects ont été positionnés parallèlement à la berge avec un pas d'environ 135 m. Les stations ont été positionnées aux 200 m sur les transects à l'aide d'un GPS (système de positionnement global, Garmin, modèle GPSmap 60CS, précision 3 m). L'échantillonnage a été effectué à des périodes de grandes marées afin de maximiser la superficie pouvant être échantillonnée à sec (ou moins de 10 cm d'eau) avec une pelle.

Au total, 670 échantillons ont été prélevés sur les 14 sites sélectionnés. Le lieu, la date, l'heure, un numéro d'identification et la position GPS de chaque station ont été notés lors de l'échantillonnage. À chacune des stations échantillonnées, les pourcentages de couverture végétale (zostère et autres types de végétation) et de couverture rocheuse présentes à l'intérieur d'une surface d'environ 1 m^2 ont été estimés approximativement. Par la suite, une pelletée de sédiments (surface échantillonnée évaluée à 0,04 m^2) a été prélevée sur les 20 premiers centimètres de profondeur et les informations suivantes ont été colligées : épaisseur de la couche de sédiments meubles (cm), type de substrat (selon la classification établie à la section 2.3.3) et macrobenthos présent. Les myes récoltées ont été dénombrées et mesurées, lorsque les coquilles étaient en bon état, dans l'axe antéropostérieur (longueur) à l'aide d'une règle graduée aux 1 mm. La longueur des myes brisées non mesurables a été estimée selon leur apparence. En plus de la mye, les principales espèces de macrobenthos (plus de 10 mm) trouvées sur les sites inventoriés, soit la petite macoma (*Macoma balthica*), la clovisse (*Mesodesma arctatum*), la moule bleue (*Mytilus edulis*) et les polychètes (Polychaeta), ont été évaluées de façon qualitative (présence ou absence).

Tableau 1. Date d'échantillonnage, distance entre les transects et les stations et nombre de stations par site échantillonné en 2005.

Site	Date d'échantillonnage	Distance (m) entre 2 transects (2 stations)	Nombre de stations
Kamouraska	16/09/2005	135 (200)	111
Anse au Persil	17/10/2005	135 (200)	34
Île Verte	21/09/2005	130 (200)	38
Batture de Tobin	20/09/2005 et 18/10/2005	135 (200)	53
Îlets D'Amours	20/09/2005	1 transect (200)	10
Pointe des Riou	20/09/2005	145 (200)	42
Baie du Ha! Ha!	15/10/2005 au 19/10/2005	130 (100 et 200)	47
Baie Hâtée	15/10/2005 et 20/10/2005	110* (115)	38
Rimouski	17/09/2005	135 (200)	139
Anse aux Coques	18/09/2005 et 19/09/2005	115* (200)	27
Baie Mitis	18/09/2005	125* (200)	61
Anse du Petit Mitis	18/09/2005	135 (200)	31
Petits-Méchins	19/09/2005	1 transect (195)	16
Capucins	19/09/2005	100 (110)	23

* : Distance moyenne entre les transects.

2.3 Relevés 2006

Des 14 sites visités en 2005, 3 ont été retenus en 2006 pour une évaluation approfondie, soit Pointe des Riou, Rimouski et Capucins. Les travaux de terrain ont été effectués en juin et août 2006 (Tableau 2). Trois plans d'échantillonnage de type systématique ont été réalisés, les stations étant positionnées aux intersections d'une grille constituée par des cellules de même dimension. Le format de la grille a varié d'un gisement à l'autre pour s'ajuster à la dimension et à la forme de chacun d'eux. La couverture des sites s'étendait généralement du rivage jusqu'à une profondeur correspondant au zéro marégraphique. L'échantillonnage a été effectué pendant une période de grandes marées afin de maximiser la surface du site pouvant être échantillonnée facilement.

Tableau 2. Période d'échantillonnage, distance entre les transects et les stations et nombre de stations par site échantillonné en 2006.

Site	Période d'échantillonnage	Distance (m) entre 2 transects (2 stations)	Nombre de stations
Pointe des Riou	23/06/2006 au 25/06/2006	150 (150)	99
Rimouski	10/08/2006 au 13/08/2006	175 (175)	159
Capucins	12/06/2006 au 14/06/2006	75 (75)	118

Selon le niveau d'eau sur la station au moment de l'échantillonnage, deux techniques ont été utilisées pour la récolte des organismes soit, un système d'aspiration Venturi ou la pelle, la première méthode nécessitant une couche d'eau supérieure à 20 cm sur la station et la seconde que la station soit complètement exondée. Dans tous les cas, les sédiments et les organismes ont été recueillis sur une superficie de 0,25 m^2 et une épaisseur de 20 cm. Les techniques de récolte (Venturi et pelle) sont décrites en détail dans Brulotte et Giguère (2003).

Les échantillons ont été tamisés avec un tamis à mailles rigides de 6-7 mm de côté. Tout le matériel retenu par le tamis a été trié sur le terrain ou dans les jours suivants. Les myes et les autres espèces recueillies ont été placées dans des sacs de plastique identifiés, puis conservées au frais ou congelées jusqu'à leur analyse en laboratoire. Les informations suivantes ont été notées à chacune des stations : numéro de la station, date, heure d'échantillonnage, position (GPS), méthode d'échantillonnage (Venturi ou pelle), évaluation visuelle des sédiments et pourcentage de recouvrement par les plantes marines (zostère marine et algues).

2.3.1 Sédiments et granulométrie

Une évaluation visuelle et qualitative des sédiments a été faite lors de l'échantillonnage des stations selon les critères énoncés au Tableau 3. Par définition, l'argile (incluant le limon) correspond aux particules dont la dimension est inférieure à 63 µm, le sable aux particules comprises entre 63 µm et 2 mm, le gravier aux particules comprises entre 2 mm et 5 cm et le galet de 5 à 20 cm (Wentworth 1922, Cayeux 1929). De plus, le pourcentage de recouvrement par les roches de plus de 20 cm a été noté à chaque station.

Tableau 3. Classification des sédiments meubles utilisée lors des relevés de 2005 et 2006, selon leur teneur (%) en argile, sable, gravier et galet.

Sédiment	Argile et limon	Sable	Gravier	Galet
Vase	80			
Vase sableuse	30-80	20-70		
Sable vaseux	10-30	70-90		
Sable		> 90		
Sable graveleux		70-90	10-30	
Sédiment mixte [1]	x	x	x	x

[1] : Sédiment composé majoritairement de gravier et de galet pouvant être mélangé à du sable et de l'argile.

2.3.2 Altimétrie

Des mesures d'altitude ont été effectuées à l'aide d'une station DGPS OTF (Thales Navigation, système 6502 SK/MK), d'une précision théorique de 2 à 3 cm, pour évaluer la dénivellation sur les sites Rimouski et Capucins. Les altitudes mesurées ont été ajustées par rapport au zéro marégraphique des cartes marines du SHC.

2.3.3 Échantillonnage biologique

Les myes vivantes au moment de la récolte ont été dénombrées par échantillon. La longueur maximale antéropostérieure (longueur) de chaque individu, dont les coquilles étaient en bon état, a été mesurée aux 0,1 mm près à l'aide d'un vernier, celle des myes brisées a été estimée après reconstitution des coquilles à partir des fragments disponibles. Les myes non mesurables ont été classées, soit de taille légale (≥ 51 mm) ou sous-légale (11 à 50 mm) selon leur apparence. Tous les autres organismes vivants présents dans les échantillons ont été identifiés, à l'espèce pour la majorité des mollusques et au moins jusqu'à la classe pour les autres organismes, puis dénombrés.

2.4 Croissance et relations allométriques

Cette partie du projet, réalisée en 2006, a permis d'évaluer la croissance de myes durant une période de 15 semaines sur les sites Pointe des Riou, Rimouski et Capucins. Les myes ont été récoltées en octobre 2005 à Pointe-aux-Outardes (Haute-Côte-Nord) et conservées en bassins jusqu'à leur mise en place en 2006. Ces myes, d'une taille initiale comprise entre 15 et 25 mm, ont été numérotées et enfouies individuellement à l'intérieur de parcelles de 1 m^2. Toutes les parcelles ont été placées au hasard à l'étage intermédiaire de l'estran, à raison de trois parcelles par site. La localisation des parcelles expérimentales, le nombre initial de myes par parcelle ainsi que la période de croissance sont précisés au Tableau 4. Toutes les myes ont été mesurées (longueur antéropostérieure aux 1 mm près) et pesées individuellement (poids humide entier aux 0,1 g près) avant leur installation en mai dans les parcelles et après leur récupération en septembre.

Tableau 4. Période de croissance, localisation des parcelles expérimentales et nombre de myes communes (*Mya arenaria*) utilisées par site échantillonné en 2006.

Site	Période de croissance	Parcelle	Position		Nombre de myes
			Latitude (N)	Longitude (W)	
Pointe des Riou [1]	28/04/2006 au 09/09/2006	T1	48° 9,555'	69° 8,488'	65
		T2	48° 9,552'	69° 8,482'	64
		T3	48° 9,550'	69° 8,476'	65
Rimouski [2]	29/04/2006 au 10/09/2006	R1	48° 27,256'	68° 33,457'	75
		R2	48° 27,251'	68° 33,455'	74
		R3	48° 27,246'	68° 33,451'	75
Capucins [3]	01/05/2006 au 12/09/2006	C1	49° 2,802'	66° 51,135'	75
		C2	49° 2,797'	66° 51,140'	75
		C3	49° 2,792'	66° 51,144'	74

[1 2 3] : Parcelles situées à proximité des stations 34[1], 113[2] et 41[3] de l'inventaire de 2006.

Différentes relations allométriques ont été calculées sur des myes provenant des trois sites échantillonnés en 2006. Afin d'établir ces relations allométriques, un échantillon comprenant 2 myes par classe de 1 mm de longueur a été sélectionné à chacun de ces trois sites. Après un

temps de décongélation standard d'une heure, les mesures biologiques suivantes ont été effectuées sur chacune d'elles : longueur maximale antéropostérieure, largeur au niveau de la charnière et épaisseur maximale des coquilles aux 1 mm près, poids humide entier de la mye avec ses coquilles aux 0,01 g près, poids humide des 2 coquilles aux 0,01g près et poids des viscères humides aux 0,01 mg près. Les coquilles et les viscères ont été séchés à l'étuve à 70 °C durant au moins 72 heures et le poids sec des coquilles a été noté aux 0,01 g près et celui des viscères aux 0,1 mg près. Les viscères ont, par la suite, été brûlés au four à moufle à 450 °C durant 24 heures et le poids des cendres a été noté aux 0,1 mg près. Le poids sec des viscères utilisé dans les relations allométriques correspond au poids sec moins le poids des cendres.

2.5 Traitement des données

Le logiciel SAS (Sas Institute Inc., version 8.2) a été utilisé pour le traitement statistique des données. Les cartes ont été tracées à l'aide du logiciel ArcMap (ESRI, ArcGis version 8.2) et du module Geostastistical Analyst. Le logiciel Axum (Mathsoft, version 5.0) a servi pour le tracé des autres figures.

La superficie des sites inventoriés a été calculée en multipliant le nombre de stations échantillonnées par la superficie couverte par une cellule de la grille d'échantillonnage (distance entre deux transects x distance entre deux stations). La superficie des gisements a été calculée de la même façon, mais en excluant les stations sans mye situées en bordure des sites. Toutefois, les stations dépourvues de mye, mais « enclavées » dans le gisement, ont été incluses dans le calcul. La superficie des gisements est donc généralement plus petite, ou au mieux égale, à la superficie totale inventoriée. Il faut toutefois préciser que la superficie estimée de chaque gisement peut-être inférieure à sa valeur réelle puisqu'elle ne tient compte que de la zone inventoriée. Il est possible, voire probable, que pour certains sites le gisement se prolonge hors de la zone échantillonnée et plus particulièrement à l'étage infralittoral.

Les structures de taille sont présentées par classe de longueur de 5 mm et excluent les myes brisées pour lesquelles la taille n'a pu être mesurée. Les myes ayant une taille inférieure à 11 mm ont été retranchées des traitements statistiques pour permettre de comparer les résultats d'abondance entre les différents gisements, puisque la sélectivité du tamis utilisé était déficiente pour les myes inférieures à cette taille. L'abondance en nombre des myes au mètre carré (densité) a été calculée pour chacune des stations des sites échantillonnés en 2005 et 2006. L'abondance en gramme des myes au mètre carré (rendement) a été calculée par station pour les trois sites inventoriés en 2006. Les calculs des densités et des rendements des myes ont été faits pour les catégories de tailles : sous-légale (11 à 50 mm), légale ($\geq$ 51 mm) et totale ($\geq$ 11 mm). Les densités moyennes et les rendements moyens des myes ont été calculés ($\pm$ 1 erreur-type) par gisement.

Les rendements (g/m^2) ont été calculés par station en convertissant la longueur de chaque mye en poids à l'aide de la relation entre le poids entier humide (décongelé) et la longueur, déterminée pour chaque site. Dans le cas des myes brisées non mesurables, la taille moyenne (légale ou sous-légale selon leur taille apparente) a été allouée à chacune avant de procéder à la conversion. Les données de densités et de rendements des myes ont été cartographiées par station en utilisant une échelle similaire pour tous les sites.

L'abondance totale des myes a été estimée pour chaque gisement en multipliant la densité moyenne de chacun d'eux par leur superficie respective. Le même exercice a été fait pour le calcul de la biomasse (t) totale de chaque gisement en utilisant cette fois le rendement moyen.

Les relations entre le poids humide entier, le poids sec des viscères, la largeur et l'épaisseur, et la longueur ont été calculés pour chacun des trois sites inventoriés en 2006. Les relations avec le poids entier, des viscères et des coquilles ont été calculées à partir des données transformées en logarithmique naturel (ln). Dans tous les cas, une relation linéaire de forme $y = ax + b$ où a est la pente et b l'ordonnée à l'origine a été utilisée. Les comparaisons des relations linéaires ont été effectuées entre les sites avec un α de 0,01. Les relations linéaires ont été testées en deux étapes. La première étape a consisté à comparer les pentes des relations à l'aide d'une analyse de variance et la seconde à comparer les ordonnées à l'origine à l'aide d'une analyse de covariance lorsque les pentes étaient similaires (Sokal et Rohlf 1995).

Le type de sédiments, la densité et le rendement des myes sont présentés sous forme de cartes géoréférencées pour les sites où les informations sont disponibles. Un graphique illustrant la structure de taille accompagne la carte de densité pour chacun des sites. Les myes de moins de 11 mm y sont représentées par des bâtonnets vides. L'altimétrie est présentée, pour Rimouski et Capucins, sous forme d'isolignes interpolées selon la méthode de l'inverse des distances pondérées. L'ensemble des résultats concernant les espèces récoltées est présenté à l'Annexe 2 pour 2005 et à l'Annexe 3 pour 2006.

3 RÉSULTATS ET DISCUSSION

3.1 RELEVÉS 2005

Les résultats des travaux réalisés en septembre et octobre 2005 ont permis de circonscrire et de caractériser 14 sites localisés sur la rive sud de l'estuaire du Saint-Laurent. Les données relatives à chacun de ces sites sont résumées aux Tableaux 5 et 6 et détaillées à l'Annexe 2. Des informations complémentaires pour les secteurs coquilliers concernés sont également accessibles, au grand public, sur le site Internet du PCCSM (2007). Le MPO rend également accessible des informations sur la localisation des gisements de mye via le site Internet du Système d'information pour la gestion de l'habitat du poisson (SIGHAP 2007).

3.1.1 Kamouraska

L'assise rocheuse du comté de Kamouraska est d'origine sédimentaire et les roches présentes dans les marais salés font partie de la chaîne des Appalaches (Lavoie et Brind'Amour 1981). Le secteur coquillier de Kamouraska (K-01), qui s'étend du quai de la rivière Ouelle au quai de Notre-Dame-du-Portage, est le secteur le plus à l'ouest de la zone d'étude. Ce secteur est fermé à la cueillette de mollusques depuis de nombreuses années. Toutefois, d'après les commentaires de résidents locaux, des cueilleurs récréatifs seraient aperçus occasionnellement dans le secteur. Trois petits gisements de mye y sont répertoriés par le PCCSM, soit un premier situé à l'ouest du secteur et au nord du cap au Diable, un second au S.-E. de l'île aux Corneilles et un troisième à l'est des îles de Kamouraska. Le segment échantillonné en 2005 recoupe seulement une partie de la concentration de l'île aux Corneilles (Carte 2a).

Tableau 5. Superficie, sédiments dominants et fréquence du macrobenthos (Mye = *Mya arenaria*, Mac = *Macoma balthica*, Mes = *Mesodesma arctatum*, Myt = *Mytilus edulis*, Pol = Polychaeta) et de la zostère marine (Zos = *Zostera marina*) par site échantillonné en 2005.

Site	Superficie (km^2)	Sédiment dominant [1]	Fréquence (%)					
			Mye	Mac	Mes	Myt	Pol	Zos
Kamouraska	3,0	M (26 %) ; Sg (23 %)	59,5	24,3	8,1	0	15,3	0
Anse au Persil	0,9	V (38 %) ; Sv (21 %)	35,3	44,1	0	0	32,4	0
Île Verte	1,0	Sv (92 %)	84,2	94,7	0	0	31,6	26,3 [2]
Batture de Tobin	1,4	Sv (47 %)	37,7	30,2	0	1,9	24,5	30,2
Îlets D'Amours	0,3	Vs (30 %) ; S (30 %)	40,0	90,0	0	20,0	50,0	0 [2]
Pointe des Riou	1,2	M (38 %) ; Sg (29 %)	45,2	78,6	0	28,6	54,8	2,4
Baie du Ha! Ha!	0,9	Sv (41 %) ; Sg (22 %)	46,8	63,8	0	0	46,8	0
Baie Hâtée	0,5	S (32 %) ; Sv (24 %)	34,2	44,7	0	5,3	31,6	0
Rimouski	3,8	Sv (31 %) ; Sg (30 %)	78,4	54,7	5,0	52,5	49,6	7,2
Anse aux Coques	0,6	S (63 %)	18,5	51,9	0	7,4	40,7	0
Baie Mitis	1,5	Vs (39 %)	60,7	42,6	1,6	49,2	32,8	0
Anse du Petit Mitis	0,8	Sv (29 %) ; M (22 %)	38,7	48,4	0	48,4	48,4	3,2
Petits-Méchins	0,4	R (81 %)	6,3	0	0	50,0	6,3	0
Capucins	0,3	Sv (48 %) ; Sg (22 %)	87,0	52,2	0	13,0	8,7	0

[1] : V = vase ; Vs = vase sableuse ; Sv = sable vaseux ; S = sable ; Sg = sable graveleux ; M = sédiment mixte ; R = roche.

[2] : Valeur pas nécessairement représentative du site échantillonné (voir les sections 3.1.3 et 3.1.5).

L'aire couverte par l'échantillonnage est de 3 km^2. Le site est caractérisé par un substrat à prédominance de sédiments mixtes et de sable graveleux (Tableau 5 et Carte 2a). La vase, la vase sableuse et le sable vaseux occupent le reste du territoire. Les sédiments mixtes se retrouvent surtout aux stations situées le plus au large. Les sédiments vaseux sont particulièrement présents aux stations qui longent la rive, ainsi qu'à l'est de l'aire échantillonnée. Le sable est surtout localisé au niveau intermédiaire de l'estran et parfois intercalé entre des stations à sédiments vaseux, notamment à l'est du site. Les myes colonisent 59,5 % des stations échantillonnées. En plus de la mye, les autres taxons présents sur le site sont par ordre de prépondérance la petite macoma (24,3 %), les polychètes (15,3 %) et la clovisse (8,1 %) (Tableau 5 et Annexe 2). Le gisement proprement dit, d'une superficie de 1,8 km^2, occupe surtout les sédiments vaseux et sableux (Tableau 6 et Carte 2b). La présence de myes à presque toutes les stations, localisées aux limites (N.-E. et S.-O.) du site échantillonné, porte à croire que le gisement est plus grand que la valeur spécifiée précédemment. Les densités moyenne et maximale sur le gisement, toutes les tailles confondues, sont de 60,1 et 450 myes/m^2 respectivement (Tableau 6). Toutes les myes mesurées (n = 175) ont de taille sous-légale, soit inférieure à 51 mm, l'étendue des tailles variant de 10 mm à 45 mm (Carte 2b). La classe de 11-15 mm représente le mode dominant avec 33 % des effectifs.

Tableau 6. Nombre de stations, superficie et densités moyenne (± erreur-type) et maximale des myes communes (*Mya arenaria*) par gisement échantillonné en 2005.

Gisement	Nombre de stations	Superficie (km^2)	Densité des myes (nombre/m^2)			
			Taille ≥ 11 mm		Taille légale (≥ 51 mm)	
			Moyenne	Maximale	Moyenne	Maximale
Kamouraska	67	1,8	60,1 ± 7,6	450	0	0
Anse au Persil	11	0,3	90,9 ± 18,2	250	0	0
Île Verte	34	0,9	55,9 ± 8,9	250	14,0 ± 3,0	50
Batture de Tobin	22	0,6	35,2 ± 5,4	100	3,4 ± 1,9	25
Îlets D'Amours	4[2]	0,1	87,5 ± 41,5	200	0	0
Pointe des Riou	18	0,5	44,7 ± 8,7	175	18,4 ± 3,7	50
Baie du Ha! Ha!	22	0,4	61,4 ± 11,2	225	8,0 ± 3,4	50
Baie Hâtée	12	0,2	62,5 ± 12,1	175	27,1 ± 6,5	50
Rimouski	110	3,0	103,6 ± 7,9	575	13,4 ± 2,5	125
Anse aux Coques	6	0,1	29,2 ± 10,0	75	20,8 ± 7,7	50
Baie Mitis	38	0,9	123,7 ± 21,1	575	24,3 ± 6,4	125
Anse du Petit Mitis	12	0,4	145,8 ± 31,8	375	29,2 ± 7,4	75
Petits-Méchins[1]	0	0	—	—	—	—
Capucins	20	0,2	177,5 ± 31,9	450	32,5 ± 8,1	150

[1] : N'est pas un gisement puisqu'une seule mye a été récoltée sur ce site.
[2] : Incluant 1 station située dans le secteur coquillier Pointe des Riou.

3.1.2 Anse au Persil

Le secteur coquillier B-01.3 couvre la bande littorale comprise entre la pointe de la rivière du Loup et la pointe des Frères. Ce secteur est fermé à la cueillette de mollusques depuis de nombreuses années. Pour l'instant, il n'y a aucun gisement de mye répertoriée dans ce secteur par le PCCSM. Le segment échantillonné en 2005 ne couvre que la partie est du secteur coquillier, soit l'anse au Persil. L'aire couverte par l'échantillonnage est de 0,9 km^2, celle-ci est composée principalement de vase, de sable vaseux et de sable graveleux (Tableau 5 et Carte 3a). Les myes n'occupent que 35,3 % des stations échantillonnées. Les deux autres espèces observées sur le site sont la petite macoma présente à 44,1 % des stations et les polychètes à 32,4 % des stations (Tableau 5 et Annexe 2). Le gisement est petit (0,3 km^2) et limité à une mince bande sableuse qui s'étend de la pointe des Frères à la rive opposée (Tableau 6 et Carte 3b). Les densités moyenne et maximale des myes sur le gisement, toutes les tailles confondues, sont de 90,9 et 250 myes/m^2 respectivement. Toutes les myes mesurées sont de taille sous-légale, l'étendue des tailles variant de 16 à 45 mm (Carte 3b). La classe dominante, soit celle de 31-35 mm, représente 32 % des effectifs.

3.1.3 Île Verte

Le secteur coquillier B-02.4 entoure l'île Verte. Ce secteur est ouvert à la cueillette de mollusques. Quatre gisements de mye sont répertoriés par le PCCSM au sud de l'île. Le segment échantillonné en 2005, qui s'étend du quai d'en Haut vers le N.-E. sur une distance d'environ 2,75 km, ne couvre qu'une bande d'environ 800 m qui va de la rive sud de l'île jusqu'en bordure du champ de zostères (Carte 4a). L'aire couverte par l'échantillonnage est de 1,0 km^2. À l'intérieur de ce périmètre, les sédiments sont presque exclusivement constitués de sable vaseux (Tableau 5 et Carte 4a). La zostère est relativement présente dans le secteur échantillonné (26,3 % des stations) et sa présence augmente au fur et à mesure que les stations s'éloignent de la rive de l'île. Ce pourcentage est atténué toutefois par le fait que l'échantillonnage cessait lorsque la couverture par la zostère devenait trop importante. Il y a une forte présence de petites macomas (94,7 % des stations) sur le site échantillonné et les polychètes sont présents à 31,6 % des stations (Tableau 5 et Annexe 2). Les myes occupent pour leur part 84,2 % des stations visitées. Le gisement proprement dit mesure 0,9 km^2. Les densités moyenne et maximale sur le gisement, toutes les tailles confondues, se chiffrent à 55,9 et 250 myes/m^2 respectivement (Tableau 6 et Carte 4b). Les myes de taille légale atteignent une densité maximale de 50 individus/m^2 pour une densité moyenne de 14,0 myes/m^2. L'étendue des tailles des myes mesurées varie de 15 à 63 mm, la majorité d'entre elles (81 %) ayant une taille inférieure à la taille légale de 51 mm (Carte 4b). Il n'y a pas de classe de tailles vraiment dominante, toutes les classes comprises entre 16 mm et 60 mm étant bien représentées.

3.1.4 Batture de Tobin

Ce secteur coquillier (B-02.9), qui est borné à l'ouest par la pointe à la Loupe et à l'est par le quai de Trois-Pistoles, n'inclut pas l'île aux Basques (B-02.10). Cette île protège en partie le site des vents du N.-O. Ce secteur est fermé à la cueillette de mollusques. Deux gisements de mye sont répertoriés par le PCCSM dans ce secteur, soit un à l'extrémité ouest et l'autre à l'embouchure de la rivière des Trois Pistoles. Le segment échantillonné en 2005 couvre cette dernière concentration puis s'étend vers le N.-E. sur un peu plus de 2,8 km (Carte 5a). L'aire couverte par l'échantillonnage, d'une superficie de 1,4 km^2, est dominée par des sédiments de sable vaseux (Tableau 5 et Carte 5a). La zostère est très fréquente dans le secteur échantillonné, avec 30,2 % des stations visitées (Tableau 5 et Annexe 2). Sa présence est particulièrement marquée au large et à l'ouest du site. Les myes occupent 37,7 % des stations échantillonnées, la petite macoma 30,2 %, les polychètes 24,5 % et la moule bleue 1,9 %. Le gisement proprement dit mesure 0,6 km^2 (Tableau 6 et Carte 5b). Les densités moyenne et maximale sur le gisement sont égales à 35,2 et 100 myes/m^2 respectivement. La densité moyenne des myes de taille légale n'est que de 3,4 individus/m^2 sur ce gisement. L'étendue des tailles des myes mesurées varie de 19 à 55 mm, la presque totalité d'entre elles (90 %) ayant une taille inférieure à 51 mm (Carte 5b). Les classes de tailles dominantes sont 26-30 mm et 31-35 mm.

3.1.5 Îlets D'Amours

Le secteur coquillier B-03.1 est borné par le quai de Trois-Pistoles à l'ouest et par la pointe des D'Amours à l'est. Ce secteur est fermé à la cueillette de mollusques. D'après les commentaires de résidents locaux, des cueilleurs y seraient aperçus occasionnellement. Deux petits gisements de mye sont répertoriés par le PCCSM, un premier est situé à l'est du quai près de l'embouchure

de la rivière Deschênes et un second au N.-O. de la pointe des D'Amours. L'échantillonnage effectué en 2005 a dû être limité à un seul transect longeant les îlets (Carte 6a). L'intérieur de la baie comprise entre le quai et la pointe des D'Amours n'a pas été visité à cause d'une forte présente de zostères. Sur le transect, les stations ont été placées dans les quelques éclaircies présentes dans la zosteraie. L'aire couverte lors de l'échantillonnage est de moins de 0,3 km^2. Les sédiments sont à prédominance de vase sableuse et de sable dans le site inventorié (Tableau 5 et Carte 6a). Les myes occupent 40,0 % des stations échantillonnées. En plus de la mye, les autres taxons présents sont, par ordre de prépondérance, la petite macoma (90,0 %), les polychètes (50,0 %) et la moule bleue (20,0 %) (Tableau 5 et Annexe 2). Le gisement de mye de Îlets D'Amours est petit et sa superficie est, en incluant une station (numéro 29) située dans le secteur coquillier de Pointe des Riou, estimée à moins de 0,1 km^2 (Tableau 6 et Carte 6b). Les densités moyenne et maximale, toutes les tailles confondues, atteignent 87,5 et 200 myes/m^2 respectivement. L'étendue des tailles des 16 myes mesurées varie de 17 mm à 55 mm (Carte 6b). Les myes mesurées sont presque toutes de taille sous-légale. Les quelques myes de taille légale ont été récoltées à l'extérieur du gisement. La classe de 31-35 mm domine avec 31 % des effectifs.

3.1.6 Pointe des Riou

Le secteur coquillier de Pointe des Riou, B-03.2, est contigu à celui des Îlets D'Amours et se prolonge vers l'est jusqu'au cap Marteau. Ce secteur est fermé à la cueillette de mollusques. Trois gisements de mye sont proposés par le PCCSM dans ce secteur, deux longent la grève Fatima et le troisième est situé au S.-O. de la pointe des Riou. L'aire couverte lors de l'échantillonnage de ce site en 2005 est de 1,2 km^2 et ne couvre que le troisième gisement décrit précédemment (Carte 6a). La zone de sédiments propice à la mye est relativement réduite à Pointe des Riou, celle-ci étant limitée par un marais à l'est et un banc de sable au nord. Les sédiments mixtes et de sable graveleux y prédominent (Tableau 5 et Carte 6a). Les myes occupent 45,2 % des stations échantillonnées. En plus de la mye, les autres taxons présents sont, par ordre de prépondérance, la petite macoma (78,6 %), les polychètes (54,8 %) et la moule bleue (28,6 %) (Tableau 5 et Annexe 2). Ce gisement de mye s'étend sur 0,6 km^2 (Tableau 6 et Carte 6b). Les densités moyenne et maximale, toutes les tailles confondues, se chiffrent à 44,7 et 175 myes/m^2 respectivement. Les densités les plus élevées se retrouvent aux stations à substrats meubles. La densité moyenne des myes de taille légale est de 18,4 individus/m^2. L'étendue des tailles des 34 myes mesurées varie de 30 mm à 80 mm (Carte 6b). Près de la moitié des myes sont de taille légale. Les deux modes dominants, 36-40 mm et 51-55 mm, représentent 24 % et 15 % des effectifs.

3.1.7 Baie du Ha! Ha!

Le secteur coquillier B-03.5, situé à l'intérieur du parc national du Bic, est limité à l'ouest par la pointe à Mercier et à l'est par le cap à l'Orignal. Ce secteur, qui est ouvert à la cueillette de mollusques, héberge un parc aquicole pour l'oursin vert. La baie du Ha! Ha! est un petit plan d'eau encaissé borné au nord par la montagne à Michaud et au sud par le pic Champlain. Il y a deux gisements de mye répertoriés par le PCCSM dans ce secteur, soit l'anse à Mercier (Saint-Fabien-sur-Mer) et la baie du Ha! Ha!. Cette dernière est régulièrement fréquentée par des cueilleurs récréatifs. Le segment échantillonné en 2005 couvre principalement les étages intermédiaire et supérieur de l'estran de cette baie (Carte 7a). L'aire couverte par

l'échantillonnage est de 0,9 km^2. À l'intérieur du périmètre échantillonné, les sédiments sont composés principalement de sable vaseux et de sable graveleux (Tableau 5 et Carte 7a). Des stations à sédiments mixtes et rocheux se retrouvent toutefois à l'étage supérieur de l'estran. Les myes n'occupent que 46,8 % des stations échantillonnées. La petite macoma est présente à 63,8 % des stations et les polychètes à 46,8 % des stations (Tableau 5 et Annexe 2). Le gisement de mye, proprement dit, a une superficie de 0,4 km^2 (Tableau 6 et Carte 7b). Les densités moyenne et maximale des myes sur le gisement, toutes les tailles confondues, sont de 61,4 et 225 myes/m^2 respectivement. Les densités les plus élevées se retrouvent au large de l'aire échantillonnée. La densité moyenne des myes de taille légale n'est que de 8,0 individus/m^2 sur ce gisement. Les myes échantillonnées mesurent de 7 à 58 mm et la majeure partie (87 %) d'entre elles sont inférieures à la taille légale (Carte 7b). La classe dominante, soit celle de 36-40 mm, représente 22 % des effectifs.

3.1.8 Baie Hâtée

Le secteur coquillier B-04.1 est borné à l'ouest par la pointe à Santerre et à l'est par le quai de Rimouski. Ce secteur, qui est présentement fermé à la cueillette de mollusques, inclut les sites Baie Hâtée et Rimouski. Il n'y a pas de gisement de mye mentionné par le PCCSM dans la baie Hâtée. Le segment échantillonné en 2005 s'étend sur environ 0,5 km^2 et couvre l'ensemble de la baie (Carte 8a). Cette baie offre peu de protection aux vents du N.-E. Ses sédiments sont à prédominance de sable et de sable vaseux (Tableau 5 et Carte 8a). Des sédiments rocheux ont toutefois été observés aux limites S.-E. et N.-O. du site. Les myes sont présentes à 34,2 % des stations visitées. En plus de la mye, la petite macoma, les polychètes et de la moule bleue sont les taxons présents sur le site, avec une fréquence de 44,7 %, 31,6 % et 5,3 % respectivement (Tableau 5 et Annexe 2). Le gisement identifié mesure 0,2 km^2 et n'occupe, essentiellement, que le centre de la baie (Tableau 6 et Carte 8b). Les densités moyenne et maximale sur le gisement, toutes les tailles confondues, sont de 62,5 et 175 myes/m^2 respectivement. La densité des myes de taille légale y est élevée avec 27,1 individus/m^2. L'étendue des tailles des myes mesurées varie de 20 à 96 mm et 45 % d'entre elles ont une taille légale (Carte 8b). La classe de tailles dominante est 36-40 mm avec 19 % des effectifs.

3.1.9 Rimouski

Le site Rimouski fait partie du secteur coquillier B-04.1. Ce plan d'eau, qui fait face à la ville de Rimouski, est traversé par la rivière Rimouski. Il est bordé au S.-O. par l'îlet Canuel, au N.-O. par l'île Saint-Barnabé, au S.-E. par la berge de Rimouski et au N.-E. par le quai de Rimouski. Ce site est protégé des vents du N., N.-O. et S. Aux marées basses de vives-eaux, tout le secteur situé entre l'île Saint-Barnabé et la rive sud (Rimouski) vient à découvert. Ce secteur est actuellement fermé à la cueillette de mollusques, mais selon les commentaires de résidents locaux des cueilleurs seraient aperçus occasionnellement sur le site. Un parc aquicole de l'oursin vert occupe l'extrémité ouest du site, celui-ci étant positionné en eaux plus profondes entre l'îlet Canuel et l'île Saint-Barnabé. Deux gisements de mye sont répertoriés par le PCCSM, un premier est situé à l'ouest sur le parc aquicole et un second à l'est de la rivière Rimouski. Le segment échantillonné en 2005 couvre en grande partie le platier situé à l'ouest de la rivière Rimouski, sans toutefois se superposer aux gisements identifiés par le PCCSM (Carte 9a). L'aire couverte par l'échantillonnage est de 3,8 km^2 (Tableau 5). Les sédiments, soit un mélange de sable vaseux et de sable graveleux, sont répartis de manière relativement uniforme sur le site

échantillonné (Tableau 5 et Carte 9a). Des sédiments mixtes plus grossiers sont également présents sur le site, principalement à l'est de l'îlet Canuel. La zostère est présente sur 7,2 % des stations échantillonnées (Tableau 5 et Annexe 2). Les myes occupent pour sa part 78,4 % des stations. La petite macoma, la moule bleue, les polychètes et la clovisse sont également présents sur le platier à 54,7 %, 52,5 %, 49,6 % et 5,0 % des stations respectivement. Le gisement de mye proprement dit occupe une superficie de 3 km^2 (Tableau 6 et Carte 9b). Les densités moyenne et maximale sur le gisement, toutes les tailles confondues, sont de 103,6 et 575 individus/m^2 respectivement. Les myes de taille légale y atteignent une densité maximale de125 individus/m^2, mais la densité moyenne n'y est toutefois que de 13,4 myes/m^2. L'étendue des tailles va de 9 à 81 mm (Carte 9b). Les classes de 26-30 mm et 31-35 mm dominent la structure de taille de cette population avec 16 % des effectifs chacune. La proportion des myes de taille légale est de l'ordre de 13 %.

3.1.10 Anse aux Coques

Ce petit secteur coquillier, B-05.3, est borné par la pointe aux Coques et par l'extrémité est de l'anse aux Coques. Ce secteur est fermé à la cueillette de mollusques. Malgré son nom évocateur, cette anse n'a pas de gisement de mye recensé par le PCCSM. Le segment échantillonné en 2005 couvre une grande partie de l'estran (Carte 10a). L'aire couverte par l'échantillonnage est d'environ 0,6 km^2 (Tableau 5). Le site échantillonné est caractérisé par des sédiments à prédominance de sable et l'absence de zostère (Tableau 5 et Carte 10a). La mye, la petite macoma, les polychètes et la moule bleue occupent 18,5 %, 51,9 %, 40,7 % et 7,4 % des stations visitées (Tableau 5 et Annexe 2). Ce petit gisement de mye n'occupe que 0,1 km^2 de l'aire couverte (Tableau 6 et Carte 10b). Les densités moyenne et maximale des myes sur le gisement, toutes les tailles confondues, se chiffrent à 29,2 et 75 individus/m^2 respectivement. La densité moyenne des myes de taille légale est de 20,8 individus/m^2. L'étendue des tailles des 7 myes mesurées varie de 45 à 70 mm (Carte 10b). La proportion des myes de taille légale est de l'ordre de 71 %.

3.1.11 Baie Mitis

Le secteur coquillier B-06.2 couvre le littoral sur près de 10 km, soit de la pointe aux Cenelles jusqu'au feu de navigation de la pointe Mitis. Ce secteur est fermé à la cueillette de mollusques. Les trois gisements de mye répertoriés par le PCCSM dans ce secteur sont regroupés à l'embouchure de la rivière Mitis. L'aire couverte par l'échantillonnage, d'une superficie de 1,5 km^2, recoupe deux d'entre elles. Ce secteur est assez bien protégé des vents N.-O. et S. par la pointe aux Cenelles et la côte sud. Le site échantillonné est composé principalement de vase sableuse (Tableau 5 et Carte 11a). Les sédiments mixtes et rocheux sont toutefois visibles à l'embouchure de la rivière et à l'extrémité est du site échantillonné. Brulotte et Giguère (2007) précisent qu'à cet endroit les sédiments sont composés de vase sableuse avec une proportion importante de galets et de gravier. Vaillancourt et Lafontaine (1999) mentionnent, d'autre part, que la baie Mitis est soumise à l'influence des vagues par sa grande ouverture au N.-O. et que la surface argileuse de l'estran est protégée de l'érosion et des courants de marée par la présence de nombreux cailloux. La zostère est absente du site à l'étude et les myes occupent 60,7 % des stations échantillonnées. La petite macoma (42,6 % de fréquence), la moule bleue (49,2 %), les polychètes (32,8 %) et la clovisse (1,6 %) sont également présents sur le site (Tableau 5 et Annexe 2). Le gisement circonscrit mesure 0,9 km^2 (Tableau 6 et Carte 11b). Les densités

moyenne et maximale sur le gisement, toutes les tailles confondues, atteignent 123,7 et 575 myes/m^2 respectivement. Les plus fortes densités se retrouvent au N.-O. du site, près de la pointe aux Cenelles. La densité moyenne des myes de taille légale est de 24,3 individus/m^2. L'étendue des tailles des myes mesurées varie de 10 à 80 mm (Carte 11b). Les classes de tailles dominantes sont 41-45 mm avec 16 % des effectifs et 16-20 mm avec 14 %. La proportion des myes de taille légale est de l'ordre de 18 %.

3.1.12 Anse du Petit Mitis

Le secteur coquillier B-06.3 s'étire de la pointe Mitis (feu de navigation) jusqu'au quai de Baie-des-Sables. Selon des commentaires recueillis auprès de résidents locaux, des myes seraient récoltées occasionnellement dans ce secteur, et ce, bien que la cueillette de mollusques y soit interdite. Il n'y a pas de gisement de mye mentionné par le PCCSM dans l'anse du Petit Mitis. Le site échantillonné regroupe deux petites zones. La première est située au S.-E. de l'anse, là où se jette la rivière du Petit Mitis. La seconde zone, une petite bande à substrat meuble, débute au N.-O. de la première zone et va jusqu'à la pointe Mitis. La superficie des deux zones échantillonnées est d'environ 0,8 km (Tableau 5 et Carte 12a). Le site est bien protégé des vents, sauf de la direction N.-E. Les sédiments de l'anse, à tout le moins des zones échantillonnées, sont à prédominance de sable vaseux et de sédiments mixtes. Ces sédiments mixtes sont particulièrement abondants le long de la limite est du site (Carte 12a). Les myes occupent 38,7 % des stations échantillonnées, celles-ci formant deux gisements situés de part et d'autre de l'anse à des endroits abrités (Tableau 5 et Carte 12b). La petite macoma, la moule bleue et les polychètes sont assez bien représentés sur le site à 48,4 % des stations chacun (Tableau 5 et Annexe 2). La zostère a été observée à une station (3,2 %), soit entre les deux gisements de mye. Ces deux gisements totalisent une superficie de 0,3 km^2. Les densités moyenne et maximale sur les deux gisements, toutes les tailles confondues, sont de 145,8 et 375 myes/m^2 respectivement. Les densités les plus élevées sont localisées près de la pointe Mitis. La densité moyenne des myes de taille légale atteint 29,2 individus/m^2. L'étendue des tailles des myes mesurées varie de 17 à 84 mm, la majeure partie d'entre elles (80 %) étant plus petites que la taille légale (Carte 12b). Les classes de tailles dominantes sont 41-45 mm et 46-50 mm avec 17 % et 16 % des effectifs.

3.1.13 Petits-Méchins

Le secteur coquillier B-09.2 n'est en fait qu'une étroite bande littorale qui s'étire du quai de Les Méchins jusqu'à la pointe ouest de la baie des Capucins. Ce secteur n'est pas réputé comme un site d'abondance de myes. La partie échantillonnée en 2005 est d'environ 0,4 km^2 (Tableau 5 et Carte 13a). Le site échantillonné est très ouvert sur la mer et peu protégé des vents O. et N.-O. Le dénivelé du littoral est accentué et les sédiments sont à prédominance rocheuse (Carte 13a). Une seule mye, de 30 mm de longueur, a été trouvée à la station 3. Le site semble plus favorable à la moule bleue, puisque cette espèce occupe 50,0 % des stations visitées.

3.1.14 Capucins

Le secteur coquillier B-10.1 est limité d'une part par la pointe ouest de la baie des Capucins et de l'autre par le ruisseau des Petits Capucins. Quoique fermé à la cueillette de mollusques, ce secteur recevrait la visite occasionnelle des cueilleurs récréatifs. Selon les informations du

PCCSM, la mye serait présente sur l'ensemble du secteur coquillier. Toutefois, le site inventorié a été limité à la baie des Capucins. À l'exception du chenal de la rivière des Capucins, la baie des Capucins se vide complètement à marée basse. En plus de la rivière, de petits émissaires apportent de l'eau douce dans la baie en quantités variables. Cette baie est bien protégée des vents et un cran rocheux, qui ferme presque complètement la baie, la protège des vents du nord. L'échantillonnage effectué en 2005 couvre la moitié (est) de la baie des Capucins, soit une superficie de 0,3 km^2 (Tableau 5 et Carte 14a). Les sédiments y sont à prédominance de sable vaseux et de sable graveleux. Les myes occupent 87,0 % des stations échantillonnées et la superficie du gisement est estimée à 0,2 km^2 (Tableau 6 et Carte 14b). En plus de la mye, les autres taxons présents sur le site sont par ordre de prédominance la petite macoma, la moule bleue et les polychètes avec 52,2 %, 13,0 % et 8,7 % de fréquence respectivement (Tableau 5 et Annexe 2). Les densités moyenne et maximale de myes, toutes les tailles confondues, sont de 177,5 et 450 individus/m^2 respectivement sur le gisement. La majorité (82 %) des myes échantillonnées sont de taille sous-légale. La densité moyenne des myes de taille légale y est élevée avec 32,5 individus/m^2. Les plus fortes densités de ces myes sont localisées à proximité et parallèlement au lit de la rivière. L'étendue des tailles des myes mesurées varie de 9 à 85 mm (Carte 14b). Deux classes de tailles (36-40 mm et 46-50 mm) dominent avec 16 % et 14 % des effectifs.

3.2 Relevés 2006

Les résultats des travaux réalisés en 2006 ont permis de préciser la distribution, l'abondance et les paramètres biologiques, dont la croissance, des populations de mye de trois sites. Le choix de ces trois sites s'est porté principalement sur l'étendue des tailles et la densité des myes et sur la superficie du gisement. Les sites Île Verte, Batture de Tobin et Îlets D'Amours ont été éliminés à cause de la présence importante de zostères. Le seul site échantillonné dans le parc national du Bic, Baie du Ha! Ha!, n'a pas été retenu puisqu'il est situé dans une aire protégée. Les sites Anse aux Coques et Les Méchins ont été éliminés parce qu'il y avait peu ou pas de myes. Finalement, les sites Kamouraska et Anse au Persil ne présentaient aucune mye de taille légale. Le choix s'est donc fait entre six sites, soit Pointe des Riou, Baie Hâtée, Rimouski, Baie Mitis, Anse du Petit Mitis et Capucins. Finalement, Rimouski a été retenu car il était le seul à posséder toutes les caractéristiques recherchées ainsi que Pointe des Riou et Capucins, puisque ce choix nous permettait de couvrir les extrémités est et ouest de la zone étudiée.

3.2.1 Pointe des Riou

Le relevé du mois de juin 2006 a permis de circonscrire un site d'une superficie de 2,2 km^2 (Carte 15a). Un total de 99 stations a été échantillonné lors de ce relevé, dont 27 à la pelle et 72 à l'aide du système Venturi. L'examen visuel des sédiments montre une prédominance du sable vaseux (59 % des stations), suivi par le sable graveleux (17 %) et le sable (15 %) (Carte 15a et Annexe 3). La vase est présente à seulement 6 stations.

En 2006, la petite macoma est présente à 97,0 % des stations et sa densité moyenne pour le site échantillonné est de 213 individus/m^2 (Tableau 7 et Annexe 3). Les polychètes sont communs, avec 60,6 % des stations et une densité moyenne de 6,1 individus/m^2. Sont aussi présents à ce site, mais en plus faible présence et densité, la moule bleue, le bigorneau (*Littorina littorea*), l'oursin vert ainsi que la plie rouge juvénile (*Pseudopleuronectes americanus*). La zostère est peu fréquente (4,0 % des stations) et présente surtout à la limite est du site.

Densité

Le gisement de Pointe des Riou, estimé à 1,2 km^2 en 2006, recouvre le centre du site inventorié. Les stations sans mye représentent 47,5 % des 99 stations examinées (Carte 15b et Annexe 3). Sur le gisement proprement dit, qui regroupe 54 stations, les densités des myes ≥ 11 mm varient entre 0 et 80 individus/m^2 (Figure 2). Toutes les stations, sauf une, ont moins de 50 myes/m^2.

Tableau 7. Fréquence et densité moyenne (± erreur-type) du macrobenthos et de la zostère marine au site Pointe des Riou en 2006.

Espèce	Fréquence (%)	Densité moyenne (nombre/m^2)
Bivalves		
Petite macoma (*Macoma balthica*)	97,0	213,2 ± 20,1
Clovisse (*Mesodesma arctatum*)	0	—
Mye (*Mya arenaria*)	52,5	— *
Moule bleue (*Mytilus edulis*)	20,2	2,9 ± 1,2
Gastéropodes		
Buccin commun (*Buccinum undatum*)	0	—
Bigorneau (*Littorina littorea*)	3,0	0,1 ± 0,1
Acmée à écaille de tortue (*Tectura testudinalis*)	0	—
Autres taxons		
Polychètes (Polychaeta)	60,6	6,1 ± 0,8
Plie rouge (*Pseudopleuronectes americanus*)	1,0	0,04 ± 0,04
Oursin vert (*Strongylocentrotus droebachiensis*)	1,0	0,04 ± 0,04
Zostère marine (*Zostera marina*)	4,0	—

* : La densité des myes a été calculée seulement pour le gisement et est présentée plus loin dans le texte.

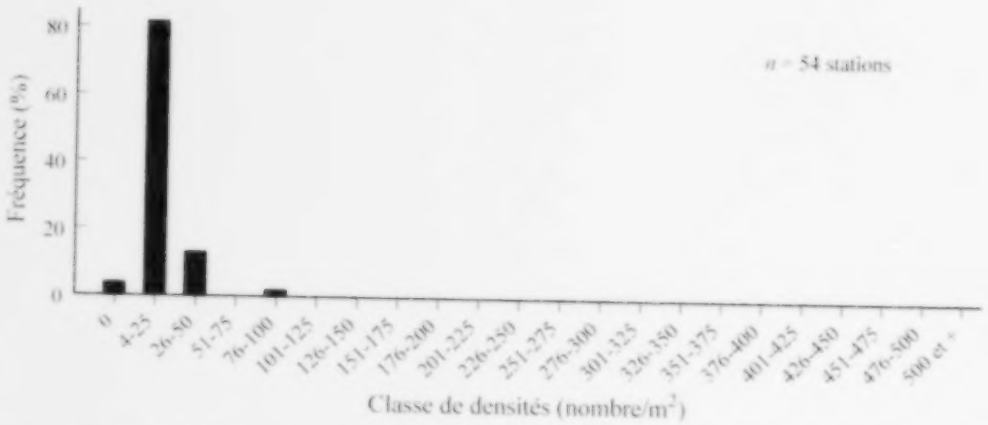

Figure 2. Nombre de stations par classe de densités des myes communes (*Mya arenaria*) de taille ≥ 11 mm sur le gisement de Pointe des Riou en 2006.

La densité moyenne des myes sur le gisement est de 13,6 individus/m^2 et celle des myes de taille sous-légale de 12,5 individus/m^2 (Tableau 8). Ces dernières sont présentes à peu près partout sur le gisement (Carte 15b). La densité maximale des myes de taille sous-légale est de 80 individus/m^2. La densité maximale observée des myes de taille légale est de 8 individus/m^2 et leur densité moyenne de 1,1 individu/m^2. Cette dernière catégorie de mye est présente seulement aux 13 stations positionnées en périphérie au N.-E. et S.-O. du gisement.

Tableau 8. Densités moyenne (± erreur-type) et maximale, abondance, rendements moyen (± erreur-type) et maximal et biomasse des myes communes (*Mya arenaria*) par catégorie de tailles sur le gisement de Pointe des Riou en 2006.

Catégorie de tailles	Densité (nombre/m^2)		Abondance (million)	Rendement (g/m^2)		Biomasse (t)
	Moyenne	Maximale		Moyen	Maximal	
Totale (≥ 11 mm)	13,6 ± 1,9	80	16,3	66,3 ± 7,8	206,8	79,6
Légale (≥ 51 mm)	1,1 ± 0,3	8	1,3	25,9 ± 7,0	193,9	31,1
Sous-légale (11 à 50 mm)	12,5 ± 1,9	80	15,0	40,4 ± 5,8	189,9	48,5

La multiplication de la densité moyenne par la superficie du gisement permet d'estimer l'abondance des myes de ce gisement à 16,3 millions d'individus (Tableau 8). Cette population est composée à 92 % de myes de taille sous-légale.

Rendement

Le rendement moyen atteint 66,3 g/m^2 pour les myes de toutes les tailles confondues, 25,9 g/m^2 pour des myes de taille légale et 40,4 g/m^2 pour les myes de taille sous-légale (Tableau 8). Les rendements individuels par station de cette dernière catégorie de tailles varient de 0 à 206,8 g/m^2, les valeurs les plus élevées se situant au centre du gisement (Carte 15c). Le rendement maximal des myes de taille légale est de 193,9 g/m^2. La biomasse totale est estimée à 79,6 t pour l'ensemble de ce gisement et celle des myes de taille légale à 31,1 t.

Structure de taille

Les tailles des 177 myes mesurées en 2006 s'étendent de 11 à 73 mm (Carte 15b). La taille moyenne des myes est de 29,9 mm et la médiane est de 27 mm. Les myes de très petite taille sont absentes de l'échantillonnage. La classe de taille de 21-25 mm se démarque avec 21 % des myes mesurées.

3.2.2 Rimouski

En août 2006, 159 stations ont été échantillonnées à Rimouski, soit 97 stations au Venturi et 62 à la pelle (Carte 16a). La superficie couverte par l'échantillonnage est de près de 4,9 km^2. Aux stations échantillonnées, les sédiments sont principalement composés de sable graveleux (29 %), de sable vaseux (25 %) et de vase (23 %) (Carte 16a et Annexe 3). Le gravier est souvent présent, mais mélangé en faible proportion à d'autres types de sédiments. Les sédiments vaseux se retrouvent à proximité de l'îlet Canuel, ainsi qu'aux limites S.-E. et O. du site, tandis que le sable graveleux domine au centre du site échantillonné. La zostère est présente seulement à huit

stations situées au sud du site (Annexe 3). Le dénivelé sur le platier est d'environ 2 m (Carte 16b). Les zones les plus profondes (altimétrie inférieure à 0,1 m) sont situées à mi-chemin entre l'île Saint-Barnabé et la rive. En contrepartie, les zones les plus élevées se retrouvent aux limites nord et sud du site ainsi qu'à proximité de l'îlet Canuel.

Six espèces (ou taxons) sont associées à la mye à Rimouski (Tableau 9 et Annexe 3). La petite macoma est très fréquente (93,7 %) et abondante, sa densité moyenne est de 333,1 individus/m^2. La moule bleue est présente à 60,4 % des stations avec une densité moyenne de 27,8 individus/m^2. Les polychètes sont aussi très fréquents (59,1 %) avec une densité moyenne de 8,5 individus/m^2. Quelques clovisses, buccins communs (*Buccinum undatum*) et acmées à écailles de tortue (*Tectura testudinalis*) font partie des captures.

Densité

La mye est présente à 90,6 % des stations, soit sur la presque totalité de la surface échantillonnée (Tableau 9 et Carte 16c). En 2006, la superficie du gisement est évaluée à près de 4,5 km^2 (146 stations). Le gisement est bien circonscrit par la grille échantillonnée, sauf en direction est. La majorité des stations ont moins de 100 myes/m^2, soit 74 % des stations du gisement (Figure 3).

Tableau 9. Fréquence et densité moyenne (± erreur-type) du macrobenthos et de la zostère marine au site Rimouski en 2006.

Espèce	Fréquence (%)	Densité moyenne (nombre/m^2)
Bivalves		
Petite macoma (*Macoma balthica*)	93,7	333,1 ± 21,1
Clovisse (*Mesodesma arctatum*)	5,0	0,3 ± 0,1
Mye (*Mya arenaria*)	90,6	—*
Moule bleue (*Mytilus edulis*)	60,4	27,8 ± 4,4
Gastéropodes		
Buccin commun (*Buccinum undatum*)	1,3	0,05 ± 0,03
Bigorneau (*Littorina littorea*)		
Acmée à écaille de tortue (*Tectura testudinalis*)	1,3	0,05 ± 0,03
Autres taxons		
Polychètes (Polychaeta)	59,1	8,5 ± 1,0
Oursin vert (*Strongylocentrotus droebachiensis*)	0	—
Plie rouge (*Pseudopleuronectes americanus*)	0	—
Zostère marine (*Zostera marina*)	5,0	—

* : La densité des myes a été calculée seulement pour le gisement et est présentée plus loin dans le texte.

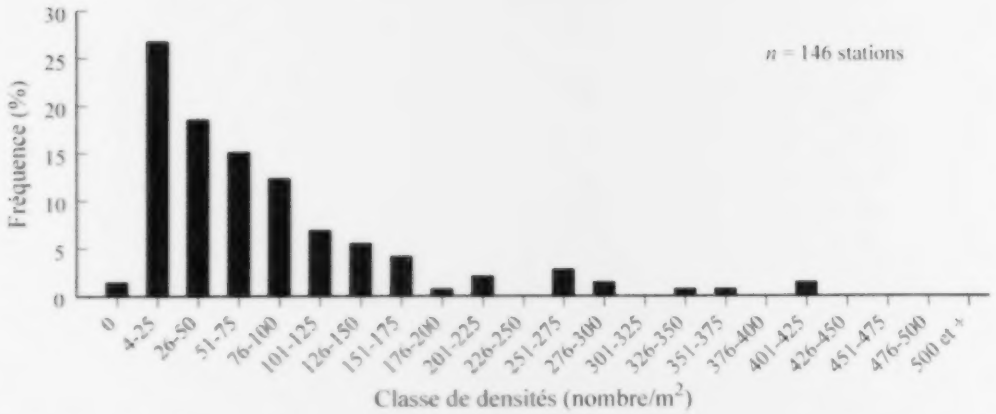

Figure 3. Nombre de stations par classe de densités des myes communes (*Mya arenaria*) de taille ≥ 11 mm sur le gisement de Rimouski en 2006.

Les densités moyenne et maximale atteignent 80,9 et 408 myes/m^2 respectivement sur le gisement (Tableau 10). Les myes de taille sous-légale représentent 94 % de toutes les myes du gisement. La densité moyenne de cette catégorie de tailles se chiffre à 76,0 individus/m^2, contre 4,9 individus/m^2 pour les myes de taille légale (Tableau 10). Les plus grandes concentrations de myes de taille sous-légale se retrouvent principalement près de l'îlet Canuel et au centre du gisement (Carte 16c). Les myes de taille légale sont plus abondantes au centre du gisement où l'altimétrie est de moins de 0,5 m et où le sable domine dans les sédiments. L'abondance des myes (≥ 11 mm) est de 364 millions d'individus sur ce gisement et celle des myes de taille légale de 22 millions (Tableau 10).

Tableau 10. Densités moyenne (± erreur-type) et maximale, abondance, rendements moyen (± erreur-type) et maximal et biomasse des myes communes (*Mya arenaria*) par catégorie de tailles sur le gisement de Rimouski en 2006.

Catégorie de tailles	Densité (nombre/m^2)		Abondance (million)	Rendement (g/m^2)		Biomasse (t)
	Moyenne	Maximale		Moyen	Maximal	
Totale (≥ 11 mm)	80,9 ± 6,7	408	364,0	380,8 ± 35,0	2 370,9	1 713,6
Légale (≥ 51 mm)	4,9 ± 0,7	52	22,0	120,5 ± 18,2	1 176,3	542,2
Sous-légale (11 à 50 mm)	76,0 ± 6,6	400	342,0	260,3 ± 25,3	1 813,0	1 171,4

Rendement

Le rendement moyen sur le gisement de Rimouski se chiffre à 260,3 g/m^2 pour les myes de taille sous-légale et à 120,5 g/m^2 pour les myes de taille légale (Tableau 10). Les stations avec les rendements les plus élevés se retrouvent surtout au centre du gisement (Carte 16d). La valeur maximale observée est de 1 813,0 g/m^2 de myes de taille sous-légale et de 1 176,3 g/m^2 pour les

myes de taille légale. La biomasse totale sur le gisement est estimée à 1 713,6 t et celle des myes de taille légale à 542,2 t (Tableau 9).

Structure de taille

La gamme de tailles des myes mesurées à Rimouski varie entre 6 et 85 mm (Carte 16c). La taille moyenne des myes (≥ 11 mm) de ce gisement est de 28,5 mm avec une médiane à 26 mm. Le quart (25 %) des myes mesurent moins de 17 mm.

3.2.3 Capucins

La superficie couverte par l'échantillonnage est de 0,7 km^2 dans la baie des Capucins. Des 118 stations échantillonnées, 68 stations ont été faites à la pelle et 50 avec le système Venturi (Carte 17a et Annexe 3). Le sable vaseux domine avec une fréquence de 50 %, suivi par le sable graveleux (19 %) et la vase (15 %). Du gravier et des galets sont souvent présents mélangés avec le sable et la vase. Le sable vaseux couvre tout le centre de la baie et la vase se retrouve principalement à la limite est du site. La zostère est assez fréquente sur ce site (fréquence de 12 %) et présente surtout aux stations avec des sédiments vaseux. Le profil altimétrique de ce site varie de 0,03 m à environ 1,5 m (Carte 17b). Les zones les plus profondes se situent au N.-O du site à proximité du chenal de la rivière.

Cinq espèces (ou taxons) sont associées à cette population de mye (Tableau 11). La petite macoma est la plus fréquente avec une présence à 74,6 % des stations échantillonnées et une densité moyenne de 111,9 individus/m^2. Les moules bleues sont présentes à 30,5 % des stations et parfois en nombre suffisant pour couvrir plus de 50 % de la surface échantillonnée surtout au N.-O. de la baie. La densité maximale observée est de 1 176 individus/m^2 (Annexe 3). Des polychètes sont présents à 20,3 % des stations, mais en densités relativement faibles. La clovisse et le bigorneau colonisent seulement quelques stations (Annexe 3).

Densité

Les myes sont présentes sur la majorité du site échantillonné (Tableau 11 et Carte 17c). Les stations sans mye représentent 24 % de l'ensemble des stations visitées. Le gisement est bien couvert par la grille d'échantillonnage. Plus de 43 % des stations ont des densités supérieures à 100 myes/m^2 (Figure 4). La superficie du gisement de la baie des Capucins est estimée à 0,5 km^2. La propagation des myes sur ce site est limitée par la présence du cran rocheux au nord et par des zones avec de faibles dénivelées aux extrémités S.-E et S.-O. de la baie. La densité des myes varie entre 0 et 464 individus/m^2, pour une moyenne de 112,3 individus/m^2 (Tableau 12).

Tableau 11. Fréquence et densité moyenne (± erreur-type) du macrobenthos et de la zostère marine au site Capucins en 2006.

Espèce	Fréquence (%)	Densité moyenne (nombre/m^2)
Bivalves		
Petite macoma (*Macoma balthica*)	74,6	111,9 ± 12,8
Clovisse (*Mesodesma arctatum*)	2,5	0,1 ± 0,1
Mye (*Mya arenaria*)	76,3	—*
Moule bleue (*Mytilus edulis*)	30,5	51,5 ± 18,3
Gastéropodes		
Buccin commun (*Buccinum undatum*)	0	—
Bigorneau (*Littorina littorea*)	0,8	0,03 ± 0,03
Acmée à écaille de tortue (*Tectura testudinalis*)	0	—
Autres taxons		
Polychètes (Polychaeta)	20,3	1,3 ± 0,3
Oursin vert (*Strongylocentrotus droebachiensis*)	0	—
Plie rouge (*Pseudopleuronectes americanus*)	0	—
Zostère marine (*Zostera marina*)	11,9	—

*: La densité des myes a été calculée seulement pour le gisement et est présentée plus loin dans le texte.

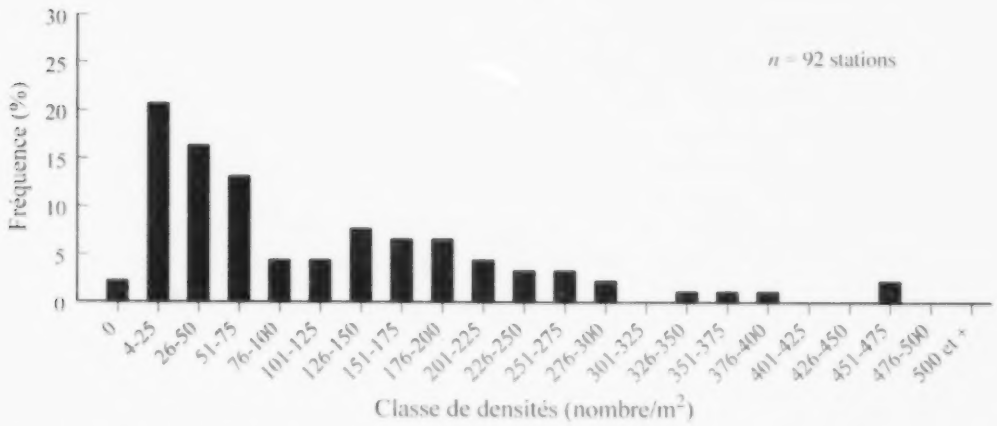

Figure 4. Nombre de stations par classe de densités des myes communes (*Mya arenaria*) de taille ≥ 11 mm sur le gisement de Capucins en 2006.

Tableau 12. Densités moyenne (± erreur-type) et maximale, abondance, rendements moyen (± erreur-type) et maximal et biomasse des myes communes (*Mya arenaria*) par catégorie de tailles sur le gisement de Capucins en 2006.

Catégorie de tailles	Densité (nombre/m^2)		Abondance (million)	Rendement (g/m^2)		Biomasse (t)
	Moyenne	Maximale		Moyen	Maximal	
Totale (≥ 11 mm)	112,3 ± 11,0	464	56,2	563,7 ± 83,8	4 262,9	281,8
Légale (≥ 51 mm)	9,3 ± 2,1	120	4,7	237,9 ± 59,1	3 962,4	118,9
Sous-légale (11 à 50 mm)	103,0 ± 10,3	464	51,5	325,8 ± 41,0	2 524,5	162,9

La densité des myes de taille sous-légale varie entre 0 et 464 individus/m^2, pour une densité moyenne de 103,0 individus/m^2 (Carte 17c). Les plus fortes concentrations de ces myes se retrouvent au centre de la baie. La densité moyenne des myes de taille légale sur le gisement est de 9,3 individus/m^2 tandis que la densité maximale est de 120 individus/m^2. Ces myes se retrouvent principalement au centre du gisement (Carte 17c). L'abondance totale des myes (≥ 11 mm) sur le gisement est de 56,2 millions d'individus, dont 91,6 % sont des myes de taille sous-légale.

Rendement

Le rendement moyen de l'ensemble des myes est de 563,7 g/m^2 sur ce gisement (Tableau 12). Le rendement maximal atteint 4 262,9 g/m^2 (Carte 17d). Les rendements des myes de taille sous-légale varient entre 0 et 2 524,5 g/m^2, pour un rendement moyen de 325,8 g/m^2. Les rendements les plus importants se trouvent principalement à l'ouest de la baie à proximité du chenal de la rivière. Le rendement moyen des myes de taille légale est de 237,9 g/m^2 et la valeur maximale est de 3 962,4 g/m^2 pour cette catégorie de myes. La biomasse totale est de 281,8 t sur le gisement, celle des myes de taille légale atteint 118,9 t (Tableau 12).

Structure de taille

La taille des myes mesurées varie entre 6 et 80 mm sur le gisement de Capucins (Carte 17c). Les myes de moins de 20 mm dominent largement la distribution. La longueur moyenne des myes (≥ 11 mm) est de 26,8 mm et la médiane de 22 mm.

3.3 Croissance et relations allométriques

Les myes ensemencées à la fin avril 2006 à Pointe des Riou, Rimouski et Capucins ont été récupérées à la mi-septembre 2006, soit après 133 jours. Les taux de récupération sont très variables entre les 3 sites, soit de 8 à 69 % (Tableau 13). Le plus faible taux est observé à Pointe des Riou et le plus élevé à Capucins. Le nombre de myes mortes retrouvées sur les sites a varié entre 1 et 13 %, mais ces valeurs ne correspondent toutefois pas au taux de mortalité naturelle étant donné que l'on ne sait pas ce qui est advenu des myes non récupérées.

Tableau 13. Nombre de myes récupérées, taux de récupération, longueurs moyennes initiale et finale et accroissement moyen pour la période d'avril à septembre 2006 aux sites Pointe des Riou, Rimouski et Capucins.

Site	Myes récupérées (nombre)		Récupération (%)	Longueur moyenne (mm)		Accroissement (mm)
	Vivantes	Mortes		Initiale	Finale	
Pointe des Riou	13	2	8	19,1	32,3	9,9
Rimouski	83	1	37	19,6	22,2	1,7
Capucins	141	12	69	19,3	23,2	3,6

La croissance totale des myes pour toute la durée expérimentale est de 9,9 mm, 3,6 mm et 1,7 mm respectivement pour Pointe des Riou, Capucins et Rimouski. L'accroissement moyen est de 0,074 mm/jour, 0,027 mm/jour et 0,013 mm/jour respectivement pour chacun de ces 3 sites. Les faibles croissances obtenues à Rimouski sont en accord avec les observations de Jacques (1983) qui mentionne que la croissance de ces myes est faible à Rimouski par rapport à d'autres populations déjà étudiées.

Les relations allométriques, estimées à partir des mesures effectuées sur ces myes provenant de l'ensemble des gisements de Pointe des Riou, Rimouski et Capucins sont présentées à la Figure 5 et à l'Annexe 4. À titre d'exemple, les valeurs estimées pour une mye de 51 mm de longueur, à partir des relations allométriques du gisement de Pointe des Riou, sont : 32,1 mm de largeur, 19,9 mm d'épaisseur, 15,8 g de poids entier humide, 0,5 g de viscères secs et finalement 8,6 g de coquilles sèches. À Rimouski, une mye de 51 mm a une largeur de 31,9 mm, une épaisseur de 20,1 mm, un poids entier humide de 16,8 g, un poids de viscères secs de 0,6 g et un poids de coquilles sèches de 7,8 g. Par ailleurs, une mye de Capucins de 51 mm de longueur a une largeur de 32,6 mm, une épaisseur de 19,9 mm, un poids entier humide de 17,6 g, un poids de viscères secs de 0,4 g et un poids des coquilles sèches de 8,1 g.

Le coefficient de détermination (R^2) est supérieur à 0,97 pour toutes les relations linéaires calculées. Il n'y a pas de différence significative entre les relations de l'épaisseur et du poids des coquilles sèches en fonction de la longueur des myes aux trois sites (Annexe 4). Les pentes de la relation du poids des viscères secs en fonction de la longueur diffèrent toutefois entre les sites. Pour une même longueur, le poids des viscères secs est plus faible à Capucins et plus élevé à Rimouski. L'ordonnée à l'origine de la relation de la largeur en fonction de la longueur est significativement plus élevée à Capucins. Et finalement, les ordonnées à l'origine diffèrent entre les sites pour la relation du poids entier humide et de la longueur, l'ordonnée étant plus élevée à Pointe des Riou.

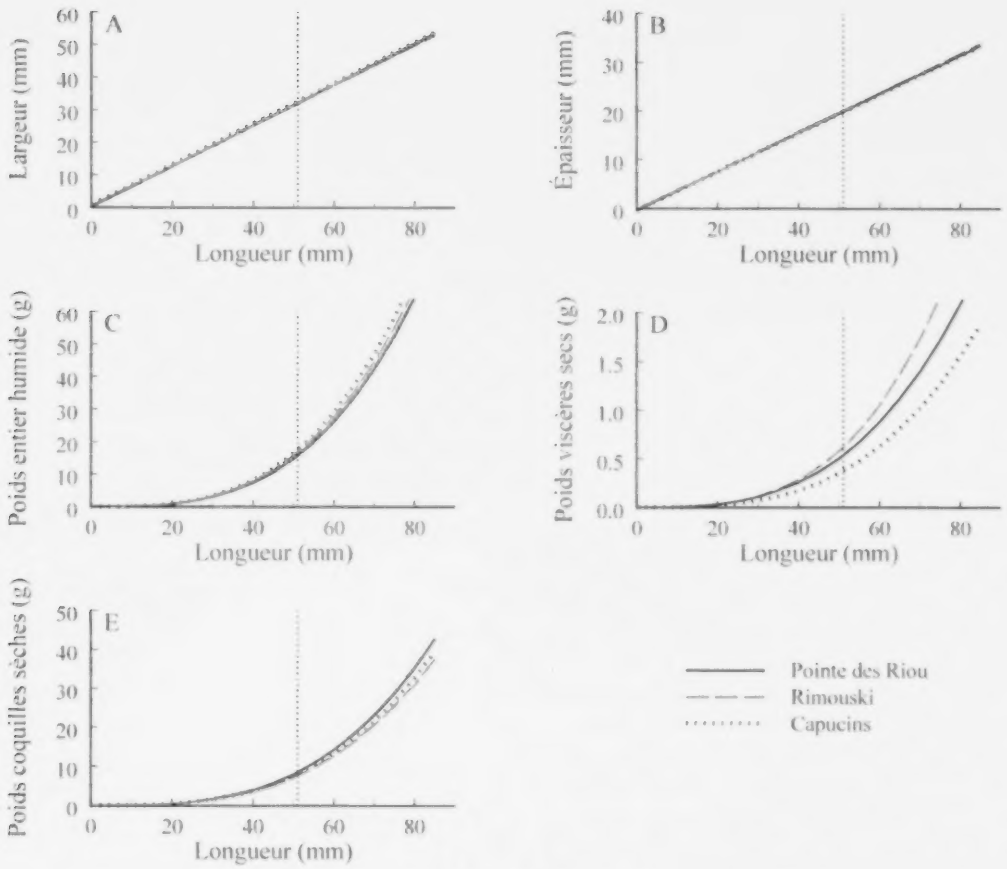

Figure 5. Relations allométriques entre la largeur (A), l'épaisseur (B), le poids entier humide (C), le poids des coquilles sèches (D) et le poids des viscères secs (E) et la longueur des myes communes (*Mya arenaria*) échantillonnées à Pointe des Riou, Rimouski et Capucins en 2006. La ligne verticale en pointillé indique la taille légale de 51 mm.

Ces résultats complètent ceux obtenus lors de l'expérience de croissance de 2006. Rappelons que dans ce dernier cas, les meilleurs accroissements en longueur ont été obtenus à Pointe des Riou (mais avec un très faible taux de récupération), et les plus faibles accroissements à Rimouski. D'autre part, pour une même longueur, les myes provenant de Rimouski ont un poids entier et un poids des viscères secs plus élevés qu'à Pointe des Riou. Ces résultats peuvent sembler à première vue contradictoires mais il faut toutefois préciser que les résultats de croissance menés en 2006 ne sont valables que pour de petits sites expérimentaux localisés à un niveau altimétrique donné et pas nécessairement représentatifs du potentiel global du gisement; tandis que les relations allométriques présentées sont calculées à partir de myes prélevées sur une grande surface à plusieurs niveaux altimétriques. L'interprétation de ces résultats est donc plutôt complexe surtout que les informations recueillies ne se chevauchent pas.

4 DISCUSSION GÉNÉRALE

De Kamouraska à Capucins, l'estran s'élargit en plusieurs points pour laisser place à des battures favorables à l'établissement de mollusques benthiques et endobenthiques. Bourget et Messier (1976) mentionnent, qu'à ce titre, la moule bleue et la mye commune sont dominantes entre Rivière-Hâtée et Cap-Chat. La présence et le développement de ces espèces sont toutefois liés à la qualité du milieu et à des conditions environnementales locales telles, la salinité, la température et la qualité de l'eau et le type de substrat.

En 2005 et 2006, un peu plus de 19 km^2 de battures ont été inventoriés sur la rive sud de l'estuaire du Saint-Laurent, entre Kamouraska et Capucins. Des myes ont été trouvées sur 62 % de la superficie échantillonnée. Treize gisements ont été localisés en 2005 et trois d'entre eux, soit Pointe des Riou, Rimouski et Capucins, ont fait l'objet d'un inventaire plus détaillé en 2006. À l'exception des secteurs coquilliers B-02.4 (Baie du Ha! Ha!) et B-03.5 (Île Verte), tous les sites étudiés sont officiellement fermés à la cueillette de mollusques. Toutefois, d'après les commentaires de résidents locaux, des cueilleurs récréatifs seraient aperçus occasionnellement sur la plupart des sites visités. La superficie des gisements échantillonnés en 2005 varie de 0,1 à 3,0 km^2 (Figure 6). Le gisement de Rimouski est le plus grand et Kamouraska suit avec 1,8 km^2. Les gisements Îlets D'Amours (0,1 km^2), Anse aux Coques (0,1 km^2), Baie Hâtée (0,2 km^2) et Capucins (0,2 km^2) n'occupent que des surfaces restreintes. Les travaux réalisés à l'anse des Méchins (Petits-Méchins) n'ont pas permis de localiser de gisement de mye à cet endroit. Les superficies estimées en 2006, pour les gisements de Pointe des Riou (1,2 km^2), Rimouski (4,5 km^2) et Capucins (0,5 km^2), affichent des valeurs légèrement supérieures à celles mesurées en 2005 en raison d'une meilleure couverture des sites. Le gisement de Rimouski se classe parmi les plus grands gisements répertoriés au Québec (Annexe 5). Les autres gisements évalués en 2005 et 2006 se situent dans la moyenne des valeurs mesurées récemment en Gaspésie (Roy *et al.* 2003) à Mingan sur la Moyenne-Côte-Nord (Brulotte et Giguère 2003) et aux Îles-de-la-Madeleine (Brulotte *et al.* 2006).

Tous les sites inventoriés au cours des deux dernières années se retrouvent, à l'exception de Baie du Ha! Ha!, à proximité de cours d'eau ayant, à tout le moins de façon épisodique, un débit d'eau douce relativement élevé. Ces variations de débits sont, d'autre part, amplifiées par des marées semi-diurnes dont les amplitudes peuvent atteindre jusqu'à 5,5 m à certains sites. Le type de sédiments présent sur les battures est influencé, entre autres, par l'action des vents, des courants et des vagues. Caron (1991) mentionne que les sédiments des baies exposées aux vents dominants ont une granulométrie plus grossière que ceux des baies plus abritées. Les tendances générales des sites étudiés en 2005 et 2006, au chapitre de l'exposition aux vents et des types de sédiments dominants, ne sont pas si évidentes (Tableau 14). De façon générale, il y a souvent à l'intérieur de chacun des sites une mixité de sédiments due à la présente d'abris (îlot, cap, bloc erratique, roche, etc.) de dimensions diverses. Grâce à ces écrans, une grande variété de sédiments peut se retrouver à l'intérieur d'un même site. De plus, la présence de rivières influence aussi la granulométrie des sites. À titre d'exemple, près de la côte et à l'embouchure de la rivière Rimouski, ce sont les sédiments fins (vase à sable vaseux) qui dominent, plus au large, en zone moins abritée, le sable et le sable graveleux sont les sédiments les plus fréquents.

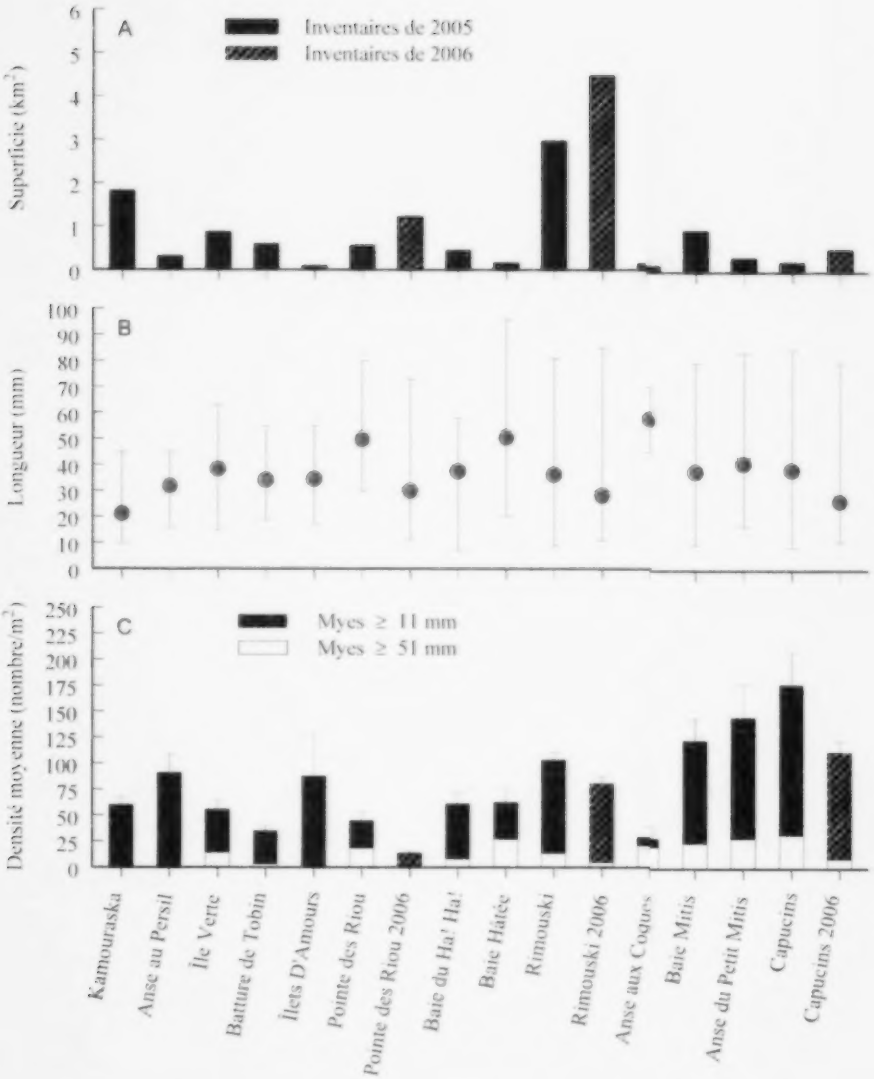

Figure 6. Superficie des gisements (A), longueurs moyenne (myes ≥ 11 mm), minimale et maximale (B) et densité moyenne (± erreur-type) par catégorie de tailles (C), des myes communes (*Mya arenaria*) par gisement échantillonné en 2005 et 2006.

Tableau 14. Exposition au vent et type de sédiments dominants par site échantillonné en 2005 et 2006.

Site	Exposition aux vents [1]					Sédiment dominant [2]					
	S.-O.	O.	N.-O.	N.	N.-E.	V	Vs	Sv	S	Sg	M
Kamouraska	½	1	½	½	1					x	x
Anse au Persil	½	1	½			x		x			
Île Verte	1				1			x			
Batture de Tobin	1	1		1	½			x			
Îlets D'Amours		½	½	½			x		x		
Pointe des Riou	½	1	1	1	½					x	x
Baie du Ha! Ha!	1	½						x		x	
Baie Hâtée			½	½	1			x	x		
Rimouski	½			½	½			x		x	
Anse aux Coques			½	1	1				x		
Baie Mitis			½	1	½		x				
Anse du Petit Mitis				½	1			x			x
Petits-Méchins		1	1	1							x
Capucins			[3]	[3]				x		x	

[1] : 1 = exposition importante à ce vent ; ½ = protégé en partie de ce vent ; un carré vide = protégé de ce vent.
[2] : V = vase ; Vs = vase sableuse ; Sv = sable vaseux ; S = sable ; Sg = sable graveleux ; M = sédiment mixte.
[3] : Probablement protégé par le cran rocheux.

Les organismes benthiques qui habitent l'estran de l'estuaire maritime du Saint-Laurent s'apparentent à la communauté boréo-atlantique à *Macoma balthica* avec un faciès à *Mya arenaria* (Desrosiers et Brêthes 1984, Roseberry 1988, Caron *et al.* 1996). Cette communauté est dominée par la petite macoma, la mye commune, les polychètes, *Nereis virens* et *Nephtys caeca*, et les gastéropodes, *Littorina* sp. et *Hydrobia* sp. Par ailleurs, sur les substrats rocheux et les graviers stabilisés, la moule bleue est bien représentée (Lavoie 1970c, Desrosiers et Brêthes 1984, Ferreyra 1987, Roseberry 1988). À l'exception de Petits-Méchins, la petite macoma est présente à tous les sites échantillonnés en 2005 et 2006, sa fréquence, qui varie de 24,3 % à 97,0 %, est généralement comparable, voire supérieure, à celle de la mye. La densité moyenne des petites macomas est relativement élevée aux trois sites inventoriés en 2006, soit 213,2 individus/m^2 à Pointe des Riou, 333,1 individus/m^2 à Rimouski et 111,9 individus/m^2 à Capucins. Nos résultats, à l'image de ceux de Joly (1987) à l'anse à l'Orignal et de Desrosiers et Brêthes (1984) à Rimouski, montrent que la variabilité de la petite macoma est très élevée entre les stations. La densité moyenne des moules bleues augmente progressivement d'ouest en est, soit de 2,9 individus/m^2 à Pointe des Riou à 51,5 individus/m^2 à Capucins. Il faut cependant préciser que les relevés visaient la mye et que les sites choisis étaient généralement peu propices à la moule bleue. Les densités des polychètes sont du même ordre de grandeur pour les deux sites situés plus à l'ouest (6,1 et 8,5 individus/m^2) et plus faibles à Capucins (1,3 individu/m^2). La clovisse est absente de Pointe des Riou, mais présente en faible densité aux deux autres sites. Enfin, le bigorneau est absent de Rimouski, mais présent en faible densité ($\leq$ 0,12 individu/m^2) aux deux autres sites.

La fréquence de la mye varie entre 34,2 % à Baie Hâtée et 87 % à Capucins, à l'exception de Petits-Méchins (6,3 %) et Anse aux Coques (18,5 %). Une fréquence élevée ne signifie pas obligatoirement une densité élevée de la population, à titre d'exemple la fréquence sur le site et la densité sur le gisement se chiffrent à 84,2 % et 55,0 myes/m^2 à Île Verte et à 38,7 % et 145,8 myes/m^2 à Anse du Petit Mitis. Les fréquences calculées s'expliquent principalement par le fait que le site échantillonné correspond plus ou moins au gisement proprement dit. Elles sont influencées, d'autre part, par l'homogénéité ou l'hétérogénéité (contagion) des myes sur les gisements.

À l'exception de Petits-Méchins et Anse aux Coques, les densités maximales des myes ≥ 11 mm sur les gisements sont de 100 individus/m^2 et plus en 2005. Sur les gisements situés à l'ouest de la région inventoriée, soit de Kamouraska à Baie Hâtée, en excluant Batture de Tobin, les densités maximales varient entre 175 et 450 individus/m^2. À l'est de Baie Hâtée, les valeurs maximales sont de l'ordre de 375 à 575 individus/m^2 sauf à Anse aux Coques. Les densités moyennes des myes ≥ 11 mm oscillent, pour leur part, entre 29,2 et 177,5 individus/m^2 (Figure 6). Quatre gisements, soit Rimouski, Baie Mitis, Anse du Petit Métis et Capucins, ont des densités moyennes supérieures à 100 myes/m^2.

En 2005, les myes de taille légale sont absentes des gisements de Kamouraska, Anse au Persil et Îlets D'Amours (Figure 6). Sur les autres gisements, les densités moyennes de ces myes varient entre 3,4 individus/m^2 sur le gisement de Batture de Tobin et 32,5 individus/m^2 sur celui de Capucins. Les densités maximales observées pour cette catégorie de myes varient entre 25 et 150 individus/m^2.

Les résultats de 2006, pour les gisements de Pointe des Riou, Rimouski et Capucins montrent de légères différences par rapport aux valeurs obtenues en 2005. Ces différences peuvent s'expliquer par des variations de l'abondance et de la structure démographique à très petite échelle, à des variations saisonnières et annuelles de ces deux paramètres ainsi qu'aux méthodologies utilisées. Il est vrai que la localisation du site et des stations échantillonnées a légèrement varié entre les deux années d'étude. Un léger décalage de la grille d'échantillonnage vers le haut ou le bas de l'estran serait en mesure d'influencer les résultats. Lamoureux (1977) a observé que la densité des myes varie selon leur position dans l'estran. Roseberry (1988) a remarqué que la densité des myes est plus grande autour des roches affleurant les sédiments, ce qui indique une grande variabilité de leur densité à petite échelle. Brulotte et Giguère (2003) ont également observé, à une échelle de l'ordre de 1 m, des variations de l'abondance et de la structure de taille des myes à Mingan sur la Côte-Nord. Ces auteurs ont également noté des variations saisonnières et annuelles sur le même gisement. D'autre part, le fait que les densités soient toutes plus faibles en 2006 qu'en 2005, pour les trois gisements échantillonnés, porte à croire que les variabilités, spatiale, saisonnière et annuelle, n'expliquent pas tout. À notre avis, les différentes méthodes d'échantillonnage peuvent également expliquer une partie des variations observées. Un plus grand nombre d'échantillonneurs en 2005 et une surface échantillonnée par station 6 fois plus petite en 2005 sont susceptibles d'avoir induit des biais. Giguère *et al.* (2007) ont observé, lors de travaux réalisés sur l'huître américaine (*Crassostrea virginica*), une augmentation de la précision des estimations avec l'augmentation de la superficie échantillonnée. Les résultats obtenus aux trois gisements e 2006 pourraient indiquer une légère surestimation de la densité des myes (et plus particulièrement des myes de taille légale) en 2005.

Les données historiques de la littérature, du territoire à l'étude, diffèrent souvent des valeurs estimées à la suite des travaux menés en 2005 et 2006 (Annexe 6). Les différences observées

sont parfois mineures pour certains gisements (ex. Anse au Persil, Îlets D'Amours, Pointe des Riou, Baie du Ha! Ha!) ou nettement plus importantes pour d'autres (ex. Île Verte, Batture de Tobin, Rimouski). À titre d'exemple, Lavoie (1967) mentionne pour Trois-Pistoles (probablement Batture de Tobin) une abondance maximale de 52 myes de taille légale au mètre carré comparativement à 25 myes/m^2 obtenue en 2005. Pour Rimouski, cet auteur mentionne également des densités maximales des myes de taille légale de 152 individus/m^2. Ces densités sont nettement supérieures à celles observées en 2005 et 2006. Une partie des écarts observés pourraient être attribuables aux différences méthodologiques ou aux différences de la localisation des sites échantillonnés. Prenons par exemple Rimouski, où plusieurs travaux menés par le passé ont été réalisés à l'est de la rivière (Desrosiers et Bréthes 1984, Biorex 1992 et 1999), soit une portion non inventoriée en 2005 et 2006. Il est aussi parfois difficile de se démêler avec la toponymie des lieux utilisés par les différents auteurs, ce qui a pour conséquence que des lieux d'apparence similaire sont parfois suffisamment distants les uns des autres pour être considérés comme des entités différentes.

Les différences annuelles ou pluriannuelles sur de mêmes gisements pourraient être attribuables à des changements notables de l'habitat ou à la surexploitation de certaines populations. Il se peut que les échantillonnages réalisés à la fin des années 1960 ne coïncident pas avec ceux réalisés en 2005 et 2006 ou que les gisements (bancs) aient été déplacés ou remodelés à la suite à de changements du lit ou du débit des cours d'eau avoisinants. Il semble, selon des témoignages recueillis en 2006, qu'une exploitation récréative subsiste toujours à Pointe des Riou, ce qui pourrait expliquer en partie les faibles densités observées. Toutefois, il faut mentionner que les densités des myes de taille légale observées lors des travaux réalisés en 2005 et 2006 sont de mêmes ordres que les valeurs mesurées lors des relevés effectués au cours des dernières années aux Îles-de-la-Madeleine, en Gaspésie et à Mingan sur des gisements souvent peu ou pas exploités (Annexe 5). Ce dernier point pourrait indiquer que les variations interannuelles notées auraient évolué dans le même sens pour une grande partie de l'estuaire et du golfe du Saint-Laurent, ce qui pourrait être le reflet d'un changement environnemental à plus grande échelle.

En 2005, les tailles moyennes échantillonnées varient entre 21 et 58 mm selon le gisement (Figure 6). Elles sont supérieures à Anse au Coques et Baie Hâtée, basses à Kamouraska, Anse du Petit Métis et Anse au Persil, puis relativement uniformes, autour de 40 mm, pour les autres gisements. Dans l'ensemble, la taille maximale des myes est inférieure à 60 mm sur les gisements situés à l'ouest de la zone d'étude et plafonne, à l'exception de Baie du Ha! Ha! et Anse aux Coques, autour de 80-85 mm sur ceux localisés à l'est de Trois-Pistoles. Les tailles des myes mesurées en 2006 à Pointe des Riou, Rimouski et Capucins affichent, à l'image des densités, des moyennes inférieures par rapport à celles mesurées en 2005. À l'exception de Pointe des Riou, l'étendue des longueurs mesurées à Rimouski et Capucins est comparable entre les deux années. Les différences annuelles observées entre les longueurs moyennes pourraient s'expliquer, à tout le moins en partie, par les raisons mentionnées au paragraphe précédent au sujet des densités. Elles pourraient également être attribuables à un biais défavorable envers les petites myes en 2005 dû à l'absence de tamisage. Il est également possible que la présence de trous de siphon plus visibles chez les grosses myes ait quelque peu influencé l'échantillonneur dans le choix de la position des stations en 2005 et entrainé un biais favorable envers ces dernières.

La distribution des myes de taille légale à Rimouski et Capucins semble fortement influencée par le type de sédiments (vaseux et sableux) et le temps d'immersion (profondeurs les plus grandes),

conformément aux informations notées dans la littérature (Lamoureux 1977, Jacques 1983, Roseberry *et al.* 1991). Pour Pointe des Riou, un ou plusieurs facteurs inconnus semblent limiter le recrutement ou la rétention (ou sur la survie) des myes malgré des sédiments adéquats en apparence. Comme ce plan d'eau est peu protégé des vents d'ouest à nord, il est possible que les sédiments soient périodiquement remués lors des tempêtes et que les myes soient dispersées.

Parmi les sites échantillonnés en 2005 et 2006, Rimouski et Capucins se distinguent, entre autres, par une facilité d'accès, une bonne protection aux vents, une grande abondance des myes résidentes, un pourcentage élevé d'occupation du site et une structure de taille étendue. Ces deux gisements sont très accessibles par de nombreux endroits le long de la côte. Le site Rimouski est facilement accessible par la terre ferme, de plus la proximité du quai de Rimouski favorise l'accès en embarcation. Les deux sites et particulièrement celui de Capucins bénéficient d'une très bonne protection contre les vents. Une proportion appréciable des myes atteint la taille légale et ça sur près de la moitié de la superficie de ces deux gisements, ce qui suppose des conditions favorables à la croissance. L'abondance des myes de taille sous-légale suggère également un recrutement constant aux deux sites. Ces caractéristiques en font des sites de choix pour l'élevage de la mye.

La superficie réduite de la baie de Capucins restreint son potentiel myicole. Le site Rimouski, qui est un peu moins protégé que la baie des Capucins, dispose par contre d'une superficie beaucoup plus importante pour la réalisation d'activités myicoles. Le principal obstacle, à l'exploitation de ces deux sites, demeure la contamination de l'eau probablement par le rejet des eaux usées. Une meilleure connaissance des caractéristiques biochimiques et de la circulation de ces eaux usées permettrait éventuellement de cibler des endroits exempts de contamination à Rimouski. Les taux de croissance observés en 2006 sont nettement plus avantageux à Pointe des Riou malgré une population réduite de myes. Toutefois, l'exposition aux vents dominants de l'ouest qui affecte probablement la distribution et l'abondance des myes sur ce gisement, en réduit l'intérêt pour la myiculture.

Plusieurs variables devraient être prises en compte lors de la sélection d'une aire myicole. Parmi celles-ci, les variables ayant un effet direct sur la croissance (ex. densité, température, altimétrie et substrat) devraient être regardées de près. Avec les connaissances actuelles, nous ne sommes pas en mesure d'expliquer les résultats de croissance obtenus. Roseberry (1988) a démontré que la densité des myes était inversement corrélée au poids frais des viscères. Il a également mis en évidence que le temps d'immersion de la mye modifie le temps d'alimentation et la quantité d'énergie ingérée et que le type de sédiments influence la qualité et la quantité de l'énergie assimilable. D'autres auteurs font également mention de l'effet positif d'un temps d'immersion prolongé sur la croissance (Jacques 1983, Bourassa 1991, Tremblay 1992) et d'un effet négatif d'une forte quantité de particules (substrat vaseux) en suspension dans l'eau (Swan 1952 cité dans Jacques 1983). Plusieurs auteurs signalent que les plus fortes densités sont souvent associées aux sédiments sableux (Allen 1954 cité dans Jacques 1983, Jacques 1983, Desrosiers et Bréthes 1984).

Les travaux réalisés sur la rive sud de l'estuaire du Saint-Laurent en 2005 et 2006 ne permettent pas de préciser, hors de tous doutes, le potentiel de chacun des gisements inventoriés pour la cueillette et le développement d'activités maricoles. L'absence de mye de taille légale incite, dans plusieurs cas, à retrancher ces gisements comme sites propices à la mariculture. Il se pourrait toutefois que la productivité de certains de ces gisements (ou d'autres gisements non recensés lors de nos relevés) soit supérieure à celle démontrée dans cette étude.

5 REMERCIEMENTS

Ces travaux ont été rendus possibles grâce à la contribution financière de la Société de développement de l'industrie maricole (SODIM). Nous tenons à remercier Luc Bourassa, Jérôme Gagnon, Isabelle Lévesque, Louise Perreault et Pierre Sylvestre pour leur participation à l'échantillonnage sur le terrain. Nous remercions également Isabelle Lévesque pour l'analyse des échantillons en laboratoire et Mélanie Boudreau pour la revue de littérature. Finalement, merci à Isabel Calderón, Robert Vaillancourt et Louise Gendron pour leurs commentaires judicieux.

6 RÉFÉRENCES

Allen, F. J. 1954. The influence of bottom sediments on the distribution of five species of bivalves. Nautilus, 68(2) : 56-65.

Andersen, A. et M. Gagnon. 1980. Les ressources halieutiques de l'estuaire du Saint-Laurent. Rapp. can. ind. sci. halieut. aquat. 119 : vi + 56 p.

Belzile, S. 1984. Variations de l'abondance saisonnière des larves planctoniques de mollusques bivalves et de leur distribution verticale dans la colonne d'eau pendant le cycle de marée dans la baie de Saint-Fabien-sur-Mer (estuaire maritime du Saint-Laurent). Thèse (M.Sc.), Université du Québec, Rimouski, xv + 139 p.

Biorex. 1992. Estimation des stocks commerciaux de mollusques et analyse de scénarios visant l'accroissement de l'exploitation des secteurs coquilliers sur le territoire Bas Saint-Laurent / Gaspésie. Rapp. final, Programme d'adaptation des pêches de l'Atlantique, Québec, vii + 81 p.

Biorex. 1999. Caractérisation biophysique et des usages d'un secteur retenu pour la détermination d'une zone de protection marine dans l'estuaire du St-Laurent. Volume 3. Autres habitats et ressources importantes – problématique et enjeu. Chap. 8. Section 3, Mye commune (*Mya arenaria*), p. 1-21.

Blaise, C., F. Gagné, J. Pellerin et P. D. Hansen. 1999. Determination of vitellogenin-like properties in *Mya arenaria* hemolymph (Saguenay fjord, Canada): A potential biomarker for endocrine disruption. Environ. Toxicol. 14(5) : 455-465.

Bourassa, L. 1991. Variations de mesures physiologiques chez *Mya arenaria* (Bivalvia : Mollusca) en zone intertidale, dans l'estuaire maritime du Saint-Laurent. Thèse (M.Sc.), Université du Québec, Rimouski, x + 85 p.

Bourget, E. et D. Messier. 1976. Inventaire des ressources littorales de la rive sud de l'estuaire maritime du Saint-Laurent, INRS océanologie, Rimouski, 42 p. + annexes.

Brulotte, S. et M. Giguère. 2003. Évaluation d'un gisement de mye commune (*Mya arenaria*) de l'embouchure de la rivière Mingan, Québec. Rapp. tech. can. sci. halieut. aquat. 2511 : xi + 58 p.

Brulotte, S. et M. Giguère. 2007. Reproduction et taille à la maturité sexuelle de la mye commune (*Mya arenaria*) au Québec. Rapp. tech. can. sci. halieut. aquat. 2698 : viii + 40 p.

Brulotte, S., M. Giguère, S. Brillon et F. Bourque. 2006. Évaluation de cinq gisements de mye commune (*Mya arenaria*) aux Îles-de-la-Madeleine, Québec, de 2000 à 2003. Rapp. tech. can. sci. halieut. aquat. 2640 : xii + 92 p.

Caron, A. 1991. Variations à moyenne échelle des structures démographiques de deux annélides polychètes (*Nereis virens* Sars et *Nephtys caeca* Fabricius) colonisant les zones intertidales sur la côte sud de l'estuaire maritime du Saint-Laurent, Québec. Thèse (M.Sc.), Université du Québec, Rimouski, 144 p.

Caron, A., G. Desrosiers, G. Miron et C. Retière. 1996. Comparison of spatial overlap between the polycheates *Nereis virens* and *Nephtys caeca* in two intertidal estuarine environments. Mar. Biol. 124 : 537-550.

Cayeux, L. 1929. Les roches sédimentaires de France : Roches siliceuses. Paris, Impr. Nationale, 774 p.

Desrosiers, G. et J.-C. Brêthes. 1984. Étude bionomique de la communauté à *Macoma balthica* de la batture de Rimouski. Sciences et techniques de l'eau, 17 : 25-30.

Dow, R. L. et D. E. Wallace. 1957. The Maine clam. Bull. Dept. Sea Shore Fish., 35 p.

Ferreyra, G. 1987. Étude spatio-temporelle des transports particulaires vers une communauté benthique intertidale de substrat meuble (estuaire du Saint-Laurent). Thèse (M.Sc.), Université du Québec, Rimouski, 98 p.

Fournier, M., J. Pellerin, Y. Clermont, Y. Morin, P. Brousseau. 2001. Effects of in vivo exposure of *Mya arenaria* to organic and inorganic mercury on phagocytic activity of hemocytes. Toxicology, 161(3) : 201-211.

Frouin, H., J. Pellerin, M. Fournier, E. Pelletier, P. Richard, N. Pichaud, C. Rouleau, F. Garnenot. 2007. Physiological effects of polycyclic aromatic hydrocarbons on the soft-shell clam *Mya arenaria*. Aquat. Toxicol. 82(2) : 120-134.

Gagné, F., C. Blaise, J. Pellerin, M. Douville, S. Gauthier-Clerc et L. Viglino. 2003. Sex alteration in soft-shell clams (*Mya arenaria*) in an intertidal zone of the St. Lawrence River (Quebec, Canada). Comp. Biochem. Physiol. 134 : 189-198.

Gagné, F., C. Blaise, J. Pellerin, E. Pelletier et J. Strand. 2006. Health status of *Mya arenaria* bivalves collected from contaminated sites in Canada (Saguenay Fjord) and Denmark (Odense Fjord) during their reproductive period. Ecotoxicol. Environ. Saf. 6 (3) : 348-361.

Gauthier-Clerc, S., J. Pellerin, C. Blaise et F. Gagné. 2002. Delayed gametogenesis of *Mya arenaria* in the Saguenay fjord (Canada): A consequence of endocrine disruptors? Comp. Biochem. Physiol. Part C, 131 : 457-467.

Gauthier-Clerc, S., J. Pellerin et J.-C. Amiard. 2006. Estradiol-17β and testosterone concentrations in male and female *Mya arenaria* (Mollusca Bivalvia) during the reproductive cycle. Gen. Comp. Endocrinol. 145 (2) : 133-139.

Giguère, M., S. Brulotte, C. Duluc, F. Hazel, S. Pereira et M. Gaudet. 2007. Recensements de l'huître américaine (*Crassostrea virginica*) dans le bassin aux Huîtres et la baie Clarke aux Îles-de-la-Madeleine, Québec. Rapp. tech. can. sci. halieut. aquat. 2695 : ix + 46 p.

Giguère, N. 2004. Sélection de sites à potentiel maricole au Bas-Saint-Laurent : Étude des caractéristiques biophysiques d'un milieu ouvert. Rapport de recherche, Université du Québec, Rimouski, x + 170 p.

Jacques, A. 1983. Étude de la dynamique de la population de myes (*Mya arenaria*) de la batture de Rimouski. Thèse (M.Sc.), Université du Québec, Rimouski, xiv + 181 p.

Joly, D. 1987. Variations spatiales du profil démographique à l'intérieur d'une population de *Macoma balthica* dans la zone intertidale de l'estuaire du Saint-Laurent. Thèse (M.Sc.), Université du Québec, Rimouski, 133 p.

Kure, L. K. et Depledge, M. H. 1994. Accumulation of organotin in *Littorina littorea* and *Mya arenaria* from Danish coastal waters. Environ. Pollut. 84 : 149-157.

Lamoureux, P. 1974. Inventaire des stocks commerciaux de myes (*Mya arenaria*) au Québec : 1971-1973. MICQ, D.G.P.M., Cah. inf. 62 : 24 p.

Lamoureux, P. 1975a. Inventaire des stocks commerciaux de myes (*Mya arenaria* L.) sur la Moyenne et la Basse Côte-Nord en juin 1974. MICQ, D.G.P.M., Cah. inf. 61 : 40 p.

Lamoureux, P. 1975b. Inventaire sommaire des bancs de myes (*Mya arenaria* L.) entre Baie Trinité et l'anse Saint-Étienne sur la rivière Saguenay en avril 1975. MICQ, D.G.P.M., Cah. inf. 66 : 9 p.

Lamoureux, P. 1977. Estimation des stocks commerciaux de myes (*Mya arenaria* L.) au Québec. Biologie et aménagement des pêcheries. MICQ, D.G.P.M., Cah. inf. 78 : 109 p.

Lavoie, R. 1967. Inventaire des myes communes (*Mya arenaria* L.) de l'estuaire du Saint-Laurent. MICQ, Rapp. ann. 1966, Stat. biol. mar. Grande-Rivière, p. 107-113.

Lavoie, R. 1969a. Inventaire des mollusques de la région de Tadoussac – été 1967. MICQ, D.G.P.M., Cah. Inf. 49 : 22 p.

Lavoie, R. 1969b. Inventaire des populations de mye commune (*Mya arenaria*) de Grandes-Bergeronnes à Portneuf-sur-Mer, été 1968. MICQ, Rapp. ann. 1968, Stat. biol. mar. Grande-Rivière, p. 103-118.

Lavoie, R. 1970a. Inventaire des populations de coques (*Mya arenaria*) de Forestville – Papinachois, été 1969. MICQ, Rapp. ann. 1969, Stat. biol. Mar. Grande-Rivière, p. 107-125.

Lavoie, R. 1970b. Inventaire des populations de coques (*Mya arenaria*) de Papinachois à baie St-Ludger, été 1970. MICQ, Rapp. interne, 20 p.

Lavoie, R. 1970c. Contribution à la biologie et à l'écologie de *Macoma balthica* L. de l'estuaire du Saint-Laurent. Thèse (M.Sc.), Université Laval, Québec, x + 249 p.

Lavoie, V. et M. Brind'Amour. 1981. Évaluation de la dynamique et de la productivité primaire épigée de la végétation des marais salés du Saint-Laurent, région de Kamouraska : rapport préliminaire. Université Laval, Québec, 54 p. + annexes.

Mark, S., L. Provencher et J. Munro. 2003. Approche pour l'évaluation et le suivi de la santé de l'écosystème, avec l'application à la communauté à *Mya – Macoma*. Rapp. tech. can. sci. halieut. aquat. 2491 : ix + 85 p.

Mayrand, E., J. Pellerin-Massicotte, B. Vincent. 1994. Small scale variability of biochemical indices of growth in *Mya arenaria* (L.). J. Shellfish Res. 13(1) : 199-205.

Olivier, M. 1989. Aperçu du recrutement larvaire benthique et de la première saison de croissance de quatre espèces de la zone intertidale de l'Anse à l'Orignal (Bic), Annelida : Polychaeta *Nereis virens* (Sars) et *Eteone longa* (Fabricius), Bivalvia : Lamellibranchia *Macoma balthica* (Linné) et *Mya arenaria* (Linné). Thèse (M.Sc.), Université du Québec, Rimouski, 184 p.

OSL (Observatoire du Saint-Laurent). 2007. MPO. http://www.osl.gc.ca (mise à jour 22/05/2007).

PCCSM (Programme canadien de contrôle de la salubrité des mollusques). 2007. Gouvernement du Canada. http://www.mollusca.gc.ca (mise à jour 31/03/2007).

Roseberry, L. 1988. Étude de la croissance et de la reproduction chez *Mya arenaria* (bivalvia : mollusca) dans la zone intertidale de l'estuaire du Saint-Laurent. Thèse (M.Sc.), Université du Québec, Rimouski, 98 p.

Roseberry, L., B Vincent et C. Lemaire. 1991. Croissance et reproduction de *Mya arenaria* dans la zone intertidale de l'estuaire du Saint-Laurent. Can. J. Zool. 69 : 724-732.

Roy, I., M. Giguère, S. Brulotte et M. Gagnon. 2003. Évaluation de douze gisements de mye commune (*Mya arenaria*) du sud de la Gaspésie. Rapp. tech. can. sci. halieut. aquat. 2469 : xvi + 140 p.

SHC (Service Hydrographique du Canada). 2006. Tables des marées et courants du Canada. Volume 3. Fleuve Saint-Laurent et rivière Saguenay. MPO, 77 p.

Siah, A., J. Pellerin, J.-C. Amiard, E. Pelletier et L. Viglino. 2003. Delayed gametogenesis and progesterone levels in soft-shell clams (*Mya arenaria*) in relation to in situ contamination to organotins and heavy metals in the St. Lawrence River (Canada). Comp. Biochem. Physiol., C, Toxicol. Pharmacol. 135 : 145-156.

SIGHAP (Système d'information pour la gestion de l'habitat du poisson). 2007. MPO. www.qc.dfo-mpo.gc.ca/habitat/fr/cartographie.htm (mise à jour 03/01/2007).

Sokal, R. R. et J. Rohlf. 1995. Biometry: The principles and practice of statistics in biological research. 3e édition. W. H. Freeman and Company, New York, xix + 887 p.

Swan, E. F. 1952. The growth of the clam *Mya arenaria* as affected by the substratum. Ecology, 33(4) : 530-534.

Thériault, J.-C. et M. Levasseur. 1985. Control of phytoplankton production in the lower St. Lawrence estuary: light and freshwater runoff. Naturaliste can. 112 : 77-96.

Thorin, S. 1998. Variations du comportement alimentaire de *Mya arenaria* (L.) en zone intertidale par l'observation sous-marine de l'activité des siphons. Thèse (D.Sc.), Université du Québec, Rimouski, xiii + 174 p.

Tremblay, A. 1990. Étude à petite échelle de la distribution spatiale de l'effet de la densité et de la déplétion chez *Mya arenaria*. Thèse (M.Sc.), Université du Québec, Rimouski, 138 p.

Tremblay, R. 1992. Caractérisation de certains processus nutritionnels à différentes échelles temporelles chez deux bivalves vivant en zone intertidale dans l'estuaire du Saint-Laurent. Thèse (M.Sc.), Université du Québec, Rimouski, 94 p.

Vaillancourt, M.-A et C. Lafontaine. 1999. Caractérisation de la Baie de Mitis. Rapport produit pour les Jardins de Métis. 186 p.

Vincent, B., G. Desrosiers et Y. Gratton. 1988. Orientation of the infaunal bivalve *Mya arenaria* L. in relation to local current direction on a tidal flat. J. Exp. Mar. Biol. Ecol. 124 : 205-214.

Wentworth, C. K. 1922. A scale of grade and class terms for clastic sediments. J. Geol. 30 : 377-392.

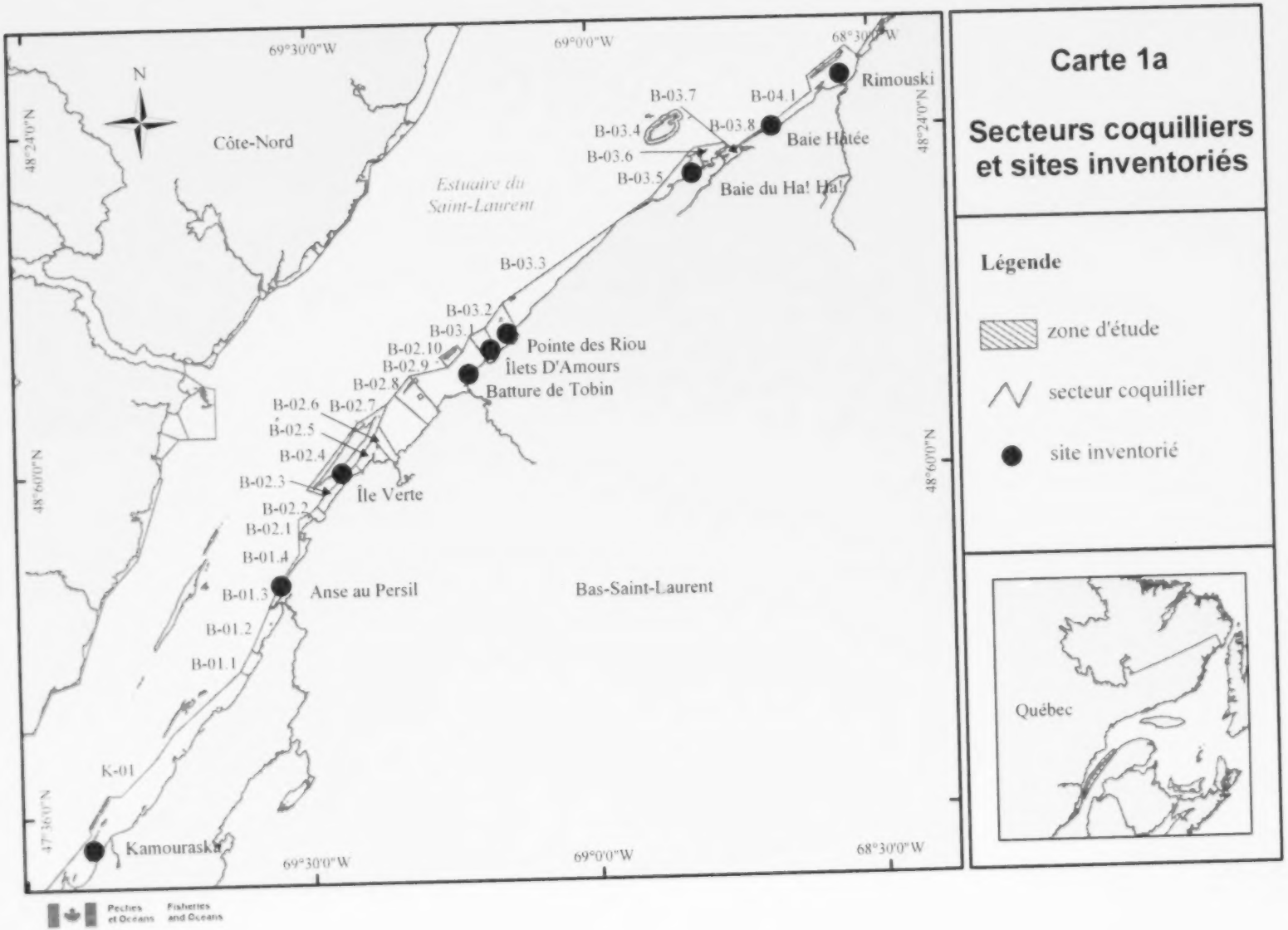
Carte 1a
Secteurs coquilliers et sites inventoriés
Légende
zone d'étude
secteur coquillier
site inventorié
Québec
Côte-Nord
Estuaire du Saint-Laurent
Bas-Saint-Laurent
Rimouski
Baie Hâtée
Baie du Ha! Ha!
Pointe des Riou
Îlets D'Amours
Batture de Tobin
Île Verte
Anse au Persil
Kamouraska
B-03.7
B-04.1
B-03.4
B-03.8
B-03.6
B-03.5
B-03.3
B-03.2
B-03.1
B-02.10
B-02.9
B-02.8
B-02.6
B-02.7
B-02.5
B-02.4
B-02.3
B-02.2
B-02.1
B-01.4
B-01.3
B-01.2
B-01.1
K-01
69°30'0"W
69°0'0"W
68°30'0"W
48°24'0"N
48°6'0"N
47°36'0"N
N
Pêches et Océans
Fisheries and Oceans

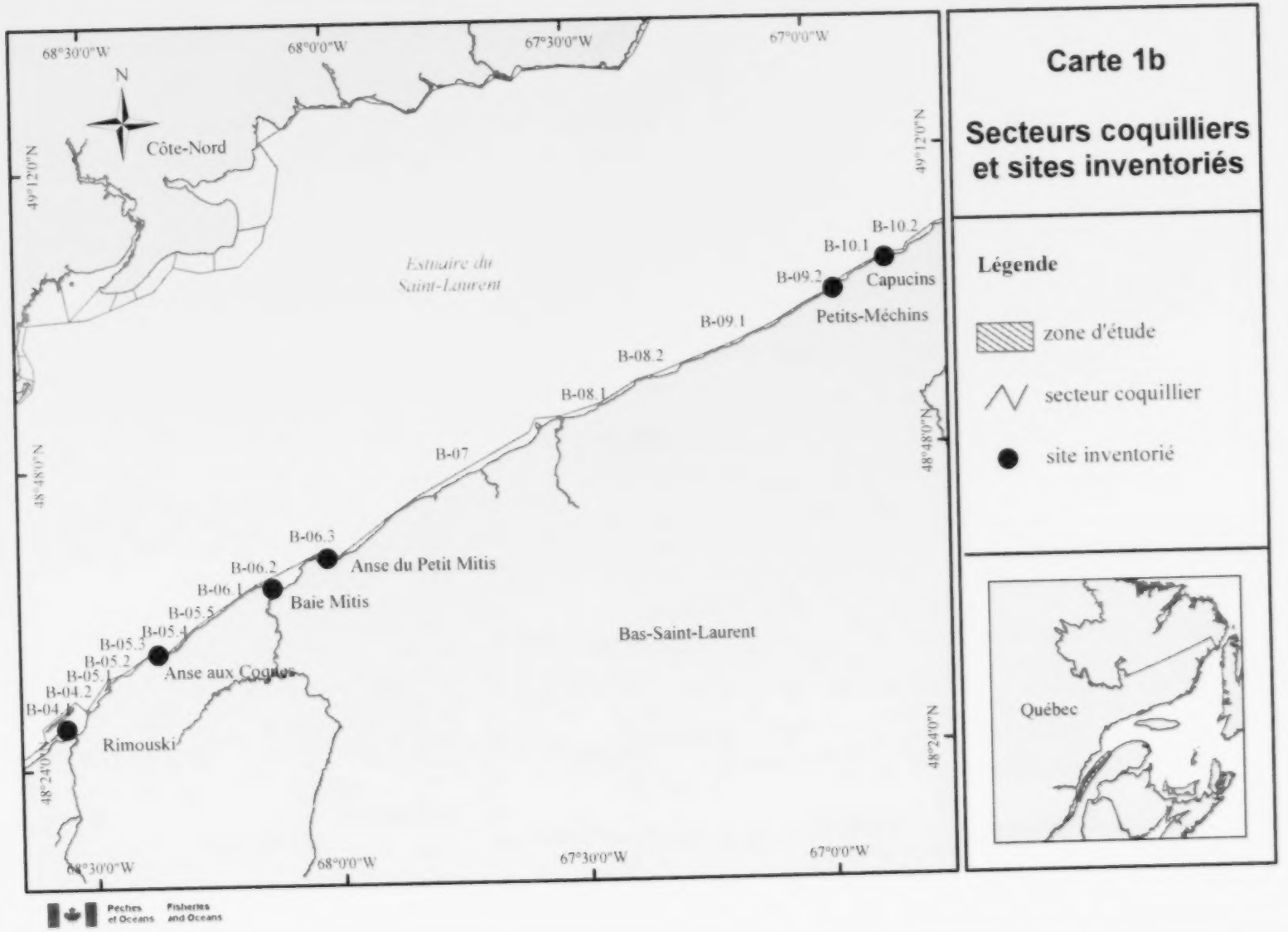
Carte 1b
Secteurs coquilliers et sites inventoriés
Légende
zone d'étude
secteur coquillier
site inventorié
Québec
Côte-Nord
Estuaire du Saint-Laurent
Bas-Saint-Laurent
Capucins
Petits-Méchins
Anse du Petit Mitis
Baie Mitis
Anse aux Coques
Rimouski
B-10.2
B-10.1
B-09.2
B-09.1
B-08.2
B-08.1
B-07
B-06.3
B-06.2
B-06.1
B-05.5
B-05.4
B-05.3
B-05.2
B-05.1
B-04.2
B-04.1
68°30'0"W
68°0'0"W
67°30'0"W
67°0'0"W
49°12'0"N
48°48'0"N
48°24'0"N
Pêches et Océans
Fisheries and Oceans

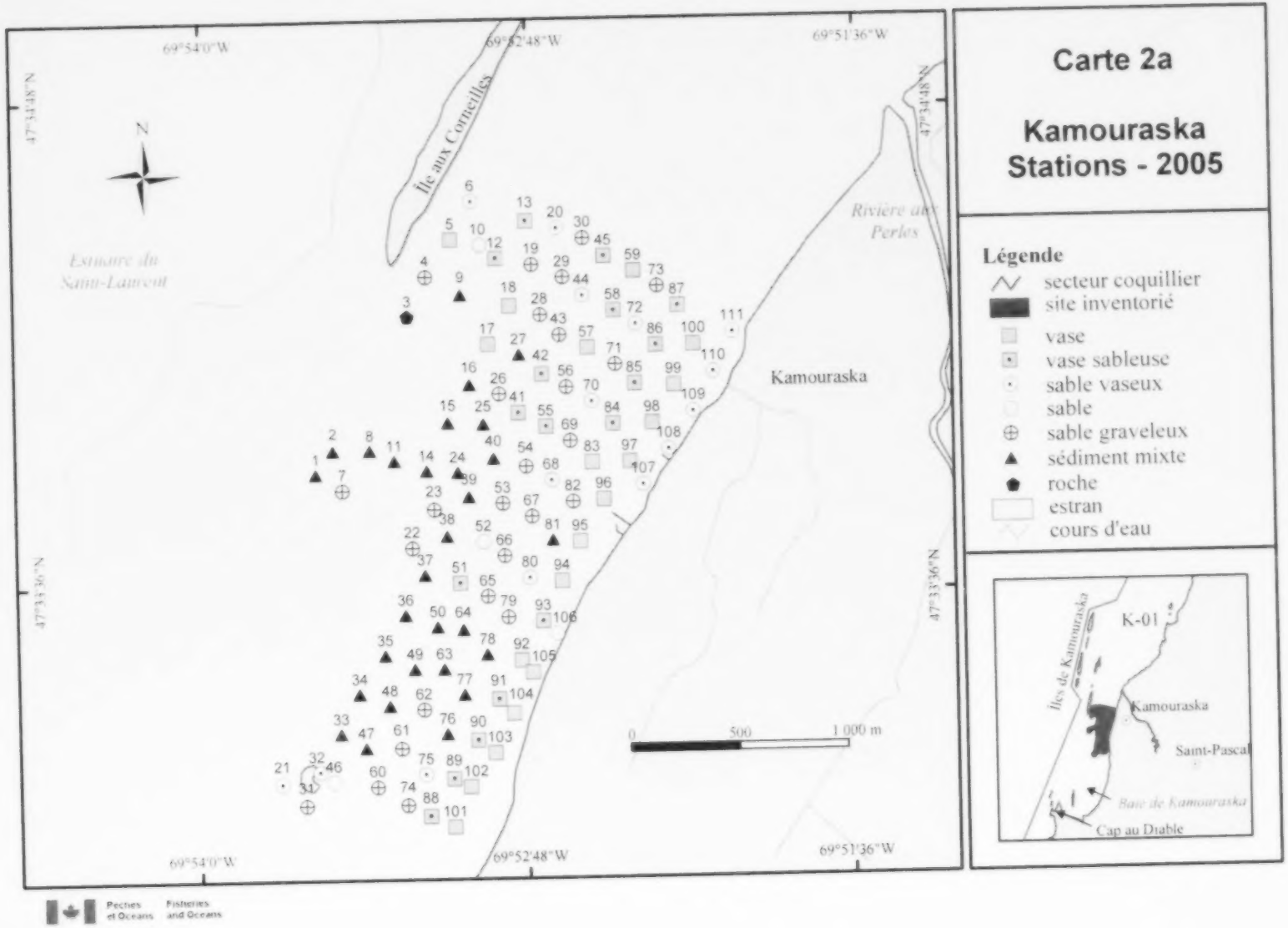
Carte 2a
Kamouraska
Stations - 2005
Légende
secteur coquillier
site inventorié
vase
vase sableuse
sable vaseux
sable
sable graveleux
sédiment mixte
roche
estran
cours d'eau
69°54'0"W
69°52'48"W
69°51'36"W
47°34'48"N
47°33'36"N
Île aux Corneilles
Rivière aux Perles
Estuaire du Saint-Laurent
Kamouraska
0
500
1 000 m
K-01
Îles de Kamouraska
Saint-Pascal
Baie de Kamouraska
Cap au Diable
Pêches et Océans
Fisheries and Oceans

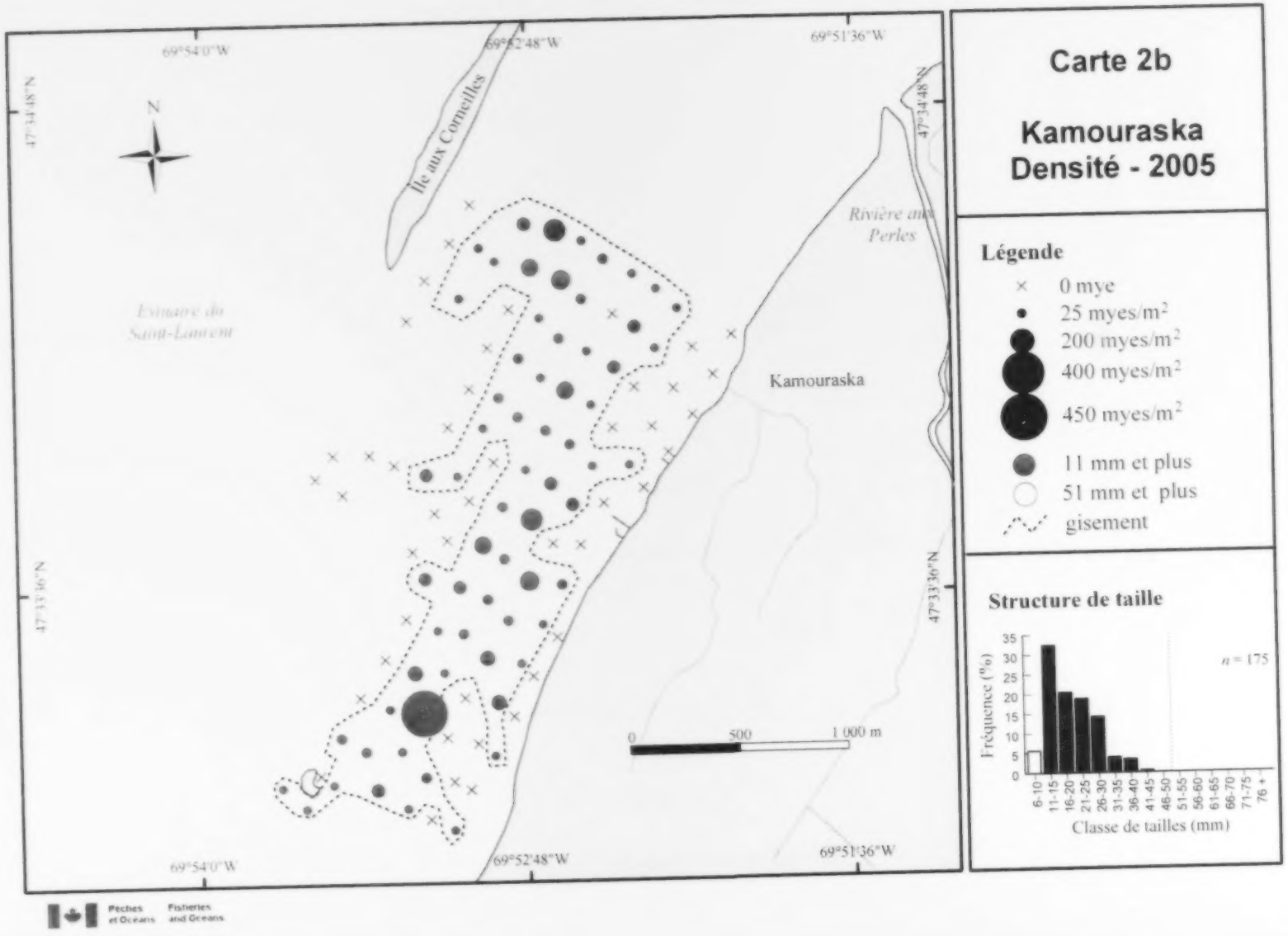
Carte 2b
Kamouraska
Densité - 2005
Légende
0 mye
25 myes/m²
200 myes/m²
400 myes/m²
450 myes/m²
11 mm et plus
51 mm et plus
gisement
Structure de taille
n = 175
Fréquence (%)
Classe de tailles (mm)
6-10
11-15
16-20
21-25
26-30
31-35
36-40
41-45
46-50
51-55
56-60
61-65
66-70
71-75
76 +
Île aux Corneilles
Rivière aux Perles
Estuaire du Saint-Laurent
Kamouraska
69°54'0"W
69°52'48"W
69°51'36"W
47°34'48"N
47°33'36"N
N
0
500
1 000 m
Pêches et Océans
Fisheries and Oceans

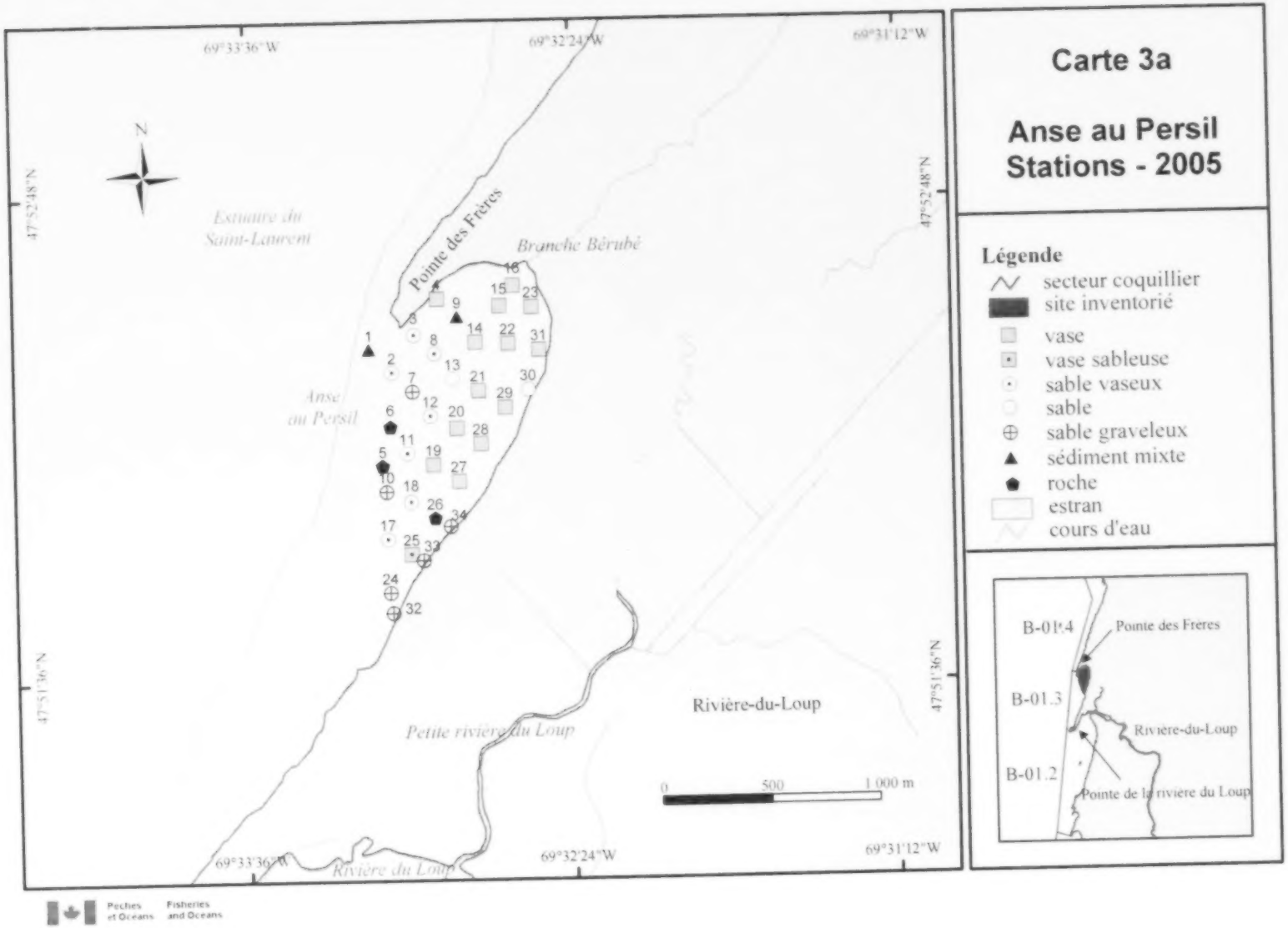
Carte 3a
Anse au Persil
Stations - 2005
Légende
secteur coquillier
site inventorié
vase
vase sableuse
sable vaseux
sable
sable graveleux
sédiment mixte
roche
estran
cours d'eau
69°33'36"W
69°32'24"W
69°31'12"W
47°52'48"N
47°51'36"N
N
Estuaire du Saint-Laurent
Branche Bérubé
Pointe des Frères
Anse au Persil
Rivière-du-Loup
Petite rivière du Loup
Rivière du Loup
0
500
1 000 m
B-01.4
B-01.3
B-01.2
Pointe des Freres
Rivière-du-Loup
Pointe de la rivière du Loup
Pêches et Océans
Fisheries and Oceans

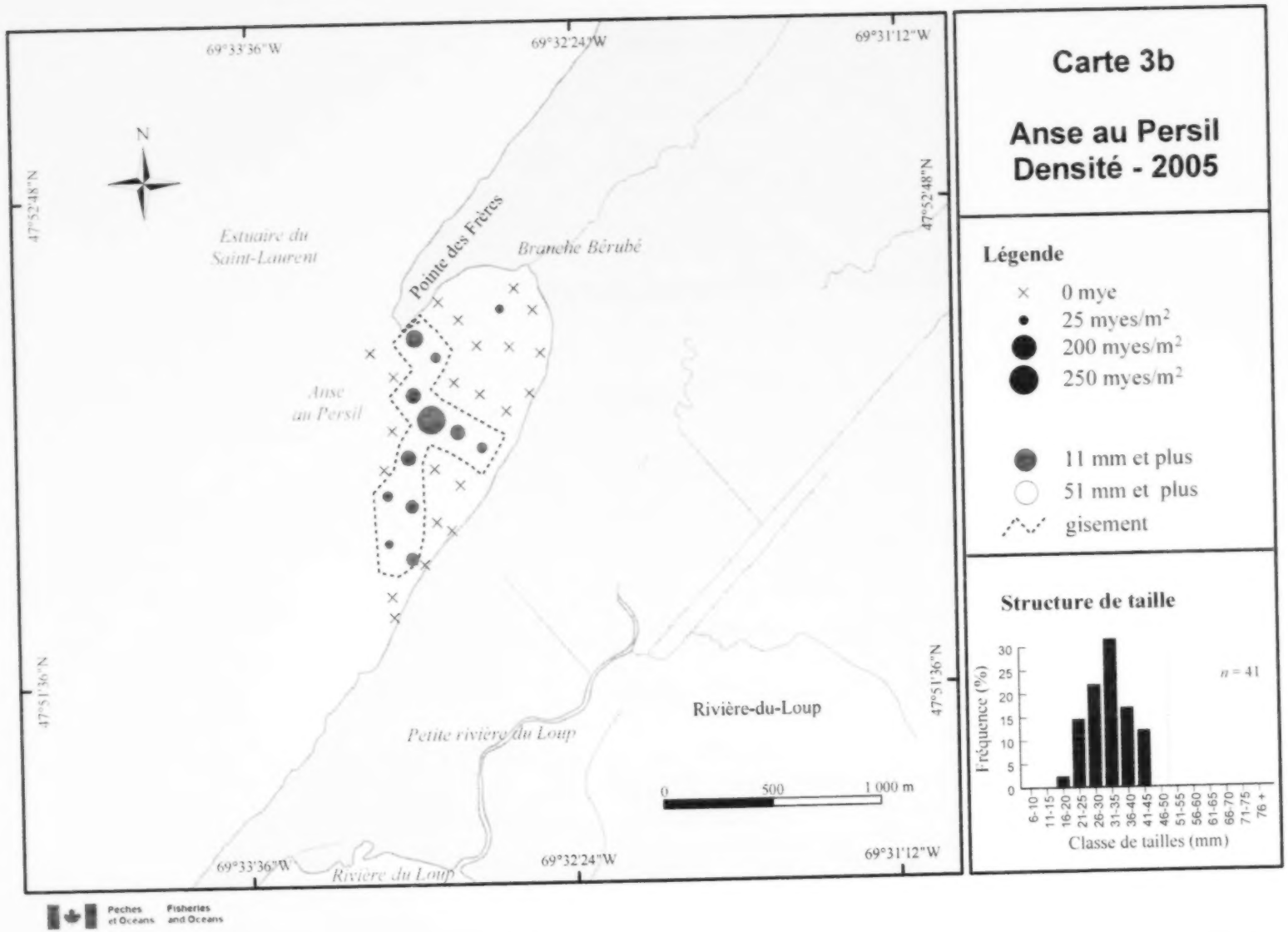
69°33'36"W
69°32'24"W
69°31'12"W
47°52'48"N
47°51'36"N
N
Estuaire du Saint-Laurent
Pointe des Frères
Branche Bérubé
Anse au Persil
Rivière-du-Loup
Petite rivière du Loup
Rivière du Loup
0
500
1 000 m
Carte 3b
Anse au Persil
Densité - 2005
Légende
0 mye
25 myes/m²
200 myes/m²
250 myes/m²
11 mm et plus
51 mm et plus
gisement
Structure de taille
Fréquence (%)
n = 41
6-10
11-15
16-20
21-25
26-30
31-35
36-40
41-45
46-50
51-55
56-60
61-65
66-70
71-75
76 +
Classe de tailles (mm)
Peches et Oceans
Fisheries and Oceans

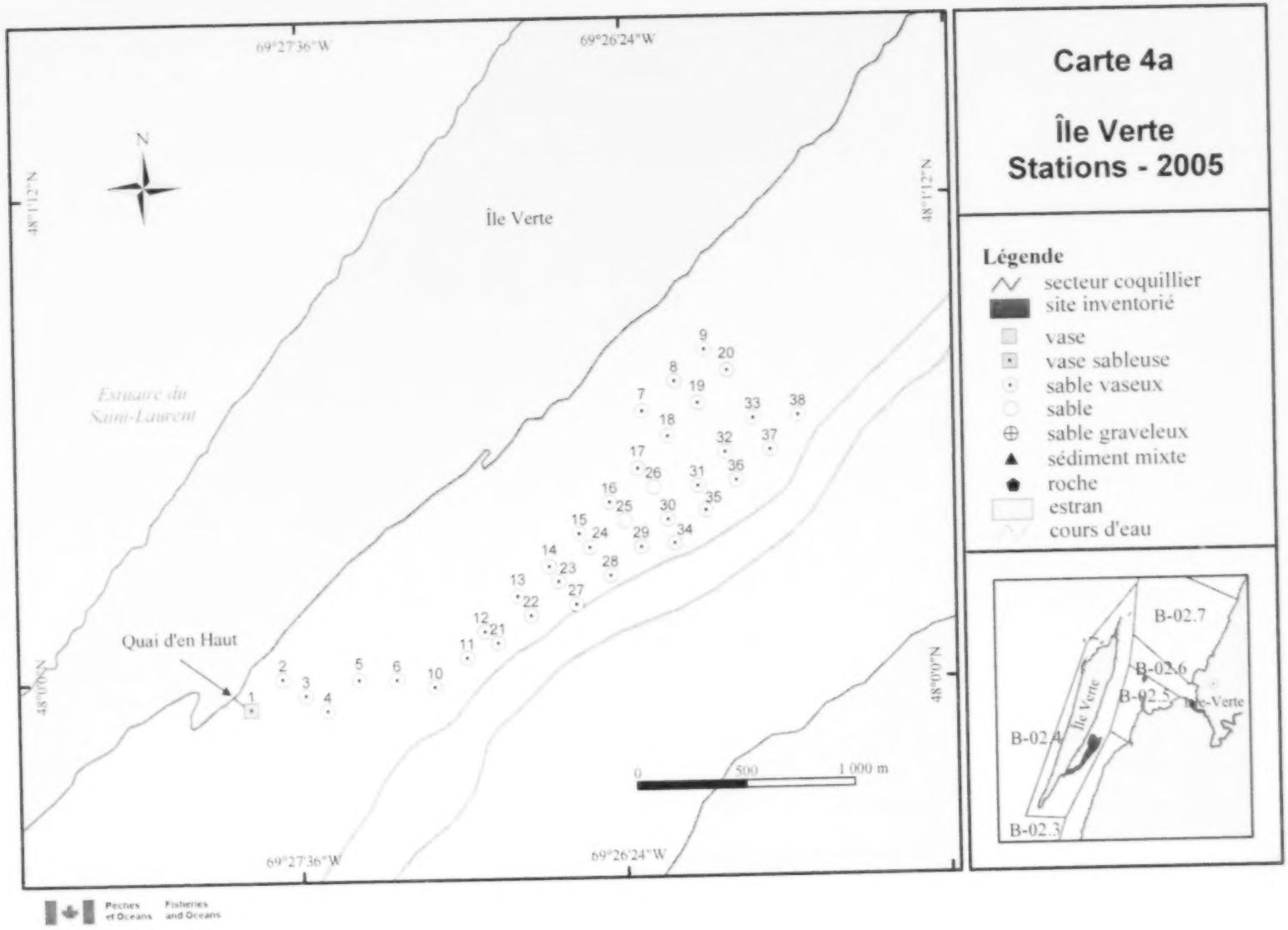
Carte 4a
Île Verte
Stations - 2005
Légende
secteur coquillier
site inventorié
vase
vase sableuse
sable vaseux
sable
sable graveleux
sédiment mixte
roche
estran
cours d'eau
69°27'36"W
69°26'24"W
48°01'12"N
48°00'0"N
N
Île Verte
Estuaire du Saint-Laurent
Quai d'en Haut
1
2
3
4
5
6
10
11
12
21
13
22
14
23
27
28
15
24
29
16
25
30
34
17
26
31
35
18
32
36
7
19
33
37
8
20
38
9
0
500
1 000 m
B-02.7
B-02.6
B-02.5
Île-Verte
B-02.4
Île Verte
B-02.3
Pêches et Océans
Fisheries and Oceans

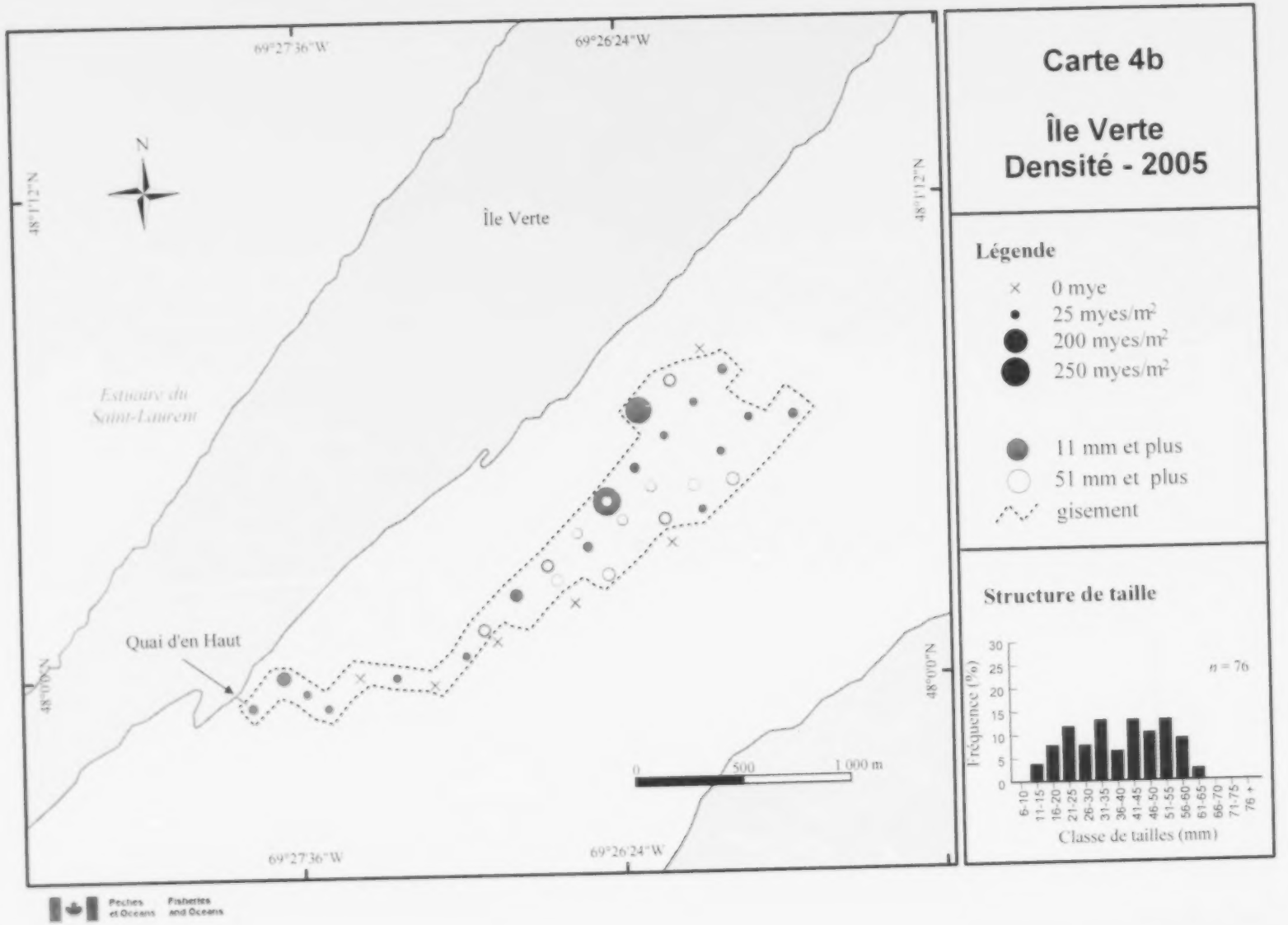
69°27'36"W
69°26'24"W
48°1'12"N
48°0'0"N
N
Île Verte
Estuaire du
Saint-Laurent
Quai d'en Haut
0
500
1 000 m
Pêches et Océans
Fisheries and Oceans
Carte 4b
Île Verte
Densité - 2005
Légende
0 mye
25 myes/m²
200 myes/m²
250 myes/m²
11 mm et plus
51 mm et plus
gisement
Structure de taille
n = 76
Fréquence (%)
Classe de tailles (mm)
6-10
11-15
16-20
21-25
26-30
31-35
36-40
41-45
46-50
51-55
56-60
61-65
66-70
71-75
76 +

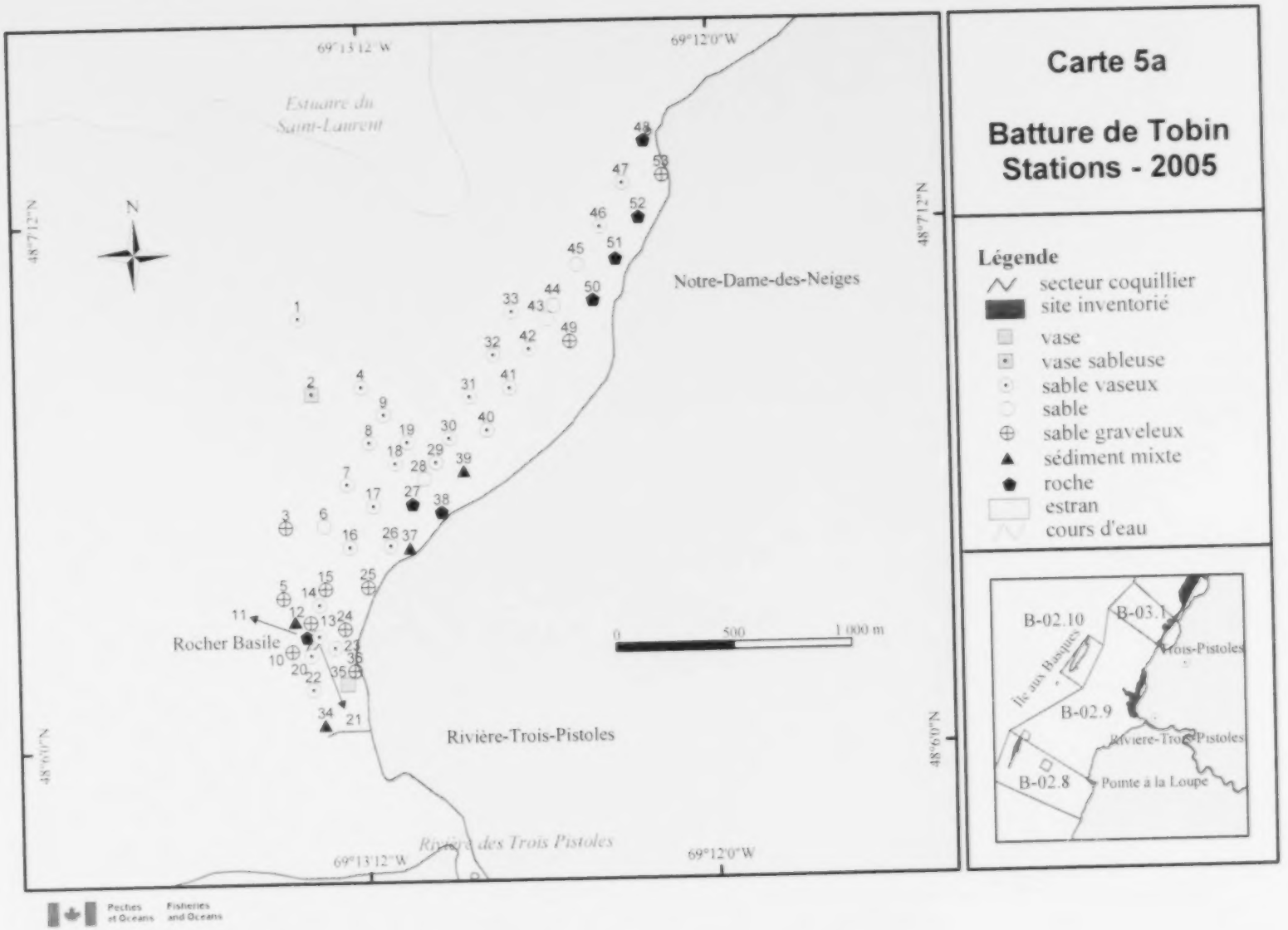
Carte 5a
Batture de Tobin
Stations - 2005
Légende
secteur coquillier
site inventorié
vase
vase sableuse
sable vaseux
sable
sable graveleux
sédiment mixte
roche
estran
cours d'eau
69°13'12"W
69°12'0"W
48°7'12"N
48°6'0"N
Estuaire du Saint-Laurent
Notre-Dame-des-Neiges
Rivière-Trois-Pistoles
Rocher Basile
Rivière des Trois Pistoles
0 500 1 000 m
B-02.10
B-03.1
Île aux Basques
Trois-Pistoles
B-02.9
Rivière-Trois-Pistoles
B-02.8
Pointe à la Loupe
Pêches et Océans
Fisheries and Oceans

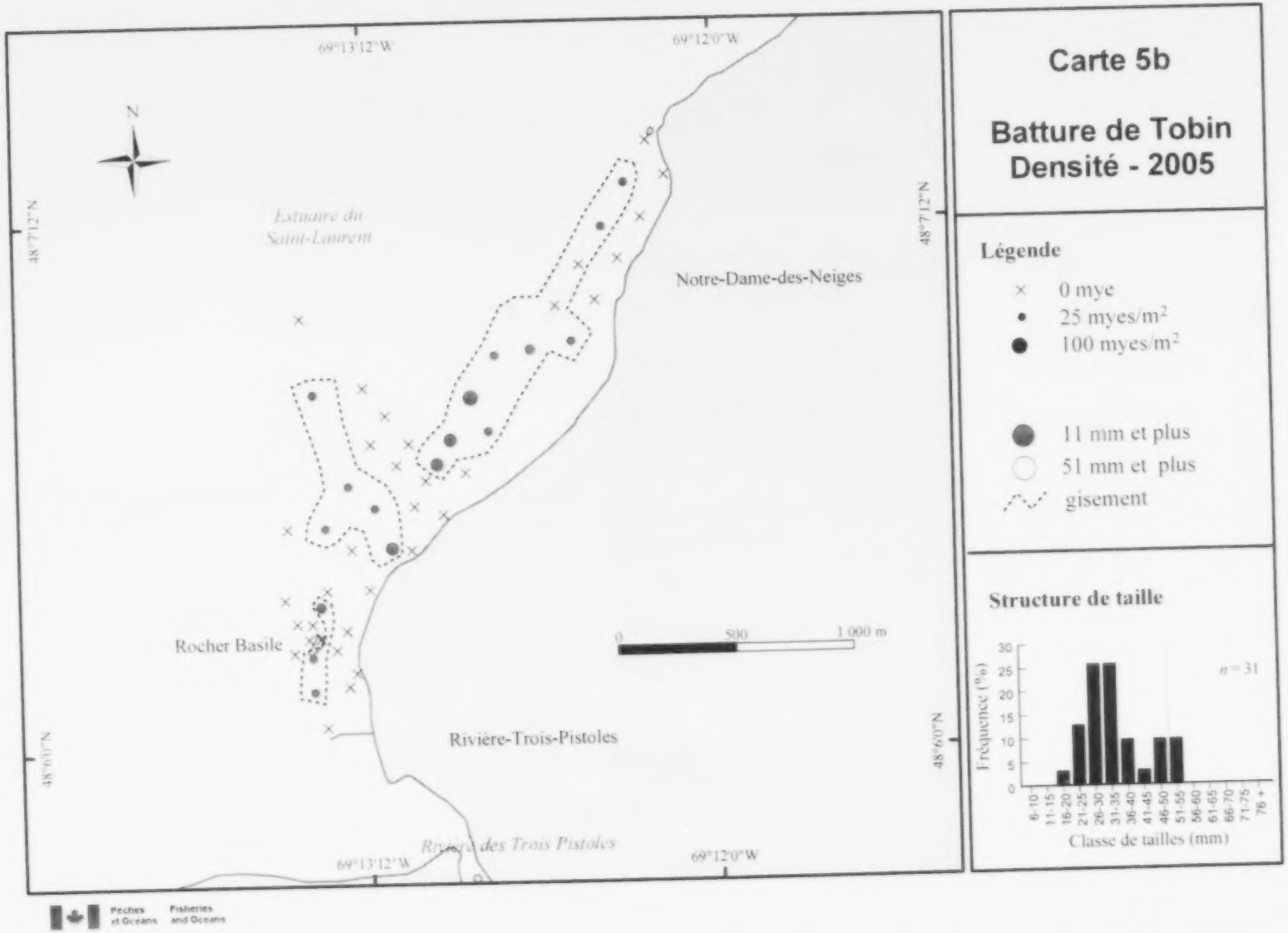
69°13'12"W
69°12'0"W
N
48°7'12"N
48°6'0"N
Estuaire du
Saint-Laurent
Notre-Dame-des-Neiges
Rocher Basile
Rivière-Trois-Pistoles
Rivière des Trois Pistoles
0
500
1 000 m
Carte 5b
Batture de Tobin
Densité - 2005
Légende
0 mye
25 myes/m²
100 myes/m²
11 mm et plus
51 mm et plus
gisement
Structure de taille
n = 31
Fréquence (%)
Classe de tailles (mm)
6-10
11-15
16-20
21-25
26-30
31-35
36-40
41-45
46-50
51-55
56-60
61-65
66-70
71-75
76 +
Pêches et Océans
Fisheries and Oceans

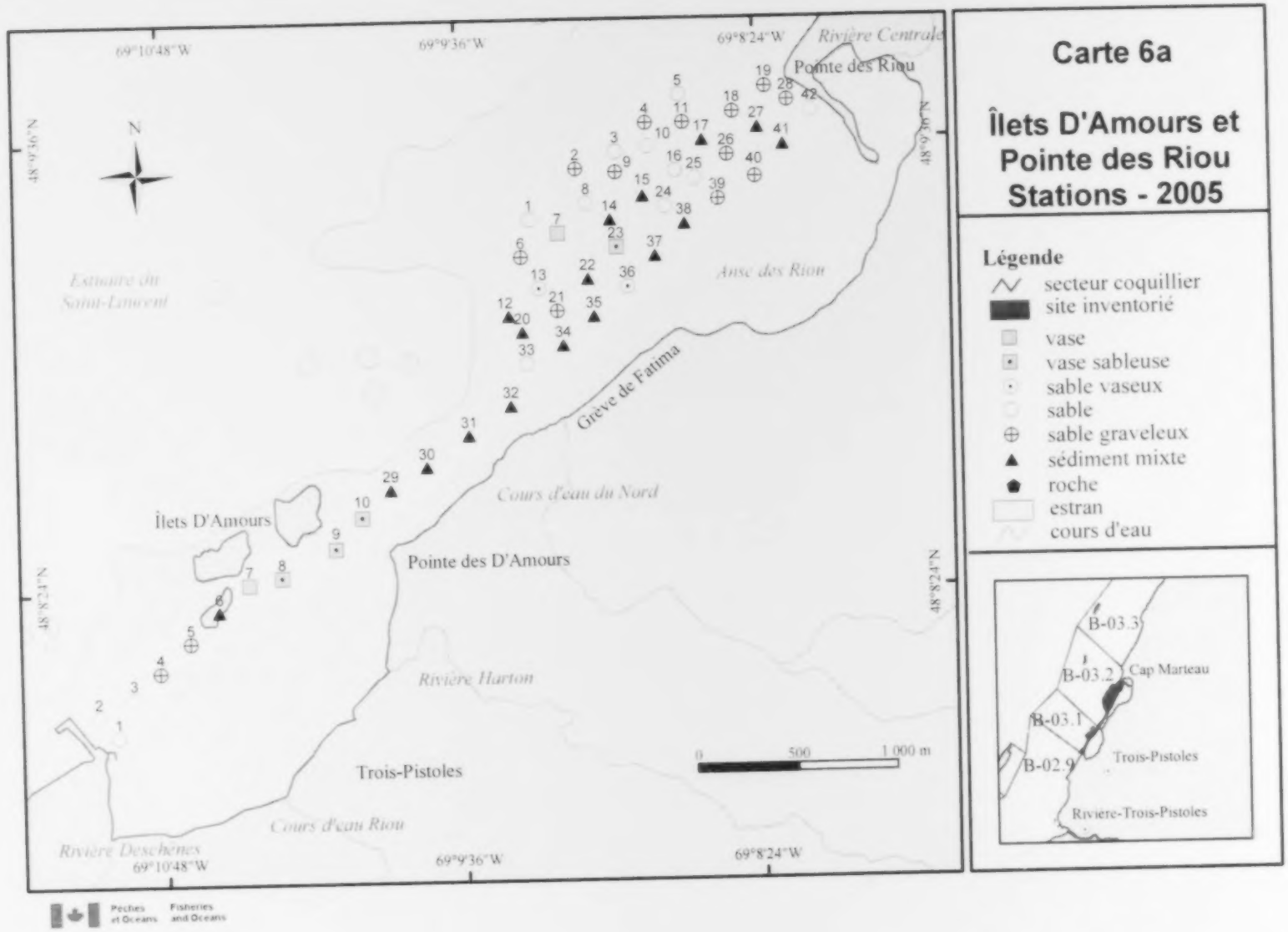
Carte 6a
Îlets D'Amours et Pointe des Riou Stations - 2005
Légende
secteur coquillier
site inventorié
vase
vase sableuse
sable vaseux
sable
sable graveleux
sédiment mixte
roche
estran
cours d'eau
69°10'48"W
69°9'36"W
69°8'24"W
48°9'36"N
48°8'24"N
Rivière Centrale
Pointe des Riou
Estuaire du Saint-Laurent
Anse des Rion
Grève de Fatima
Îlets D'Amours
Pointe des D'Amours
Cours d'eau du Nord
Rivière Harton
Trois-Pistoles
Cours d'eau Rion
Rivière Deschênes
0 500 1 000 m
B-03.3
B-03.2
Cap Marteau
B-03.1
B-02.9
Trois-Pistoles
Riviere-Trois-Pistoles
Pêches et Océans
Fisheries and Oceans

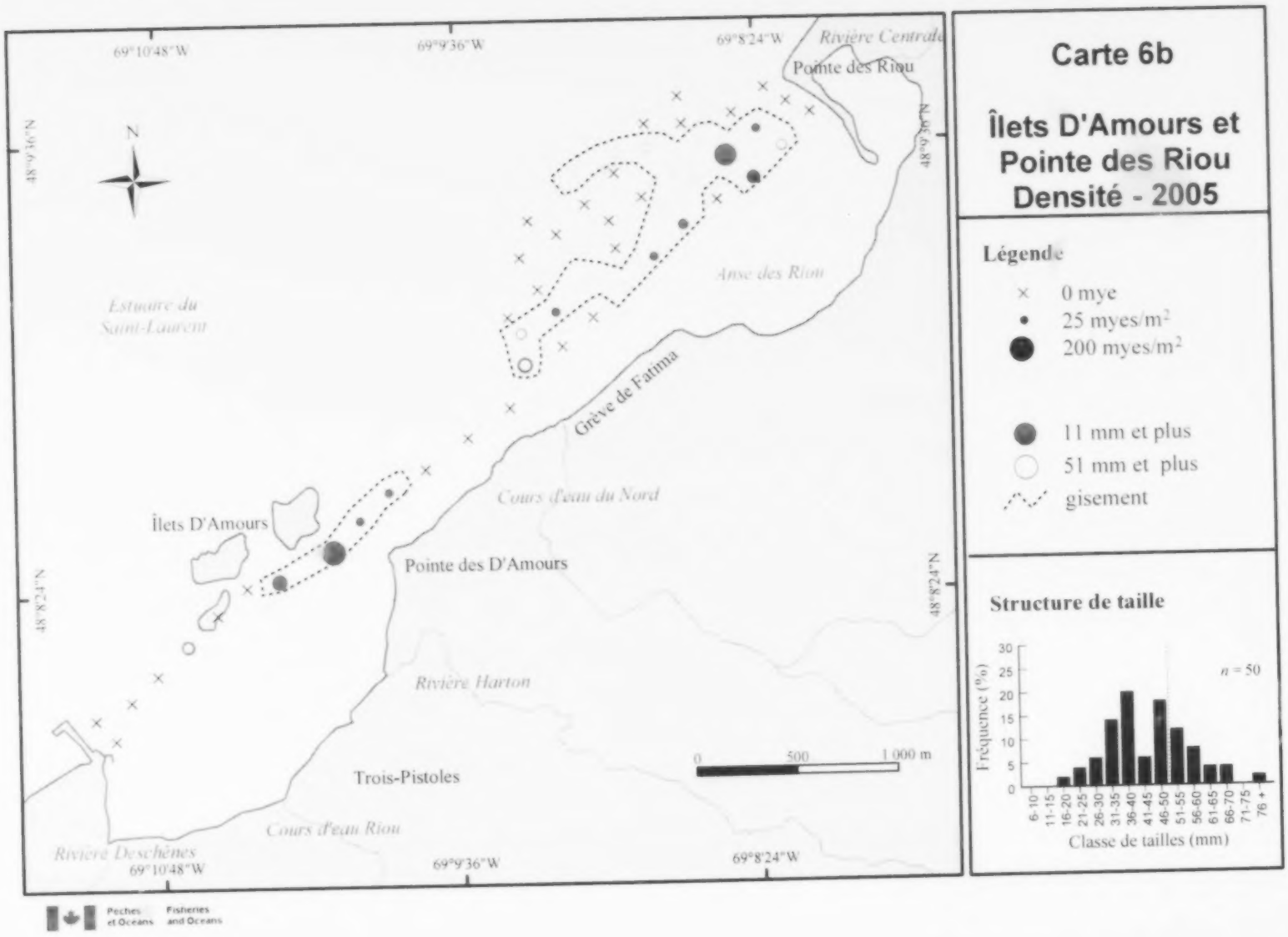
69°10'48"W
69°9'36"W
69°8'24"W
Rivière Centrale
Pointe des Riou
48°9'36"N
48°8'24"N
N
Anse des Riou
Estuaire du
Saint-Laurent
Grève de Fatima
Cours d'eau du Nord
Îlets D'Amours
Pointe des D'Amours
Rivière Harton
0
500
1 000 m
Trois-Pistoles
Cours d'eau Riou
Rivière Deschênes
Pêches et Océans
Fisheries and Oceans
Carte 6b
Îlets D'Amours et Pointe des Riou Densité - 2005
Légende
0 mye
25 myes/m²
200 myes/m²
11 mm et plus
51 mm et plus
gisement
Structure de taille
n = 50
Fréquence (%)
Classe de tailles (mm)
6-10
11-15
16-20
21-25
26-30
31-35
36-40
41-45
46-50
51-55
56-60
61-65
66-70
71-75
76 +

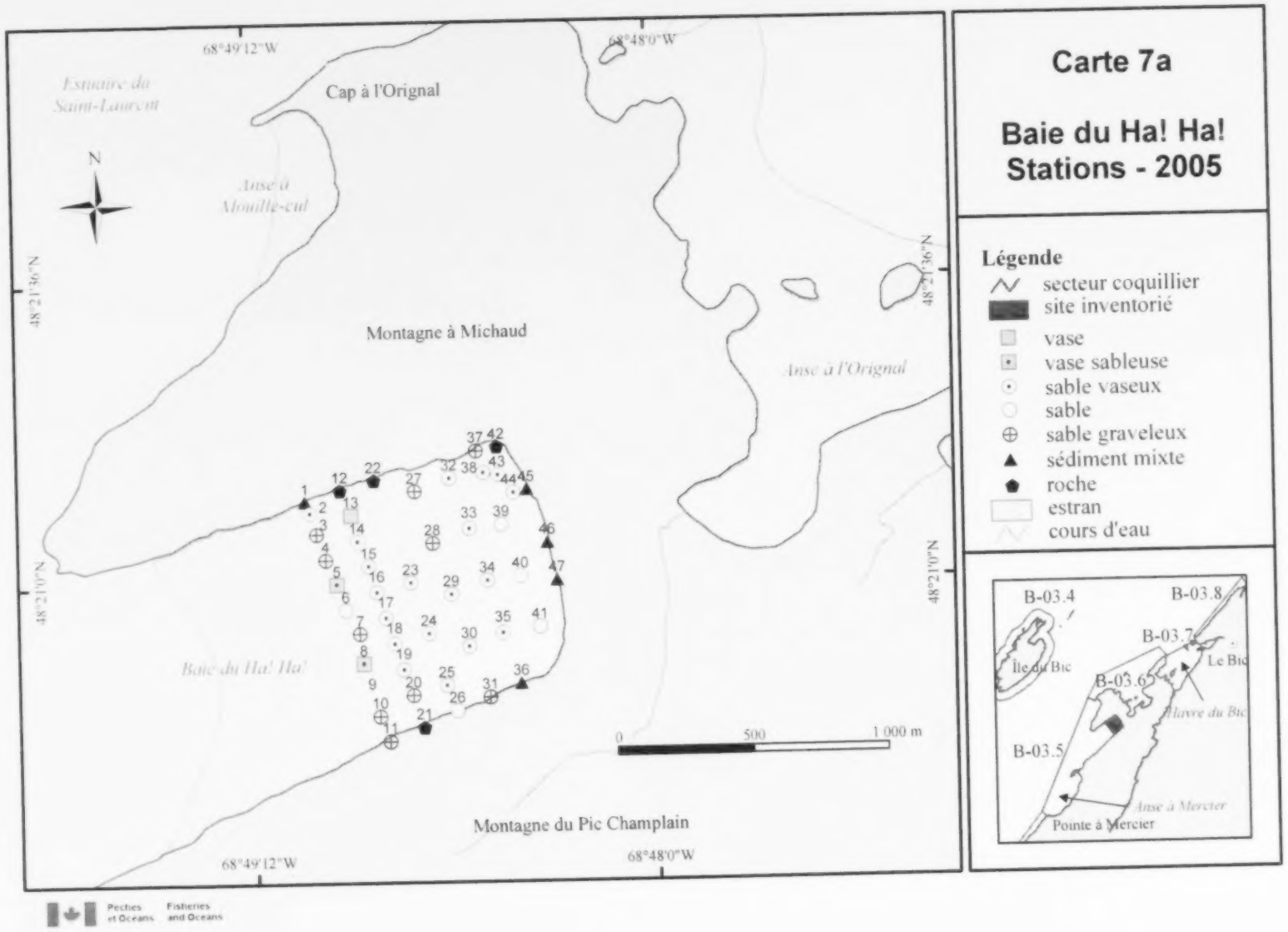
Carte 7a
Baie du Ha! Ha!
Stations - 2005
Légende
secteur coquillier
site inventorié
vase
vase sableuse
sable vaseux
sable
sable graveleux
sédiment mixte
roche
estran
cours d'eau
68°49'12"W
68°48'0"W
48°21'36"N
48°21'0"N
Cap à l'Orignal
Estuaire du Saint-Laurent
Anse à Mouille-cul
Montagne à Michaud
Anse à l'Orignal
Baie du Ha! Ha!
Montagne du Pic Champlain
0
500
1 000 m
B-03.4
B-03.8
B-03.7
Île du Bic
Le Bic
B-03.6
Havre du Bic
B-03.5
Anse à Mercier
Pointe à Mercier
Pêches et Océans
Fisheries and Oceans

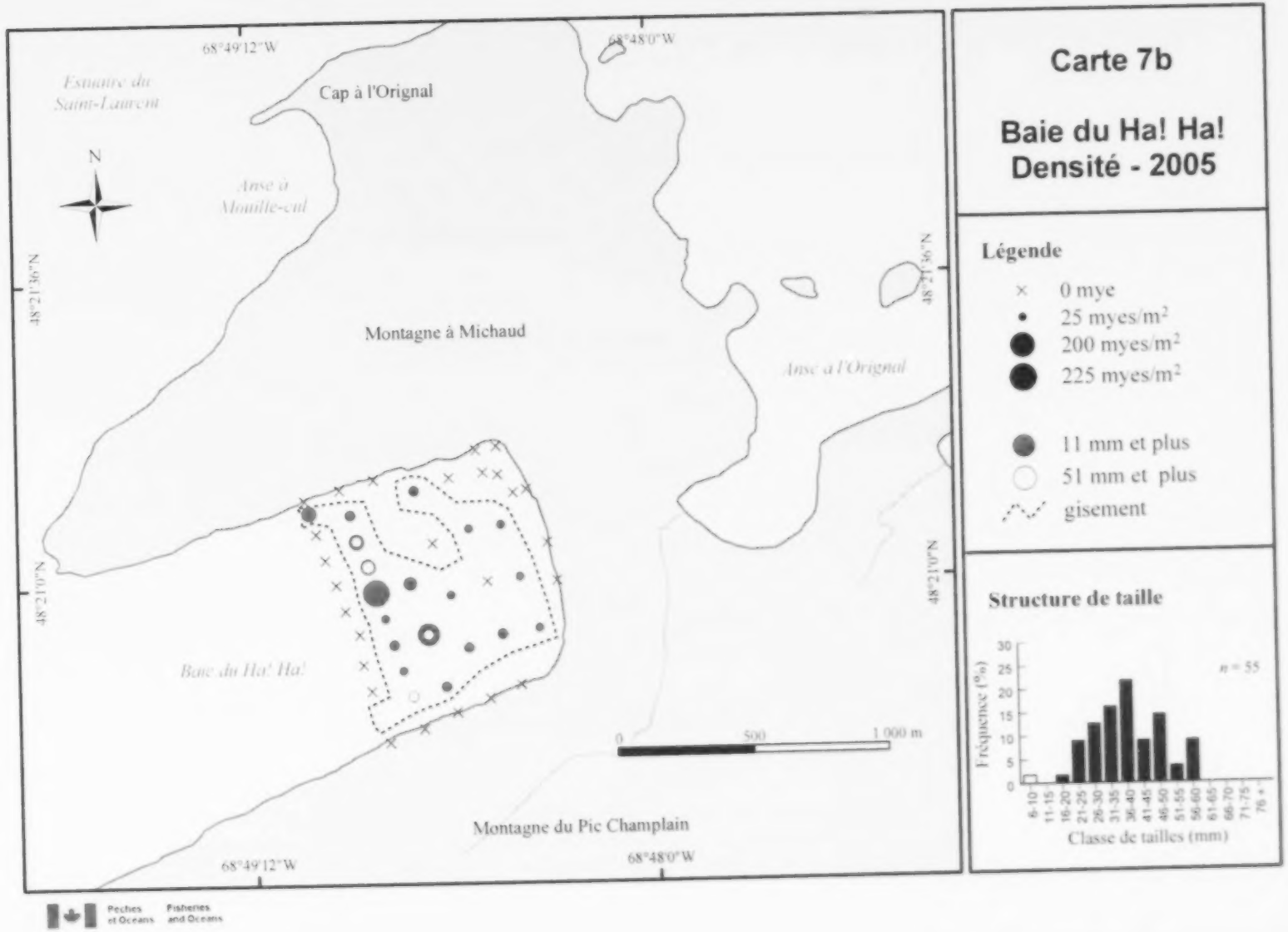
Carte 7b
Baie du Ha! Ha!
Densité - 2005
Légende
0 mye
25 myes/m²
200 myes/m²
225 myes/m²
11 mm et plus
51 mm et plus
gisement
Structure de taille
n = 55
Fréquence (%)
Classe de tailles (mm)
6-10
11-15
16-20
21-25
26-30
31-35
36-40
41-45
46-50
51-55
56-60
61-65
66-70
71-75
76 +
68°49'12"W
68°48'0"W
48°21'36"N
48°21'0"N
Cap à l'Orignal
Estuaire du Saint-Laurent
Anse à Moulle-cul
Montagne à Michaud
Anse à l'Orignal
Baie du Ha! Ha!
Montagne du Pic Champlain
N
0
500
1 000 m
Pêches et Océans
Fisheries and Oceans

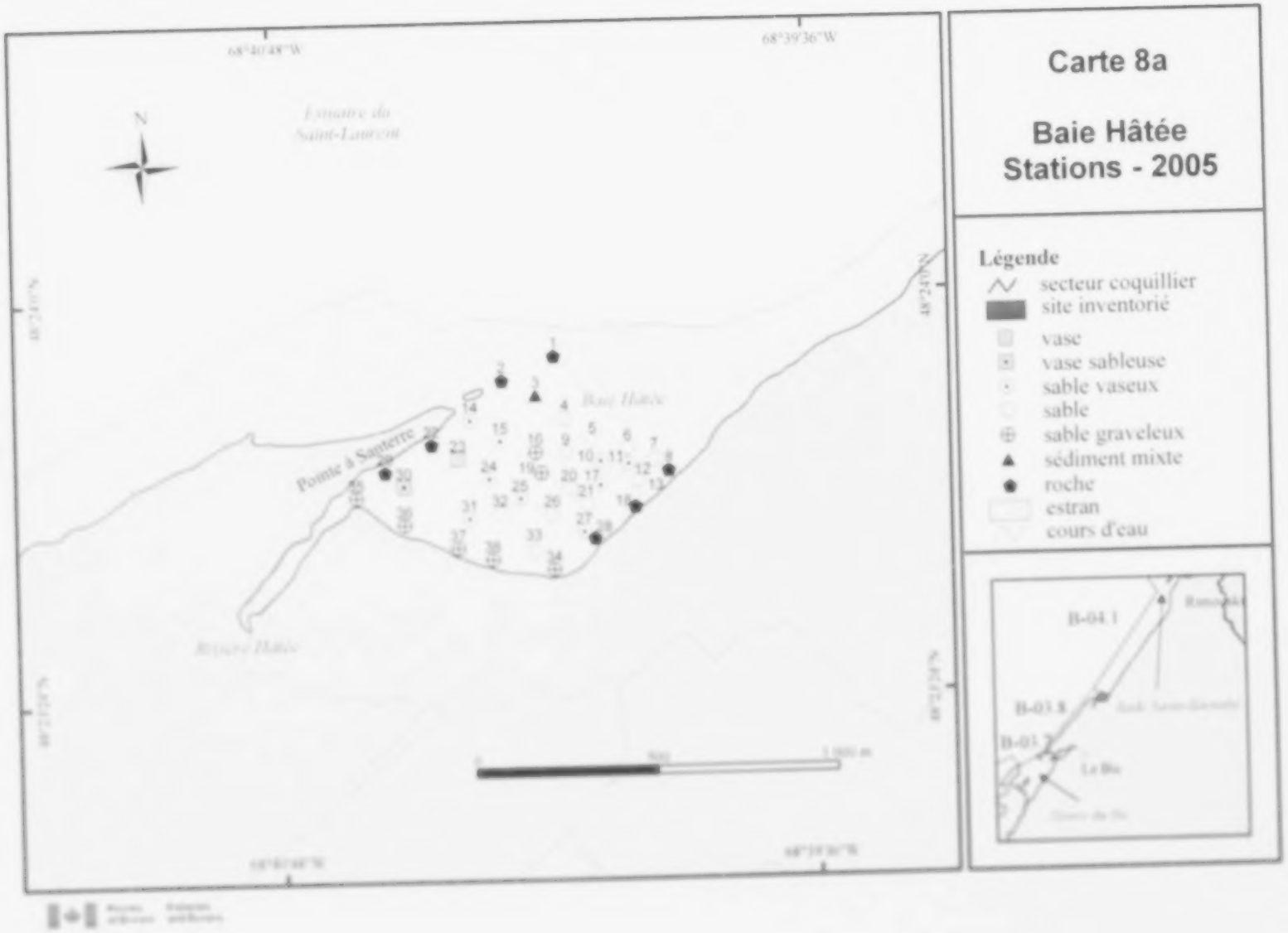
Carte 8a
Baie Hâtée
Stations - 2005
Légende
secteur coquillier
site inventorié
vase
vase sableuse
sable vaseux
sable
sable graveleux
sédiment mixte
roche
estran
cours d'eau
68°40'48"W
68°39'36"W
Estuaire du Saint-Laurent
Baie Hâtée
Pointe à Sanierre
N
B-04.1
B-03.8
B-03.7
Le Bic

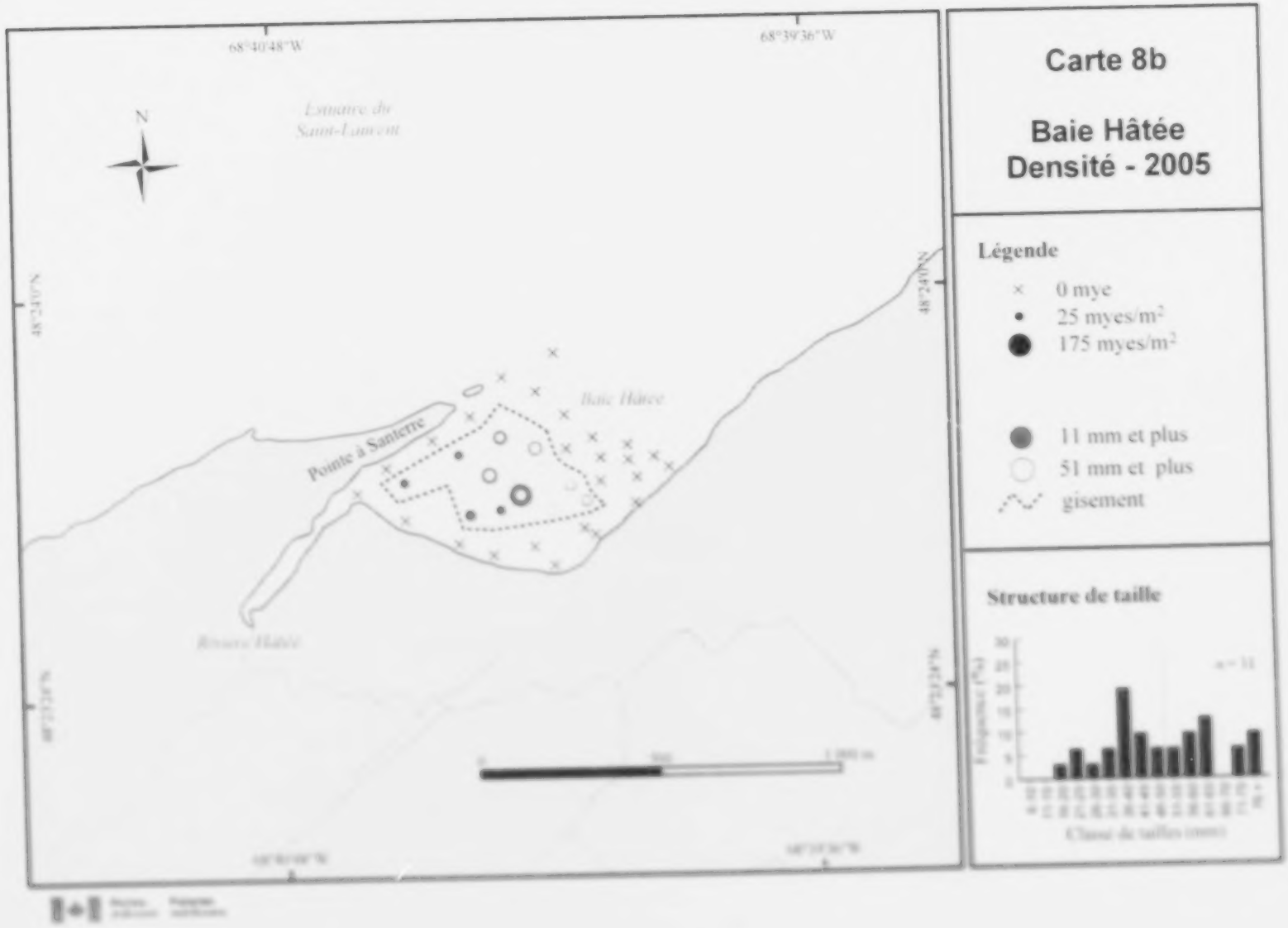
68°40'48"W
68°39'36"W
N
Estuaire du
Saint-Laurent
48°25'48"N
48°25'12"N
Baie Hâtée
Pointe à Sanierre
Rivière Hâtée
Carte 8b
Baie Hâtée
Densité - 2005
Légende
0 mye
25 myes/m²
175 myes/m²
11 mm et plus
51 mm et plus
gisement
Structure de taille
n = 31

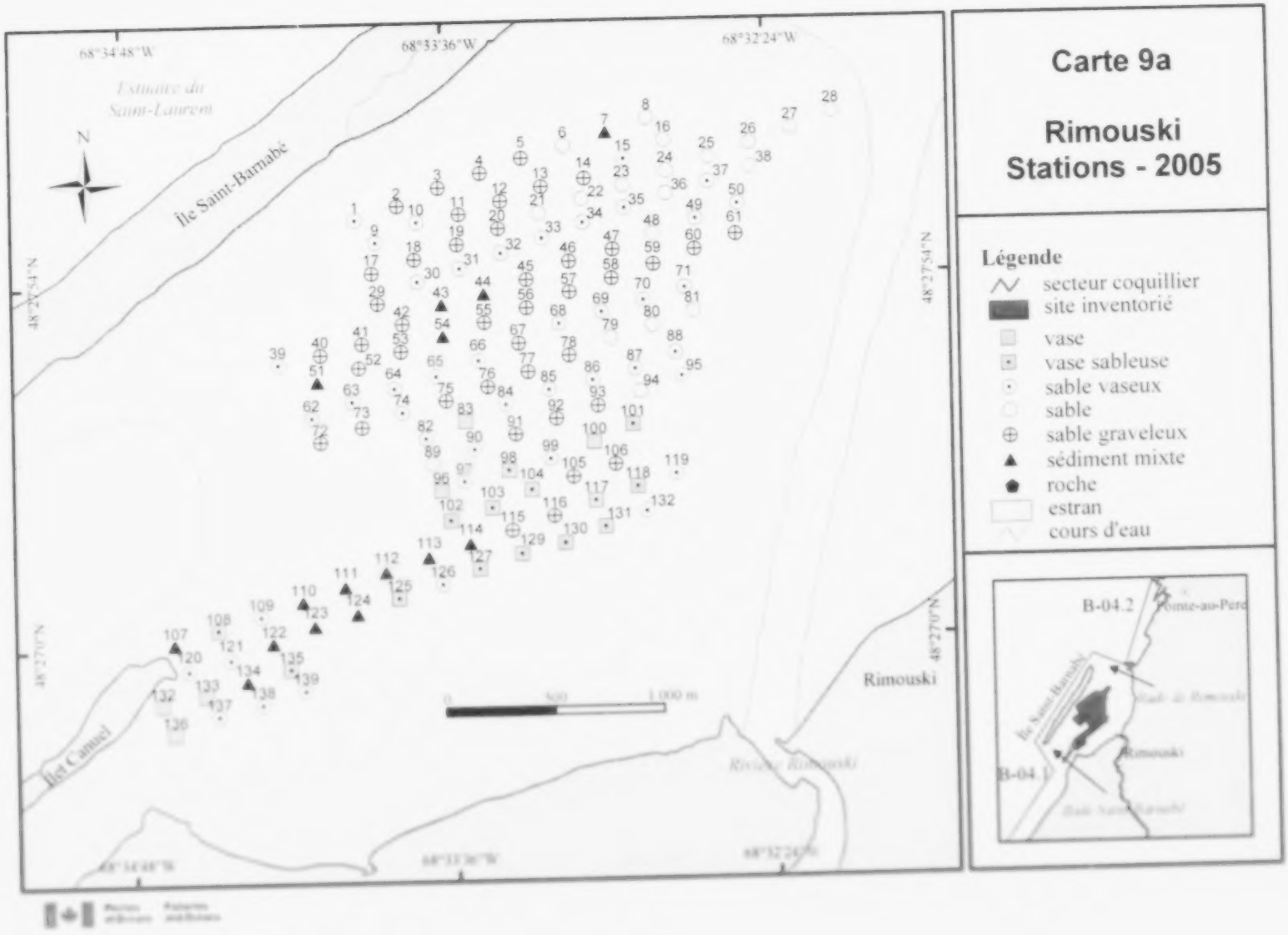
Carte 9a
Rimouski
Stations - 2005
Légende
secteur coquillier
site inventorié
vase
vase sableuse
sable vaseux
sable
sable graveleux
sédiment mixte
roche
estran
cours d'eau
68°34'48"W
68°33'36"W
68°32'24"W
48°27'54"N
48°27'0"N
Estuaire du Saint-Laurent
Île Saint-Barnabé
Île Canuel
Rimouski
Rivière Rimouski
N
0
500
1 000 m
B-04.2
Pointe-au-Père
Baie de Rimouski
Île Saint-Barnabé
Rimouski
B-04.1
Baie Sainte-Barnabé

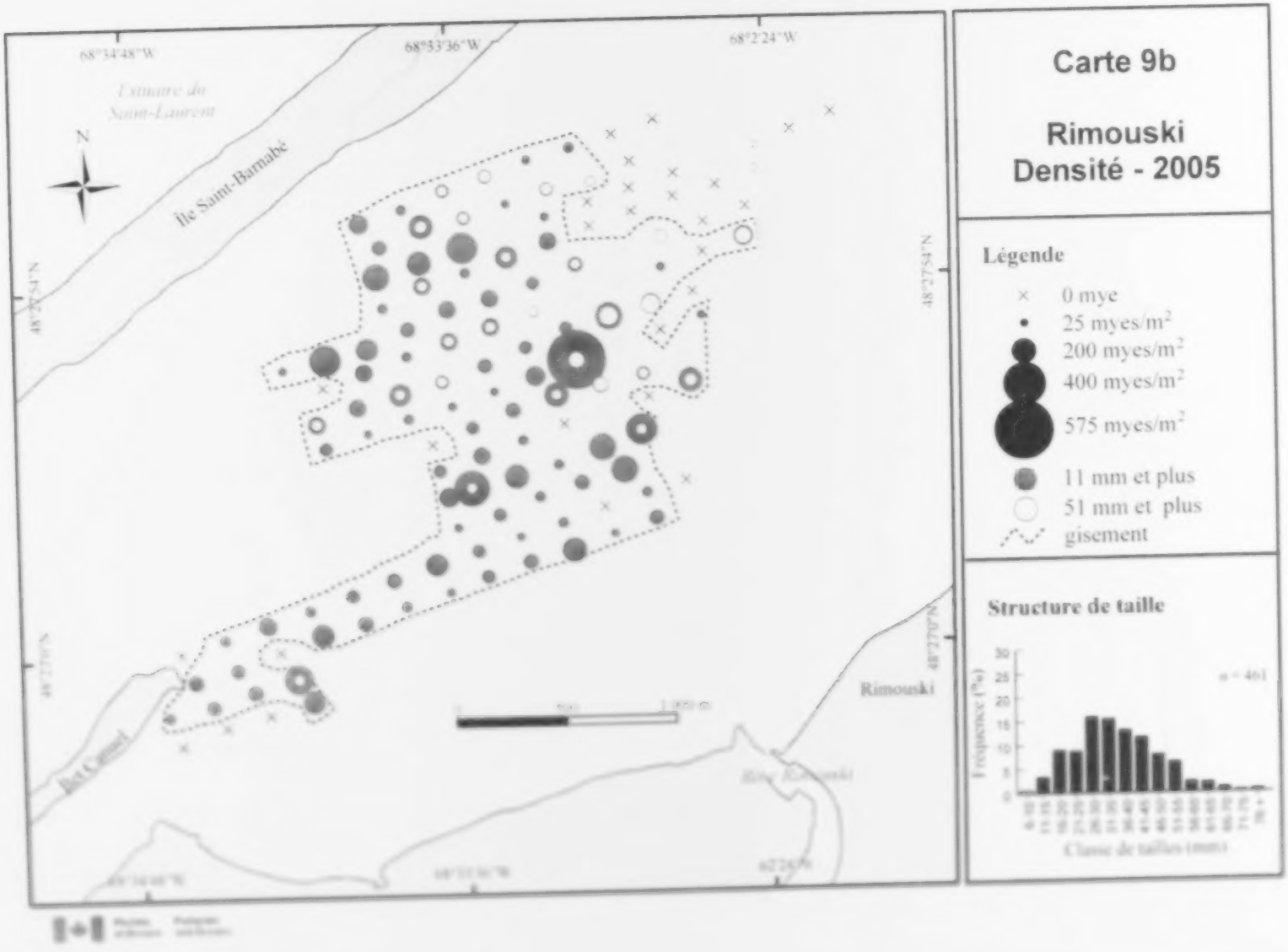
Carte 9b
Rimouski
Densité - 2005
Légende
0 mye
25 myes/m²
200 myes/m²
400 myes/m²
575 myes/m²
11 mm et plus
51 mm et plus
gisement
Structure de taille
Fréquence (%)
Classe de tailles (mm)
68°34'48"W
68°33'36"W
68°2'24"W
48°27'54"N
48°27'0"N
Île Saint-Barnabé
Rimouski
N

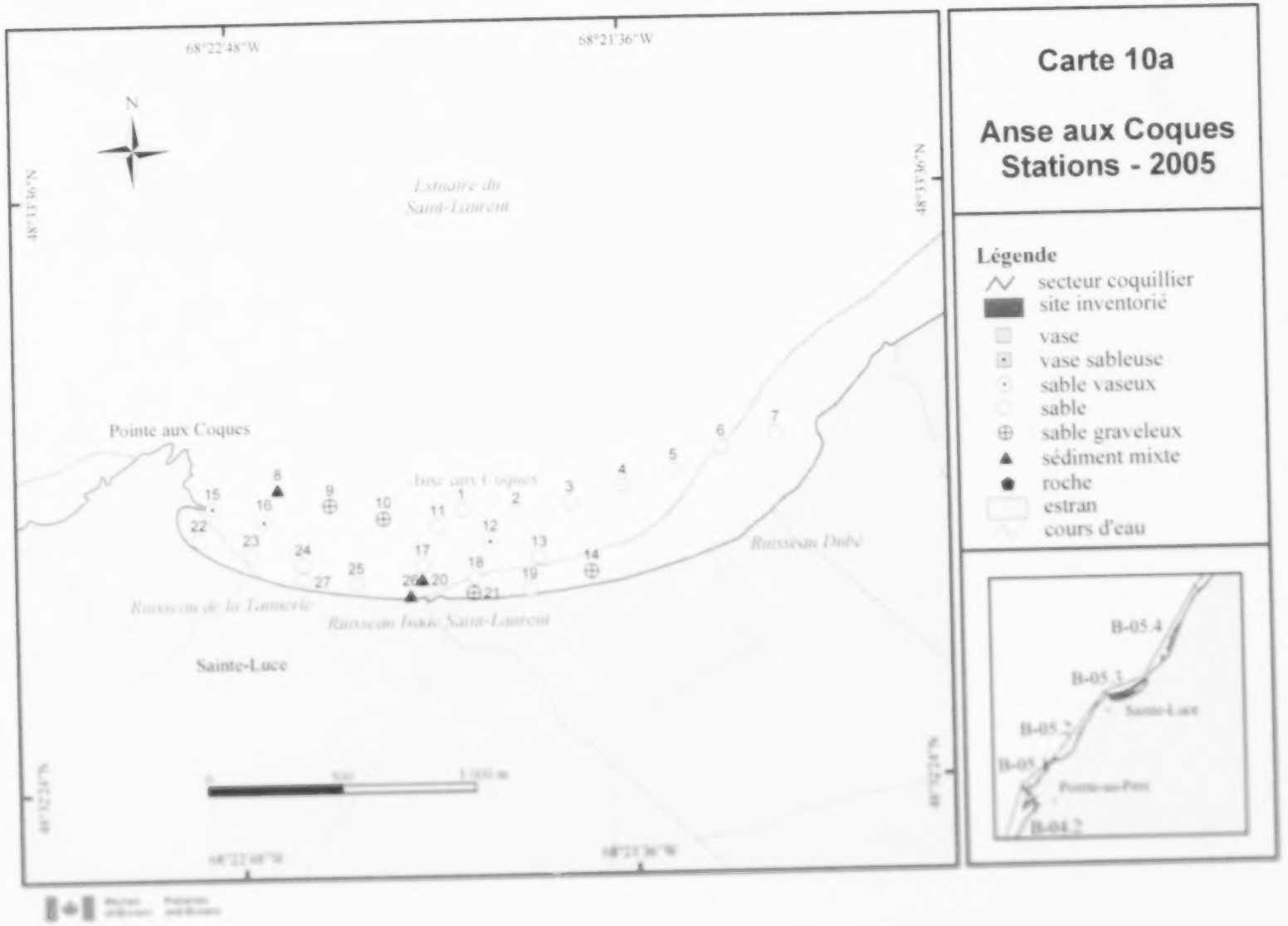
68°22'48"W
68°21'36"W
48°33'36"N
48°32'24"N
N
Estuaire du
Saint-Laurent
Pointe aux Coques
Anse aux Coques
Ruisseau Dubé
Ruisseau de la Tannerie
Ruisseau Isaac Saint-Laurent
Sainte-Luce
1 2 3 4 5 6 7 8 9 10 11 12 13 14 15 16 17 18 19 20 21 22 23 24 25 26 27
0 500 1 000 m
Carte 10a
Anse aux Coques
Stations - 2005
Légende
secteur coquillier
site inventorié
vase
vase sableuse
sable vaseux
sable
sable graveleux
sédiment mixte
roche
estran
cours d'eau
B-05.4
B-05.3
B-05.2
B-05.1
B-04.2
Sainte-Luce
Pointe-aux-Pères

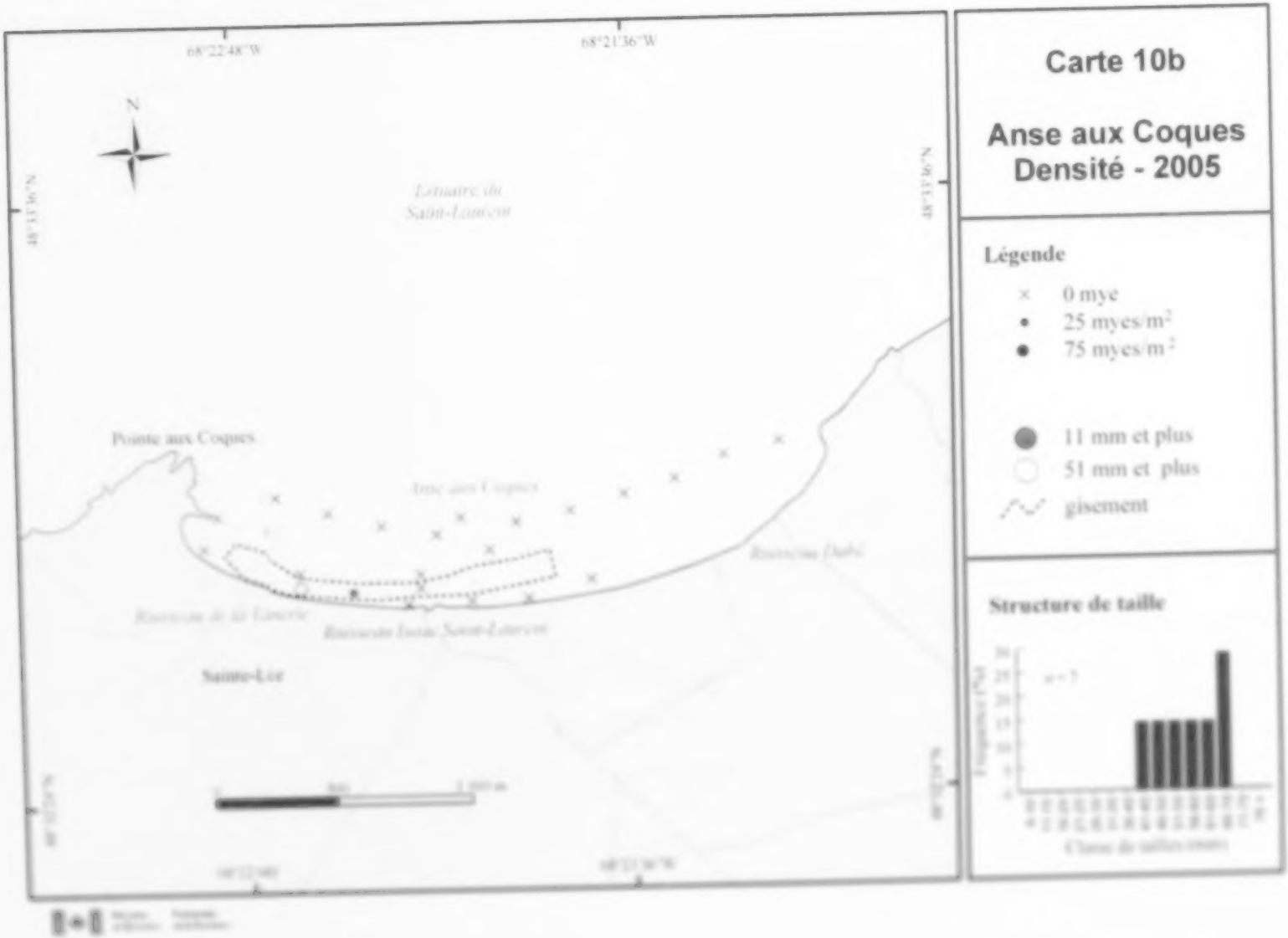
Carte 10b
Anse aux Coques
Densité - 2005
Légende
0 mye
25 myes/m²
75 myes/m²
11 mm et plus
51 mm et plus
gisement
Structure de taille
68°22'48"W
68°21'36"W
48°33'36"N
N
Estuaire du Saint-Laurent
Pointe aux Coques
Anse aux Coques
Rousseau Dubé
Rousseau de la Tanerie
Rousseau Isaac Saint-Laurent
Sainte-Lee

Carte 11a
Baie Mitis
Stations - 2005
Légende
secteur coquillier
site inventorié
vase
vase sableuse
sable vaseux
sable
sable graveleux
sédiment mixte
roche
estran
cours d'eau
Pointe aux Cenelles
Baie Mitis
Grand-Métis

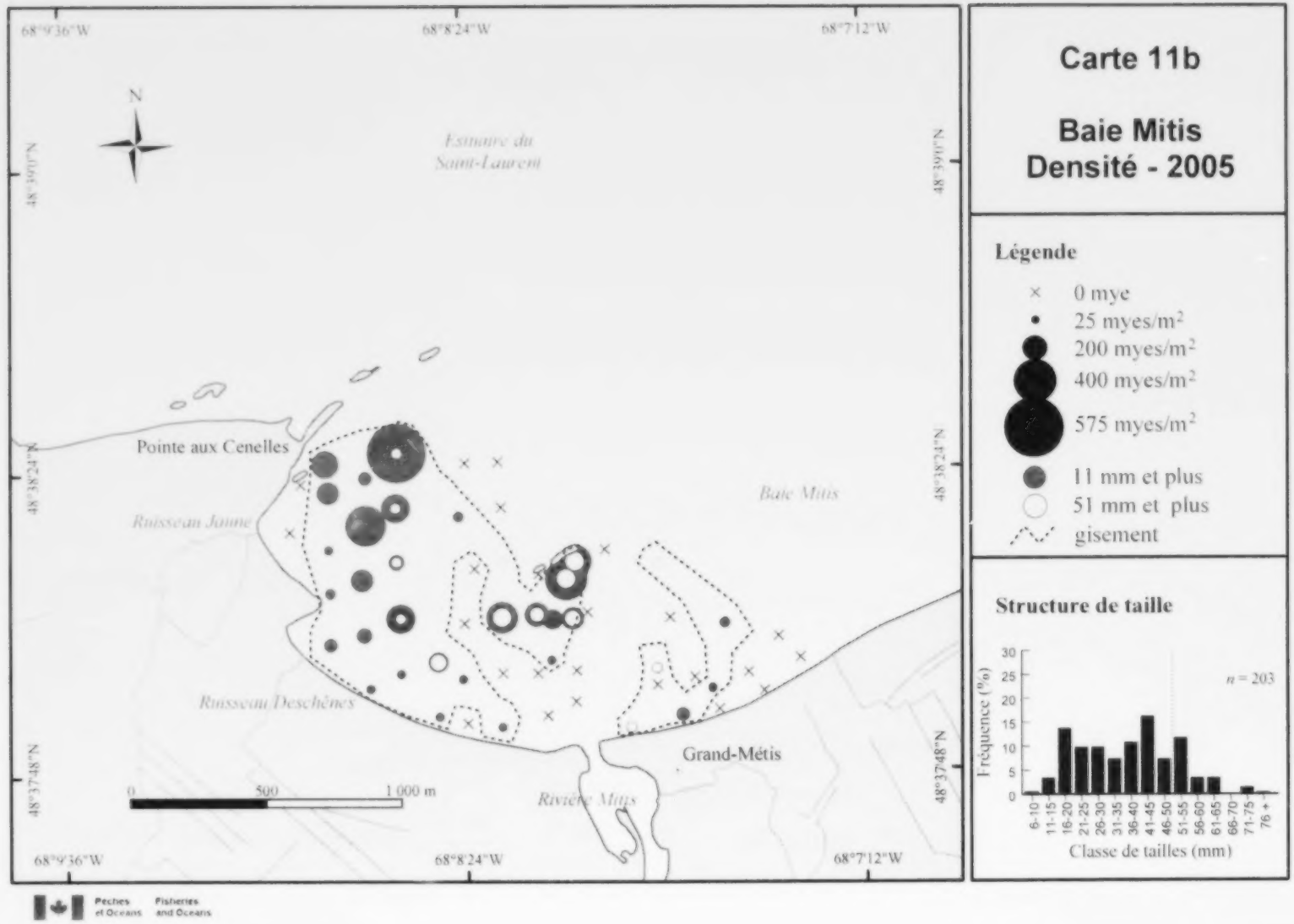
68°9'36"W
68°8'24"W
68°7'12"W
N
Estuaire du
Saint-Laurent
48°39'0"N
48°38'24"N
48°37'48"N
Pointe aux Cenelles
Ruisseau Jaune
Baie Mitis
Ruisseau Deschênes
Grand-Métis
Rivière Mitis
0
500
1 000 m
Carte 11b
Baie Mitis
Densité - 2005
Légende
0 mye
25 myes/m2
200 myes/m2
400 myes/m2
575 myes/m2
11 mm et plus
51 mm et plus
gisement
Structure de taille
Fréquence (%)
n = 203
6-10
11-15
16-20
21-25
26-30
31-35
36-40
41-45
46-50
51-55
56-60
61-65
66-70
71-75
76 +
Classe de tailles (mm)
Pêches et Océans
Fisheries and Oceans

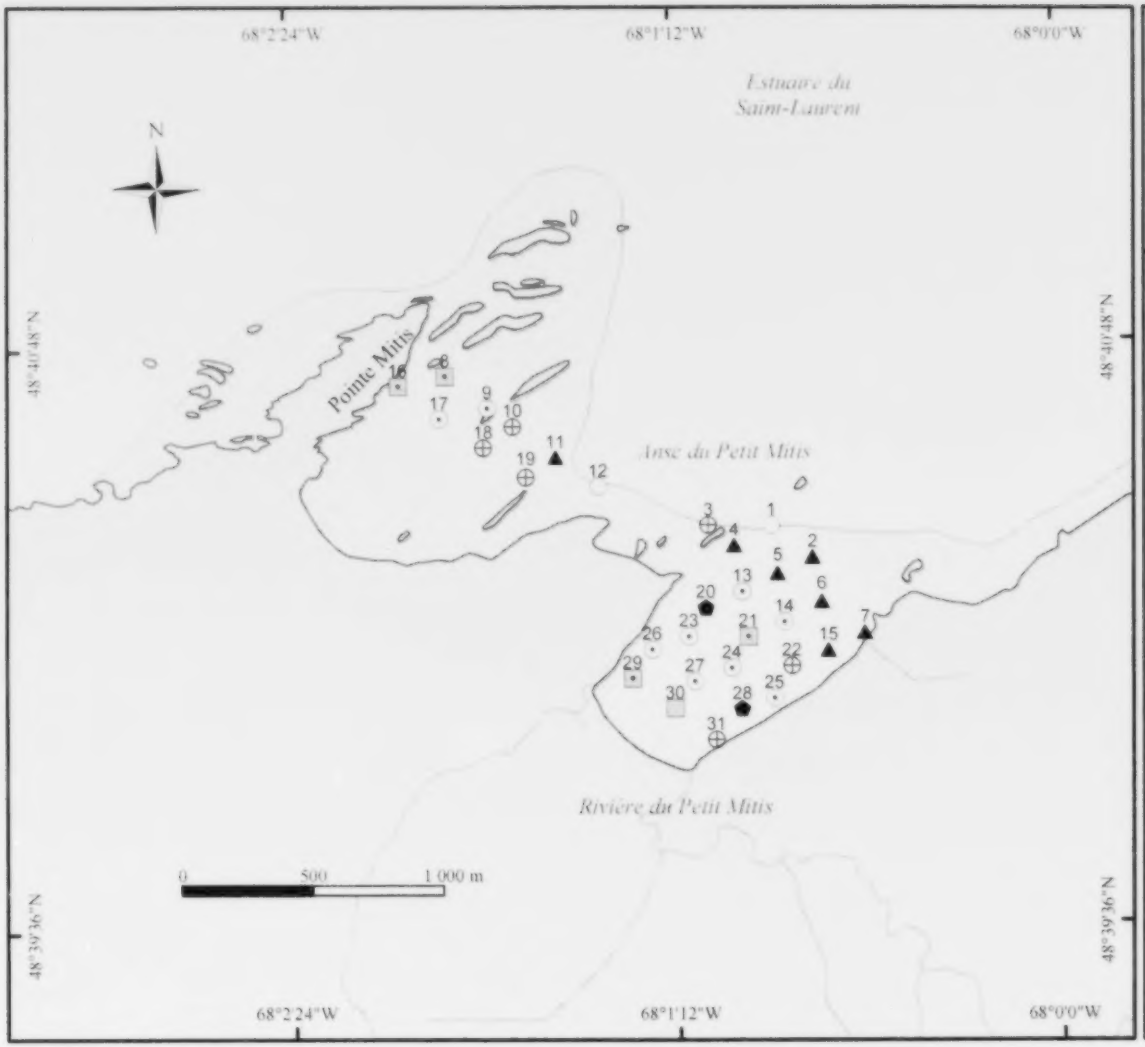

Carte 12a

Anse du Petit Mitis
Stations - 2005

Légende

- secteur coquillier
- site inventorié
- vase
- vase sableuse
- sable vaseux
- sable
- sable graveleux
- sédiment mixte
- roche
- estran
- cours d'eau

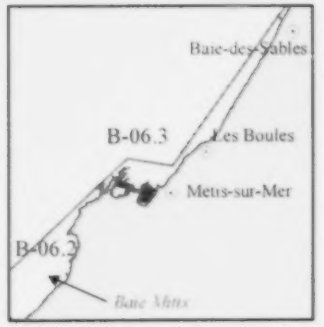

Pêches et Océans Fisheries and Oceans

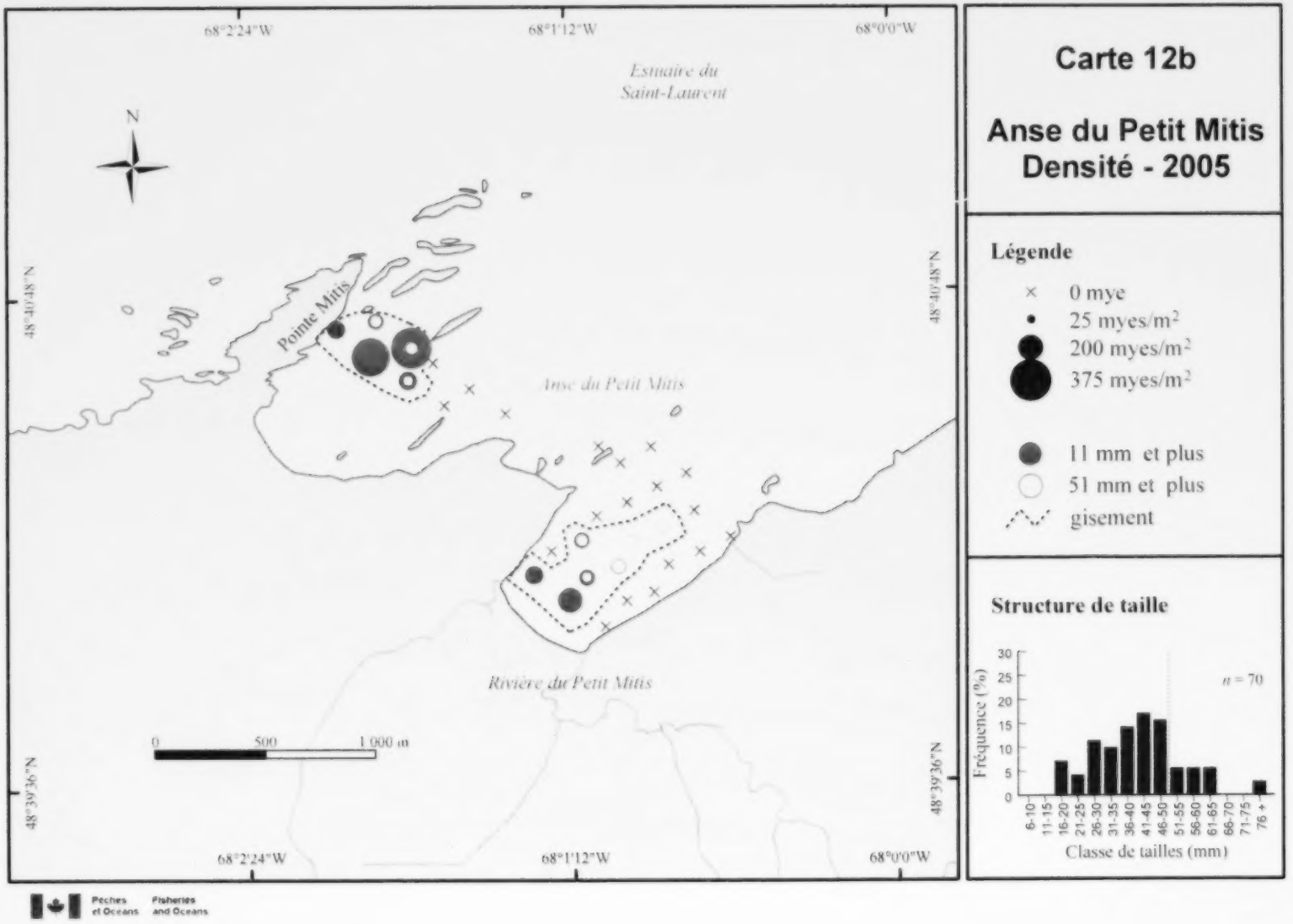
68°2'24"W
68°1'12"W
68°0'0"W
Estuaire du
Saint-Laurent
N
48°40'48"N
Pointe Mitis
Anse du Petit Mitis
Rivière du Petit Mitis
0
500
1 000 m
48°39'36"N
Carte 12b
Anse du Petit Mitis
Densité - 2005
Légende
0 mye
25 myes/m²
200 myes/m²
375 myes/m²
11 mm et plus
51 mm et plus
gisement
Structure de taille
Fréquence (%)
n = 70
6-10
11-15
16-20
21-25
26-30
31-35
36-40
41-45
46-50
51-55
56-60
61-65
66-70
71-75
76 +
Classe de tailles (mm)
Pêches et Océans
Fisheries and Oceans

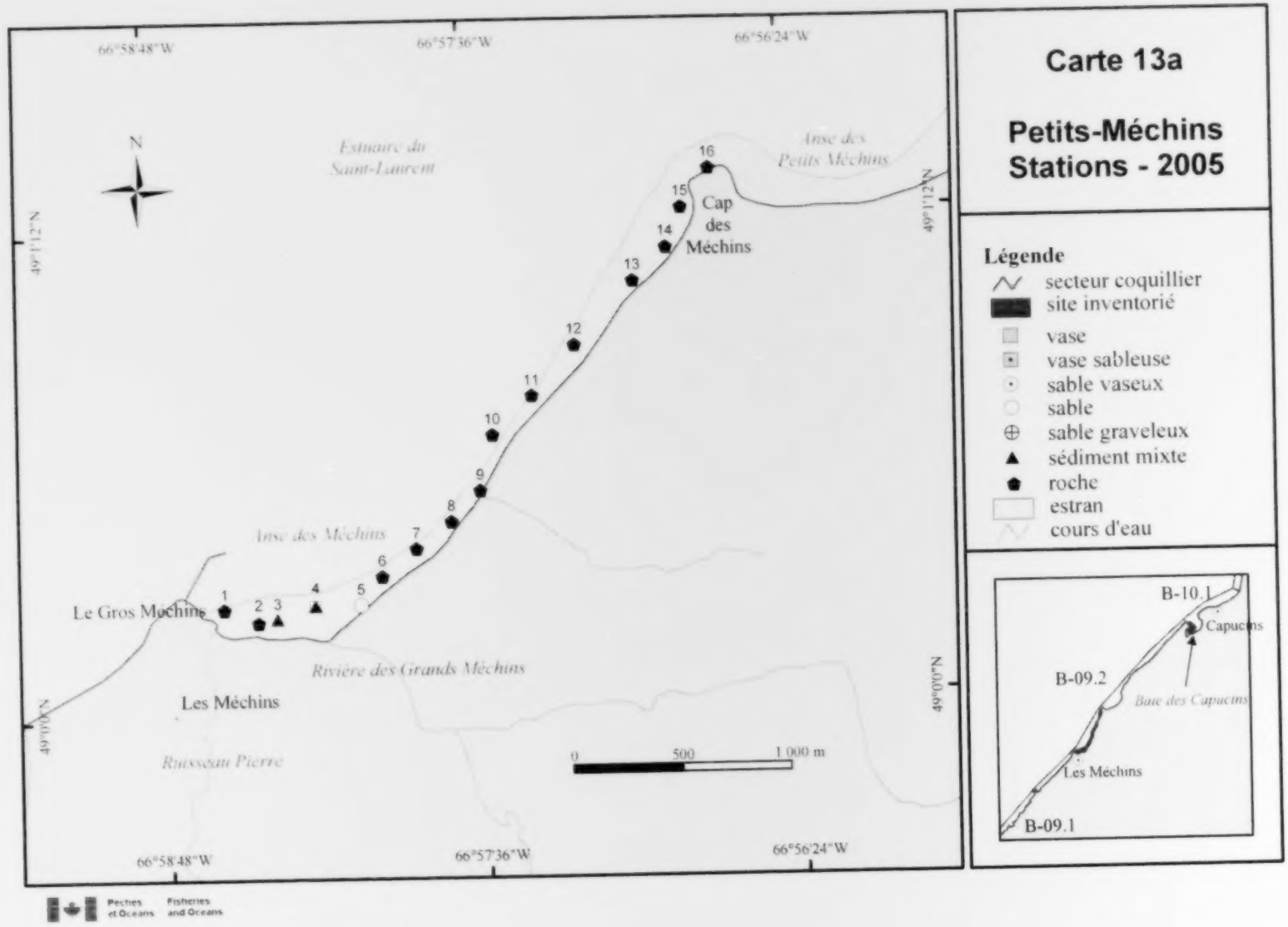
Carte 13a
Petits-Méchins
Stations - 2005
Légende
secteur coquillier
site inventorié
vase
vase sableuse
sable vaseux
sable
sable graveleux
sédiment mixte
roche
estran
cours d'eau
66°58'48"W
66°57'36"W
66°56'24"W
49°01'12"N
49°00'N
N
Estuaire du Saint-Laurent
Anse des Petits Méchins
Cap des Méchins
Anse des Méchins
Le Gros Mechins
Rivière des Grands Méchins
Les Méchins
Ruisseau Pierre
0
500
1 000 m
B-10.1
Capucins
B-09.2
Baie des Capucins
Les Méchins
B-09.1
Pêches et Océans
Fisheries and Oceans

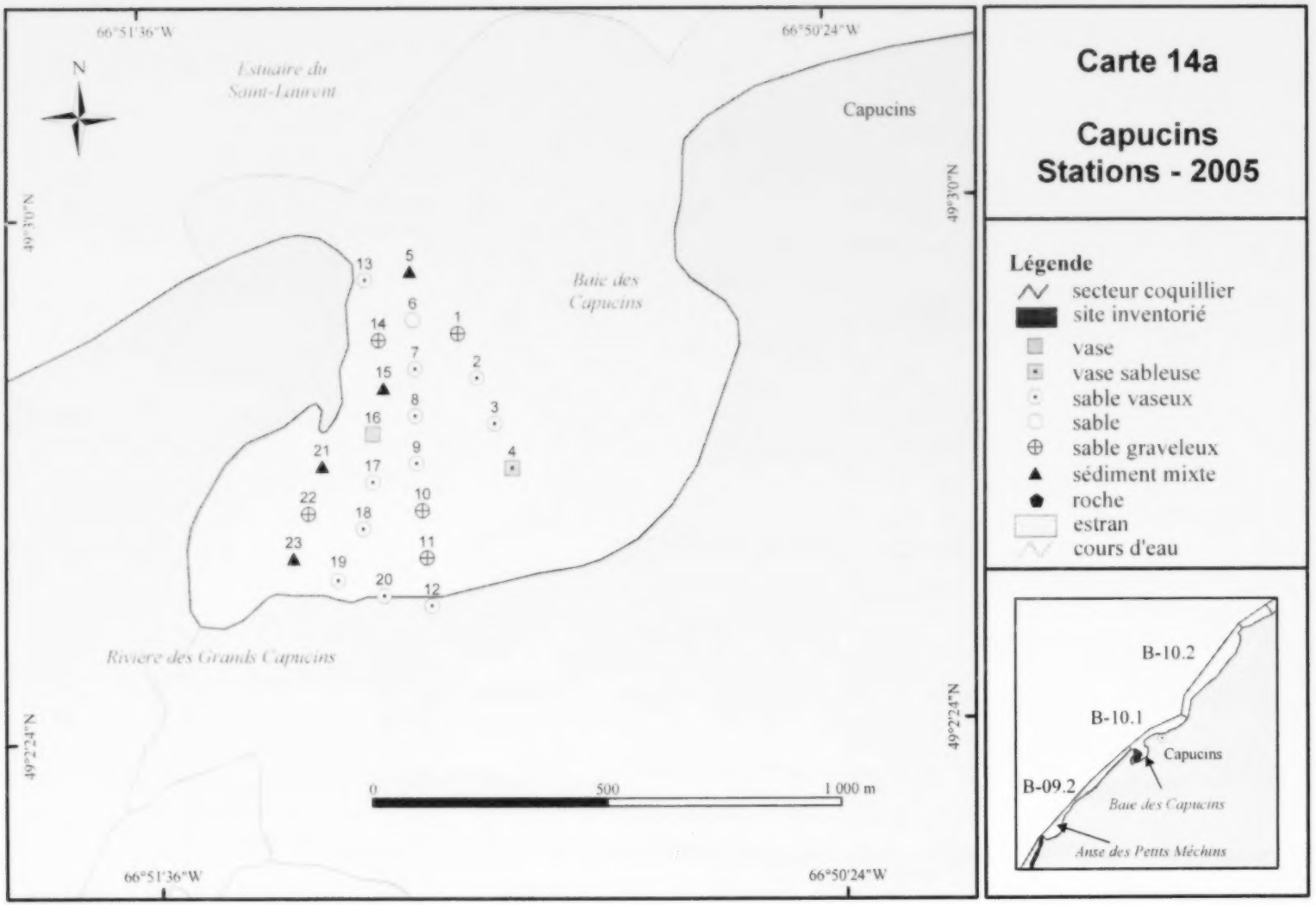
66°51'36"W
66°50'24"W
N
Estuaire du
Saint-Laurent
Capucins
49°30'N
49°22'24"N
Baie des
Capucins
13
5
6
1
14
7
2
15
8
3
16
9
4
21
17
22
10
18
23
11
19
20
12
Riviere des Grands Capucins
0
500
1 000 m
Carte 14a
Capucins
Stations - 2005
Légende
secteur coquillier
site inventorié
vase
vase sableuse
sable vaseux
sable
sable graveleux
sédiment mixte
roche
estran
cours d'eau
B-10.2
B-10.1
Capucins
B-09.2
Baie des Capucins
Anse des Petits Méchins
Pêches et Océans
Fisheries and Oceans

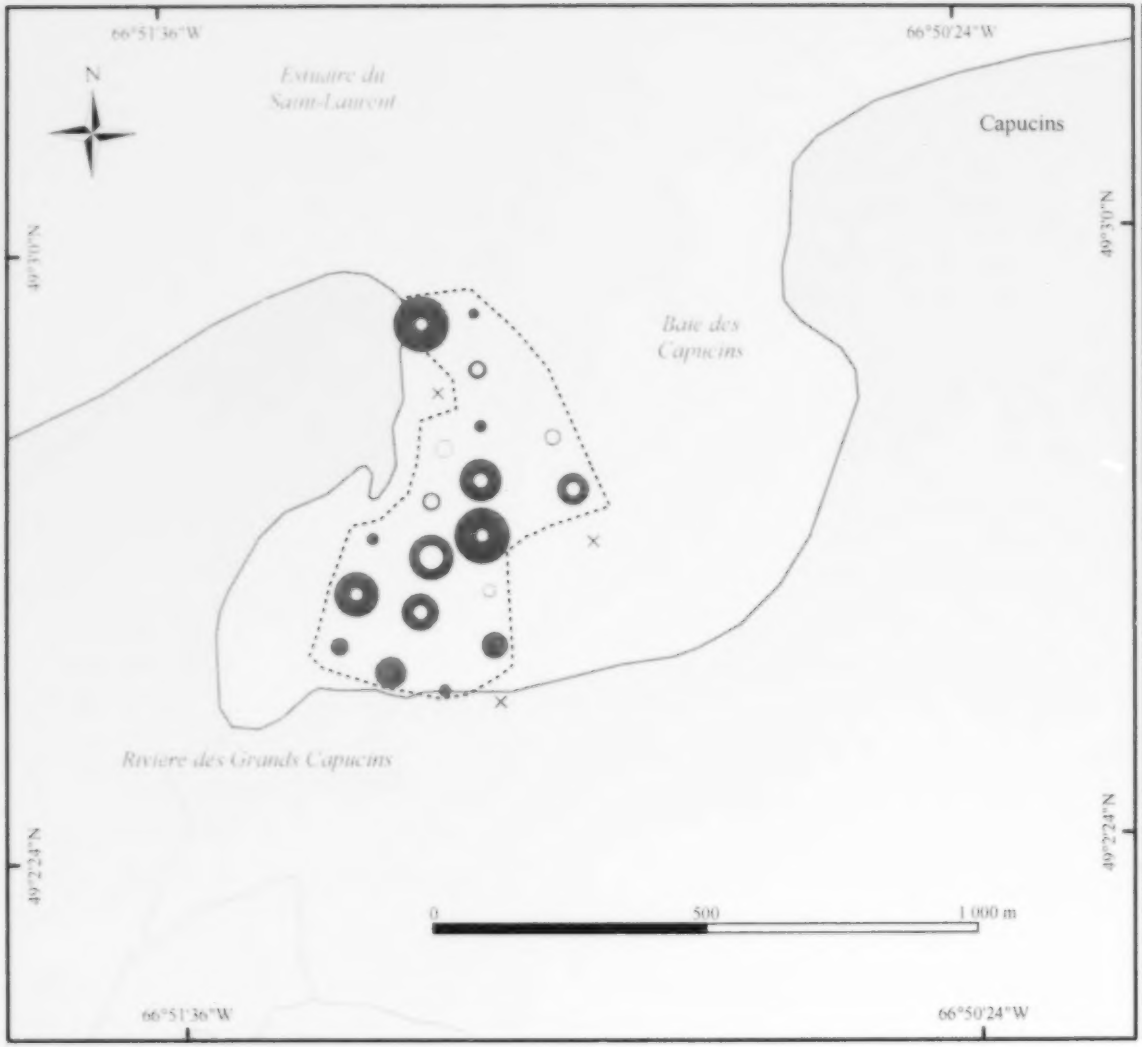

Carte 14b

Capucins
Densité - 2005

Légende

- × 0 mye
- 25 myes/m²
- 200 myes/m²
- 400 myes/m²
- 450 myes/m²
- 11 mm et plus
- 51 mm et plus
- gisement

Structure de taille

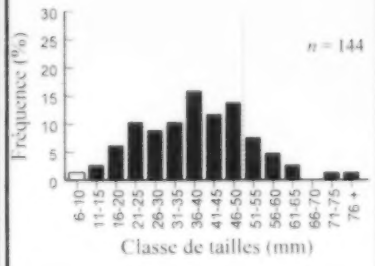

Pêches et Océans Fisheries and Oceans

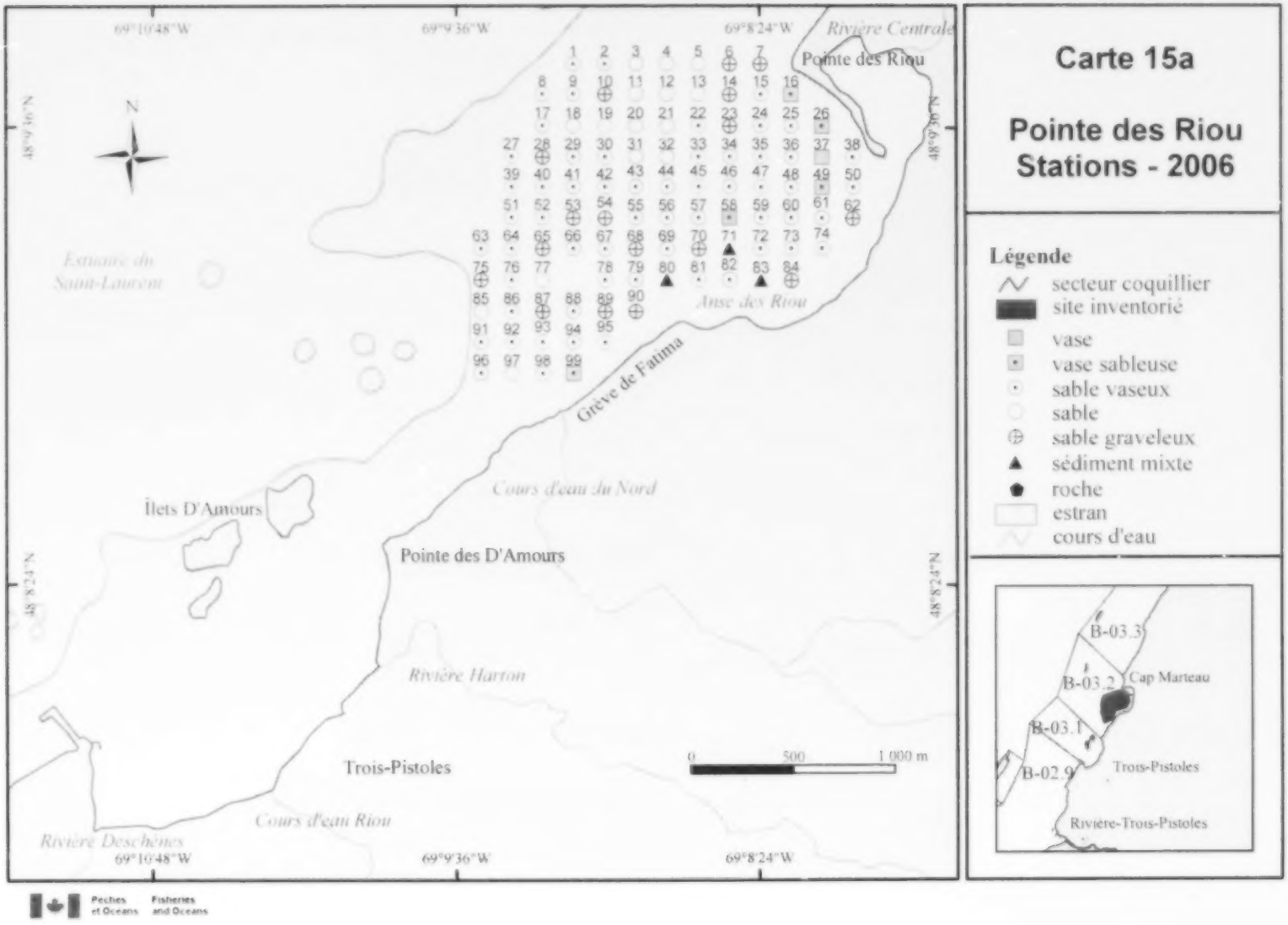
Carte 15a
Pointe des Riou
Stations - 2006
Légende
secteur coquillier
site inventorié
vase
vase sableuse
sable vaseux
sable
sable graveleux
sédiment mixte
roche
estran
cours d'eau
69°10'48"W
69°9'36"W
69°8'24"W
48°9'36"N
48°8'24"N
Rivière Centrale
Pointe des Riou
Estuaire du Saint-Laurent
Anse des Riou
Grève de Fatima
Cours d'eau du Nord
Îlets D'Amours
Pointe des D'Amours
Rivière Harton
Trois-Pistoles
Cours d'eau Riou
Rivière Deschênes
0
500
1 000 m
B-03.3
B-03.2
Cap Marteau
B-03.1
B-02.9
Trois-Pistoles
Rivière-Trois-Pistoles
Pêches et Océans
Fisheries and Oceans

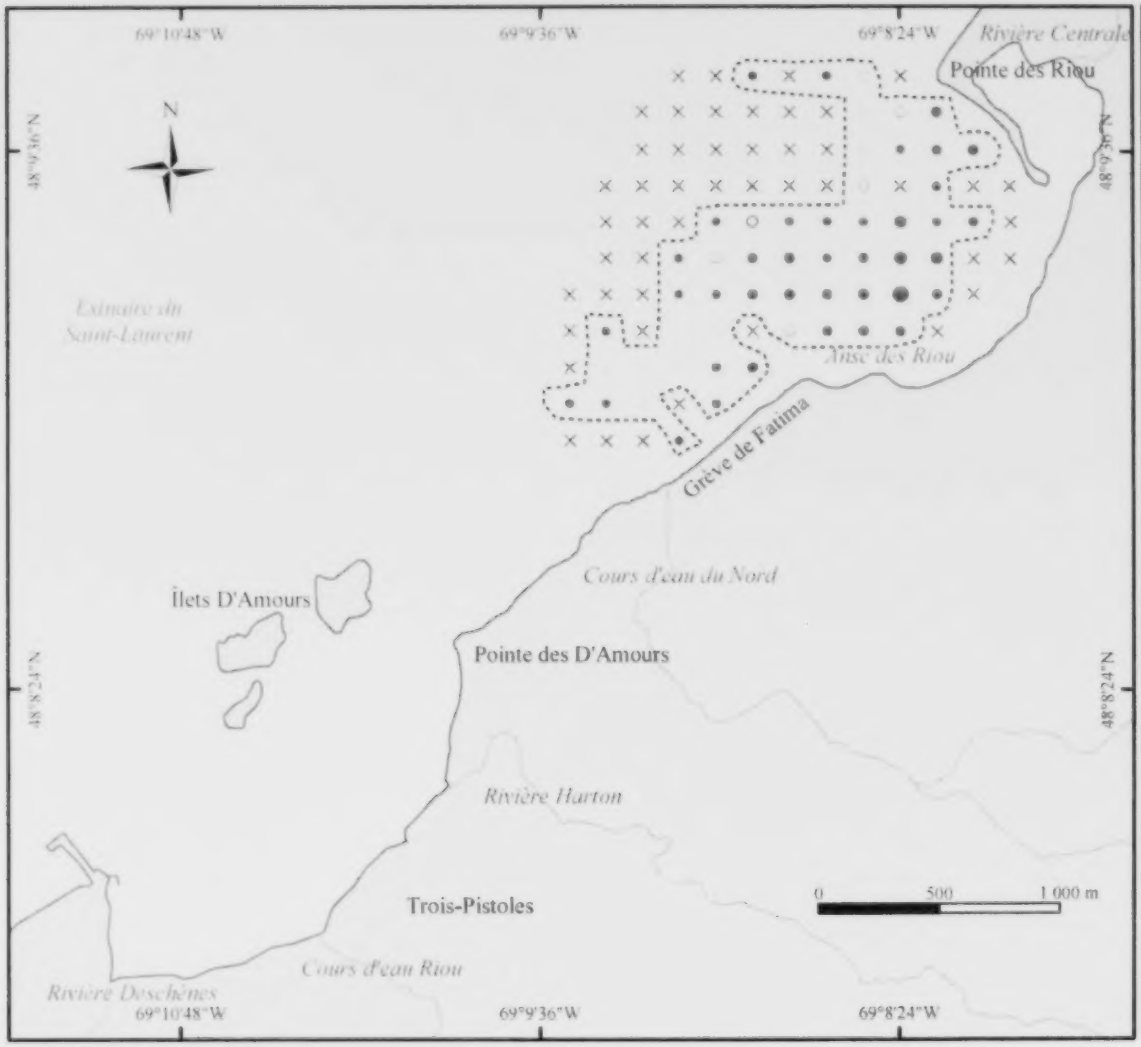

Pêches et Océans Fisheries and Oceans

Carte 15b

Pointe des Riou
Densité - 2006

Légende

- × 0 mye
- • 4 myes/m^2
- ● 80 myes/m^2

- 11 mm et plus
- 51 mm et plus
- gisement

Structure de taille

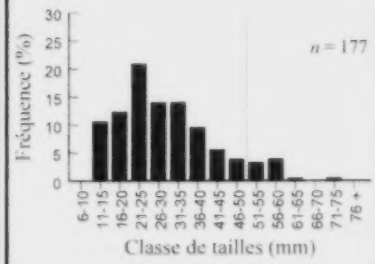

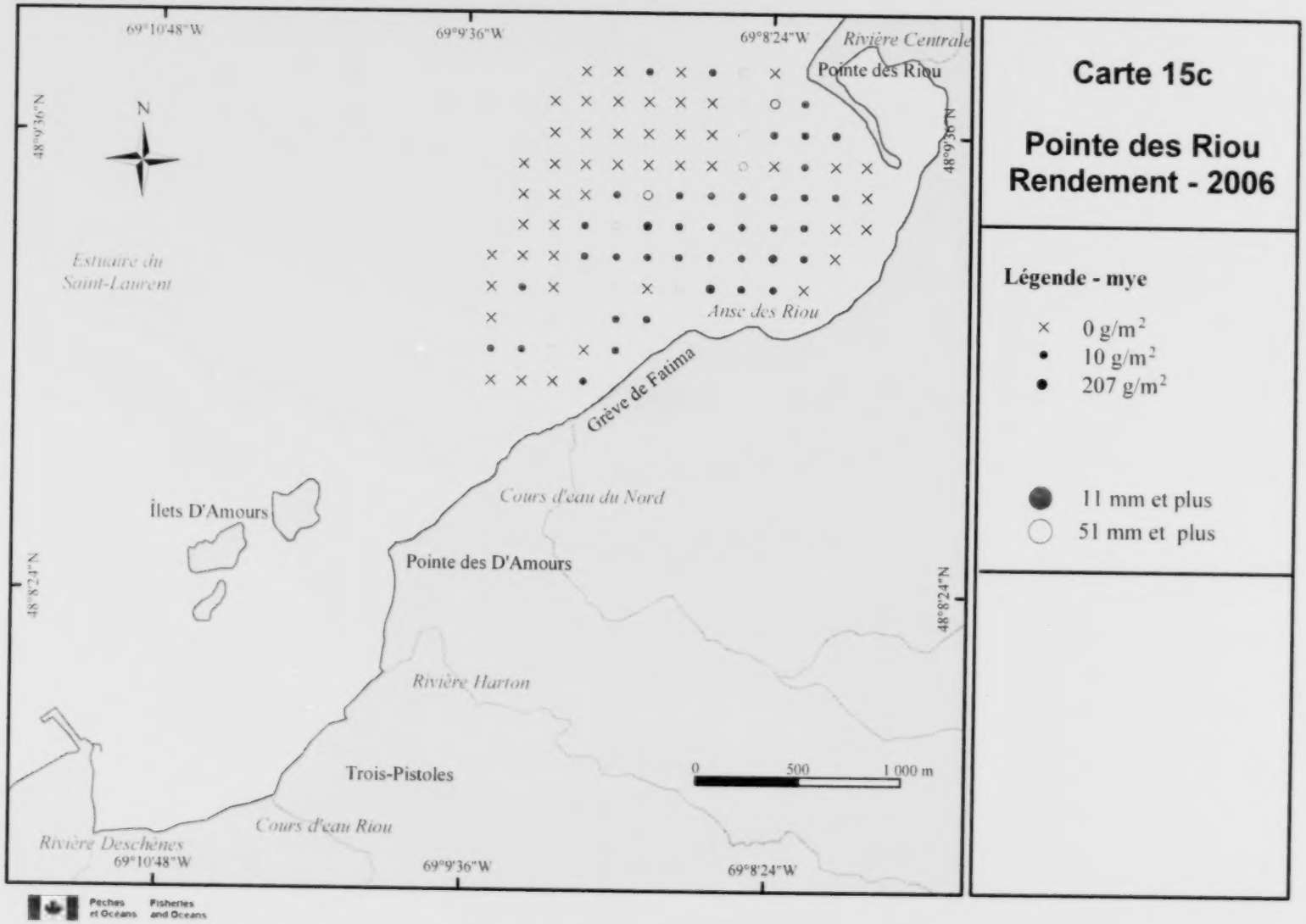
69°10'48"W
69°9'36"W
69°8'24"W
Rivière Centrale
Pointe des Riou
48°9'36"N
N
Estuaire du
Saint-Laurent
Anse des Riou
Grève de Fatima
Îlets D'Amours
Cours d'eau du Nord
Pointe des D'Amours
48°8'24"N
Rivière Harton
Trois-Pistoles
0 500 1 000 m
Cours d'eau Riou
Rivière Deschênes
Pêches et Océans Fisheries and Oceans
Carte 15c
Pointe des Riou
Rendement - 2006
Légende - mye
0 g/m²
10 g/m²
207 g/m²
11 mm et plus
51 mm et plus

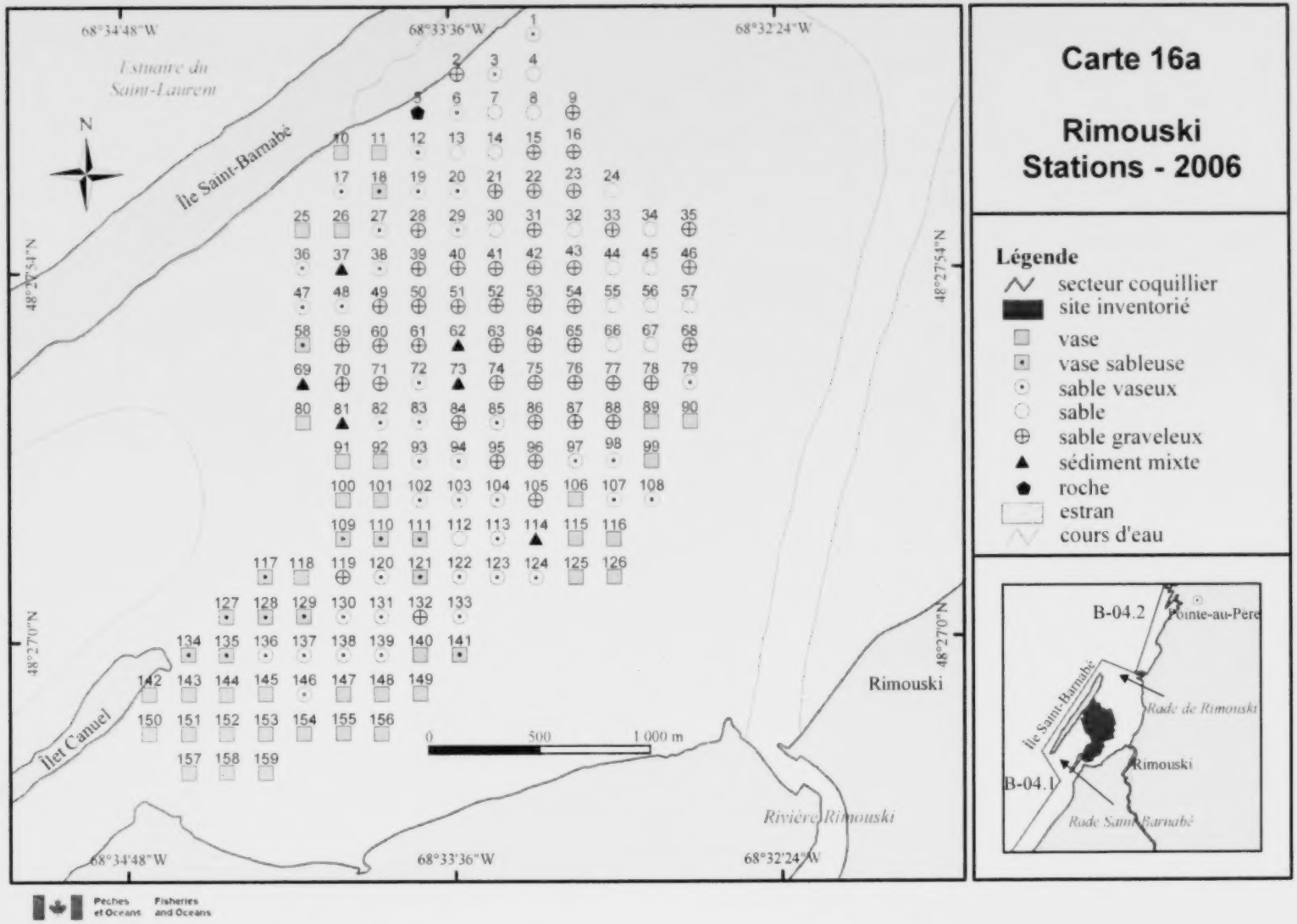
Carte 16a
Rimouski
Stations - 2006
Légende
secteur coquillier
site inventorié
vase
vase sableuse
sable vaseux
sable
sable graveleux
sédiment mixte
roche
estran
cours d'eau
68°34'48"W
68°33'36"W
68°32'24"W
48°27'54"N
48°27'0"N
Estuaire du Saint-Laurent
Île Saint-Barnabé
Îlet Canuel
Rimouski
Rivière Rimouski
0
500
1 000 m
B-04.2
Pointe-au-Pere
Rade de Rimouski
B-04.1
Rade Saint-Barnabé
Pêches et Océans
Fisheries and Oceans

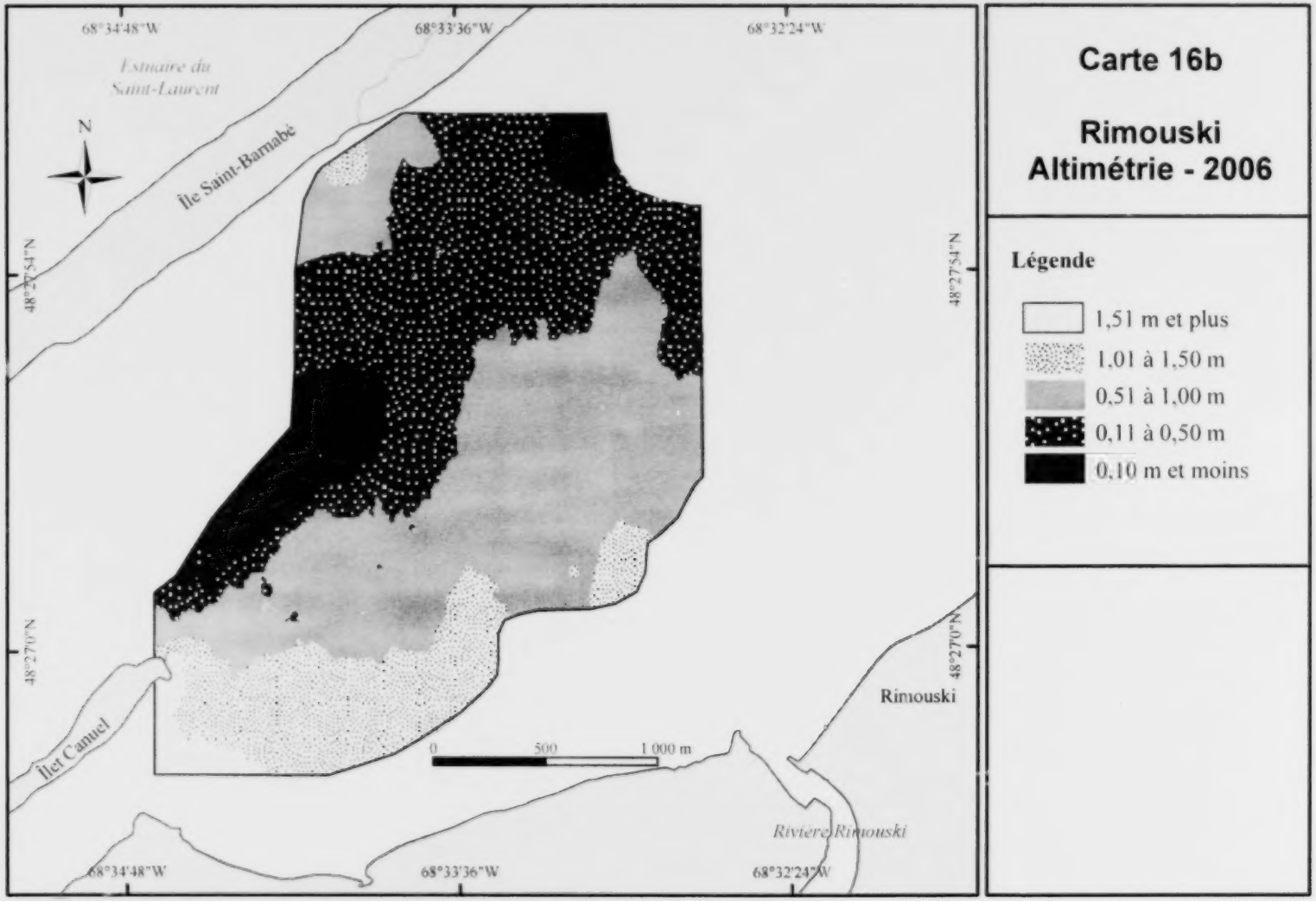
68°34'48"W
68°33'36"W
68°32'24"W
Estuaire du
Saint-Laurent
N
Île Saint-Barnabé
48°27'54"N
48°27'0"N
Îlet Canuel
Rimouski
0
500
1 000 m
Rivière Rimouski
Carte 16b
Rimouski
Altimétrie - 2006
Légende
1,51 m et plus
1,01 à 1,50 m
0,51 à 1,00 m
0,11 à 0,50 m
0,10 m et moins
Pêches et Océans
Fisheries and Oceans

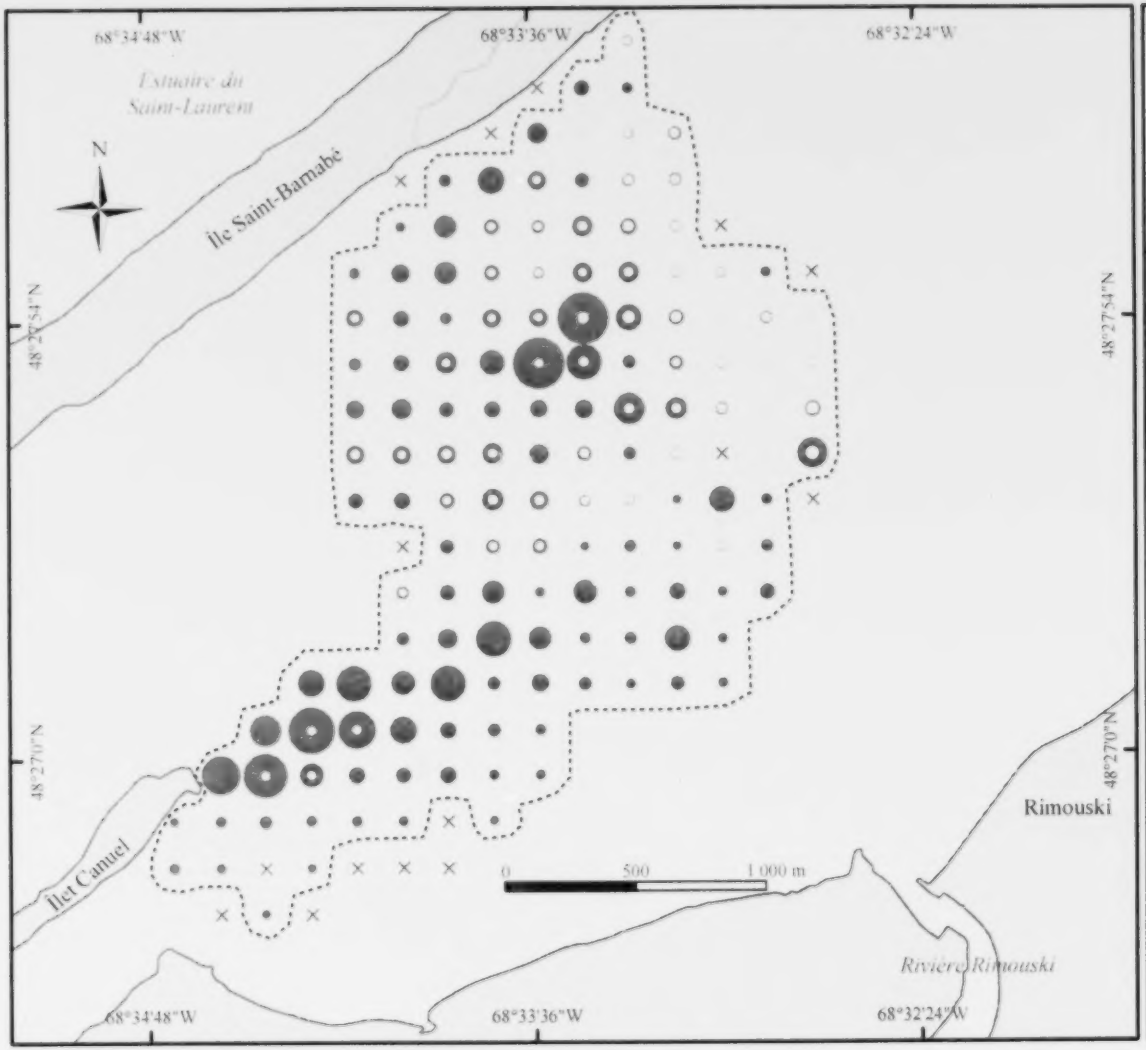

Pêches et Océans Fisheries and Oceans

Carte 16c

Rimouski
Densité - 2006

Légende

- × 0 mye
- • 4 myes/m^2
- ● 200 myes/m^2
- ● 408 myes/m^2
- ● 11 mm et plus
- ○ 51 mm et plus
- gisement

Structure de taille

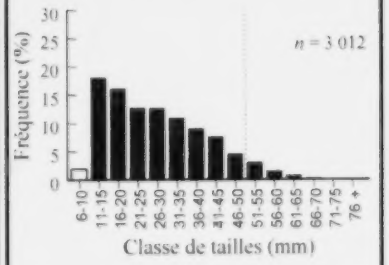

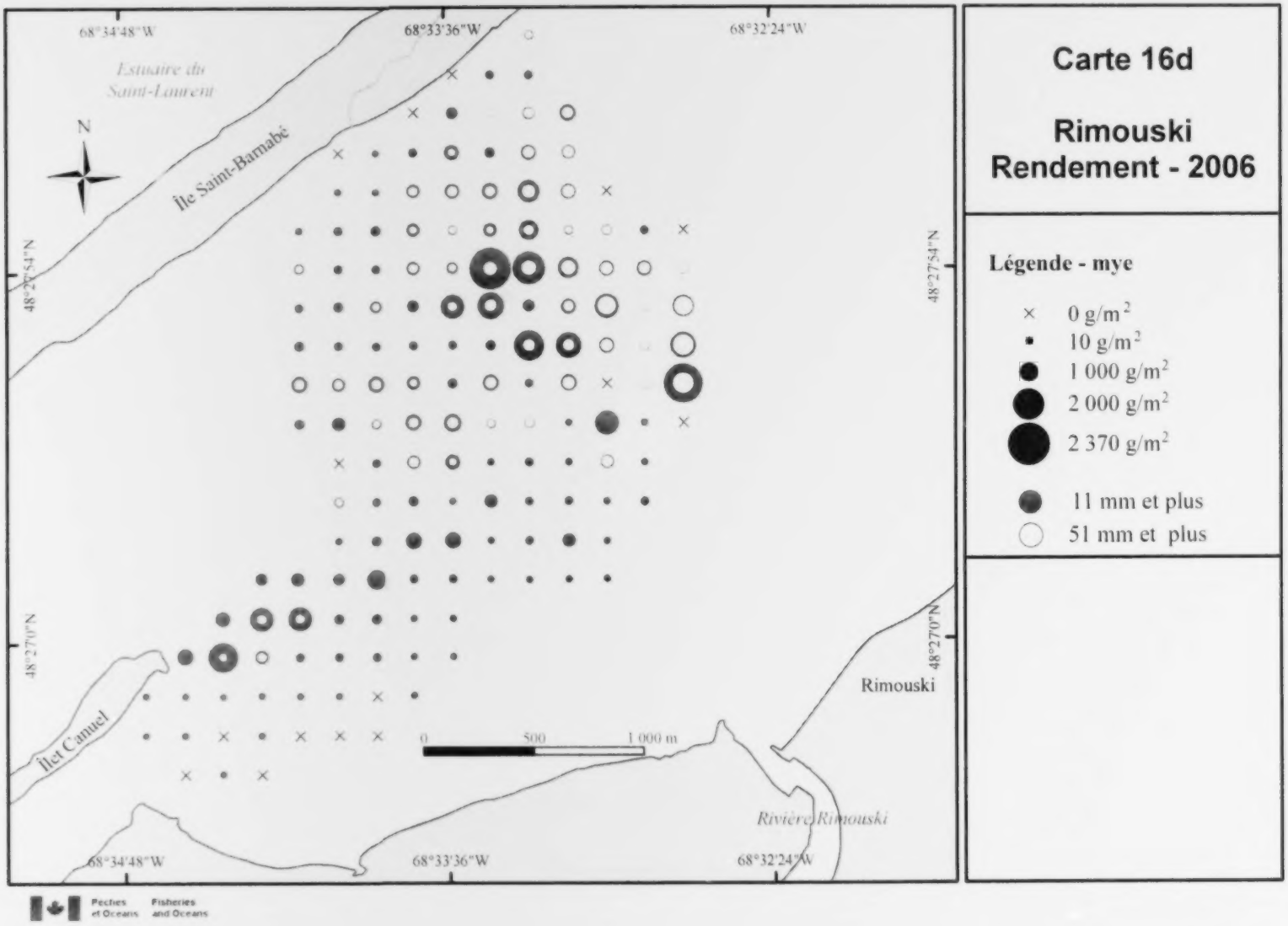
68°34'48"W
68°33'36"W
68°32'24"W
48°27'54"N
48°27'0"N
Estuaire du
Saint-Laurent
N
Île Saint-Barnabé
Îlet Canuel
Rimouski
Rivière Rimouski
0
500
1 000 m
Carte 16d
Rimouski
Rendement - 2006
Légende - mye
0 g/m2
10 g/m2
1 000 g/m2
2 000 g/m2
2 370 g/m2
11 mm et plus
51 mm et plus
Pêches et Océans
Fisheries and Oceans

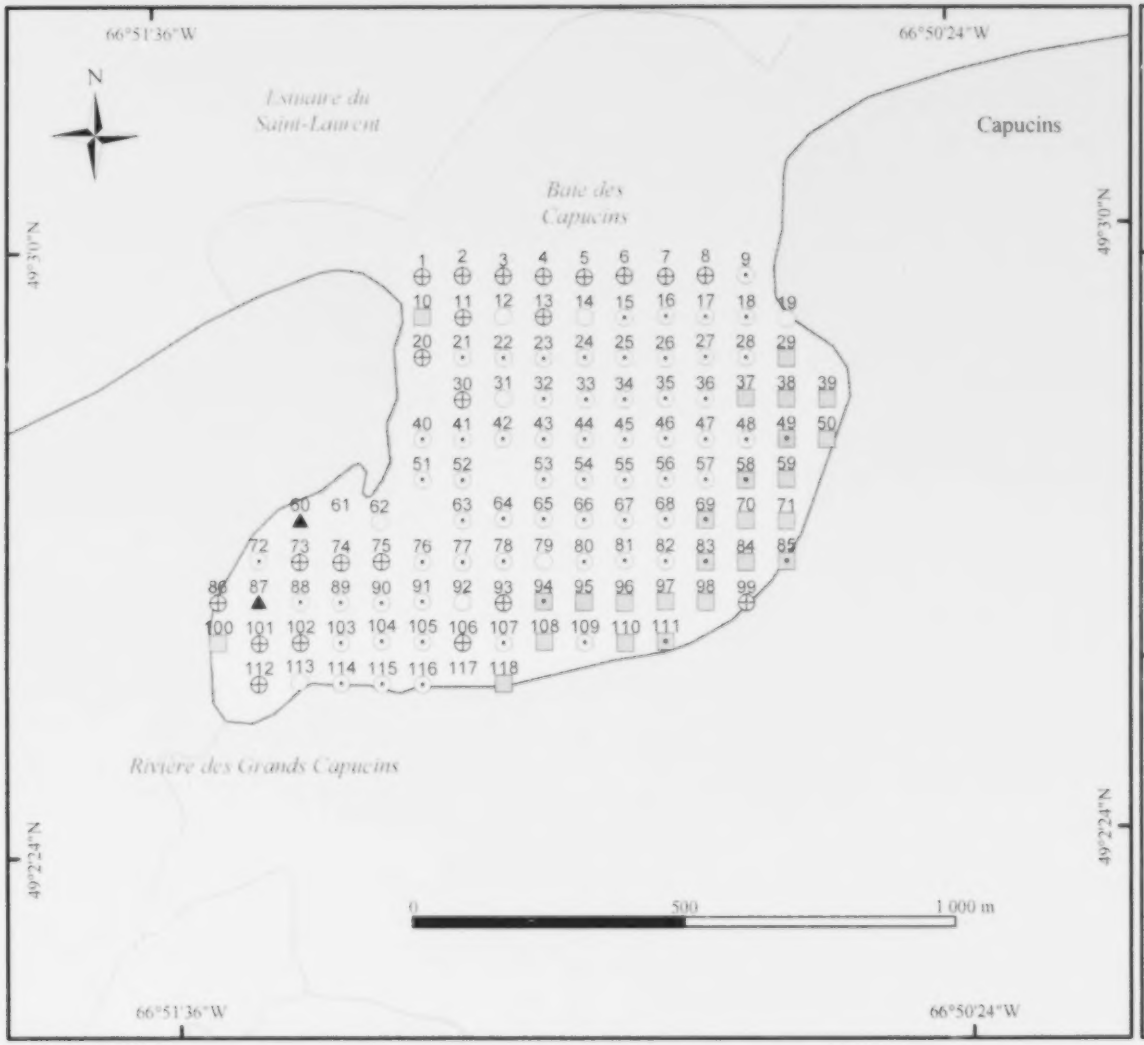

Pêches et Océans Fisheries and Oceans

Carte 17a

Capucins Stations - 2006

Légende

- secteur coquillier
- site inventorié
- vase
- vase sableuse
- sable vaseux
- sable
- sable graveleux
- sédiment mixte
- roche
- estran
- cours d'eau

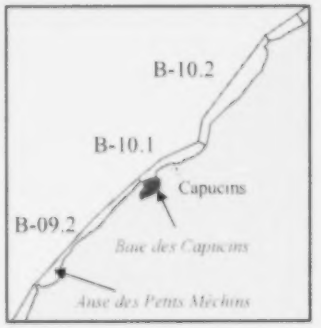

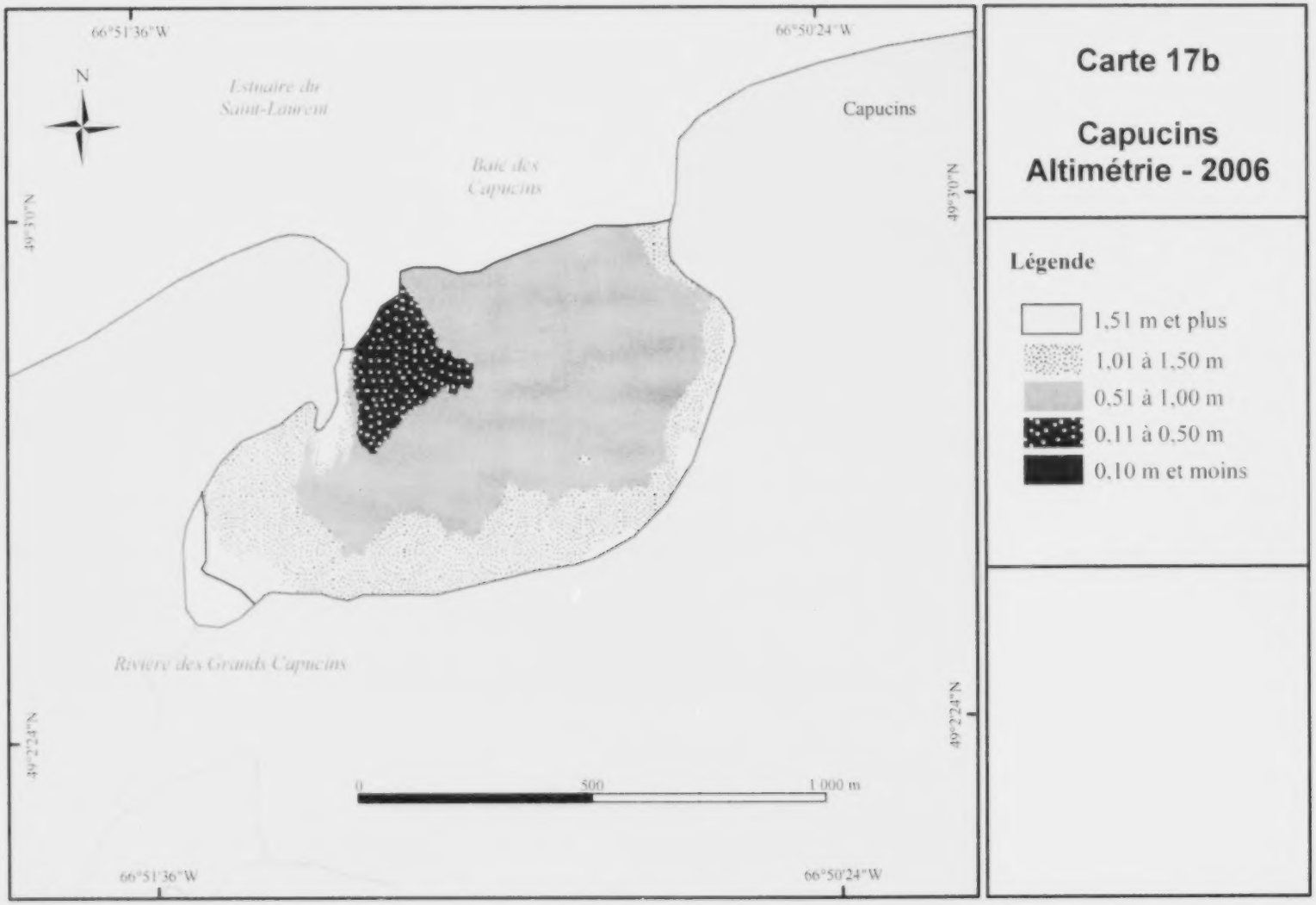
66°51'36"W
66°50'24"W
N
Estuaire du
Saint-Laurent
Capucins
Baie des
Capucins
49°30'N
49°30'N
Rivière des Grands Capucins
49°22'24"N
49°22'24"N
0
500
1 000 m
66°51'36"W
66°50'24"W
Carte 17b
Capucins
Altimétrie - 2006
Légende
1,51 m et plus
1,01 à 1,50 m
0,51 à 1,00 m
0,11 à 0,50 m
0,10 m et moins
Pêches et Océans
Fisheries and Oceans

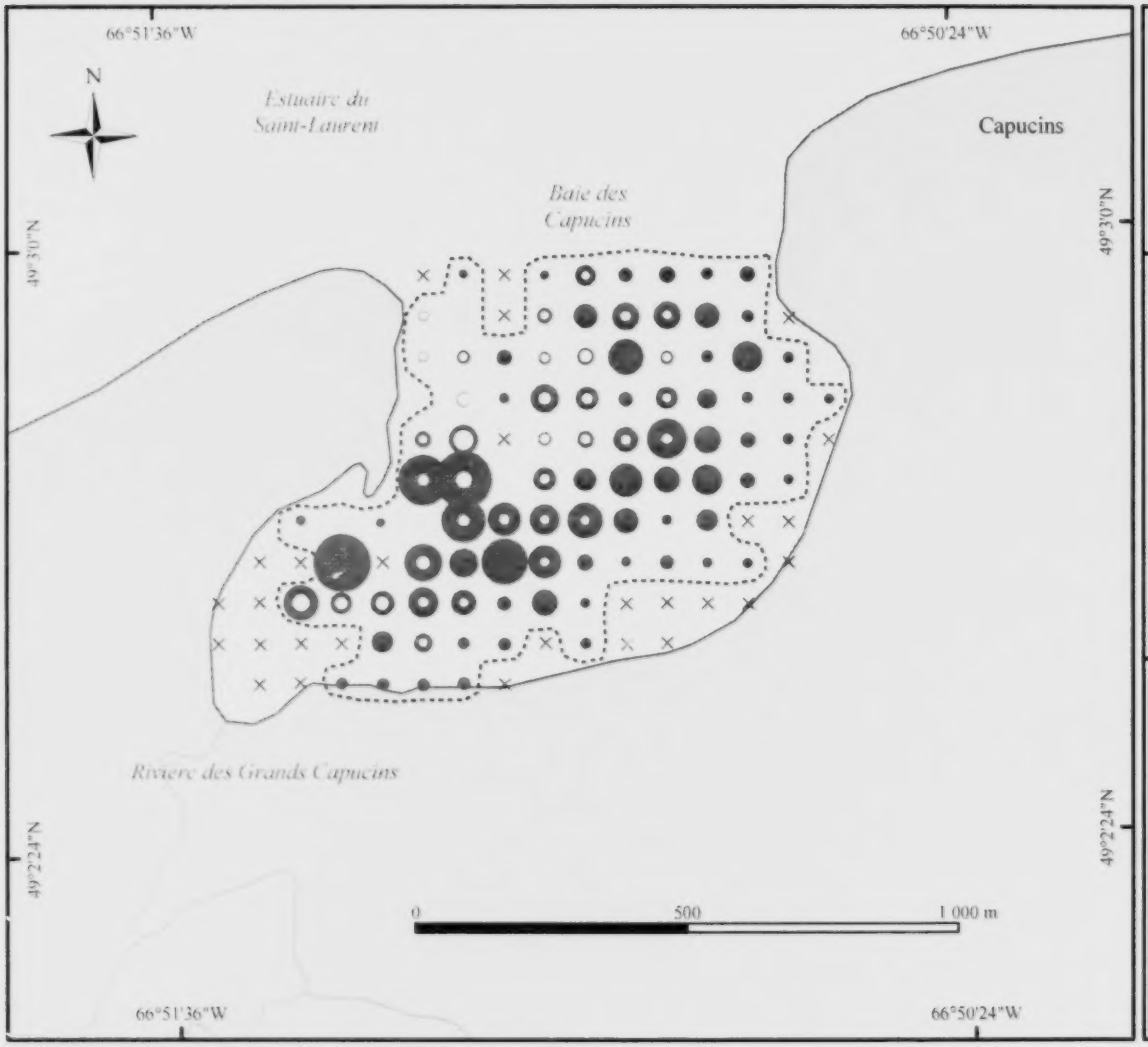

Pêches et Océans Fisheries and Oceans

Carte 17c

Capucins
Densité - 2006

Légende

- × 0 mye
- • 4 myes/m^2
- 200 myes/m^2
- 464 myes/m^2
- 11 mm et plus
- 51 mm et plus
- gisement

Structure de taille

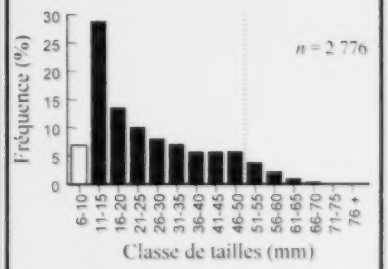

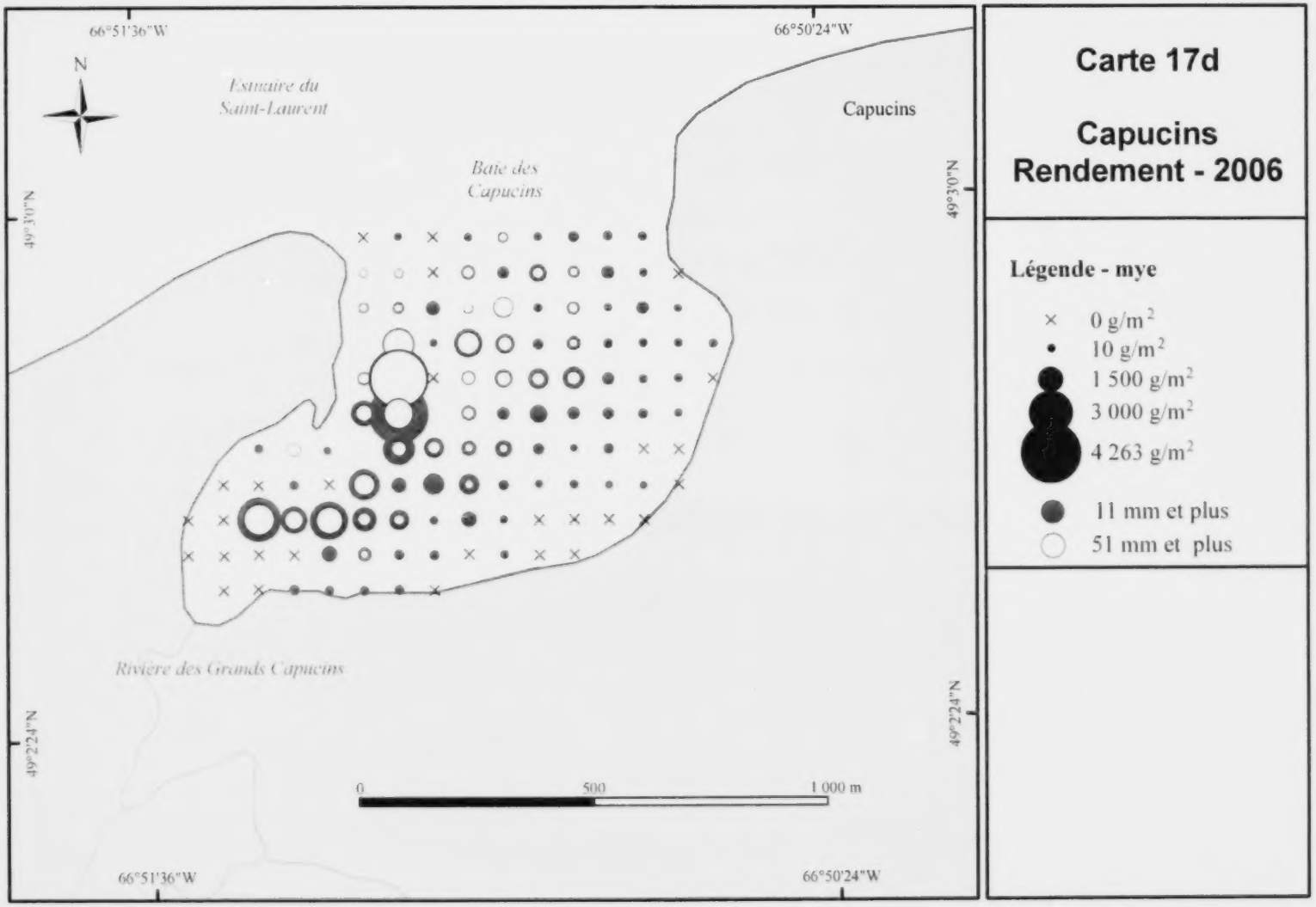
66°51'36"W
66°50'24"W
N
Estuaire du
Saint-Laurent
Capucins
Baie des
Capucins
49°3'0"N
49°2'24"N
Rivière des Grands Capucins
0
500
1 000 m
Carte 17d
Capucins
Rendement - 2006
Légende - mye
0 g/m2
10 g/m2
1 500 g/m2
3 000 g/m2
4 263 g/m2
11 mm et plus
51 mm et plus
Pêches et Océans
Fisheries and Oceans

Annexe 1. Liste des secteurs coquilliers (nom et numéro) et parcs aquicoles, classification de 2006 selon le Programme canadien de contrôle de la salubrité des mollusques, région administrative et nom utilisé pour les sites échantillonnés en 2005 et 2006.

Nom	Numéro	Classification	Région	Site inventorié
Secteurs coquilliers				
Kamouraska	K-01	Fermé	Bas-Saint-Laurent	Kamouraska
Anse du Portage	B-01.1	Fermé	Bas-Saint-Laurent	
Saint-Patrice	B-01.2	Fermé	Bas-Saint-Laurent	
Anse au Persil	B-01.3	Fermé	Bas-Saint-Laurent	Anse au Persil
Saint-Georges-de-Cacouna	B-01.4	Fermé	Bas-Saint-Laurent	
Presqu'île Le Gros Cacouna	B-02.1	Fermé	Bas-Saint-Laurent	
Cacouna-Sud	B-02.2	Fermé	Bas-Saint-Laurent	
Cacouna-Est	B-02.3	Fermé	Bas-Saint-Laurent	
Île Verte	B-02.4	Approuvé	Bas-Saint-Laurent	Île Verte
Îlet du Chasseur / Îlet de l'Habenaria	B-02.5	Fermé	Bas-Saint-Laurent	
Anse Verte	B-02.6	Fermé	Bas-Saint-Laurent	
Anse de l'Isle Verte / Isle-Verte (village)	B-02.7	Fermé	Bas-Saint-Laurent	
Saint-Eloi-Station / Île aux Pommes	B-02.8	Fermé	Bas-Saint-Laurent	
Batture de Tobin	B-02.9	Fermé	Bas-Saint-Laurent	Batture de Tobin
Île aux Basques	B-02.10	Fermé	Bas-Saint-Laurent	
Îlets D'Amours	B-03.1	Fermé	Bas-Saint-Laurent	Îlets D'Amours
Pointe des Riou	B-03.2	Fermé	Bas-Saint-Laurent	Pointe des Riou
Cap à l'Aigle	B-03.3	Fermé	Bas-Saint-Laurent	
Île du Bic	B-03.4	Fermé	Bas-Saint-Laurent	
Baie du Ha! Ha!	B-03.5	Approuvé	Bas-Saint-Laurent	Baie du Ha! Ha!
Anse à l'Orignal	B-03.6	Fermé	Bas-Saint-Laurent	
Havre du Bic	B-03.7	Fermé	Bas-Saint-Laurent	
Cap du Corbeau	B-03.8	Fermé	Bas-Saint-Laurent	
L'Anse-au-Sable / Île Saint-Barnabé	B-04.1	Fermé	Bas-Saint-Laurent	Baie Hâtée et Rimouski
Rimouski-Est	B-04.2	Fermé	Bas-Saint-Laurent	
Sainte-Anne-de-la-Pointe-au-Père	B-05.1	Fermé	Bas-Saint-Laurent	
Anse au Lard / Sainte-Luce	B-05.2	Fermé	Bas-Saint-Laurent	
Anse aux Coques	B-05.3	Fermé	Bas-Saint-Laurent	Anse aux Coques
Ruisseau Lechasseur-Vaillancourt	B-05.4	Fermé	Bas-Saint-Laurent	
Sainte-Flavie, ouest	B-05.5	Fermé	Bas-Saint-Laurent	
Sainte-Flavie, est	B-06.1	Fermé	Bas-Saint-Laurent	
Baie Mitis	B-06.2	Fermé	Bas-Saint-Laurent	Baie Mitis
Anse du Petit Mitis	B-06.3	Fermé	Bas-Saint-Laurent	Anse du Petit Métis
Saint-Ulric / La Grande Anse	B-07	Fermé	Bas-Saint-Laurent	
Matane / Petit-Matane	B-08.1	Fermé	Bas-Saint-Laurent	

Annexe 1. (suite).

Nom	Numéro	Classification	Région	Site inventorié
Cap à la Baleine	B-08.2	Fermé	Bas-Saint-Laurent	
Anse du Crapaud	B-09.1	Fermé	Bas-Saint-Laurent	
Petits-Méchins	B-09.2	Fermé	Bas-Saint-Laurent	Petits-Méchins
Capucins	B-10.1	Fermé	Gaspésie	Capucins
Parc aquicole (pas classifié par PCCSM)				
B-ours-01	inclus dans B-02.9 et B-02.10		Bas-Saint-Laurent	
B-ours-02	inclus dans B-03.5		Bas-Saint-Laurent	
B-ours-03	près de B-03.4		Bas-Saint-Laurent	
B-ours-04	près de B-03.4		Bas-Saint-Laurent	
B-ours-05	inclus dans B-04.1		Bas-Saint-Laurent	

Annexe 2. Résultats détaillés des relevés 2005 sur la rive sud de l'estuaire du Saint-Laurent.

Site	Station[1]	Date	Latitude	Longitude	Séd[2]	Mye[3]		Macrobenthos[4]					
			(N)	(W)		11p	juv	Ma	Me	My	Po	Zo	Al
Kamouraska	1	16-09-2005	47°33,883'	69°53,578'	M	0	0	0	0	0	0	0	+
Kamouraska	2	16-09-2005	47°33,940'	69°53,513'	M	0	0	0	0	0	0	0	+
Kamouraska	3	16-09-2005	47°34,272'	69°53,238'	R	0	0	0	0	0	0	0	+
Kamouraska	4	16-09-2005	47°34,372'	69°53,170'	Sg	0	0	0	0	0	0	0	0
Kamouraska	5	16-09-2005	47°34,463'	69°53,080'	V	0	0	0	0	0	0	0	0
Kamouraska	6	16-09-2005	47°34,558'	69°53,004'	Sv	0	0	0	0	0	0	0	0
Kamouraska	7	16-09-2005	47°33,843'	69°53,480'	Sg	0	0	0	0	0	0	0	+
Kamouraska	8	16-09-2005	47°33,941'	69°53,379'	M	0	0	0	0	0	0	0	0
Kamouraska	9 G	16-09-2005	47°34,327'	69°53,043'	M	25	0	0	0	0	0	0	0
Kamouraska	10 G	16-09-2005	47°34,450'	69°52,971'	S	25	0	+	0	0	+	0	+
Kamouraska	11	16-09-2005	47°33,916'	69°53,288'	M	0	0	0	0	0	0	0	+
Kamouraska	12 G	16-09-2005	47°34,417'	69°52,914'	Vs	25	0	+	0	0	0	0	0
Kamouraska	13 G	16-09-2005	47°34,509'	69°52,804'	Vs	75	0	0	0	0	0	0	0
Kamouraska	14 G	16-09-2005	47°33,891'	69°53,170'	M	75	0	0	0	0	0	0	+
Kamouraska	15	16-09-2005	47°34,010'	69°53,090'	M	0	0	+	0	0	0	0	+
Kamouraska	16	16-09-2005	47°34,104'	69°53,012'	M	0	0	0	0	0	0	0	+
Kamouraska	17	16-09-2005	47°34,204'	69°52,944'	V	0	0	0	0	0	0	0	+
Kamouraska	18	16-09-2005	47°34,299'	69°52,864'	V	0	0	0	0	0	+	0	+
Kamouraska	19 G	16-09-2005	47°34,402'	69°52,782'	Sg	125	0	+	0	0	0	0	+
Kamouraska	20 G	16-09-2005	47°34,492'	69°52,691'	Sv	175	0	0	0	0	0	0	0
Kamouraska	21 G	16-09-2005	47°33,115'	69°53,708'	Sv	25	0	0	0	0	0	0	0
Kamouraska	22	16-09-2005	47°33,701'	69°53,223'	Sg	0	0	0	0	0	0	0	+
Kamouraska	23	16-09-2005	47°33,796'	69°53,144'	Sg	0	0	0	0	0	0	0	+
Kamouraska	24 G	16-09-2005	47°33,888'	69°53,054'	M	25	0	+	0	0	0	0	+
Kamouraska	25 G	16-09-2005	47°34,007'	69°52,960'	M	25	0	+	0	0	0	0	+
Kamouraska	26 G	16-09-2005	47°34,081'	69°52,903'	Sg	50	25	0	0	0	0	0	+
Kamouraska	27 G	16-09-2005	47°34,179'	69°52,828'	M	50	25	0	0	0	0	0	0
Kamouraska	28 G	16-09-2005	47°34,278'	69°52,751'	Sg	25	75	0	0	0	0	0	0
Kamouraska	29 G	16-09-2005	47°34,370'	69°52,668'	Sg	150	0	+	0	0	0	0	0
Kamouraska	30 G	16-09-2005	47°34,467'	69°52,593'	Sg	25	0	+	0	0	0	0	0
Kamouraska	31 G	16-09-2005	47°33,063'	69°53,619'	Sg	25	0	0	0	0	0	0	+
Kamouraska	32	16-09-2005	47°33,146'	69°53,568'	Sv	0	0	0	0	0	0	0	0
Kamouraska	33 G	16-09-2005	47°33,240'	69°53,490'	M	50	0	0	0	0	0	0	+
Kamouraska	34	16-09-2005	47°33,340'	69°53,421'	M	0	0	0	0	0	0	0	+
Kamouraska	35	16-09-2005	47°33,435'	69°53,327'	M	0	0	0	0	0	0	0	+
Kamouraska	36	16-09-2005	47°33,535'	69°53,250'	M	0	0	0	0	0	0	0	+
Kamouraska	37 G	16-09-2005	47°33,634'	69°53,178'	M	75	0	0	0	0	0	0	+
Kamouraska	38	16-09-2005	47°33,729'	69°53,096'	M	0	0	0	0	0	0	0	+
Kamouraska	39	16-09-2005	47°33,827'	69°53,015'	M	0	0	0	0	0	0	0	+
Kamouraska	40	16-09-2005	47°33,922'	69°52,924'	M	0	0	0	0	0	0	0	+
Kamouraska	41 G	16-09-2005	47°34,035'	69°52,833'	Vs	50	0	+	0	0	0	0	+
Kamouraska	42 G	16-09-2005	47°34,129'	69°52,746'	Vs	25	0	0	0	0	0	0	+
Kamouraska	43 G	16-09-2005	47°34,228'	69°52,680'	Sg	50	0	0	0	0	+	0	0
Kamouraska	44 G	16-09-2005	47°34,324'	69°52,596'	Sv	50	0	0	0	0	0	0	0
Kamouraska	45 G	16-09-2005	47°34,422'	69°52,516'	Vs	50	0	0	0	0	0	0	0
Kamouraska	46 G	16-09-2005	47°33,122'	69°53,518'	S	25	0	0	0	0	0	0	0
Kamouraska	47 G	16-09-2005	47°33,206'	69°53,399'	M	50	0	+	0	0	0	0	+
Kamouraska	48 G	16-09-2005	47°33,310'	69°53,310'	M	25	0	0	0	0	0	0	+
Kamouraska	49 G	16-09-2005	47°33,402'	69°53,218'	M	100	0	0	0	0	0	0	+
Kamouraska	50 G	16-09-2005	47°33,506'	69°53,133'	M	25	0	0	0	0	0	0	+
Kamouraska	51 G	16-09-2005	47°33,614'	69°53,050'	Vs	75	0	+	0	0	0	0	+

Annexe 2. (suite)

Site	Station[1]	Date	Latitude (N)	Longitude (W)	Séd[2]	Mye[3]		Macrobenthos[4]					
						11p	juv	Ma	Me	My	Po	Zo	Al
Kamouraska	52 G	16-09-2005	47°33,717'	69°52,963'	S	125	0	0	0	0	0	0	+
Kamouraska	53 G	16-09-2005	47°33,812'	69°52,892'	Sg	50	0	0	0	0	0	0	+
Kamouraska	54 G	16-09-2005	47°33,903'	69°52,805'	Sg	25	0	0	0	0	0	0	0
Kamouraska	55 G	16-09-2005	47°34,001'	69°52,731'	Vs	50	0	0	0	0	0	0	0
Kamouraska	56 G	16-09-2005	47°34,099'	69°52,656'	Sg	125	0	0	0	0	0	0	0
Kamouraska	57 G	16-09-2005	47°34,195'	69°52,578'	V	25	0	0	0	0	0	0	0
Kamouraska	58 G	16-09-2005	47°34,287'	69°52,483'	Vs	0	0	0	0	0	0	0	0
Kamouraska	59 G	16-09-2005	47°34,386'	69°52,408'	V	25	0	+	0	0	+	0	0
Kamouraska	60 G	16-09-2005	47°33,110'	69°53,358'	Sg	75	0	0	0	0	+	0	0
Kamouraska	61 G	16-09-2005	47°33,205'	69°53,267'	Sg	25	0	0	0	0	0	0	0
Kamouraska	62 G	16-09-2005	47°33,302'	69°53,185'	Sg	450	0	+	0	0	0	0	0
Kamouraska	63 G	16-09-2005	47°33,401'	69°53,108'	M	25	0	0	0	0	0	0	+
Kamouraska	64 G	16-09-2005	47°33,499'	69°53,038'	M	50	0	0	0	0	0	0	0
Kamouraska	65 G	16-09-2005	47°33,583'	69°52,948'	Sg	50	0	0	0	0	0	0	0
Kamouraska	66 G	16-09-2005	47°33,683'	69°52,885'	Sg	50	0	+	0	0	0	0	0
Kamouraska	67 G	16-09-2005	47°33,780'	69°52,784'	Sg	175	0	0	0	0	0	0	0
Kamouraska	68 G	16-09-2005	47°33,868'	69°52,711'	Sv	75	25	0	0	0	0	0	0
Kamouraska	69 G	16-09-2005	47°33,966'	69°52,643'	Sg	50	0	0	0	0	0	0	0
Kamouraska	70 G	16-09-2005	47°34,062'	69°52,562'	Sv	25	50	0	0	0	0	0	0
Kamouraska	71 G	16-09-2005	47°34,154'	69°52,476'	Sg	75	0	0	0	0	0	0	0
Kamouraska	72 G	16-09-2005	47°34,254'	69°52,401'	Sv	75	25	+	0	0	+	0	+
Kamouraska	73 G	16-09-2005	47°34,348'	69°52,321'	Sg	25	0	0	+	0	+	0	0
Kamouraska	74 G	16-09-2005	47°33,064'	69°53,248'	Sg	25	0	0	0	0	+	0	+
Kamouraska	75 G	16-09-2005	47°33,141'	69°53,181'	Sv	50	0	0	0	0	0	0	0
Kamouraska	76	16-09-2005	47°33,240'	69°53,101'	M	0	0	0	0	0	0	0	0
Kamouraska	77	16-09-2005	47°33,339'	69°53,036'	M	0	0	0	0	0	0	0	0
Kamouraska	78 G	16-09-2005	47°33,438'	69°52,952'	M	100	0	0	0	0	0	0	0
Kamouraska	79 G	16-09-2005	47°33,531'	69°52,873'	Sg	50	0	+	0	0	+	0	0
Kamouraska	80 G	16-09-2005	47°33,628'	69°52,794'	Sv	150	0	0	+	0	0	0	+
Kamouraska	81	16-09-2005	47°33,720'	69°52,708'	M	0	0	+	0	0	0	0	0
Kamouraska	82 G	16-09-2005	47°33,816'	69°52,633'	Sg	75	0	+	+	0	0	0	+
Kamouraska	83 G	16-09-2005	47°33,911'	69°52,561'	V	25	25	+	0	0	0	0	+
Kamouraska	84	16-09-2005	47°34,007'	69°52,486'	Vs	0	0	+	+	0	0	0	0
Kamouraska	85	16-09-2005	47°34,106'	69°52,405'	Vs	0	0	0	0	0	0	0	0
Kamouraska	86 G	16-09-2005	47°34,202'	69°52,326'	Vs	25	0	+	+	0	0	0	0
Kamouraska	87 G	16-09-2005	47°34,300'	69°52,245'	Vs	25	0	0	0	0	0	0	0
Kamouraska	88	16-09-2005	47°33,037'	69°53,164'	Vs	0	0	0	0	0	0	0	+
Kamouraska	89	16-09-2005	47°33,130'	69°53,077'	Vs	0	0	+	0	0	0	0	0
Kamouraska	90	16-09-2005	47°33,225'	69°52,988'	Vs	0	0	0	0	0	0	0	+
Kamouraska	91 G	16-09-2005	47°33,327'	69°52,910'	Vs	100	0	+	0	0	0	0	+
Kamouraska	92 G	16-09-2005	47°33,424'	69°52,825'	V	25	0	+	0	0	0	0	+
Kamouraska	93 G	16-09-2005	47°33,520'	69°52,746'	Vs	25	0	0	0	0	0	0	+
Kamouraska	94 G	16-09-2005	47°33,619'	69°52,675'	V	50	0	0	0	0	0	0	+
Kamouraska	95	16-09-2005	47°33,717'	69°52,607'	V	0	0	+	0	0	+	0	0
Kamouraska	96	16-09-2005	47°33,821'	69°52,520'	V	0	0	0	0	0	+	0	+
Kamouraska	97 G	16-09-2005	47°33,914'	69°52,423'	V	25	0	+	0	0	+	0	+
Kamouraska	98	16-09-2005	47°34,009'	69°52,340'	V	0	0	0	0	0	+	0	+
Kamouraska	99	16-09-2005	47°34,103'	69°52,261'	V	0	0	+	0	0	+	0	0
Kamouraska	100	16-09-2005	47°34,204'	69°52,190'	V	0	0	0	0	0	+	0	0
Kamouraska	101 G	16-09-2005	47°33,010'	69°53,075'	V	25	0	0	+	0	+	0	+
Kamouraska	102	16-09-2005	47°33,110'	69°53,017'	V	0	0	0	+	0	0	0	0

Annexe 2. (suite)

Site	Station[1]	Date	Latitude (N)	Longitude (W)	Séd[2]	Mye[3]		Macrobenthos[4]					
						11p	juv	Ma	Me	My	Po	Zo	Al
Kamouraska	103 G	16-09-2005	47°33,195'	69°52,925'	V	25	0	0	0	0	0	0	0
Kamouraska	104	16-09-2005	47°33,292'	69°52,855'	V	0	0	0	0	0	0	0	+
Kamouraska	105	16-09-2005	47°33,393'	69°52,785'	V	0	0	0	0	0	0	0	+
Kamouraska	106	16-09-2005	47°33,489'	69°52,694'	S	0	0	0	0	0	0	0	+
Kamouraska	107	16-09-2005	47°33,857'	69°52,374'	Sv	0	0	0	+	0	0	0	0
Kamouraska	108	16-09-2005	47°33,945'	69°52,281'	Sv	0	0	0	0	0	0	0	0
Kamouraska	109	16-09-2005	47°34,038'	69°52,191'	Sv	0	0	0	+	0	0	0	0
Kamouraska	110	16-09-2005	47°34,136'	69°52,115'	Sv	0	0	0	0	0	+	0	0
Kamouraska	111	16-09-2005	47°34,233'	69°52,045'	Sv	0	0	0	0	0	0	0	0
Anse au Persil	1	17-10-2005	47°52,424'	69°33,149'	M	0	0	0	0	0	0	0	80
Anse au Persil	2	17-10-2005	47°52,366'	69°33,065'	Sv	0	0	0	0	0	0	0	80
Anse au Persil	3 G	17-10-2005	47°52,459'	69°32,982'	Sv	125	0	+	0	0	+	0	15
Anse au Persil	4	17-10-2005	47°52,550'	69°32,896'	V	0	0	0	0	0	+	0	50
Anse au Persil	5	17-10-2005	47°52,136'	69°33,102'	R	0	0	0	0	0	0	0	100
Anse au Persil	6	17-10-2005	47°52,233'	69°33,072'	R	0	0	0	0	0	0	0	90
Anse au Persil	7 G	17-10-2005	47°52,321'	69°32,991'	Sg	100	0	+	0	0	0	0	50
Anse au Persil	8 G	17-10-2005	47°52,413'	69°32,907'	Sv	50	0	+	0	0	+	0	40
Anse au Persil	9	17-10-2005	47°52,505'	69°32,822'	M	0	0	0	0	0	0	0	0
Anse au Persil	10 G	17-10-2005	47°52,073'	69°33,090'	Sg	50	0	+	0	0	0	0	60
Anse au Persil	11 G	17-10-2005	47°52,167'	69°33,011'	Sv	100	0	+	0	0	+	0	45
Anse au Persil	12 G	17-10-2005	47°52,258'	69°32,925'	Sv	250	0	+	0	0	0	0	50
Anse au Persil	13	17-10-2005	47°52,350'	69°32,841'	S	0	0	+	0	0	+	0	20
Anse au Persil	14	17-10-2005	47°52,442'	69°32,755'	V	0	0	0	0	0	+	0	10
Anse au Persil	15	17-10-2005	47°52,531'	69°32,667'	V	25	0	0	0	0	0	0	100
Anse au Persil	16	17-10-2005	47°52,582'	69°32,615'	V	0	0	0	0	0	0	0	100
Anse au Persil	17 G	17-10-2005	47°51,955'	69°33,085'	Sv	25	0	+	0	0	+	0	40
Anse au Persil	18 G	17-10-2005	47°52,046'	69°33,000'	Sv	75	0	+	0	0	+	0	50
Anse au Persil	19	17-10-2005	47°52,138'	69°32,915'	V	0	0	+	0	0	0	0	0
Anse au Persil	20 G	17-10-2005	47°52,228'	69°32,827'	V	100	0	+	0	0	0	0	50
Anse au Persil	21	17-10-2005	47°52,321'	69°32,745'	V	0	0	0	0	0	0	0	90
Anse au Persil	22	17-10-2005	47°52,437'	69°32,634'	V	0	0	0	0	0	+	0	90
Anse au Persil	23	17-10-2005	47°52,528'	69°32,547'	V	0	0	0	0	0	0	0	100
Anse au Persil	24	17-10-2005	47°51,823'	69°33,077'	Sg	0	0	+	0	0	0	0	40
Anse au Persil	25 G	17-10-2005	47°51,917'	69°32,999'	Vs	75	0	+	0	0	0	0	50
Anse au Persil	26	17-10-2005	47°52,007'	69°32,909'	R	0	0	0	0	0	0	0	100
Anse au Persil	27	17-10-2005	47°52,097'	69°32,822'	V	0	0	+	0	0	+	0	0
Anse au Persil	28 G	17-10-2005	47°52,189'	69°32,738'	V	50	0	0	0	0	0	0	90
Anse au Persil	29	17-10-2005	47°52,279'	69°32,649'	V	0	0	+	0	0	+	0	90
Anse au Persil	30	17-10-2005	47°52,323'	69°32,561'	S	0	0	0	0	0	0	0	0
Anse au Persil	31	17-10-2005	47°52,422'	69°32,519'	V	0	0	0	0	0	0	0	100
Anse au Persil	32	17-10-2005	47°51,773'	69°33,070'	Sg	0	0	0	0	0	0	0	0
Anse au Persil	33	17-10-2005	47°51,903'	69°32,955'	Sg	0	0	0	0	0	0	0	0
Anse au Persil	34	17-10-2005	47°51,987'	69°32,853'	Sg	0	0	0	0	0	0	0	0
Île Verte	1 G	21-09-2005	47°59,933'	69°27,789'	Vs	50	0	+	0	0	0	0	0
Île Verte	2 G	21-09-2005	48°0,007'	69°27,671'	Sv	100	0	+	0	0	+	0	5
Île Verte	3 G	21-09-2005	47°59,967'	69°27,586'	Sv	25	0	+	0	0	+	5	5
Île Verte	4 G	21-09-2005	47°59,929'	69°27,505'	Sv	25	0	+	0	0	+	50	0
Île Verte	5 G	21-09-2005	48°0,005'	69°27,389'	Sv	0	0	+	0	0	0	5	0
Île Verte	6 G	21-09-2005	48°0,003'	69°27,249'	Sv	25	0	+	0	0	+	15	15
Île Verte	7 G	21-09-2005	48°0,662'	69°26,331'	Sv	225	0	+	0	0	+	0	1
Île Verte	8 G	21-09-2005	48°0,735'	69°26,211'	Sv	75	0	+	0	0	+	0	1

Annexe 2. (suite)

Site	Station[1]	Date	Latitude	Longitude	Séd[2]	Mye[3]		Macrobenthos[4]					
			(N)	(W)		11p	juv	Ma	Me	My	Po	Zo	Al
Île Verte	9	21-09-2005	48°0,813'	69°26,099'	Sv	0	0	+	0	0	+	0	5
Île Verte	10 G	21-09-2005	47°59,985'	69°27,109'	Sv	0	0	+	0	0	0	10	0
Île Verte	11 G	21-09-2005	48°0,056'	69°26,989'	Sv	25	0	+	0	0	0	1	0
Île Verte	12 G	21-09-2005	48°0,120'	69°26,921'	Sv	75	0	+	0	0	0	0	0
Île Verte	13 G	21-09-2005	48°0,206'	69°26,799'	Sv	75	0	+	0	0	0	5	0
Île Verte	14 G	21-09-2005	48°0,280'	69°26,681'	Sv	75	0	+	0	0	0	5	0
Île Verte	15 G	21-09-2005	48°0,360'	69°26,568'	Sv	50	0	+	0	0	0	0	0
Île Verte	16 G	21-09-2005	48°0,437'	69°26,454'	Sv	250	0	+	0	0	0	0	0
Île Verte	17 G	21-09-2005	48°0,519'	69°26,348'	Sv	50	0	+	0	0	+	0	0
Île Verte	18 G	21-09-2005	48°0,598'	69°26,236'	Sv	25	0	+	0	0	+	0	0
Île Verte	19 G	21-09-2005	48°0,681'	69°26,125'	Sv	25	0	+	0	0	+	1	1
Île Verte	20 G	21-09-2005	48°0,761'	69°26,014'	Sv	50	0	+	0	0	+	0	1
Île Verte	21	21-09-2005	48°0,092'	69°26,873'	Sv	0	0	+	0	0	0	0	0
Île Verte	22 G	21-09-2005	48°0,159'	69°26,750'	Sv	25	0	+	0	0	0	0	0
Île Verte	23 G	21-09-2005	48°0,243'	69°26,646'	Sv	50	0	+	0	0	0	0	0
Île Verte	24 G	21-09-2005	48°0,326'	69°26,530'	Sv	50	0	+	0	0	+	0	0
Île Verte	25 G	21-09-2005	48°0,391'	69°26,398'	S	50	0	+	0	0	0	0	0
Île Verte	26 G	21-09-2005	48°0,472'	69°26,290'	S	50	0	+	0	0	0	0	+
Île Verte	27	21-09-2005	48°0,186'	69°26,581'	Sv	0	0	+	0	0	0	0	0
Île Verte	28 G	21-09-2005	48°0,256'	69°26,453'	Sv	75	0	+	0	0	0	0	0
Île Verte	29 G	21-09-2005	48°0,327'	69°26,338'	Sv	25	0	+	0	0	0	0	0
Île Verte	30 G	21-09-2005	48°0,394'	69°26,238'	Sv	75	0	0	0	0	0	0	0
Île Verte	31 G	21-09-2005	48°0,476'	69°26,127'	Sv	50	0	+	0	0	0	0	0
Île Verte	32 G	21-09-2005	48°0,558'	69°26,025'	Sv	25	0	+	0	0	0	0	0
Île Verte	33 G	21-09-2005	48°0,643'	69°25,920'	Sv	25	0	+	0	0	0	+	0
Île Verte	34	21-09-2005	48°0,335'	69°26,214'	Sv	0	0	0	0	0	0	0	0
Île Verte	35 G	21-09-2005	48°0,415'	69°26,098'	Sv	25	0	+	0	0	0	0	0
Île Verte	36 G	21-09-2005	48°0,490'	69°25,983'	Sv	75	0	+	0	0	0	0	0
Île Verte	37 G	21-09-2005	48°0,564'	69°25,858'	Sv	25	0	+	0	0	0	0	0
Île Verte	38 G	21-09-2005	48°0,649'	69°25,753'	Sv	50	0	+	0	0	0	0	0
Batture de Tobin	1	20-09-2005	48°6,986'	69°13,417'	Sv	0	0	0	0	0	0	100	0
Batture de Tobin	2 G	20-09-2005	48°6,811'	69°13,375'	Vs	25	0	0	0	0	0	0	0
Batture de Tobin	3	18-10-2005	48°6,508'	69°13,471'	Sg	0	0	+	0	0	0		
Batture de Tobin	4	20-09-2005	48°6,826'	69°13,206'	Sv	0	0	0	0	0	0	100	0
Batture de Tobin	5	18-10-2005	48°6,347'	69°13,483'	Sg	0	0	0	0	0	0	0	15
Batture de Tobin	6 G	18-10-2005	48°6,510'	69°13,341'	S	25	0	+	0	0	+	20	20
Batture de Tobin	7 G	18-10-2005	48°6,604'	69°13,260'	Sv	25	0	+	0	0	0	85	85
Batture de Tobin	8	18-10-2005	48°6,698'	69°13,181'	Sv	0	0	0	0	0	0	100	0
Batture de Tobin	9	20-09-2005	48°6,762'	69°13,130'	Sv	0	0	0	0	0	0	100	0
Batture de Tobin	10	18-10-2005	48°6,226'	69°13,455'	Sg	0	0	0	0	0	0	0	0
Batture de Tobin	11	18-10-2005	48°6,257'	69°13,405'	R	0	0	0	0	0	0	0	0
Batture de Tobin	12	18-10-2005	48°6,293'	69°13,443'	M	0	0	0	0	0	0	15	15
Batture de Tobin	13	18-10-2005	48°6,292'	69°13,392'	Sg	0	0	+	0	0	+	0	0
Batture de Tobin	14 G	18-10-2005	48°6,331'	69°13,361'	Sv	50	0	0	0	0	+	0	5
Batture de Tobin	15	18-10-2005	48°6,367'	69°13,338'	Sg	0	0	0	0	0	+	0	40
Batture de Tobin	16	18-10-2005	48°6,460'	69°13,253'	Sv	0	0	0	0	0	0	100	0
Batture de Tobin	17 G	18-10-2005	48°6,553'	69°13,170'	Sv	25	0	0	0	0	0	45	45
Batture de Tobin	18	18-10-2005	48°6,650'	69°13,093'	Sv	0	0	0	0	0	0	90	0
Batture de Tobin	19	20-09-2005	48°6,699'	69°13,051'	Sv	0	0	0	0	0	0	100	0
Batture de Tobin	20 G	18-10-2005	48°6,216'	69°13,392'	Sv	25	0	+	0	0	+	0	0
Batture de Tobin	21	18-10-2005	48°6,259'	69°13,363'	Sv	0	0	0	0	0	+	0	0

Annexe 2. (suite)

Site	Station[1]	Date	Latitude (N)	Longitude (W)	Séd[2]	Mye[3]		Macrobenthos[4]					
						11p	juv	Ma	Me	My	Po	Zo	Al
Batture de Tobin	22 G	18-10-2005	48°6,138'	69°13,387'	Sv	25	0	+	0	0	+	0	60
Batture de Tobin	23	18-10-2005	48°6,233'	69°13,310'	Sv	0	0	+	0	0	+	0	0
Batture de Tobin	24	18-10-2005	48°6,276'	69°13,274'	Sg	0	0	0	0	0	0	0	10
Batture de Tobin	25	18-10-2005	48°6,370'	69°13,192'	Sg	0	0	0	0	0	0	0	0
Batture de Tobin	26 G	18-10-2005	48°6,463'	69°13,112'	Sv	75	0	+	0	0	+	0	70
Batture de Tobin	27	18-10-2005	48°6,556'	69°13,035'	R	0	0	0	0	0	0	0	80
Batture de Tobin	28	18-10-2005	48°6,614'	69°12,995'	S	0	0	0	0	0	0	30	30
Batture de Tobin	29 G	20-09-2005	48°6,651'	69°12,953'	Sv	75	0	0	0	0	0	0	0
Batture de Tobin	30 G	18-10-2005	48°6,705'	69°12,907'	Sv	75	0	+	0	0	0	5	0
Batture de Tobin	31 G	18-10-2005	48°6,801'	69°12,835'	Sv	100	0	0	0	0	0	10	0
Batture de Tobin	32 G	18-10-2005	48°6,895'	69°12,750'	Sv	25	0	+	0	0	0	25	25
Batture de Tobin	33 G	18-10-2005	48°6,994'	69°12,684'	Sv	25	0	0	0	0	0	0	5
Batture de Tobin	34	18-10-2005	48°6,057'	69°13,347'	M	0	0	0	0	0	0	0	50
Batture de Tobin	35	18-10-2005	48°6,150'	69°13,269'	V	0	0	+	0	0	+	0	0
Batture de Tobin	36	18-10-2005	48°6,181'	69°13,242'	Sg	0	0	0	0	0	0	0	0
Batture de Tobin	37	18-10-2005	48°6,458'	69°13,047'	M	0	0	0	0	0	0	0	0
Batture de Tobin	38	18-10-2005	48°6,537'	69°12,936'	R	0	0	0	0	0	0	0	80
Batture de Tobin	39	18-10-2005	48°6,631'	69°12,857'	M	0	0	0	0	0	0	0	40
Batture de Tobin	40 G	18-10-2005	48°6,724'	69°12,776'	Sv	25	0	+	0	0	+	0	40
Batture de Tobin	41 G	18-10-2005	48°6,819'	69°12,696'	Sv	25	0	+	0	0	+	15	15
Batture de Tobin	42 G	20-09-2005	48°6,908'	69°12,629'	Sv	50	0	0	0	0	0	0	+
Batture de Tobin	43 G	18-10-2005	48°6,977'	69°12,562'	S	25	0	+	0	0	+	0	5
Batture de Tobin	44 G	18-10-2005	48°7,008'	69°12,540'	S	0	0	0	0	+	0	0	80
Batture de Tobin	45 G	18-10-2005	48°7,100'	69°12,457'	S	0	0	0	0	0	0	0	75
Batture de Tobin	46 G	20-09-2005	48°7,187'	69°12,378'	Sv	25	0	0	0	0	0	0	0
Batture de Tobin	47 G	18-10-2005	48°7,286'	69°12,298'	Sv	25	0	+	0	0	0	0	5
Batture de Tobin	48	18-10-2005	48°7,381'	69°12,221'	R	0	0	0	0	0	0	0	5
Batture de Tobin	49 G	18-10-2005	48°6,926'	69°12,486'	Sg	25	0	0	0	0	0	0	20
Batture de Tobin	50	18-10-2005	48°7,019'	69°12,404'	R	0	0	0	0	0	0	0	0
Batture de Tobin	51	18-10-2005	48°7,113'	69°12,324'	R	0	0	+	0	0	0	0	70
Batture de Tobin	52	18-10-2005	48°7,207'	69°12,242'	R	0	0	0	0	0	0	0	100
Batture de Tobin	53	18-10-2005	48°7,303'	69°12,159'	Sg	0	0	0	0	0	0	0	0
Îlets D'Amours	1	20-09-2005	48°8,019'	69°10,993'	S	0	0	+	0	0	0	0	0
Îlets D'Amours	2	20-09-2005	48°8,073'	69°11,072'	S	0	0	+	0	0	+	0	0
Îlets D'Amours	3	20-09-2005	48°8,121'	69°10,929'	S	0	0	+	0	0	+	0	0
Îlets D'Amours	4	20-09-2005	48°8,189'	69°10,822'	Sg	0	0	+	0	+	+	0	+
Îlets D'Amours	5	20-09-2005	48°8,267'	69°10,698'	Sg	75	0	+	0	+	+	0	10
Îlets D'Amours	6	20-09-2005	48°8,349'	69°10,580'	M	0	0	0	0	0	0	0	80
Îlets D'Amours	7	20-09-2005	48°8,420'	69°10,459'	V	0	0	+	0	0	0	0	5
Îlets D'Amours	8 G	20-09-2005	48°8,437'	69°10,329'	Vs	100	0	+	0	0	0	0	0
Îlets D'Amours	9 G	20-09-2005	48°8,512'	69°10,108'	Vs	200	0	+	0	0	0	0	+
Îlets D'Amours	10 G	20-09-2005	48°8,595'	69°10,001'	Vs	25	0	+	0	0	+	0	0
Pointe des Riou	1	20-09-2005	48°9,388'	69°9,310'	S	0	0	+	0	0	+	0	0
Pointe des Riou	2 G	20-09-2005	48°9,523'	69°9,121'	Sg	25	0	0	0	0	0	0	0
Pointe des Riou	3 G	20-09-2005	48°9,567'	69°8,961'	S	25	0	0	0	0	+	0	0
Pointe des Riou	4	20-09-2005	48°9,643'	69°8,836'	Sg	0	0	+	0	0	+	0	0
Pointe des Riou	5	20-09-2005	48°9,716'	69°8,702'	S	0	0	+	0	0	+	0	0
Pointe des Riou	6	20-09-2005	48°9,289'	69°9,344'	Sg	0	0	0	0	+	+	0	0
Pointe des Riou	7	20-09-2005	48°9,351'	69°9,196'	V	0	0	+	0	0	0	0	0
Pointe des Riou	8	20-09-2005	48°9,430'	69°9,080'	S	0	0	0	0	0	+	0	0
Pointe des Riou	9	20-09-2005	48°9,513'	69°8,959'	Sg	0	0	+	0	0	+	0	0

Annexe 2. (suite)

Site	Station[1]	Date	Latitude (N)	Longitude (W)	Séd[2]	Mye[3]		Macrobenthos[4]					
						11p	juv	Ma	Me	My	Po	Zo	Al
Pointe des Riou	10 G	20-09-2005	48°9,581'	69°8,827'	S	25	0	+	0	+	+	0	0
Pointe des Riou	11	20-09-2005	48°9,643'	69°8,688'	Sg	0	0	+	0	0	0	0	0
Pointe des Riou	12	20-09-2005	48°9,132'	69°9,396'	M	0	0	0	0	0	0	0	0
Pointe des Riou	13	20-09-2005	48°9,204'	69°9,275'	Sv	0	0	+	0	0	+	0	0
Pointe des Riou	14	20-09-2005	48°9,386'	69°8,984'	M	0	0	+	0	+	+	0	0
Pointe des Riou	15	20-09-2005	48°9,448'	69°8,851'	M	0	0	+	0	+	0	5	0
Pointe des Riou	16 G	20-09-2005	48°9,515'	69°8,721'	S	25	0	+	0	0	+	0	0
Pointe des Riou	17 G	20-09-2005	48°9,596'	69°8,610'	M	25	0	+	0	0	0	0	0
Pointe des Riou	18	20-09-2005	48°9,671'	69°8,486'	Sg	0	0	+	0	+	+	0	0
Pointe des Riou	19	20-09-2005	48°9,738'	69°8,356'	Sg	0	0	+	0	+	+	0	+
Pointe des Riou	20 G	20-09-2005	48°9,088'	69°9,343'	M	50	0	+	0	0	0	0	0
Pointe des Riou	21 G	20-09-2005	48°9,144'	69°9,200'	Sg	25	0	0	0	0	+	0	0
Pointe des Riou	22 G	20-09-2005	48°9,230'	69°9,076'	M	25	0	+	0	+	0	0	5
Pointe des Riou	23	20-09-2005	48°9,311'	69°8,960'	Vs	0	0	+	0	0	0	0	0
Pointe des Riou	24 G	20-09-2005	48°9,420'	69°8,764'	S	50	0	+	0	0	0	0	0
Pointe des Riou	25 G	20-09-2005	48°9,494'	69°8,640'	S	25	0	+	0	0	+	0	0
Pointe des Riou	26 G	20-09-2005	48°9,557'	69°8,510'	Sg	175	0	+	0	+	0	0	+
Pointe des Riou	27 G	20-09-2005	48°9,628'	69°8,386'	M	25	0	+	0	+	+	0	0
Pointe des Riou	28	20-09-2005	48°9,701'	69°8,267'	Sg	0	0	+	0	+	+	0	+
Pointe des Riou	29 G	20-09-2005	48°8,669'	69°9,885'	M	25	0	+	0	+	+	0	5
Pointe des Riou	30	20-09-2005	48°8,730'	69°9,736'	M	0	0	0	0	+	+	0	10
Pointe des Riou	31	20-09-2005	48°8,813'	69°9,566'	M	0	0	+	0	0	0	0	0
Pointe des Riou	32	20-09-2005	48°8,890'	69°9,394'	M	0	0	+	0	0	0	0	0
Pointe des Riou	33 G	20-09-2005	48°9,004'	69°9,329'	S	100	0	+	0	0	0	0	0
Pointe des Riou	34	20-09-2005	48°9,053'	69°9,178'	M	0	0	+	0	0	0	0	0
Pointe des Riou	35	20-09-2005	48°9,130'	69°9,053'	M	0	0	+	0	0	+	0	+
Pointe des Riou	36 G	20-09-2005	48°9,207'	69°8,918'	Sv	25	0	+	0	0	+	0	0
Pointe des Riou	37 G	20-09-2005	48°9,289'	69°8,804'	M	25	0	0	0	0	0	0	5
Pointe des Riou	38 G	20-09-2005	48°9,374'	69°8,684'	M	50	0	+	0	0	+	0	5
Pointe des Riou	39	20-09-2005	48°9,439'	69°8,549'	Sg	0	0	+	0	0	0	0	+
Pointe des Riou	40 G	20-09-2005	48°9,498'	69°8,399'	Sg	75	0	+	0	0	0	0	+
Pointe des Riou	41 G	20-09-2005	48°9,582'	69°8,285'	M	50	0	0	0	0	0	0	0
Pointe des Riou	42	20-09-2005	48°9,671'	69°8,171'	S	0	0	+	0	0	+	0	0
Baie du Ha! Ha!	1	19-10-2005	48°21,166'	68°49,040'	M	0	0	0	0	0	0	0	0
Baie du Ha! Ha!	2 G	19-10-2005	48°21,143'	68°49,027'	Sv	100	0	+	0	0	+	0	5
Baie du Ha! Ha!	3	19-10-2005	48°21,101'	68°49,008'	Sg	0	0	+	0	0	+	0	0
Baie du Ha! Ha!	4	19-10-2005	48°21,050'	68°48,982'	Sg	0	0	+	0	0	+	0	5
Baie du Ha! Ha!	5	19-10-2005	48°21,000'	68°48,950'	Vs	0	0	0	0	0	+	0	0
Baie du Ha! Ha!	6	19-10-2005	48°20,949'	68°48,925'	S	0	0	+	0	0	0	0	0
Baie du Ha! Ha!	7	19-10-2005	48°20,902'	68°48,883'	Sg	0	0	0	0	0	+	0	0
Baie du Ha! Ha!	8	19-10-2005	48°20,843'	68°48,874'	Vs	0	0	0	0	0	0	0	5
Baie du Ha! Ha!	9	19-10-2005	48°20,791'	68°48,851'		0	0	+	0	0	+	0	25
Baie du Ha! Ha!	10 G	19-10-2005	48°20,739'	68°48,828'	Sg	50	0	+	0	0	+	0	0
Baie du Ha! Ha!	11	19-10-2005	48°20,689'	68°48,799'	Sg	0	0	0	0	0	0	0	0
Baie du Ha! Ha!	12	19-10-2005	48°21,187'	68°48,936'	R	0	0	0	0	0	0	0	0
Baie du Ha! Ha!	13 G	19-10-2005	48°21,137'	68°48,905'	V	50	0	+	0	0	+	0	0
Baie du Ha! Ha!	14 G	19-10-2005	48°21,085'	68°48,887'	Sv	100	0	+	0	0	+	0	0
Baie du Ha! Ha!	15 G	19-10-2005	48°21,036'	68°48,854'	Sv	100	0	+	0	0	+	0	0
Baie du Ha! Ha!	16 G	19-10-2005	48°20,984'	68°48,831'	Sv	225	0	+	0	0	0	0	0
Baie du Ha! Ha!	17 G	19-10-2005	48°20,933'	68°48,805'	Sv	25	0	+	0	0	+	0	0
Baie du Ha! Ha!	18 G	19-10-2005	48°20,881'	68°48,780'	Sv	50	0	+	0	0	+	0	0

Annexe 2. (suite)

Site	Station[1]	Date	Latitude (N)	Longitude (W)	Séd[2]	Mye[3]		Macrobenthos[4]					
						11p	juv	Ma	Me	My	Po	Zo	Al
Baie du Ha! Ha!	19 G	19-10-2005	48°20,830'	68°48,755'	Sv	25	0	+	0	0	+	0	0
Baie du Ha! Ha!	20 G	19-10-2005	48°20,779'	68°48,728'	Sg	50	0	0	0	0	0	0	0
Baie du Ha! Ha!	21	19-10-2005	48°20,716'	68°48,696'	R	0	0	0	0	0	0	0	0
Baie du Ha! Ha!	22	16-10-2005	48°21,206'	68°48,834'	R	0	0	0	0	0	0	0	0
Baie du Ha! Ha!	23 G	19-10-2005	48°21,002'	68°48,729'	Sv	75	0	+	0	0	0	0	0
Baie du Ha! Ha!	24 G	19-10-2005	48°20,900'	68°48,678'	Sv	175	0	+	0	0	0	0	0
Baie du Ha! Ha!	25 G	19-10-2005	48°20,797'	68°48,627'	Sv	50	0	+	0	0	0	0	20
Baie du Ha! Ha!	26	19-10-2005	48°20,748'	68°48,597'	S	0	0	0	0	0	0	0	0
Baie du Ha! Ha!	27 G	16-10-2005	48°21,184'	68°48,714'	Sg	50	0	+	0	0	0	0	0
Baie du Ha! Ha!	28	16-10-2005	48°21,080'	68°48,662'	Sg	0	0	+	0	0	0	0	0
Baie du Ha! Ha!	29 G	16-10-2005	48°20,978'	68°48,609'	Sv	25	0	+	0	0	0	0	0
Baie du Ha! Ha!	30 G	16-10-2005	48°20,874'	68°48,559'	Sv	50	0	+	0	0	+	0	0
Baie du Ha! Ha!	31	16-10-2005	48°20,773'	68°48,499'	Sg	0	0	0	0	0	0	0	0
Baie du Ha! Ha!	32	16-10-2005	48°21,209'	68°48,610'	Sv	0	0	+	0	0	+	0	0
Baie du Ha! Ha!	33 G	16-10-2005	48°21,108'	68°48,552'	Sv	25	0	+	0	0	+	0	5
Baie du Ha! Ha!	34 G	16-10-2005	48°21,005'	68°48,501'	Sv	0	25	+	0	0	+	0	5
Baie du Ha! Ha!	35 G	16-10-2005	48°20,900'	68°48,457'	Sv	50	0	+	0	0	+	0	5
Baie du Ha! Ha!	36	15-10-2005	48°20,801'	68°48,405'	M	0	0	0	0	0	0	0	0
Baie du Ha! Ha!	37	15-10-2005	48°21,263'	68°48,527'	Sg	0	0	0	0	0	0	0	0
Baie du Ha! Ha!	38	16-10-2005	48°21,218'	68°48,508'	Sv	0	0	+	0	0	+	0	0
Baie du Ha! Ha!	39 G	16-10-2005	48°21,115'	68°48,456'	S	25	0	+	0	0	0	0	0
Baie du Ha! Ha!	40 G	16-10-2005	48°21,012'	68°48,401'	S	25	0	+	0	0	0	0	0
Baie du Ha! Ha!	41 G	15-10-2005	48°20,910'	68°48,346'	S	25	0	+	0	0	+	0	0
Baie du Ha! Ha!	42	15-10-2005	48°21,269'	68°48,466'	R	0	0	0	0	0	0	0	80
Baie du Ha! Ha!	43	15-10-2005	48°21,214'	68°48,464'	Sv	0	0	+	0	0	+	0	5
Baie du Ha! Ha!	44	15-10-2005	48°21,178'	68°48,419'	Sv	0	0	+	0	0	+	0	5
Baie du Ha! Ha!	45	15-10-2005	48°21,184'	68°48,379'	M	0	0	0	0	0	0	0	0
Baie du Ha! Ha!	46	15-10-2005	48°21,079'	68°48,319'	M	0	0	0	0	0	0	0	0
Baie du Ha! Ha!	47	15-10-2005	48°21,004'	68°48,292'	M	0	0	0	0	0	0	0	0
Baie Hâtée	1	20-10-2005	48°23,909'	68°40,175'	R	0	0	0	0	+	0	0	90
Baie Hâtée	2	20-10-2005	48°23,875'	68°40,292'	R	0	0	0	0	0	0	0	25
Baie Hâtée	3	20-10-2005	48°23,852'	68°40,218'	M	0	0	0	0	+	0	0	40
Baie Hâtée	4	20-10-2005	48°23,816'	68°40,153'	S	0	0	0	0	0	0	0	0
Baie Hâtée	5	20-10-2005	48°23,782'	68°40,093'	S	0	0	0	0	0	0	0	0
Baie Hâtée	6	20-10-2005	48°23,770'	68°40,013'	S	0	0	0	0	0	0	0	0
Baie Hâtée	7	15-10-2005	48°23,752'	68°39,955'	S	0	0	+	0	0	0	0	0
Baie Hâtée	8	15-10-2005	48°23,736'	68°39,921'	R	0	0	0	0	0	0	0	50
Baie Hâtée	9	15-10-2005	48°23,766'	68°40,152'	S	0	0	+	0	0	+	0	0
Baie Hâtée	10	15-10-2005	48°23,752'	68°40,075'	Sv	0	0	+	0	0	+	0	0
Baie Hâtée	11	20-10-2005	48°23,740'	68°40,038'	S	25	0	+	0	0	+	0	0
Baie Hâtée	12	15-10-2005	48°23,747'	68°40,012'	Sv	0	0	0	0	0	+	0	0
Baie Hâtée	13	20-10-2005	48°23,721'	68°39,993'	S	0	0	+	0	0	+	0	0
Baie Hâtée	14	15-10-2005	48°23,817'	68°40,366'	Sv	0	0	0	0	0	+	0	10
Baie Hâtée	15 G	20-10-2005	48°23,785'	68°40,299'	Sv	75	0	+	0	0	0	0	50
Baie Hâtée	16 G	15-10-2005	48°23,768'	68°40,221'	Sg	75	0	+	0	0	+	0	0
Baie Hâtée	17	15-10-2005	48°23,716'	68°40,076'	Sv	0	0	+	0	0	0	0	0
Baie Hâtée	18	15-10-2005	48°23,683'	68°39,998'	R	0	0	0	0	0	0	0	0
Baie Hâtée	19 G	20-10-2005	48°23,737'	68°40,208'	Sg	50	0	+	0	0	0	0	20
Baie Hâtée	20 G	20-10-2005	48°23,712'	68°40,145'	S	50	0	+	0	0	0	0	20
Baie Hâtée	21 G	20-10-2005	48°23,688'	68°40,108'	S	50	0	+	0	0	+	0	0
Baie Hâtée	22	15-10-2005	48°23,782'	68°40,453'	R	0	0	0	0	0	0	0	50

Annexe 2. (suite)

Site	Station[1]	Date	Latitude	Longitude	Séd[2]	Mye[3]		Macrobenthos[4]					
			(N)	(W)		11p	juv	Ma	Me	My	Po	Zo	Al
Baie Hâtée	23 G	15-10-2005	48°23,759'	68°40,394'	V	25	0	0	0	0	0	0	10
Baie Hâtée	24 G	20-10-2005	48°23,728'	68°40,325'	Sv	100	0	+	0	0	+	0	10
Baie Hâtée	25 G	15-10-2005	48°23,698'	68°40,257'	Sv	175	0	+	0	0	+	0	0
Baie Hâtée	26 G	20-10-2005	48°23,674'	68°40,186'	S	50	0	+	0	0	0	0	0
Baie Hâtée	27	15-10-2005	48°23,647'	68°40,115'	Sv	0	0	0	0	0	0	0	10
Baie Hâtée	28	15-10-2005	48°23,637'	68°40,090'	R	0	0	0	0	0	0	0	20
Baie Hâtée	29	15-10-2005	48°23,742'	68°40,558'	R	0	0	0	0	0	0	0	50
Baie Hâtée	30 G	15-10-2005	48°23,720'	68°40,517'	Vs	25	0	0	0	0	+	0	0
Baie Hâtée	31 G	15-10-2005	48°23,670'	68°40,371'	Sv	50	0	+	0	0	+	0	20
Baie Hâtée	32 G	20-10-2005	48°23,676'	68°40,302'	S	25	0	+	0	0	0	0	0
Baie Hâtée	33	15-10-2005	48°23,621'	68°40,228'	S	0	0	+	0	0	0	0	5
Baie Hâtée	34	15-10-2005	48°23,592'	68°40,184'	Sg	0	0	0	0	0	0	0	0
Baie Hâtée	35	15-10-2005	48°23,704'	68°40,625'	Sg	0	0	0	0	0	0	0	0
Baie Hâtée	36	15-10-2005	48°23,663'	68°40,517'	Sg	0	0	0	0	0	0	0	0
Baie Hâtée	37	15-10-2005	48°23,627'	68°40,398'	Sg	0	0	0	0	0	0	0	0
Baie Hâtée	38	15-10-2005	48°23,609'	68°40,321'	Sg	0	0	0	0	0	0	0	0
Rimouski	1 G	17-09-2005	48°28,054'	68°33,937'	Sv	150	0	+	0	+	+	0	40
Rimouski	2 G	17-09-2005	48°28,087'	68°33,778'	Sg	50	0	+	0	+	+	0	0
Rimouski	3 G	17-09-2005	48°28,131'	68°33,622'	Sg	75	0	+	0	+	+	0	5
Rimouski	4 G	17-09-2005	48°28,164'	68°33,465'	Sg	75	0	+	0	+	+	0	10
Rimouski	5 G	17-09-2005	48°28,199'	68°33,310'	Sg	25	0	+	0	0	+		
Rimouski	6 G	17-09-2005	48°28,227'	68°33,151'	S	50	0	+	0	+	+		
Rimouski	7	17-09-2005	48°28,256'	68°32,993'	M	0	0	+	0	+	+		
Rimouski	8	17-09-2005	48°28,291'	68°32,837'	S	0	0	+	0	+	+		
Rimouski	9 G	17-09-2005	48°27,997'	68°33,862'	Sv	100	0	+	0	+	0	0	+
Rimouski	10 G	17-09-2005	48°28,044'	68°33,706'	Sv	200	0	+	0	+	0	0	0
Rimouski	11 G	17-09-2005	48°28,063'	68°33,549'	Sg	75	0	0	0	+	0	0	0
Rimouski	12 G	17-09-2005	48°28,094'	68°33,391'	Sg	25	0	++	0	+	0	0	0
Rimouski	13 G	17-09-2005	48°28,128'	68°33,238'	Sg	75	0	0	0	+	0	0	0
Rimouski	14 G	17-09-2005	48°28,145'	68°33,076'	Sg	50	0	+	0	+	+	0	0
Rimouski	15	17-09-2005	48°28,190'	68°32,927'	Sv	0	0	0	0	0	0	0	0
Rimouski	16	17-09-2005	48°28,235'	68°32,776'	S	25	0	0	0	0	0	0	0
Rimouski	17 G	17-09-2005	48°27,923'	68°33,877'	Sg	225	25	+	0	+	+	0	0
Rimouski	18 G	17-09-2005	48°27,954'	68°33,717'	Sg	200	0	+	0	+	+	0	0
Rimouski	19 G	17-09-2005	48°27,990'	68°33,558'	Sg	275	0	+	0	+	+	0	0
Rimouski	20 G	17-09-2005	48°28,026'	68°33,403'	Sg	25	0	+++	0	+	0	0	0
Rimouski	21 G	17-09-2005	48°28,061'	68°33,249'	S	25	0	+	0	+	+	0	0
Rimouski	22	17-09-2005	48°28,094'	68°33,089'	S	0	0	+	0	+	+	0	0
Rimouski	23	17-09-2005	48°28,126'	68°32,934'	S	0	0	0	0	0	+	0	0
Rimouski	24	17-09-2005	48°28,159'	68°32,771'	S	0	0	+	0	0	+	0	0
Rimouski	25	17-09-2005	48°28,192'	68°32,614'	S	25	0	0	0	0	+	0	0
Rimouski	26	17-09-2005	48°28,224'	68°32,456'	S	0	0	0	+	0	0	0	0
Rimouski	27	17-09-2005	48°28,258'	68°32,300'	S	0	0	+	+	0	+	0	+
Rimouski	28	17-09-2005	48°28,299'	68°32,148'	S	0	0	+	+	0	0	0	1
Rimouski	29 G	17-09-2005	48°27,847'	68°33,858'	Sg	50	25	+	0	0	0	0	0
Rimouski	30 G	17-09-2005	48°27,898'	68°33,708'	Sv	125	25	0	0	+	0	0	0
Rimouski	31 G	17-09-2005	48°27,929'	68°33,550'	Sv	50	0	+	0	0	+	0	0
Rimouski	32 G	17-09-2005	48°27,964'	68°33,394'	Sv	175	0	+	0	0	0	0	0
Rimouski	33 G	17-09-2005	48°28,000'	68°33,239'	Sv	125	0	+	0	+	+	0	0
Rimouski	34	17-09-2005	48°28,035'	68°33,085'	Sv	0	0	0	0	0	0	0	0
Rimouski	35	17-09-2005	48°28,069'	68°32,929'	Sv	0	0	0	0	0	+	0	0

Annexe 2. (suite)

Site	Station[1]	Date	Latitude	Longitude	Séd[2]	Mye[3]		Macrobenthos[4]					
			(N)	(W)		11p	juv	Ma	Me	My	Po	Zo	Al
Rimouski	36	17-09-2005	48°28,103'	68°32,774'	S	0	0	+	0	+	0	0	0
Rimouski	37	17-09-2005	48°28,130'	68°32,615'	Sv	0	0	0	+	0	0	0	0
Rimouski	38	17-09-2005	48°28,165'	68°32,455'	S	0	0	0	+	0	0	0	0
Rimouski	39 G	17-09-2005	48°27,700'	68°34,233'	Sv	25	0	0	0	0	+	0	0
Rimouski	40 G	17-09-2005	48°27,724'	68°34,076'	Sg	275	0	0	0	0	+	0	0
Rimouski	41 G	17-09-2005	48°27,749'	68°33,920'	Sg	175	0	0	0	+	0	0	0
Rimouski	42 G	17-09-2005	48°27,795'	68°33,767'	Sg	100	0	0	0	+	0	0	0
Rimouski	43 G	17-09-2005	48°27,841'	68°33,619'	M	125	0	+	0	+	0	0	0
Rimouski	44 G	17-09-2005	48°27,865'	68°33,460'	M	125	0	+	0	0	+	0	0
Rimouski	45 G	17-09-2005	48°27,899'	68°33,300'	Sg	75	0	+	0	0	0	0	0
Rimouski	46 G	17-09-2005	48°27,942'	68°33,140'	Sg	100	0	0	0	+	0	0	0
Rimouski	47 G	17-09-2005	48°27,968'	68°32,976'	Sg	50	0	0	0	+	+	0	+
Rimouski	48 G	17-09-2005	48°28,003'	68°32,825'	S	75	0	0	0	+	0	0	+
Rimouski	49	17-09-2005	48°28,040'	68°32,664'	Sv	0	0	0	0	+	0	0	+
Rimouski	50	17-09-2005	48°28,075'	68°32,506'	Sv	0	0	+	0	0	0	+	0
Rimouski	51	17-09-2005	48°27,657'	68°34,088'	M	0	0	0	0	+	+	0	0
Rimouski	52 G	17-09-2005	48°27,690'	68°33,932'	Sg	125	0	+	0	+	+	0	0
Rimouski	53 G	17-09-2005	48°27,728'	68°33,774'	Sg	50	0	+	0	+	0	0	5
Rimouski	54 G	17-09-2005	48°27,763'	68°33,616'	M	125	0	+	0	+	+	0	0
Rimouski	55 G	17-09-2005	48°27,795'	68°33,461'	Sg	125	0	+	0	+++	+	0	5
Rimouski	56 G	17-09-2005	48°27,830'	68°33,302'	Sg	50	0	+	0	+	+	0	0
Rimouski	57 G	17-09-2005	48°27,866'	68°33,140'	Sg	25	0	+	0	+	+	0	0
Rimouski	58 G	17-09-2005	48°27,898'	68°32,983'	Sg	50	0	+	0	+	+	0	0
Rimouski	59 G	17-09-2005	48°27,931'	68°32,826'	Sg	25	0	+	0	+	+	0	0
Rimouski	60 G	17-09-2005	48°27,966'	68°32,670'	Sg	0	0	+	0	+	+	0	0
Rimouski	61 G	17-09-2005	48°28,000'	68°32,515'	Sg	150	0	0	0	+	0	0	0
Rimouski	62 G	17-09-2005	48°27,567'	68°34,113'	Sv	125	0	+	0	0	0	0	0
Rimouski	63 G	17-09-2005	48°27,606'	68°33,961'	Sv	125	0	0	0	0	0	0	0
Rimouski	64 G	17-09-2005	48°27,636'	68°33,803'	Sv	175	0	0	0	+	0	0	0
Rimouski	65 G	17-09-2005	48°27,664'	68°33,646'	Sv	75	0	0	0	+	+	0	0
Rimouski	66 G	17-09-2005	48°27,701'	68°33,486'	Sv	100	0	+	0	+	0	0	0
Rimouski	67 G	17-09-2005	48°27,743'	68°33,335'	Sg	75	0	+	0	+	0	0	0
Rimouski	68 G	17-09-2005	48°27,788'	68°33,182'	Sv	75	0	0	0	+	0	0	0
Rimouski	69 G	17-09-2005	48°27,814'	68°33,022'	Sv	225	0	+	+	+	0	0	0
Rimouski	70 G	17-09-2005	48°27,841'	68°32,865'	Sv	150	0	0	0	0	0	0	0
Rimouski	71	17-09-2005	48°27,870'	68°32,711'	Sv	0	0	0	0	0	0	0	0
Rimouski	72 G	17-09-2005	48°27,507'	68°34,082'	Sg	75	0	0	0	+	+	0	0
Rimouski	73 G	17-09-2005	48°27,542'	68°33,926'	Sg	25	0	+	0	+	+	0	0
Rimouski	74 G	17-09-2005	48°27,576'	68°33,774'	Sv	50	0	+	0	+	+	0	0
Rimouski	75 G	17-09-2005	48°27,604'	68°33,611'	Sg	25	0	0	0	+	+	0	1
Rimouski	76 G	17-09-2005	48°27,637'	68°33,454'	Sg	25	0	0	0	+	+	0	0
Rimouski	77 G	17-09-2005	48°27,672'	68°33,302'	Sg	150	0	0	0	+	+	0	0
Rimouski	78 G	17-09-2005	48°27,709'	68°33,148'	Sg	575	0	+	0	+	+	0	0
Rimouski	79 G	17-09-2005	48°27,750'	68°32,990'	S	25	0	+	0	0	+	0	0
Rimouski	80	17-09-2005	48°27,778'	68°32,833'	S	0	0	+	+	0	+	0	0
Rimouski	81 G	17-09-2005	48°27,812'	68°32,680'	S	25	0	0	0	0	+	0	0
Rimouski	82	17-09-2005	48°27,510'	68°33,688'	Sv	0	0	0	0	+	0	0	0
Rimouski	83 G	17-09-2005	48°27,551'	68°33,539'	V	75	0	0	0	0	0	+	0
Rimouski	84 G	17-09-2005	48°27,591'	68°33,387'	Sv	100	0	+	0	0	0	0	0
Rimouski	85 G	17-09-2005	48°27,625'	68°33,224'	Sv	200	0	0	0	0	0	0	0
Rimouski	86 G	17-09-2005	48°27,647'	68°33,061'	Sv	100	0	0	0	0	0	0	0

Annexe 2. (suite)

Site	Station[1]	Date	Latitude	Longitude	Séd[2]	Mye[3]		Macrobenthos[4]					
			(N)	(W)		11p	juv	Ma	Me	My	Po	Zo	Al
Rimouski	87 G	17-09-2005	48°27,672'	68°32,902'	Sv	75	0	0	0	0	0	0	0
Rimouski	88 G	17-09-2005	48°27,711'	68°32,749'	Sv	50	0	0	0	0	0	0	0
Rimouski	89 G	17-09-2005	48°27,446'	68°33,665'	S	75	0	+	0	+	+	0	20
Rimouski	90 G	17-09-2005	48°27,480'	68°33,509'	Sv	125	0	0	0	+	+	0	0
Rimouski	91 G	17-09-2005	48°27,517'	68°33,354'	Sg	50	0	+	0	+	0	0	0
Rimouski	92 G	17-09-2005	48°27,554'	68°33,200'	Sg	0	0	+	0	+	+	0	0
Rimouski	93 G	17-09-2005	48°27,584'	68°33,043'	Sg	25	0	+	0	+	0	0	0
Rimouski	94	17-09-2005	48°27,616'	68°32,885'	S	0	0	+	0	+	+	0	0
Rimouski	95 G	17-09-2005	48°27,652'	68°32,728'	Sv	200	0	+	0	+	+	75	0
Rimouski	96 G	17-09-2005	48°27,380'	68°33,635'	V	150	0	+	0	+	+	0	2
Rimouski	97 G	17-09-2005	48°27,402'	68°33,548'	Sv	325	0	0	0	0	0	0	0
Rimouski	98 G	17-09-2005	48°27,427'	68°33,382'	Vs	200	0	0	0	0	0	0	0
Rimouski	99 G	17-09-2005	48°27,455'	68°33,225'	Sv	50	0	0	0	0	0	0	0
Rimouski	100 G	17-09-2005	48°27,494'	68°33,061'	V	225	0	0	0	0	0	+	+
Rimouski	101 G	17-09-2005	48°27,536'	68°32,914'	Vs	275	0	0	0	0	0	0	0
Rimouski	102 G	17-09-2005	48°27,306'	68°33,603'	Vs	25	0	0	0	+	+	0	0
Rimouski	103 G	17-09-2005	48°27,335'	68°33,448'	Vs	75	0	0	0	+	+	0	10
Rimouski	104 G	17-09-2005	48°27,377'	68°33,297'	Vs	50	0	+	0	+	+	0	10
Rimouski	105 G	17-09-2005	48°27,409'	68°33,141'	Sg	100	0	0	0	+	+	0	0
Rimouski	106 G	17-09-2005	48°27,438'	68°32,983'	Sg	225	0	+	0	0	0	+	0
Rimouski	107	17-09-2005	48°27,011'	68°34,641'	M	0	0	0	0	0	0	0	75
Rimouski	108 G	17-09-2005	48°27,045'	68°34,479'	Vs	50	0	+	0	0	+	0	10
Rimouski	109 G	17-09-2005	48°27,077'	68°34,317'	Sv	125	0	+	0	0	0	0	5
Rimouski	110 G	17-09-2005	48°27,111'	68°34,159'	M	50	0	+	0	+	+	0	5
Rimouski	111 G	17-09-2005	48°27,146'	68°34,002'	M	75	0	+	0	+	+	0	10
Rimouski	112 G	17-09-2005	48°27,181'	68°33,847'	M	100	0	+	0	0	0	0	0
Rimouski	113 G	17-09-2005	48°27,216'	68°33,687'	M	175	0	+	0	+	+	0	0
Rimouski	114 G	17-09-2005	48°27,248'	68°33,531'	M	75	0	+	0	+	+	0	0
Rimouski	115 G	17-09-2005	48°27,280'	68°33,373'	Sg	25	0	+	0	0	+	0	0
Rimouski	116 G	17-09-2005	48°27,313'	68°33,215'	Sg	50	0	+	0	+	+	0	0
Rimouski	117 G	17-09-2005	48°27,348'	68°33,059'	Vs	0	0	0	0	+	+	70	0
Rimouski	118 G	17-09-2005	48°27,381'	68°32,902'	Vs	50	0	+	0	0	+	100	0
Rimouski	119	17-09-2005	48°27,410'	68°32,758'	Sv	0	0	+	0	0	+	50	0
Rimouski	120 G	17-09-2005	48°26,945'	68°34,591'	Sv	100	0	0	0	0	0	0	0
Rimouski	121 G	17-09-2005	48°26,970'	68°34,434'	Sv	75	0	0	0	0	0	0	+
Rimouski	122	17-09-2005	48°27,010'	68°34,274'	M	0	0	0	0	0	0	0	+
Rimouski	123 G	17-09-2005	48°27,051'	68°34,116'	M	175	0	0	0	0	0	0	+
Rimouski	124 G	17-09-2005	48°27,078'	68°33,958'	M	100	0	0	0	0	0	0	0
Rimouski	125 G	17-09-2005	48°27,116'	68°33,802'	Vs	50	0	0	0	+	+	0	+
Rimouski	126 G	17-09-2005	48°27,148'	68°33,638'	Sv	25	0	0	0	0	+	0	+
Rimouski	127 G	17-09-2005	48°27,184'	68°33,498'	Vs	75	0	+	0	0	0	0	+
Rimouski	128 G	17-09-2005	48°27,220'	68°33,341'	Vs	100	0	0	0	0	0	0	0
Rimouski	129 G	17-09-2005	48°27,245'	68°33,177'	Vs	200	0	+	0	0	0	0	+
Rimouski	130 G	17-09-2005	48°27,283'	68°33,025'	Vs	25	0	0	0	0	0	+	0
Rimouski	131 G	17-09-2005	48°27,318'	68°32,870'	Sv	100	0	+	0	0	0	+	0
Rimouski	132 G	17-09-2005	48°26,860'	68°34,690'	V	50	0	0	0	0	0	0	0
Rimouski	133 G	17-09-2005	48°26,882'	68°34,528'	V	75	0	0	0	0	0	0	0
Rimouski	134 G	17-09-2005	48°26,916'	68°34,372'	M	100	0	0	0	0	0	0	0
Rimouski	135 G	17-09-2005	48°26,945'	68°34,211'	Vs	250	0	0	0	0	0	0	+
Rimouski	136	17-09-2005	48°26,788'	68°34,647'	V	0	0	+	0	0	0	0	0
Rimouski	137	17-09-2005	48°26,831'	68°34,482'	Sv	0	0	+	0	0	+	0	0

Annexe 2. (suite)

Site	Station[1]	Date	Latitude	Longitude	Séd[2]	Mye[3]		Macrobenthos[4]					
			(N)	(W)		11p	juv	Ma	Me	My	Po	Zo	Al
Rimouski	138	17-09-2005	48°26,858'	68°34,319'	Sv	0	0	+	0	0	+	0	0
Rimouski	139 G	17-09-2005	48°26,890'	68°34,157'	Sv	175	0	+	0	0	0	0	0
Anse aux Coques	1	19-09-2005	48°32,961'	68°22,116'	S	0	0	0	0	0	0	0	0
Anse aux Coques	2	19-09-2005	48°32,950'	68°21,948'	S	0	0	0	0	0	+	0	0
Anse aux Coques	3	19-09-2005	48°32,970'	68°21,784'	S	0	0	0	0	0	0	0	0
Anse aux Coques	4	19-09-2005	48°33,000'	68°21,621'	S	0	0	0	0	0	+	0	0
Anse aux Coques	5	19-09-2005	48°33,029'	68°21,466'	S	0	0	+	0	0	+	0	+
Anse aux Coques	6	19-09-2005	48°33,074'	68°21,316'	S	0	0	0	0	0	+	0	+
Anse aux Coques	7	19-09-2005	48°33,099'	68°21,150'	S	0	0	0	0	0	+	0	0
Anse aux Coques	8	19-09-2005	48°33,010'	68°22,673'	M	0	0	+	0	+	0	0	+
Anse aux Coques	9	19-09-2005	48°32,976'	68°22,516'	Sg	0	0	+	0	0	0	0	+
Anse aux Coques	10	19-09-2005	48°32,947'	68°22,354'	Sg	0	0	+	0	0	+	0	+
Anse aux Coques	11	19-09-2005	48°32,928'	68°22,189'	S	0	0	0	0	0	+	0	0
Anse aux Coques	12	19-09-2005	48°32,895'	68°22,031'	Sv	0	0	0	0	0	+	0	0
Anse aux Coques	13 G	19-09-2005	48°32,860'	68°21,881'	S	25	0	+	0	0	0	0	+
Anse aux Coques	14	19-09-2005	48°32,831'	68°21,723'	Sg	0	0	+	0	0	+	0	0
Anse aux Coques	15	18-09-2005	48°32,974'	68°22,875'	Sv	0	0	+	0	+	+	0	0
Anse aux Coques	16	18-09-2005	48°32,943'	68°22,718'	Sv	0	0	0	0	0	+	0	0
Anse aux Coques	17	18-09-2005	48°32,849'	68°22,239'	S	0	0	0	0	0	0	0	0
Anse aux Coques	18 G	18-09-2005	48°32,822'	68°22,077'	S	25	0	+	0	0	0	0	0
Anse aux Coques	19	18-09-2005	48°32,796'	68°21,914'	S	0	0	+	0	0	0	0	0
Anse aux Coques	20 G	18-09-2005	48°32,822'	68°22,239'	M	0	0	0	0	0	0	0	0
Anse aux Coques	21	18-09-2005	48°32,793'	68°22,084'	Sg	0	0	0	0	0	0	0	0
Anse aux Coques	22	19-09-2005	48°32,910'	68°22,918'	S	0	0	+	0	0	0	0	0
Anse aux Coques	23 G	19-09-2005	48°32,878'	68°22,759'	S	25	0	+	0	0	0	0	0
Anse aux Coques	24	19-09-2005	48°32,855'	68°22,601'	S	0	0	+	0	0	0	0	0
Anse aux Coques	25 G	19-09-2005	48°32,816'	68°22,442'	S	25	0	+	0	0	0	0	0
Anse aux Coques	26	19-09-2005	48°32,789'	68°22,276'	M	0	0	0	0	0	0	0	0
Anse aux Coques	27 G	19-09-2005	48°32,826'	68°22,601'	S	75	0	+	0	0	0	0	0
Baie Mitis	1	18-09-2005	48°38,378'	68°8,890'	Vs	0	0	+	0	0	+	0	5
Baie Mitis	2 G	18-09-2005	48°38,417'	68°8,814'	Vs	225	0	+	0	0	0	0	20
Baie Mitis	3	18-09-2005	48°38,283'	68°8,923'	V	0	0	+	0	0	0	0	0
Baie Mitis	4 G	18-09-2005	48°38,360'	68°8,807'	Sv	175	0	0	0	+	0	0	0
Baie Mitis	5 G	18-09-2005	48°38,389'	68°8,694'	Vs	75	0	+	0	+	0	0	5
Baie Mitis	6 G	18-09-2005	48°38,438'	68°8,600'	Sv	575	0	+	0	+	+	0	+
Baie Mitis	7 G	18-09-2005	48°38,246'	68°8,807'	Sv	25	0	+	0	0	0	0	1
Baie Mitis	8 G	18-09-2005	48°38,295'	68°8,695'	Vs	375	0	0	0	+	0	0	+
Baie Mitis	9 G	18-09-2005	48°38,329'	68°8,605'	Sv	250	0	+	0	+	0	0	5
Baie Mitis	10 G	18-09-2005	48°38,350'	68°8,477'	S	25	0	0	0	0	0	0	0
Baie Mitis	11	18-09-2005	48°38,417'	68°8,396'	Vs	0	0	0	0	+	0	0	0
Baie Mitis	12	18-09-2005	48°38,419'	68°8,297'	M	0	0	+	0	+	0	0	+
Baie Mitis	13 G	18-09-2005	48°38,160'	68°8,804'	Vs	50	0	0	0	0	+	0	20
Baie Mitis	14 G	18-09-2005	48°38,185'	68°8,708'	Vs	175	0	+	0	0	0	0	+
Baie Mitis	15 G	18-09-2005	48°38,221'	68°8,603'	Vs	100	0	+	0	+	0	0	5
Baie Mitis	16 G	18-09-2005	48°38,243'	68°8,481'	Sv	25	0	0	0	+	0	0	0
Baie Mitis	17 G	18-09-2005	48°38,310'	68°8,417'	S	50	0	+	0	0	0	0	0
Baie Mitis	18	18-09-2005	48°38,328'	68°8,288'	S	0	0	+	+	+	0	0	+
Baie Mitis	19 G	18-09-2005	48°38,057'	68°8,804'	Vs	75	0	0	0	0	+	0	0
Baie Mitis	20 G	18-09-2005	48°38,077'	68°8,702'	V	100	0	+	0	0	0	0	0
Baie Mitis	21 G	18-09-2005	48°38,108'	68°8,593'	Vs	250	0	+	0	0	+	0	0
Baie Mitis	22 G	18-09-2005	48°38,132'	68°8,482'	Sv	25	0	0	0	+	0	0	0

Annexe 2. (suite)

Site	Station[1]	Date	Latitude (N)	Longitude (W)	Séd[2]	Mye[3]		Macrobenthos[4]					
						11p	juv	Ma	Me	My	Po	Zo	Al
Baie Mitis	23	18-09-2005	48°38,206'	68°8,371'	Vs	0	0	0	0	+	0	0	0
Baie Mitis	24 G	18-09-2005	48°38,218'	68°8,287'	Vs	25	0	+	0	+	0	0	0
Baie Mitis	25	18-09-2005	48°38,195'	68°8,179'	M	0	0	0	0	0	0	0	0
Baie Mitis	26 G	18-09-2005	48°38,184'	68°8,094'	Vs	400	25	+	0	+	0	0	0
Baie Mitis	27 G	18-09-2005	48°38,219'	68°8,067'	S	300	0	0	0	0	0	0	0
Baie Mitis	28	18-09-2005	48°38,242'	68°7,978'	M	0	0	0	0	0	0	0	0
Baie Mitis	29 G	18-09-2005	48°37,970'	68°8,684'	V	25	0	+	0	0	+	0	0
Baie Mitis	30 G	18-09-2005	48°37,998'	68°8,593'	Vs	25	0	+	0	0	0	0	0
Baie Mitis	31 G	18-09-2005	48°38,021'	68°8,481'	Vs	150	0	0	0	+	0	0	0
Baie Mitis	32	18-09-2005	48°38,098'	68°8,402'	S	0	0	0	0	+	0	0	0
Baie Mitis	33 G	18-09-2005	48°38,109'	68°8,288'	V	275	0	0	0	+	0	0	0
Baie Mitis	34 G	18-09-2005	48°38,113'	68°8,185'	Sv	200	0	0	0	+	+	0	0
Baie Mitis	35 G	18-09-2005	48°38,104'	68°8,136'	Vs	150	0	+	0	+	0	0	0
Baie Mitis	36 G	18-09-2005	48°38,106'	68°8,076'	S	175	0	0	0	0	+	0	0
Baie Mitis	37	18-09-2005	48°38,118'	68°8,032'	Sg	0	0	0	0	0	0	0	0
Baie Mitis	38 G	18-09-2005	48°38,213'	68°7,821'	M	25	0	+	0	+	0	0	0
Baie Mitis	39 G	18-09-2005	48°37,987'	68°8,407'	Vs	25	0	+	0	0	+	0	0
Baie Mitis	40	18-09-2005	48°37,998'	68°8,289'	M	0	0	0	0	+	+	0	0
Baie Mitis	41	18-09-2005	48°37,997'	68°8,184'	M	0	0	0	0	+	0	0	0
Baie Mitis	42 G	18-09-2005	48°38,023'	68°8,141'	M	25	0	0	0	+	0	0	0
Baie Mitis	43	18-09-2005	48°38,002'	68°8,067'	M	0	0	0	0	0	0	0	0
Baie Mitis	44	18-09-2005	48°38,106'	68°7,784'	Sg	0	0	0	0	+	0	0	0
Baie Mitis	45 G	18-09-2005	48°37,913'	68°8,480'	V	25	0	+	0	0	+	0	0
Baie Mitis	46	18-09-2005	48°37,899'	68°8,395'	V	0	0	0	0	+	+	0	0
Baie Mitis	47 G	18-09-2005	48°37,891'	68°8,291'	Vs	25	0	0	0	+	+	0	0
Baie Mitis	48	18-09-2005	48°37,914'	68°8,156'	M	0	0	0	0	+	+	0	0
Baie Mitis	49	18-09-2005	48°37,941'	68°8,069'	M	0	0	0	0	0	0	0	0
Baie Mitis	50 G	18-09-2005	48°38,006'	68°7,826'	Sv	50	0	0	0	+	0	0	0
Baie Mitis	51 G	18-09-2005	48°38,095'	68°7,619'	Vs	50	0	+	0	+	0	0	0
Baie Mitis	52 G	18-09-2005	48°37,972'	68°7,824'	Sg	0	0	0	0	0	0	0	0
Baie Mitis	53	18-09-2005	48°37,988'	68°7,712'	Vs	0	0	0	0	0	+	0	0
Baie Mitis	54 G	18-09-2005	48°37,889'	68°7,905'	Sv	75	0	+	0	+	0	0	0
Baie Mitis	55 G	18-09-2005	48°37,913'	68°7,748'	Vs	75	0	0	0	0	+	0	0
Baie Mitis	56 G	18-09-2005	48°37,964'	68°7,658'	Vs	25	0	+	0	0	+	0	0
Baie Mitis	57	18-09-2005	48°37,997'	68°7,550'	Vs	0	0	0	0	0	+	0	+
Baie Mitis	58	18-09-2005	48°38,067'	68°7,460'	R	0	0	0	0	0	0	0	+
Baie Mitis	59	18-09-2005	48°37,923'	68°7,638'	Vs	0	0	0	0	0	+	0	0
Baie Mitis	60	18-09-2005	48°37,959'	68°7,504'	R	0	0	0	0	0	0	0	+
Baie Mitis	61	18-09-2005	48°38,024'	68°7,394'	S	0	0	+	0	0	+	0	0
Anse du Petit Mitis	1	18-09-2005	48°40,424'	68°0,898'	S	0	0	+	0	0	+	0	0
Anse du Petit Mitis	2	18-09-2005	48°40,359'	68°0,769'	M	0	0	0	0	+	0	0	+
Anse du Petit Mitis	3	18-09-2005	48°40,427'	68°1,094'	Sg	0	0	0	0	0	0	0	0
Anse du Petit Mitis	4	18-09-2005	48°40,386'	68°1,014'	M	0	0	0	0	+	0	0	+
Anse du Petit Mitis	5	18-09-2005	48°40,327'	68°0,878'	M	0	0	0	0	0	0	0	0
Anse du Petit Mitis	6	18-09-2005	48°40,267'	68°0,742'	M	0	0	0	0	+	0	0	+
Anse du Petit Mitis	7	18-09-2005	48°40,203'	68°0,608'	M	0	0	0	0	+	0	0	+
Anse du Petit Mitis	8 G	18-09-2005	48°40,738'	68°1,910'	Vs	100	0	0	0	+	0	0	+
Anse du Petit Mitis	9 G	18-09-2005	48°40,672'	68°1,780'	Sv	375	0	+	0	+	+	0	0
Anse du Petit Mitis	10	18-09-2005	48°40,635'	68°1,700'	Sg	0	0	+	0	0	+	0	0
Anse du Petit Mitis	11	18-09-2005	48°40,570'	68°1,568'	M	0	0	0	0	+	0	0	0
Anse du Petit Mitis	12	18-09-2005	48°40,509'	68°1,435'	S	0	0	0	0	+	+	+	+

Annexe 2. (suite)

Site	Station[1]	Date	Latitude (N)	Longitude (W)	Séd[2]	Mye[3]		Macrobenthos[4]					
						11p	juv	Ma	Me	My	Po	Zo	Al
Anse du Petit Mitis	13	18-09-2005	48°40,290'	68°0,990'	Sv	0	0	0	0	+	0	0	0
Anse du Petit Mitis	14 G	18-09-2005	48°40,226'	68°0,859'	Sv	25	0	+	0	+	+	0	0
Anse du Petit Mitis	15	18-09-2005	48°40,168'	68°0,722'	M	0	0	0	0	+	0	0	0
Anse du Petit Mitis	16 G	18-09-2005	48°40,719'	68°2,057'	Vs	125	0	+	0	0	+	0	5
Anse du Petit Mitis	17 G	18-09-2005	48°40,651'	68°1,930'	Sv	350	0	+	0	0	+	0	0
Anse du Petit Mitis	18 G	18-09-2005	48°40,592'	68°1,794'	Sg	125	0	+	0	+	+	0	+
Anse du Petit Mitis	19	18-09-2005	48°40,530'	68°1,662'	Sg	0	0	0	0	0	0	0	0
Anse du Petit Mitis	20	18-09-2005	48°40,257'	68°1,104'	R	0	0	0	0	0	0	0	+
Anse du Petit Mitis	21 G	18-09-2005	48°40,197'	68°0,972'	Vs	50	0	0	0	+	+	0	0
Anse du Petit Mitis	22	18-09-2005	48°40,137'	68°0,838'	Sg	0	0	+	0	+	0	0	0
Anse du Petit Mitis	23 G	18-09-2005	48°40,198'	68°1,159'	Sv	100	0	+	0	0	+	0	0
Anse du Petit Mitis	24 G	18-09-2005	48°40,133'	68°1,025'	Sv	75	0	0	0	0	0	0	0
Anse du Petit Mitis	25	18-09-2005	48°40,070'	68°0,893'	Sv	0	0	+	0	0	+	0	0
Anse du Petit Mitis	26	18-09-2005	48°40,173'	68°1,273'	Sv	0	0	+	0	0	+	0	0
Anse du Petit Mitis	27 G	18-09-2005	48°40,106'	68°1,142'	Sv	100	0	+	0	0	+	0	0
Anse du Petit Mitis	28	18-09-2005	48°40,049'	68°0,995'	R	0	0	0	0	+	0	0	+
Anse du Petit Mitis	29 G	18-09-2005	48°40,114'	68°1,336'	Vs	125	0	+	0	0	+	0	0
Anse du Petit Mitis	30 G	18-09-2005	48°40,050'	68°1,204'	V	200	0	+	0	0	0	0	0
Anse du Petit Mitis	31	18-09-2005	48°39,987'	68°1,076'	Sg	0	0	+	0	0	+	0	0
Petits-Méchins	1	19-09-2005	49°0,263'	66°58,568'	R	0	0	0	0	0	0	0	+
Petits-Méchins	2	19-09-2005	49°0,228'	66°58,440'	R	0	0	0	0	+	0	0	+
Petits-Méchins	3	19-09-2005	49°0,236'	66°58,369'	M	25	0	0	0	0	+	0	0
Petits-Méchins	4	19-09-2005	49°0,266'	66°58,224'	M	0	0	0	0	0	0	0	0
Petits-Méchins	5	19-09-2005	49°0,262'	66°58,052'	S	0	0	0	0	+	0	0	+
Petits-Méchins	6	19-09-2005	49°0,331'	66°57,967'	R	0	0	0	0	+	0	0	+
Petits-Méchins	7	19-09-2005	49°0,396'	66°57,835'	R	0	0	0	0	+	0	0	+
Petits-Méchins	8	19-09-2005	49°0,460'	66°57,697'	R	0	0	0	0	+	0	0	+
Petits-Méchins	9	19-09-2005	49°0,534'	66°57,583'	R	0	0	0	0	+	0	0	+
Petits-Méchins	10	19-09-2005	49°0,670'	66°57,530'	R	0	0	0	0	+	0	0	+
Petits-Méchins	11	19-09-2005	49°0,762'	66°57,375'	R	0	0	0	0	0	0	0	+
Petits-Méchins	12	19-09-2005	49°0,885'	66°57,205'	R	0	0	0	0	+	0	0	+
Petits-Méchins	13	19-09-2005	49°1,038'	66°56,976'	R	0	0	0	0	0	0	0	+
Petits-Méchins	14	19-09-2005	49°1,118'	66°56,844'	R	0	0	0	0	0	0	0	+
Petits-Méchins	15	19-09-2005	49°1,216'	66°56,782'	R	0	0	0	0	0	0	0	+
Petits-Méchins	16	19-09-2005	49°1,310'	66°56,672'	R	0	0	0	0	0	0	0	+
Capucins	1 G	19-09-2005	49°2,858'	66°51,054'	Sg	50	0	0	0	0	0	0	0
Capucins	2 G	19-09-2005	49°2,806'	66°51,023'	Sv	75	0	0	0	0	0	0	0
Capucins	3 G	19-09-2005	49°2,754'	66°50,994'	Sv	225	0	+	0	0	0		
Capucins	4	19-09-2005	49°2,702'	66°50,966'	Vs	0	0	0	0	0	0	0	+
Capucins	5 G	19-09-2005	49°2,930'	66°51,135'	M	25	0	+	0	+	0	0	0
Capucins	6 G	19-09-2005	49°2,875'	66°51,133'	S	100	0	+	0	0	+	0	0
Capucins	7 G	19-09-2005	49°2,819'	66°51,130'	Sv	50	0	+	0	+	0	0	0
Capucins	8 G	19-09-2005	49°2,765'	66°51,133'	Sv	325	25	+	0	0	0	0	0
Capucins	9 G	19-09-2005	49°2,711'	66°51,132'	Sv	450	25	+	0	0	0	0	0
Capucins	10 G	19-09-2005	49°2,657'	66°51,125'	Sg	50	0	+	0	0	0	0	+
Capucins	11 G	19-09-2005	49°2,602'	66°51,119'	Sg	175	0	0	0	0	0	0	40
Capucins	12	19-09-2005	49°2,547'	66°51,113'	Sv	0	0	0	0	0	0	0	+
Capucins	13 G	19-09-2005	49°2,922'	66°51,215'	Sv	450	0	+	0	+	0	0	+
Capucins	14	19-09-2005	49°2,853'	66°51,194'	Sg	0	0	0	0	0	0	0	0
Capucins	15 G	19-09-2005	49°2,798'	66°51,187'	M	75	0	0	0	0	0	0	0
Capucins	16 G	19-09-2005	49°2,746'	66°51,208'	V	100	0	0	0	0	0	0	0

Annexe 2. (suite)

Site	Station[1]	Date	Latitude (N)	Longitude (W)	Séd[2]	Mye[3]		Macrobenthos[4]					
						11p	juv	Ma	Me	My	Po	Zo	Al
Capucins	17 G	19-09-2005	49°2,691'	66°51,211'	Sv	350	0	+	0	0	0	0	0
Capucins	18 G	19-09-2005	49°2,637'	66°51,230'	Sv	275	0	+	0	0	+	0	0
Capucins	19 G	19-09-2005	49°2,579'	66°51,277'	Sv	225	0	+	0	0	0	0	0
Capucins	20 G	19-09-2005	49°2,560'	66°51,196'	Sv	50	0	+	0	0	0	0	+
Capucins	21 G	19-09-2005	49°2,711'	66°51,298'	M	50	0	0	0	0	0	0	0
Capucins	22 G	19-09-2005	49°2,657'	66°51,325'	Sg	350	0	0	0	0	0	0	0
Capucins	23 G	19-09-2005	49°2,606'	66°51,353'	M	100	0	0	0	0	0	0	0

[1] : G = identifie les stations présentes sur le gisement.

[2] : Type de sédiments, V = vase ; Vs = vase sableuse ; Sv = sable vaseux ; S = sable ; Sg = sable graveleux ; M = sédiment mixte ; R = roches.

[3] : Densité des myes (nombre/m^2), 11p = de taille ≥ 11 mm ; juv = < 11 mm.

[4] : Présence du macrobenthos, Ma = *Macoma balthica* ; Me = *Mesodesma arctatum* ; My = *Mytilus edulis* ; Po = Polychaeta ; Zo = *Zostera marina* ; Al = algues sp. ; 0 = espèce absente ; + = espèce présente ; pour Zo et Al un nombre indique le pourcentage de recouvrement.

Annexe 3. Résultats détaillés des relevés 2006 sur la rive sud de l'estuaire du Saint-Laurent.

Site	Station[1]	Date	Latitude	Longitude	Séd[2]	Densité[3]			Rendement[4]			Macrobenthos[5]									
			(N)	(W)		11p	legal	juv	11p	legal	juv	Ma	Me	My	Bu	Li	Te	Po	St	Ps	Zo
Pointe des Riou	1	24-06-2006	48°9,768'	69°9,140'	Sv	0	0	0	0	0	0	0	0	0	0	0	0	0	0	0	0
Pointe des Riou	2	24-06-2006	48°9,768'	69°9,015'	Sv	0	0	0	0	0	0	0	0	0	0	0	0	0	0	0	0
Pointe des Riou	3 G	25-06-2006	48°9,768'	69°8,891'	S	4	0	0	2,9	0	0	284	0	108	0	0	0	4	0	0	70
Pointe des Riou	4 G	25-06-2006	48°9,768'	69°8,768'	S	0	0	0	0	0	0	12	0	0	0	0	0	0	0	0	0
Pointe des Riou	5 G	25-06-2006	48°9,768'	69°8,643'	S	4	0	0	4,6	0	0	48	0	0	0	0	0	0	0	0	0
Pointe des Riou	6 G	25-06-2006	48°9,768'	69°8,520'	Sg	4	4	0	105,1	105,1	0	216	0	16	0	0	0	4	0	0	0
Pointe des Riou	7	25-06-2006	48°9,768'	69°8,397'	Sg	0	0	0	0	0	0	192	0	8	0	0	0	0	0	0	0
Pointe des Riou	8	24-06-2006	48°9,688'	69°9,261'	Sv	0	0	0	0	0	0	16	0	0	0	0	0	8	0	0	0
Pointe des Riou	9	24-06-2006	48°9,688'	69°9,140'	Sv	0	0	0	0	0	0	24	0	0	0	0	0	4	0	0	0
Pointe des Riou	10	24-06-2006	48°9,688'	69°9,015'	Sg	0	0	0	0	0	0	60	0	0	0	0	0	8	0	0	0
Pointe des Riou	11	25-06-2006	48°9,688'	69°8,891'	S	0	0	0	0	0	0	4	0	0	0	0	0	4	0	0	0
Pointe des Riou	12	25-06-2006	48°9,688'	69°8,768'	S	0	0	0	0	0	0	132	0	0	0	0	0	0	0	0	0
Pointe des Riou	13	25-06-2006	48°9,688'	69°8,643'	S	0	0	0	0	0	0	104	0	0	0	0	0	0	0	0	0
Pointe des Riou	14 G	25-06-2006	48°9,688'	69°8,520'	Sg	4	4	0	94,6	94,6	0	32	0	16	0	0	0	8	0	0	0
Pointe des Riou	15 G	25-06-2006	48°9,688'	69°8,397'	Sv	20	4	0	206,8	99,8	0	548	0	8	0	0	0	8	0	0	0
Pointe des Riou	16 G	23-06-2006	48°9,688'	69°8,275'	Vs	28	0	0	31,7	0	0	852	0	0	0	0	0	0	0	0	0
Pointe des Riou	17	24-06-2006	48°9,605'	69°9,261'	Sv	0	0	0	0	0	0	0	0	0	0	0	0	4	0	0	0
Pointe des Riou	18	24-06-2006	48°9,605'	69°9,139'	S	0	0	0	0	0	0	60	0	12	0	0	0	32	0	0	0
Pointe des Riou	19	25-06-2006	48°9,605'	69°9,015'	S	0	0	0	0	0	0	12	0	0	0	0	0	0	0	0	0
Pointe des Riou	20	25-06-2006	48°9,605'	69°8,892'	S	0	0	0	0	0	0	64	0	0	0	0	0	4	0	0	0
Pointe des Riou	21	25-06-2006	48°9,605'	69°8,768'	S	0	0	0	0	0	0	108	0	4	0	0	0	4	0	0	0
Pointe des Riou	22	25-06-2006	48°9,605'	69°8,643'	Sv	0	0	0	0	0	0	8	0	0	0	0	0	0	0	0	0
Pointe des Riou	23 G	25-06-2006	48°9,605'	69°8,520'	Sg	8	8	0	156,2	156,2	0	208	0	4	0	0	0	8	0	0	0
Pointe des Riou	24 G	24-06-2006	48°9,605'	69°8,397'	Sv	4	0	0	32,0	0	0	176	0	0	0	0	0	4	0	0	0
Pointe des Riou	25 G	23-06-2006	48°9,605'	69°8,275'	Sv	12	0	0	26,2	0	0	232	0	0	0	0	0	0	0	0	0
Pointe des Riou	26 G	23-06-2006	48°9,605'	69°8,153'	Vs	28	0	0	105,7	0	0	388	0	0	0	0	0	0	0	0	0
Pointe des Riou	27	24-06-2006	48°9,523'	69°9,382'	Sv	0	0	0	0	0	0	44	0	4	0	0	0	8	4	0	0
Pointe des Riou	28	24-06-2006	48°9,523'	69°9,261'	Sg	0	0	0	0	0	0	24	0	0	0	0	0	4	0	0	0
Pointe des Riou	29	24-06-2006	48°9,523'	69°9,139'	Sv	0	0	0	0	0	0	16	0	0	0	0	0	0	0	0	0
Pointe des Riou	30	25-06-2006	48°9,523'	69°9,014'	Sv	0	0	0	0	0	0	44	0	0	0	0	0	4	0	0	0
Pointe des Riou	31	25-06-2006	48°9,523'	69°8,891'	S	0	0	0	0	0	0	76	0	0	0	0	0	8	0	0	0
Pointe des Riou	32	25-06-2006	48°9,523'	69°8,768'	S	0	0	0	0	0	0	108	0	0	0	0	0	0	0	0	0
Pointe des Riou	33	25-06-2006	48°9,523'	69°8,643'	Sv	0	0	0	0	0	0	44	0	0	0	0	0	0	0	0	0
Pointe des Riou	34 G	25-06-2006	48°9,523'	69°8,520'	Sv	20	4	0	107,0	75,7	0	380	0	0	0	0	0	8	0	0	0
Pointe des Riou	35 G	25-06-2006	48°9,523'	69°8,396'	Sv	0	0	0	0	0	0	172	0	0	0	0	0	8	0	0	0
Pointe des Riou	36 G	23-06-2006	48°9,523'	69°8,275'	Sv	4	0	0	1,4	0	0	144	0	0	0	0	0	0	0	0	0

Annexe 3. (suite).

Site	Station[1]	Date	Latitude	Longitude	Séd[2]	Densité[3]			Rendement[4]			Macrobenthos[5]									
			(N)	(W)		11p	legal	juv	11p	legal	juv	Ma	Me	My	Bu	Li	Te	Po	St	Ps	Zo
Pointe des Riou	37	23-06-2006	48°9,523'	69°8,153'	V	0	0	0	0	0	0	268	0	0	0	0	0	0	0	0	0
Pointe des Riou	38	23-06-2006	48°9,523'	69°8,031'	Sv	0	0	0	0	0	0	4	0	0	0	0	0	12	0	0	0
Pointe des Riou	39	24-06-2006	48°9,444'	69°9,382'	Sv	0	0	0	0	0	0	112	0	0	0	0	0	16	0	0	0
Pointe des Riou	40	24-06-2006	48°9,444'	69°9,261'	Sv	0	0	0	0	0	0	4	0	0	0	0	0	0	0	0	0
Pointe des Riou	41	24-06-2006	48°9,444'	69°9,139'	Sv	0	0	0	0	0	0	8	0	0	0	0	0	0	0	0	0
Pointe des Riou	42 G	24-06-2006	48°9,444'	69°9,014'	Sv	4	0	0	8,7	0	0	72	0	0	0	0	0	0	0	0	0
Pointe des Riou	43 G	25-06-2006	48°9,444'	69°8,892'	Sv	32	4	0	205,8	84,8	0	384	0	0	0	0	0	8	0	0	0
Pointe des Riou	44 G	25-06-2006	48°9,444'	69°8,767'	Sv	8	0	0	46,6	0	0	396	0	0	0	0	0	12	0	0	0
Pointe des Riou	45 G	25-06-2006	48°9,444'	69°8,643'	Sv	4	0	0	32,0	0	0	32	0	0	0	0	0	8	0	0	0
Pointe des Riou	46 G	23-06-2006	48°9,444'	69°8,520'	Sv	8	0	0	11,3	0	0	536	0	0	0	0	0	4	0	0	0
Pointe des Riou	47 G	23-06-2006	48°9,444'	69°8,396'	Sv	32	0	0	99,4	0	0	464	0	4	0	0	0	4	0	0	0
Pointe des Riou	48 G	23-06-2006	48°9,444'	69°8,274'	Sv	4	0	0	13,4	0	0	152	0	0	0	0	0	0	0	0	0
Pointe des Riou	49 G	23-06-2006	48°9,444'	69°8,153'	Vs	12	0	0	21,3	0	0	128	0	0	0	0	0	0	0	0	0
Pointe des Riou	50	23-06-2006	48°9,444'	69°8,030'	Sv	0	0	0	0	0	0	96	0	0	0	0	0	0	0	0	15
Pointe des Riou	51	24-06-2006	48°9,363'	69°9,382'	Sv	0	0	0	0	0	0	112	0	0	0	0	0	8	0	0	0
Pointe des Riou	52	24-06-2006	48°9,363'	69°9,260'	Sv	0	0	0	0	0	0	12	0	0	0	0	0	20	0	0	0
Pointe des Riou	53 G	24-06-2006	48°9,363'	69°9,139'	Sg	4	0	0	59,5	0	0	16	0	0	0	0	0	4	0	0	0
Pointe des Riou	54 G	24-06-2006	48°9,363'	69°9,014'	Sg	16	4	0	77,7	63,3	0	288	0	16	0	0	0	12	0	4	0
Pointe des Riou	55 G	25-06-2006	48°9,363'	69°8,892'	Sv	20	0	0	106,6	0	0	584	0	0	0	4	0	12	0	0	0
Pointe des Riou	56 G	25-06-2006	48°9,363'	69°8,768'	Sv	24	0	0	56,4	0	0	684	0	0	0	0	0	8	0	0	0
Pointe des Riou	57 G	25-06-2006	48°9,363'	69°8,642'	Sv	8	0	0	16,8	0	0	380	0	4	0	0	0	4	0	0	0
Pointe des Riou	58 G	23-06-2006	48°9,363'	69°8,521'	Vs	16	0	0	18,0	0	0	264	0	4	0	0	0	4	0	0	0
Pointe des Riou	59 G	23-06-2006	48°9,363'	69°8,396'	Sv	44	0	0	89,1	0	0	396	0	0	0	0	0	0	0	0	0
Pointe des Riou	60 G	23-06-2006	48°9,363'	69°8,274'	Sv	36	0	0	76,1	0	0	576	0	0	0	0	0	0	0	0	0
Pointe des Riou	61	23-06-2006	48°9,363'	69°8,152'	Sv	0	0	0	0	0	0	256	0	0	0	0	0	0	0	0	0
Pointe des Riou	62	23-06-2006	48°9,363'	69°8,031'	Sg	0	0	0	0	0	0	148	0	0	0	0	0	8	0	0	15
Pointe des Riou	63	24-06-2006	48°9,282'	69°9,504'	Sv	0	0	0	0	0	0	72	0	0	0	0	0	8	0	0	0
Pointe des Riou	64	24-06-2006	48°9,282'	69°9,382'	Sv	0	0	0	0	0	0	32	0	0	0	0	0	12	0	0	0
Pointe des Riou	65	24-06-2006	48°9,282'	69°9,260'	Sg	0	0	0	0	0	0	152	0	0	0	0	0	0	0	0	0
Pointe des Riou	66 G	24-06-2006	48°9,282'	69°9,138'	Sv	4	0	0	12,1	0	0	52	0	4	0	0	0	0	0	0	0
Pointe des Riou	67 G	24-06-2006	48°9,282'	69°9,014'	Sv	8	0	0	86,9	0	0	448	0	0	0	0	0	8	0	0	0
Pointe des Riou	68 G	25-06-2006	48°9,282'	69°8,891'	Sg	16	0	0	93,2	0	0	84	0	4	0	0	0	32	0	0	0
Pointe des Riou	69 G	25-06-2006	48°9,282'	69°8,767'	Sv	24	0	0	85,7	0	0	592	0	8	0	0	0	8	0	0	0
Pointe des Riou	70 G	23-06-2006	48°9,282'	69°8,642'	Sg	16	0	0	71,8	0	0	500	0	4	0	0	0	0	0	0	0
Pointe des Riou	71 G	23-06-2006	48°9,282'	69°8,520'	M	28	0	0	49,3	0	0	60	0	0	0	0	0	0	0	0	0
Pointe des Riou	72 G	23-06-2006	48°9,282'	69°8,396'	Sv	80	0	0	189,9	0	0	84	0	0	0	0	0	0	0	0	0

Annexe 3. (suite).

Site	Station[1]	Date	Latitude	Longitude	Séd[2]	Densité[3]			Rendement[4]			Macrobenthos[5]									
			(N)	(W)		11p	legal	juv	11p	legal	juv	Ma	Me	My	Bu	Li	Te	Po	St	Ps	Zo
Pointe des Riou	73 G	23-06-2006	48°9,282'	69°8,274'	Sv	16	0	0	41,2	0	0	212	0	0	0	0	0	4	0	0	0
Pointe des Riou	74	23-06-2006	48°9,282'	69°8,152'	Sv	0	0	0	0	0	0	168	0	0	0	0	0	0	0	0	0
Pointe des Riou	75	24-06-2006	48°9,200'	69°9,503'	Sg	0	0	0	0	0	0	192	0	0	0	0	0	12	0	0	0
Pointe des Riou	76 G	24-06-2006	48°9,200'	69°9,381'	Sv	4	0	0	3,4	0	0	564	0	0	0	0	0	12	0	0	0
Pointe des Riou	77	24-06-2006	48°9,200'	69°9,260'	S	0	0	0	0	0	0	124	0	0	0	0	0	4	0	0	0
Pointe des Riou	78 G	24-06-2006	48°9,200'	69°9,013'	Sv	8	4	0	92,0	75,7	0	468	0	0	0	0	0	20	0	0	0
Pointe des Riou	79	24-06-2006	48°9,200'	69°8,892'	Sv	0	0	0	0	0	0	44	0	0	0	0	0	4	0	0	0
Pointe des Riou	80 G	24-06-2006	48°9,200'	69°8,767'	M	16	4	0	92,0	75,7	0	628	0	0	0	0	0	4	0	0	0
Pointe des Riou	81 G	23-06-2006	48°9,200'	69°8,642'	Sv	20	0	0	108,4	0	0	468	0	0	0	0	0	8	0	0	0
Pointe des Riou	82 G	23-06-2006	48°9,200'	69°8,520'	Sv	12	0	0	81,5	0	0	364	0	0	0	0	0	0	0	0	0
Pointe des Riou	83 G	23-06-2006	48°9,200'	69°8,395'	M	16	0	0	48,7	0	0	12	0	0	0	0	0	0	0	0	0
Pointe des Riou	84	23-06-2006	48°9,200'	69°8,274'	Sg	0	0	0	0	0	0	44	0	0	0	0	0	0	0	0	25
Pointe des Riou	85	24-06-2006	48°9,118'	69°9,503'	S	0	0	0	0	0	0	156	0	48	0	4	0	0	0	0	0
Pointe des Riou	86 G	24-06-2006	48°9,118'	69°9,381'	Sv	8	8	0	189,9	189,9	0	332	0	0	0	0	0	24	0	0	0
Pointe des Riou	87 G	24-06-2006	48°9,118'	69°9,260'	Sg	4	4	0	63,3	63,3	0	344	0	0	0	0	0	24	0	0	0
Pointe des Riou	88 G	24-06-2006	48°9,118'	69°9,138'	Sv	4	4	0	193,9	193,9	0	196	0	0	0	0	0	12	0	0	0
Pointe des Riou	89 G	24-06-2006	48°9,118'	69°9,013'	Sg	4	0	0	23,3	0	0	208	0	0	0	0	0	32	0	0	0
Pointe des Riou	90 G	24-06-2006	48°9,118'	69°8,891'	Sg	12	0	0	65,6	0	0	496	0	0	0	0	0	0	0	0	0
Pointe des Riou	91 G	24-06-2006	48°9,037'	69°9,503'	Sv	4	0	0	13,4	0	0	248	0	8	0	4	0	16	0	0	0
Pointe des Riou	92 G	24-06-2006	48°9,037'	69°9,381'	Sv	4	0	0	5,3	0	0	232	0	0	0	0	0	0	0	0	0
Pointe des Riou	93 G	24-06-2006	48°9,037'	69°9,259'	Sv	4	4	0	122,4	122,4	0	64	0	0	0	0	0	20	0	0	0
Pointe des Riou	94	24-06-2006	48°9,037'	69°9,138'	Sv	0	0	0	0	0	0	336	0	0	0	0	0	4	0	0	0
Pointe des Riou	95 G	24-06-2006	48°9,037'	69°9,013'	Sv	8	0	0	25,0	0	0	632	0	0	0	0	0	12	0	0	0
Pointe des Riou	96	24-06-2006	48°8,955'	69°9,503'	Sv	0	0	0	0	0	0	452	0	0	0	0	0	0	0	0	0
Pointe des Riou	97	24-06-2006	48°8,955'	69°9,381'	S	0	0	0	0	0	0	540	0	4	0	0	0	4	0	0	0
Pointe des Riou	98	24-06-2006	48°8,955'	69°9,259'	Sv	0	0	0	0	0	0	268	0	0	0	0	0	20	0	0	0
Pointe des Riou	99 G	24-06-2006	48°8,955'	69°9,138'	Vs	4	0	0	8,7	0	0	36	0	0	0	0	0	12	0	0	0
Rimouski	1 G	13/08/2006	48°28,474'	68°33,286'	Sv	20	4	0	148,5	67,2	0	144	0	0	0	0	0	8	0	0	0
Rimouski	2	13/08/2006	48°28,379'	68°33,570'		0	0	0	0	0	0	0	0	0	0	0	0	0	0	0	0
Rimouski	3 G	13/08/2006	48°28,377'	68°33,429'	Sv	64	0	4	128,7	0	0,4	404	0	48	0	0	0	4	0	0	0
Rimouski	4 G	13/08/2006	48°28,377'	68°33,287'	S	24	0	0	132,2	0	0	428	0	132	0	0	0	12	0	0	0
Rimouski	5	13/08/2006	48°28,287'	68°33,715'	R	0	0	0	0	0	0	0	0	0	0	0	0	0	0	0	0
Rimouski	6 G	13/08/2006	48°28,285'	68°33,571'	Sv	112	0	8	312,6	0	0,9	416	0	20	0	0	0	16	0	0	0
Rimouski	7 G	13/08/2006	48°28,286'	68°33,430'	S	8	4	0	95,7	94,7	0	168	0	24	0	0	0	24	0	0	0
Rimouski	8 G	13/08/2006	48°28,284'	68°33,287'	S	16	8	0	362,6	292,8	0	440	0	8	0	0	0	32	0	0	0
Rimouski	9 G	13/08/2006	48°28,284'	68°33,143'	Sg	44	16	0	602,5	339,7	0	1080	0	36	0	0	0	60	0	0	0

Annexe 3. (suite).

Site	Station[1]	Date	Latitude	Longitude	Séd[2]	Densité[3]			Rendement[4]			Macrobenthos[5]									
			(N)	(W)		11p	legal	juv	11p	legal	juv	Ma	Me	My	Bu	Li	Te	Po	St	Ps	Zo
Rimouski	10	13/08/2006	48°28,191'	68°33,998'	V	0	0	0	0	0	0	0	0	0	0	0	0	0	0	0	0
Rimouski	11 G	13/08/2006	48°28,190'	68°33,859'	V	36	0	0	27,8	0	0	504	0	0	0	0	0	0	0	0	0
Rimouski	12 G	13/08/2006	48°28,190'	68°33,716'	Sv	172	0	0	147,3	0	0	572	0	44	0	0	0	12	0	0	0
Rimouski	13 G	13/08/2006	48°28,189'	68°33,573'	S	92	4	0	516,8	94,7	0	384	0	64	0	0	0	8	0	0	0
Rimouski	14 G	13/08/2006	48°28,189'	68°33,431'	S	60	0	0	275,2	0	0	640	0	96	0	0	0	16	0	0	0
Rimouski	15 G	13/08/2006	48°28,188'	68°33,288'	Sg	36	12	4	544,1	314,5	0,4	544	0	52	0	0	0	8	0	0	0
Rimouski	16 G	13/08/2006	48°28,189'	68°33,142'	Sg	36	12	0	496,4	312,0	0	692	4	364	4	0	0	28	0	0	0
Rimouski	17 G	13/08/2006	48°28,096'	68°33,999'	Sv	16	0	0	6,0	0	0	576	0	0	0	0	0	0	0	0	0
Rimouski	18 G	13/08/2006	48°28,095'	68°33,859'	Vs	136	0	24	71,8	0	2,4	824	0	16	0	0	0	8	0	0	0
Rimouski	19 G	11/08/2006	48°28,095'	68°33,717'	Sv	64	4	0	497,9	105,3	0	216	0	60	0	0	0	52	0	0	0
Rimouski	20 G	11/08/2006	48°28,095'	68°33,573'	Sv	48	8	0	524,9	297,9	0	388	0	76	0	0	0	28	0	0	0
Rimouski	21 G	13/08/2006	48°28,094'	68°33,432'	Sg	116	12	0	674,3	214,1	0	972	4	16	0	0	0	32	0	0	0
Rimouski	22 G	13/08/2006	48°28,093'	68°33,289'	Sg	76	24	0	1048,6	548,5	0	460	0	8	0	0	0	24	0	0	0
Rimouski	23 G	10/08/2006	48°28,093'	68°33,143'	Sg	28	16	0	510,4	427,2	0	580	0	92	0	0	0	4	0	0	0
Rimouski	24	10/08/2006	48°28,093'	68°33,002'	S	0	0	0	0	0	0	88	0	0	0	0	0	0	0	0	0
Rimouski	25 G	11/08/2006	48°28,002'	68°34,144'	V	28	0	0	36,5	0	0	300	0	0	0	0	0	0	0	0	0
Rimouski	26 G	11/08/2006	48°28,001'	68°33,999'	V	100	0	0	191,0	0	0	356	0	8	0	0	0	0	0	0	0
Rimouski	27 G	11/08/2006	48°28,001'	68°33,860'	Sv	132	0	4	229,2	0	0,2	412	0	4	0	0	0	4	0	0	0
Rimouski	28 G	11/08/2006	48°28,000'	68°33,718'	Sg	68	4	0	407,4	89,6	0	444	0	0	0	0	0	16	0	0	0
Rimouski	29 G	11/08/2006	48°28,000'	68°33,573'	Sv	24	4	0	106,4	75,6	0	304	0	4	0	0	0	56	0	0	0
Rimouski	30 G	13/08/2006	48°27,999'	68°33,432'	S	108	4	0	408,0	84,8	0	548	0	68	0	0	0	12	0	0	0
Rimouski	31 G	10/08/2006	48°27,999'	68°33,290'	Sg	120	12	0	842,6	245,4	0	708	0	84	0	0	0	12	0	0	0
Rimouski	32 G	10/08/2006	48°27,998'	68°33,144'	S	20	4	0	171,3	89,6	0	56	0	0	0	0	0	4	0	0	0
Rimouski	33 G	10/08/2006	48°27,997'	68°33,003'	Sg	16	4	0	273,5	122,7	0	28	4	4	0	0	0	8	0	0	0
Rimouski	34 G	10/08/2006	48°27,997'	68°32,865'	S	20	0	0	157,8	0	0	268	0	0	0	0	0	0	0	0	0
Rimouski	35	10/08/2006	48°27,997'	68°32,722'	Sg	0	0	0	0	0	0	36	8	0	0	0	0	8	0	0	0
Rimouski	36 G	11/08/2006	48°27,908'	68°34,144'	Sv	88	4	4	242,1	71,3	0,3	556	0	8	0	0	0	4	0	0	0
Rimouski	37 G	13/08/2006	48°27,908'	68°34,000'	M	80	0	0	181,1	0	0	572	0	12	0	0	0	12	0	0	0
Rimouski	38 G	11/08/2006	48°27,907'	68°33,861'	Sv	40	0	0	118,7	0	0	332	0	8	0	0	0	24	0	0	0
Rimouski	39 G	11/08/2006	48°27,906'	68°33,719'	Sg	92	8	0	458,2	171,2	0	224	0	36	0	0	0	20	0	0	0
Rimouski	40 G	13/08/2006	48°27,906'	68°33,574'	Sg	100	4	0	361,4	67,2	0	260	0	20	0	0	0	20	0	0	0
Rimouski	41 G	13/08/2006	48°27,905'	68°33,433'	Sg	408	28	12	2370,9	557,9	1,2	600	0	8	0	0	0	20	0	0	0
Rimouski	42 G	10/08/2006	48°27,906'	68°33,291'	Sg	164	32	0	1738,2	644,2	0	300	4	64	0	0	0	16	0	0	0
Rimouski	43 G	10/08/2006	48°27,904'	68°33,145'	Sg	68	28	0	932,0	667,2	0	220	4	136	0	0	0	0	0	0	0
Rimouski	44 G	10/08/2006	48°27,904'	68°33,004'	S	16	12	0	521,8	473,0	0	80	0	0	0	0	0	8	0	0	0
Rimouski	45 G	10/08/2006	48°27,903'	68°32,865'	S	32	16	0	528,4	367,7	0	208	0	0	0	0	0	4	0	0	0

Annexe 3. (suite).

Site	Station[1]	Date	Latitude	Longitude	Séd[2]	Densité[3]			Rendement[4]			Macrobenthos[5]									
			(N)	(W)		11p	legal	juv	11p	legal	juv	Ma	Me	My	Bu	Li	Te	Po	St	Ps	Zo
Rimouski	46 G	10/08/2006	48°27,903'	68°32,722'	Sg	8	8	0	388,4	388,4	0	12	0	0	0	0	0	12	0	0	0
Rimouski	47 G	11/08/2006	48°27,814'	68°34,145'	Sv	44	0	0	121,3	0	0	268	0	4	0	0	0	72	0	0	0
Rimouski	48 G	11/08/2006	48°27,815'	68°34,001'	Sv	72	0	8	212,6	0	0,8	516	0	0	0	0	0	40	0	0	0
Rimouski	49 G	11/08/2006	48°27,814'	68°33,862'	Sg	124	4	0	380,4	94,7	0	432	0	0	0	0	0	4	0	0	0
Rimouski	50 G	11/08/2006	48°27,814'	68°33,719'	Sg	152	0	4	338,2	0	0,3	728	0	56	0	0	0	8	0	0	0
Rimouski	51 G	13/08/2006	48°27,813'	68°33,575'	Sg	408	8	12	1176,0	161,8	1,2	756	0	76	0	0	0	16	0	0	0
Rimouski	52 G	13/08/2006	48°27,814'	68°33,434'	Sg	256	12	8	1370,5	325,6	0,9	1128	0	304	0	0	0	20	0	0	0
Rimouski	53 G	10/08/2006	48°27,813'	68°33,291'	Sg	48	0	0	387,5	0	0	320	0	20	0	0	0	8	0	0	0
Rimouski	54 G	10/08/2006	48°27,812'	68°33,146'	Sg	56	8	0	557,3	227,2	0	180	4	20	0	0	0	0	0	0	0
Rimouski	55 G	10/08/2006	48°27,811'	68°33,005'	S	44	32	0	1108,7	980,7	0	84	0	0	0	0	0	4	0	0	0
Rimouski	56 G	10/08/2006	48°27,811'	68°32,865'	S	4	4	0	170,7	170,7	0	448	0	0	0	0	0	0	0	0	0
Rimouski	57 G	10/08/2006	48°27,810'	68°32,723'	S	20	20	0	905,3	905,3	0	24	0	8	0	0	0	8	0	0	0
Rimouski	58 G	11/08/2006	48°27,721'	68°34,146'	Vs	96	0	0	221,6	0	0	748	0	12	0	0	0	8	0	0	0
Rimouski	59 G	11/08/2006	48°27,720'	68°34,002'	Sg	116	0	4	170,2	0	0,4	576	0	8	0	0	4	8	0	0	0
Rimouski	60 G	11/08/2006	48°27,719'	68°33,863'	Sg	68	0	8	144,4	0	0,7	600	0	40	0	0	0	12	0	0	0
Rimouski	61 G	11/08/2006	48°27,718'	68°33,720'	Sg	80	0	4	138,9	0	0,2	316	0	56	0	0	0	16	0	0	0
Rimouski	62 G	12/08/2006	48°27,719'	68°33,576'	M	84	0	0	172,0	0	0	576	0	100	0	0	0	0	0	0	0
Rimouski	63 G	10/08/2006	48°27,717'	68°33,435'	Sg	92	0	0	280,3	0	0	732	0	8	0	0	0	12	0	0	0
Rimouski	64 G	10/08/2006	48°27,716'	68°33,292'	Sg	220	20	0	1569,1	394,1	0	268	0	40	0	0	0	0	0	0	0
Rimouski	65 G	10/08/2006	48°27,716'	68°33,146'	Sg	128	16	0	1266,6	364,3	0	108	0	0	0	0	0	8	0	0	0
Rimouski	66 G	10/08/2006	48°27,715'	68°33,006'	S	36	16	0	592,7	409,1	0	76	0	4	0	0	0	12	0	0	0
Rimouski	67 G	10/08/2006	48°27,715'	68°32,866'	S	8	4	0	147,8	110,9	0	0	0	0	0	0	0	0	0	0	0
Rimouski	68 G	10/08/2006	48°27,714'	68°32,724'	Sg	64	36	4	1269,0	1176,3	0,4	112	0	4	0	0	0	8	0	0	0
Rimouski	69 G	11/08/2006	48°27,627'	68°34,147'	M	100	12	0	692,8	227,6	0	784	0	20	0	0	0	32	0	0	0
Rimouski	70 G	11/08/2006	48°27,625'	68°34,003'	Sg	96	8	0	470,3	151,4	0	392	0	36	0	0	0	12	0	0	0
Rimouski	71 G	11/08/2006	48°27,626'	68°33,864'	Sg	96	12	0	656,6	242,7	0	512	0	24	0	0	0	28	0	0	0
Rimouski	72 G	11/08/2006	48°27,627'	68°33,721'	Sv	112	4	0	404,8	75,6	0	932	0	188	0	0	0	4	0	0	0
Rimouski	73 G	12/08/2006	48°27,625'	68°33,576'	M	108	0	4	253,4	0	0,4	544	0	132	0	0	0	12	0	0	0
Rimouski	74 G	10/08/2006	48°27,626'	68°33,436'	Sg	60	16	0	671,2	392,1	0	252	0	32	0	0	0	8	0	0	0
Rimouski	75 G	10/08/2006	48°27,625'	68°33,293'	Sg	44	0	4	180,9	0	0,4	184	0	0	0	0	0	8	0	0	0
Rimouski	76 G	10/08/2006	48°27,624'	68°33,147'	Sg	40	24	0	628,4	482,7	0	84	0	8	0	0	0	0	0	0	0
Rimouski	77 G	10/08/2006	48°27,623'	68°33,006'	Sg	0	0	0	0	0	0	116	0	20	0	0	0	0	0	0	0
Rimouski	78 G	10/08/2006	48°27,622'	68°32,867'	Sg	8	4	0	169,1	142,0	0	36	0	12	0	0	0	12	0	0	0
Rimouski	79 G	10/08/2006	48°27,621'	68°32,724'	Sv	208	52	0	2116,9	1162,9	0	280	0	16	0	0	0	4	0	0	0
Rimouski	80 G	11/08/2006	48°27,531'	68°34,148'	V	68	0	0	229,9	0	0	340	0	4	0	0	0	12	0	0	0
Rimouski	81 G	11/08/2006	48°27,531'	68°34,003'	M	72	0	0	426,2	0	0	660	0	64	0	0	0	12	0	0	0

Annexe 3. (suite).

Site	Station[1]	Date	Latitude (N)	Longitude (W)	Séd[2]	Densité[3]			Rendement[4]			Macrobenthos[5]									
						11p	legal	juv	11p	legal	juv	Ma	Me	My	Bu	Li	Te	Po	St	Ps	Zo
Rimouski	82 G	12/08/2006	48°27,530'	68°33,864'	Sv	64	4	8	280,9	84,8	0,8	788	0	324	0	0	0	16	0	0	0
Rimouski	83 G	11/08/2006	48°27,531'	68°33,722'	Sv	124	12	4	639,5	232,1	0,4	808	0	20	0	0	4	0	0	0	0
Rimouski	84 G	12/08/2006	48°27,529'	68°33,577'	Sg	100	20	0	757,3	361,4	0	304	0	4	0	0	0	28	0	0	0
Rimouski	85 G	12/08/2006	48°27,527'	68°33,437'	Sv	24	4	0	187,3	71,3	0	44	0	48	0	0	0	0	0	0	0
Rimouski	86 G	10/08/2006	48°27,529'	68°33,294'	Sg	20	8	0	213,6	147,3	0	12	0	4	0	0	0	8	0	0	0
Rimouski	87 G	10/08/2006	48°27,528'	68°33,148'	Sg	4	0	0	9,4	0	0	152	0	4	0	0	0	8	0	0	0
Rimouski	88 G	10/08/2006	48°27,528'	68°33,007'	Sg	164	0	0	1128,9	0	0	172	0	0	0	0	0	0	0	0	0
Rimouski	89 G	10/08/2006	48°27,527'	68°32,868'	V	24	0	0	96,3	0	0	12	0	16	0	0	0	0	0	0	0
Rimouski	90	10/08/2006	48°27,527'	68°32,725'	V	0	0	0	0	0	0	0	0	40	0	0	0	0	0	0	100
Rimouski	91	11/08/2006	48°27,436'	68°34,004'	V	0	0	0	0	0	0	112	0	0	0	0	0	0	0	0	0
Rimouski	92 G	12/08/2006	48°27,435'	68°33,865'	V	56	0	0	152,3	0	0	784	0	84	0	0	0	28	0	0	0
Rimouski	93 G	11/08/2006	48°27,435'	68°33,723'	Sv	52	8	0	421,6	209,2	0	316	0	36	0	0	0	40	0	0	0
Rimouski	94 G	12/08/2006	48°27,434'	68°33,578'	Sv	68	4	0	544,0	80,1	0	100	0	40	0	0	0	4	0	0	0
Rimouski	95 G	12/08/2006	48°27,434'	68°33,437'	Sg	8	0	0	28,3	0	0	20	0	0	0	0	0	4	0	0	0
Rimouski	96 G	12/08/2006	48°27,433'	68°33,295'	Sg	40	0	0	198,9	0	0	56	0	8	0	0	0	0	0	0	0
Rimouski	97 G	10/08/2006	48°27,432'	68°33,149'	Sv	8	0	0	31,9	0	0	204	0	8	0	0	0	0	0	0	0
Rimouski	98 G	10/08/2006	48°27,433'	68°33,008'	Sv	28	16	0	451,4	347,1	0	108	0	8	0	0	0	16	0	0	0
Rimouski	99 G	10/08/2006	48°27,431'	68°32,869'	V	32	0	0	67,1	0	0	152	0	0	0	0	0	0	0	0	0
Rimouski	100 G	11/08/2006	48°27,341'	68°34,005'	V	32	4	0	237,4	75,6	0	632	0	68	0	0	0	8	0	0	0
Rimouski	101 G	12/08/2006	48°27,340'	68°33,866'	V	64	0	4	167,9	0	0,4	572	0	0	0	0	0	0	0	0	0
Rimouski	102 G	11/08/2006	48°27,340'	68°33,723'	Sv	136	0	12	282,6	0	1,2	432	0	0	0	0	0	8	0	0	0
Rimouski	103 G	12/08/2006	48°27,339'	68°33,579'	Sv	20	0	0	50,6	0	0	100	0	0	0	0	0	12	0	0	0
Rimouski	104 G	12/08/2006	48°27,339'	68°33,438'	Sv	148	0	4	405,9	0	0,4	96	0	0	0	0	0	0	0	0	0
Rimouski	105 G	12/08/2006	48°27,338'	68°33,296'	Sg	28	0	0	106,2	0	0	36	0	0	0	0	0	12	0	0	0
Rimouski	106 G	12/08/2006	48°27,339'	68°33,150'	V	76	0	0	135,4	0	0	300	0	4	0	0	0	0	0	0	0
Rimouski	107 G	10/08/2006	48°27,337'	68°33,009'	Sv	16	0	0	13,1	0	0	92	0	232	0	0	0	0	0	0	0
Rimouski	108 G	10/08/2006	48°27,336'	68°32,870'	Sv	64	0	4	110,9	0	0,4	292	0	0	0	0	0	0	0	0	50
Rimouski	109 G	11/08/2006	48°27,246'	68°34,006'	Vs	44	0	0	61,6	0	0	380	0	8	0	0	0	4	0	0	0
Rimouski	110 G	12/08/2006	48°27,246'	68°33,867'	Vs	104	0	4	207,6	0	0,2	228	0	80	0	0	0	4	0	0	0
Rimouski	111 G	11/08/2006	48°27,244'	68°33,724'	Vs	252	0	0	683,1	0	0	312	0	0	0	0	0	8	0	0	0
Rimouski	112 G	12/08/2006	48°27,244'	68°33,580'	S	132	0	0	627,9	0	0	80	0	8	0	0	0	16	0	0	0
Rimouski	113 G	12/08/2006	48°27,244'	68°33,439'	Sv	24	0	0	39,8	0	0	140	0	0	0	0	0	0	0	0	0
Rimouski	114 G	12/08/2006	48°27,243'	68°33,297'	M	40	0	0	154,9	0	0	224	0	8	0	0	0	0	0	0	0
Rimouski	115 G	12/08/2006	48°27,243'	68°33,150'	V	164	0	0	445,0	0	0	488	0	0	0	0	0	4	0	0	0
Rimouski	116 G	12/08/2006	48°27,242'	68°33,011'	V	16	0	0	27,5	0	0	228	0	4	0	0	0	0	0	0	0
Rimouski	117 G	11/08/2006	48°27,156'	68°34,292'	Vs	172	0	4	390,3	0	0,4	248	0	84	0	0	0	0	0	0	0

Annexe 3. (suite).

Site	Station[1]	Date	Latitude	Longitude	Séd[2]	Densité[3]			Rendement[4]			Macrobenthos[5]									
			(N)	(W)		11p	legal	juv	11p	legal	juv	Ma	Me	My	Bu	Li	Te	Po	St	Ps	Zo
Rimouski	118 G	11/08/2006	48°27,154'	68°34,158'	V	256	0	4	438,5	0	0,3	452	0	28	0	0	0	0	0	0	0
Rimouski	119 G	12/08/2006	48°27,155'	68°34,007'	Sg	144	0	12	371,7	0	1,0	180	0	60	0	0	0	0	0	0	0
Rimouski	120 G	12/08/2006	48°27,153'	68°33,867'	Sv	260	0	0	804,0	0	0	220	0	4	0	0	0	8	0	0	0
Rimouski	121 G	12/08/2006	48°27,152'	68°33,725'	Vs	48	0	0	105,4	0	0	136	0	24	0	0	0	4	0	0	0
Rimouski	122 G	12/08/2006	48°27,152'	68°33,581'	Sv	84	0	0	112,2	0	0	168	0	0	0	0	0	0	0	0	0
Rimouski	123 G	12/08/2006	48°27,150'	68°33,440'	Sv	48	0	4	52,7	0	0,4	180	0	0	0	0	0	0	0	0	0
Rimouski	124 G	12/08/2006	48°27,149'	68°33,298'	Sv	16	0	0	17,6	0	0	412	0	0	0	0	0	0	0	0	0
Rimouski	125 G	12/08/2006	48°27,150'	68°33,153'	V	56	0	0	71,3	0	0	572	0	4	0	0	0	0	0	0	0
Rimouski	126 G	12/08/2006	48°27,150'	68°33,012'	V	20	0	0	82,0	0	0	32	0	0	0	0	0	0	0	0	0
Rimouski	127 G	11/08/2006	48°27,059'	68°34,435'	Vs	220	0	12	567,2	0	1,3	1264	0	36	0	0	0	24	0	0	0
Rimouski	128 G	11/08/2006	48°27,059'	68°34,293'	Vs	352	8	0	1126,3	170,3	0	328	0	28	0	0	0	4	0	0	0
Rimouski	129 G	11/08/2006	48°27,059'	68°34,152'	Vs	280	8	4	1114,0	138,5	0,4	436	0	84	0	0	0	4	0	0	0
Rimouski	130 G	11/08/2006	48°27,057'	68°34,008'	Sv	176	0	0	234,8	0	0	188	0	20	0	0	0	8	0	0	0
Rimouski	131 G	12/08/2006	48°27,057'	68°33,868'	Sv	72	0	0	298,2	0	0	144	0	0	0	0	0	0	0	0	0
Rimouski	132 G	10/08/2006	48°27,057'	68°33,726'	Sg	48	0	0	73,7	0	0	336	0	0	0	0	0	0	0	0	0
Rimouski	133 G	10/08/2006	48°27,056'	68°33,582'	Sv	24	0	0	22,1	0	0	0	0	4	0	0	0	8	0	0	0
Rimouski	134 G	11/08/2006	48°26,968'	68°34,575'	Vs	284	0	4	640,6	0	0,4	656	0	4	0	0	0	4	0	0	0
Rimouski	135 G	11/08/2006	48°26,967'	68°34,436'	Vs	332	4	4	1526,1	94,7	0,4	60	0	12	0	0	0	0	0	0	0
Rimouski	136 G	11/08/2006	48°26,966'	68°34,293'	Sv	144	8	16	498,2	161,8	1,4	160	0	36	0	0	0	4	0	0	0
Rimouski	137 G	11/08/2006	48°26,965'	68°34,152'	Sv	72	0	0	113,6	0	0	548	0	0	0	0	0	0	0	0	0
Rimouski	138 G	12/08/2006	48°26,965'	68°34,008'	Sv	68	0	0	114,7	0	0	212	0	0	0	0	0	4	0	0	0
Rimouski	139 G	12/08/2006	48°26,964'	68°33,869'	Sv	76	0	0	147,8	0	0	360	0	0	0	0	0	4	0	0	0
Rimouski	140 G	10/08/2006	48°26,964'	68°33,726'	V	12	0	4	13,5	0	0,4	328	0	0	0	0	0	0	0	0	0
Rimouski	141 G	10/08/2006	48°26,963'	68°33,582'	Vs	16	0	0	12,0	0	0	36	0	8	0	0	0	0	0	0	0
Rimouski	142 G	10/08/2006	48°26,873'	68°34,720'	V	4	0	0	17,5	0	0	96	0	0	0	0	0	0	0	0	0
Rimouski	143 G	11/08/2006	48°26,872'	68°34,576'	V	24	0	0	16,2	0	0	728	0	0	0	0	0	0	0	0	0
Rimouski	144 G	11/08/2006	48°26,871'	68°34,437'	V	44	0	8	48,4	0	0,6	728	0	0	0	0	0	0	0	0	0
Rimouski	145 G	11/08/2006	48°26,872'	68°34,294'	V	24	0	0	17,6	0	0	376	0	0	0	0	0	0	0	0	0
Rimouski	146 G	12/08/2006	48°26,871'	68°34,153'	Sv	24	0	0	66,4	0	0	20	0	0	0	0	0	0	0	0	0
Rimouski	147 G	12/08/2006	48°26,870'	68°34,009'	V	12	0	0	55,8	0	0	152	0	0	0	0	0	4	0	0	0
Rimouski	148	12/08/2006	48°26,870'	68°33,870'	V	0	0	0	0	0	0	0	0	0	0	0	0	0	0	0	50
Rimouski	149 G	10/08/2006	48°26,870'	68°33,727'	V	4	0	0	2,3	0	0	204	0	0	0	0	0	0	0	0	10
Rimouski	150 G	11/08/2006	48°26,777'	68°34,721'	V	28	0	0	24,0	0	0	864	0	0	0	0	0	0	0	0	0
Rimouski	151 G	11/08/2006	48°26,776'	68°34,576'	V	12	0	0	26,7	0	0	352	0	0	0	0	0	0	0	0	0
Rimouski	152 G	10/08/2006	48°26,776'	68°34,437'	V	0	0	0	0	0	0	332	0	0	0	0	0	0	0	0	0
Rimouski	153 G	11/08/2006	48°26,775'	68°34,295'	V	4	0	0	7,4	0	0	536	0	0	0	0	0	0	0	0	0

Annexe 3. (suite).

Site	Station[1]	Date	Latitude (N)	Longitude (W)	Séd[2]	Densité[3]			Rendement[4]			Macrobenthos[5]									
						11p	legal	juv	11p	legal	juv	Ma	Me	My	Bu	Li	Te	Po	St	Ps	Zo
Rimouski	154	11/08/2006	48°26,775'	68°34,154'	V	0	0	0	0	0	0	368	0	0	0	0	0	0	0	0	0
Rimouski	155	12/08/2006	48°26,775'	68°34,010'	V	0	0	0	0	0	0	0	0	0	0	0	0	0	0	0	40
Rimouski	156	12/08/2006	48°26,774'	68°33,871'	V	0	0	0	0	0	0	0	0	0	0	0	0	0	0	0	60
Rimouski	157	10/08/2006	48°26,682'	68°34,577'	V	0	0	0	0	0	0	0	16	0	0	0	0	0	0	0	50
Rimouski	158 G	10/08/2006	48°26,682'	68°34,438'	V	8	0	0	5,6	0	0	4	0	0	0	0	0	0	0	0	30
Rimouski	159	11/08/2006	48°26,680'	68°34,296'	V	0	0	0	0	0	0	320	0	0	0	0	0	0	0	0	0
Capucins	1	14/06/2006	49°2,967'	66°51,203'	Sg	0	0	0	0	0	0	0	0	0	0	0	0	0	0	0	0
Capucins	2 G	14/06/2006	49°2,967'	66°51,141'	Sg	4	0	0	1,6	0	0	8	0	1044	0	0	0	0	0	0	0
Capucins	3	14/06/2006	49°2,965'	66°51,080'	Sg	0	0	0	0	0	0	0	4	196	0	0	0	0	0	0	0
Capucins	4 G	12/06/2006	49°2,963'	66°51,019'	Sg	8	0	0	39,5	0	0	0	8	732	0	0	0	0	0	0	0
Capucins	5 G	12/06/2006	49°2,962'	66°50,957'	Sg	112	4	0	211,0	84,2	0	332	0	8	0	0	0	0	0	0	0
Capucins	6 G	12/06/2006	49°2,962'	66°50,896'	Sg	52	0	0	57,8	0	0	144	0	20	0	0	0	0	0	0	0
Capucins	7 G	12/06/2006	49°2,960'	66°50,834'	Sg	80	0	0	252,4	0	0	76	0	40	0	0	0	0	0	0	0
Capucins	8 G	12/06/2006	49°2,960'	66°50,774'	Sg	32	0	0	93,9	0	0	204	0	8	0	0	0	0	0	0	0
Capucins	9 G	12/06/2006	49°2,958'	66°50,712'	Sv	68	0	4	79,9	0	0,4	188	0	0	0	0	0	0	0	0	2
Capucins	10 G	14/06/2006	49°2,927'	66°51,204'	V	20	4	4	80,3	74,9	0,2	408	0	208	0	0	0	4	0	0	0
Capucins	11 G	14/06/2006	49°2,925'	66°51,143'	Sg	8	4	0	127,9	99,6	0	4	0	44	0	0	0	0	0	0	0
Capucins	12	14/06/2006	49°2,925'	66°51,082'	S	0	0	0	0	0	0	0	4	1176	0	0	0	0	0	0	0
Capucins	13 G	12/06/2006	49°2,923'	66°51,021'	Sg	64	8	8	497,1	252,5	0,7	12	0	68	0	0	0	0	0	0	0
Capucins	14 G	13/06/2006	49°2,922'	66°50,959'	S	148	0	16	321,7	0	1,6	116	0	0	0	0	0	0	0	0	0
Capucins	15 G	13/06/2006	49°2,920'	66°50,898'	Sv	176	12	20	796,1	229,6	2,2	448	0	0	0	0	0	16	0	0	0
Capucins	16 G	13/06/2006	49°2,920'	66°50,836'	Sv	180	4	12	328,6	74,9	1,3	272	0	0	0	0	0	0	0	0	0
Capucins	17 G	13/06/2006	49°2,918'	66°50,775'	Sv	160	0	24	423,4	0	2,1	80	0	52	0	0	0	0	0	0	0
Capucins	18 G	13/06/2006	49°2,917'	66°50,714'	Sv	36	0	8	34,6	0	0,9	0	0	68	0	0	0	0	0	0	0
Capucins	19	12/06/2006	49°2,914'	66°50,652'	S	0	0	0	0	0	0	0	0	0	0	0	0	0	0	0	0
Capucins	20 G	14/06/2006	49°2,887'	66°51,206'	Sg	16	4	0	214,7	89,2	0	4	0	4	0	0	0	0	0	0	0
Capucins	21 G	14/06/2006	49°2,885'	66°51,145'	Sv	48	4	0	329,5	99,6	0	100	0	1112	0	0	0	4	0	0	0
Capucins	22 G	14/06/2006	49°2,883'	66°51,084'	Sv	64	0	0	536,6	0	0	28	0	8	0	0	0	0	0	0	0
Capucins	23 G	12/06/2006	49°2,882'	66°51,022'	Sv	36	8	0	215,2	159,7	0	28	0	52	0	0	0	8	0	0	0
Capucins	24 G	14/06/2006	49°2,882'	66°50,961'	Sv	72	40	0	1005,3	966,6	0	20	0	4	0	0	0	0	0	0	0
Capucins	25 G	14/06/2006	49°2,880'	66°50,900'	Sv	256	0	56	86,7	0	5,6	212	0	660	0	0	0	0	0	0	0
Capucins	26 G	14/06/2006	49°2,878'	66°50,838'	Sv	48	8	4	401,1	164,8	0,3	96	0	396	0	0	0	4	0	0	0
Capucins	27 G	14/06/2006	49°2,878'	66°50,777'	Sv	32	0	0	9,9	0	0	16	0	0	0	0	0	4	0	0	0
Capucins	28 G	13/06/2006	49°2,877'	66°50,716'	Sv	204	0	4	377,7	0	0,4	620	0	0	0	0	0	0	0	0	0
Capucins	29 G	13/06/2006	49°2,875'	66°50,654'	V	24	0	4	11,2	0	0,4	20	0	8	0	0	0	0	0	0	0
Capucins	30 G	12/06/2006	49°2,843'	66°51,147'	Sg	56	48	0	1865,5	1814,0	0	24	0	0	0	0	0	0	0	0	0

Annexe 3. (suite).

Site	Station[1]	Date	Latitude (N)	Longitude (W)	Séd[2]	Densité[3]			Rendement[4]			Macrobenthos[5]									
						11p	legal	juv	11p	legal	juv	Ma	Me	My	Bu	Li	Te	Po	St	Ps	Zo
Capucins	31 G	12/06/2006	49°2,843'	66°51,085'	S	12	0	8	9,4	0	0,9	0	0	0	0	4	0	16	0	0	0
Capucins	32 G	12/06/2006	49°2,842'	66°51,024'	Sv	184	40	4	1665,7	1111,2	0,4	60	0	40	0	0	0	4	0	0	0
Capucins	33 G	13/06/2006	49°2,840'	66°50,960'	Sv	136	24	8	917,1	520,2	0,8	60	0	0	0	0	0	0	0	0	0
Capucins	34 G	14/06/2006	49°2,838'	66°50,901'	Sv	60	0	8	233,8	0	0,8	56	0	8	0	0	0	0	0	0	0
Capucins	35 G	14/06/2006	49°2,838'	66°50,840'	Sv	128	4	0	478,7	89,2	0	288	0	0	0	0	0	0	0	0	0
Capucins	36 G	13/06/2006	49°2,837'	66°50,779'	Sv	104	0	24	96,8	0	2,5	268	0	0	0	0	0	0	0	0	0
Capucins	37 G	13/06/2006	49°2,837'	66°50,718'	V	28	0	0	55,1	0	0	44	0	8	0	0	0	4	0	0	0
Capucins	38 G	13/06/2006	49°2,835'	66°50,656'	V	28	0	0	24,8	0	0	124	0	0	0	0	0	0	0	0	0
Capucins	39 G	13/06/2006	49°2,833'	66°50,595'	V	20	0	0	43,1	0	0	324	0	0	0	0	0	0	0	0	0
Capucins	40 G	12/06/2006	49°2,805'	66°51,209'	Sv	80	8	4	439,5	210,4	0,4	100	0	0	0	0	0	20	0	0	0
Capucins	41 G	12/06/2006	49°2,803'	66°51,148'	Sv	192	120	16	4262,9	3962,5	1,5	120	0	0	0	0	0	0	0	0	0
Capucins	42 G	12/06/2006	49°2,803'	66°51,087'	Sv	0	0	0	0	0	0	4	0	0	0	0	0	0	0	0	0
Capucins	43 G	12/06/2006	49°2,802'	66°51,026'	Sv	48	16	0	503,1	369,7	0	4	0	0	0	0	0	0	0	0	0
Capucins	44 G	14/06/2006	49°2,800'	66°50,964'	Sv	72	20	0	814,1	587,6	0	68	0	4	0	0	0	0	0	0	0
Capucins	45 G	12/06/2006	49°2,798'	66°50,903'	Sv	152	16	0	1054,5	328,5	0	80	0	0	0	0	0	0	0	0	0
Capucins	46 G	14/06/2006	49°2,798'	66°50,841'	Sv	292	20	0	1183,7	487,8	0	68	0	0	0	0	0	0	0	0	0
Capucins	47 G	14/06/2006	49°2,797'	66°50,781'	Sv	176	0	4	372,5	0	0,4	180	0	4	0	0	0	0	0	0	0
Capucins	48 G	13/06/2006	49°2,795'	66°50,719'	Sv	68	0	0	56,8	0	0	212	0	0	0	0	0	0	0	0	0
Capucins	49 G	13/06/2006	49°2,795'	66°50,658'	Vs	24	0	0	54,5	0	0	88	0	0	0	0	0	0	0	0	0
Capucins	50	13/06/2006	49°2,793'	66°50,597'	V	0	0	0	0	0	0	88	0	0	0	0	0	0	0	0	0
Capucins	51 G	12/06/2006	49°2,765'	66°51,211'	Sv	392	28	60	1460,3	657,3	5,5	264	0	0	0	0	0	0	0	0	0
Capucins	52 G	12/06/2006	49°2,763'	66°51,150'	Sv	460	80	8	4237,5	1713,1	0,9	476	0	0	0	0	0	0	0	0	0
Capucins	53 G	12/06/2006	49°2,762'	66°51,028'	Sv	140	12	0	543,8	262,7	0	200	0	0	0	0	0	0	0	0	0
Capucins	54 G	12/06/2006	49°2,760'	66°50,966'	Sv	136	0	4	398,7	0	0,4	152	0	4	0	0	0	0	0	0	0
Capucins	55 G	12/06/2006	49°2,758'	66°50,905'	Sv	232	0	8	818,1	0	0,8	108	0	0	0	0	0	0	0	0	0
Capucins	56 G	13/06/2006	49°2,758'	66°50,843'	Sv	168	0	4	366,9	0	0,3	68	0	12	0	0	0	0	0	0	0
Capucins	57 G	13/06/2006	49°2,757'	66°50,782'	Sv	204	0	0	308,3	0	0	408	0	0	0	0	0	4	0	0	0
Capucins	58 G	13/06/2006	49°2,755'	66°50,721'	Vs	64	0	0	151,7	0	0	208	0	0	0	0	0	4	0	0	0
Capucins	59 G	13/06/2006	49°2,755'	66°50,660'	V	16	0	0	17,6	0	0	124	0	0	0	0	0	4	0	0	0
Capucins	60 G	12/06/2006	49°2,728'	66°51,397'	M	16	0	0	94,4	0	0	168	0	0	0	0	0	4	0	0	0
Capucins	61 G	12/06/2006	49°2,727'	66°51,336'		16	16	0	448,7	448,7	0	0	0	0	0	0	0	0	0	0	0
Capucins	62 G	12/06/2006	49°2,724'	66°51,277'	S	4	0	0	1,6	0	0	0	0	0	0	0	0	0	0	0	0
Capucins	63 G	13/06/2006	49°2,723'	66°51,152'	Sv	340	24	16	2003,7	554,9	1,6	488	0	0	0	0	0	0	0	0	0
Capucins	64 G	13/06/2006	49°2,723'	66°51,090'	Sv	240	16	4	991,1	388,2	0,4	0	0	4	0	0	0	0	0	0	0
Capucins	65 G	13/06/2006	49°2,722'	66°51,029'	Sv	208	4	0	616,8	89,2	0	136	0	4	0	0	0	4	0	0	0
Capucins	66 G	13/06/2006	49°2,720'	66°50,968'	Sv	260	4	0	768,3	70,5	0	252	0	16	0	0	0	0	0	0	0

Annexe 3. (suite).

Site	Station[1]	Date	Latitude	Longitude	Séd[2]	Densité[3]			Rendement[4]			Macrobenthos[5]									
			(N)	(W)		11p	legal	juv	11p	legal	juv	Ma	Me	My	Bu	Li	Te	Po	St	Ps	Zo
Capucins	67 G	13/06/2006	49°2,718'	66°50,907'	Sv	156	0	0	320,7	0	0	256	0	0	0	0	0	0	0	0	0
Capucins	68 G	13/06/2006	49°2,718'	66°50,845'	Sv	16	0	8	6,7	0	0,7	68	0	4	0	0	0	0	0	0	0
Capucins	69 G	13/06/2006	49°2,717'	66°50,784'	Vs	124	0	0	202,8	0	0	100	0	0	0	0	0	0	0	0	0
Capucins	70	13/06/2006	49°2,715'	66°50,723'	V	0	0	0	0	0	0	4	0	0	0	0	0	0	0	0	50
Capucins	71	13/06/2006	49°2,713'	66°50,662'	V	0	0	0	0	0	0	0	0	0	0	0	0	0	0	0	40
Capucins	72	12/06/2006	49°2,688'	66°51,461'	Sv	0	0	0	0	0	0	0	0	0	0	0	0	0	0	0	0
Capucins	73	12/06/2006	49°2,687'	66°51,400'	Sg	0	0	0	0	0	0	0	0	0	0	0	0	0	0	0	2
Capucins	74 G	12/06/2006	49°2,685'	66°51,337'	Sg	464	0	108	161,6	0	10,5	260	0	0	0	0	0	8	0	0	0
Capucins	75 G	12/06/2006	49°2,685'	66°51,276'	Sg	0	0	0	0	0	0	96	0	0	0	0	0	4	0	0	0
Capucins	76 G	13/06/2006	49°2,683'	66°51,215'	Sv	280	48	100	1912,2	1034,0	9,9	564	0	0	0	0	0	0	0	0	0
Capucins	77 G	13/06/2006	49°2,682'	66°51,154'	Sv	196	0	20	606,1	0	1,8	328	0	0	0	0	0	0	0	0	0
Capucins	78 G	14/06/2006	49°2,682'	66°51,092'	Sv	356	0	12	1103,4	0	1,3	136	0	28	0	0	0	4	0	0	0
Capucins	79 G	13/06/2006	49°2,680'	66°51,031'	S	240	4	4	1047,4	74,9	0,4	4	0	0	0	0	0	0	0	0	0
Capucins	80 G	13/06/2006	49°2,678'	66°50,970'	Sv	76	0	4	212,4	0	0,4	100	0	20	0	0	0	0	0	0	0
Capucins	81 G	13/06/2006	49°2,678'	66°50,908'	Sv	16	0	0	20,4	0	0	36	0	0	0	0	0	0	0	0	0
Capucins	82 G	13/06/2006	49°2,677'	66°50,847'	Sv	52	0	0	105,9	0	0	8	0	0	0	0	0	8	0	0	0
Capucins	83 G	13/06/2006	49°2,675'	66°50,786'	Vs	20	0	0	27,3	0	0	24	0	0	0	0	0	0	0	0	40
Capucins	84 G	13/06/2006	49°2,673'	66°50,725'	V	12	0	0	13,9	0	0	16	0	0	0	0	0	0	0	0	60
Capucins	85	13/06/2006	49°2,673'	66°50,663'	Vs	0	0	0	0	0	0	0	0	0	0	0	0	0	0	0	0
Capucins	86	12/06/2006	49°2,648'	66°51,525'	Sg	0	0	0	0	0	0	0	0	0	0	0	0	0	0	0	5
Capucins	87	12/06/2006	49°2,648'	66°51,463'	M	0	0	0	0	0	0	0	0	0	0	0	0	0	0	0	0
Capucins	88 G	12/06/2006	49°2,647'	66°51,401'	Sv	260	88	92	2956,3	1890,1	8,5	312	0	0	0	0	0	0	0	0	0
Capucins	89 G	13/06/2006	49°2,645'	66°51,339'	Sv	128	36	0	1571,6	861,4	0	0	0	0	0	0	0	0	0	0	0
Capucins	90 G	13/06/2006	49°2,643'	66°51,278'	Sv	148	56	4	2450,3	1532,0	0,4	448	0	0	0	0	0	0	0	0	0
Capucins	91 G	13/06/2006	49°2,643'	66°51,216'	Sv	204	16	8	1343,5	309,0	0,9	328	0	0	0	0	0	0	0	0	0
Capucins	92 G	13/06/2006	49°2,642'	66°51,155'	S	152	8	0	1007,9	154,7	0	156	0	0	0	0	0	0	0	0	0
Capucins	93 G	13/06/2006	49°2,640'	66°51,094'	Sg	52	0	12	72,2	0	1,2	40	0	4	0	0	0	0	0	0	0
Capucins	94 G	13/06/2006	49°2,640'	66°51,033'	Vs	164	0	8	647,8	0	0,6	44	0	0	0	0	0	4	0	0	0
Capucins	95 G	13/06/2006	49°2,638'	66°50,972'	V	12	0	0	14,2	0	0	4	0	4	0	0	0	4	0	0	0
Capucins	96	13/06/2006	49°2,637'	66°50,910'	V	0	0	0	0	0	0	0	0	0	0	0	0	0	0	0	15
Capucins	97	13/06/2006	49°2,637'	66°50,848'	V	0	0	0	0	0	0	0	0	0	0	0	0	0	0	0	60
Capucins	98	13/06/2006	49°2,635'	66°50,788'	V	0	0	0	0	0	0	0	0	0	0	0	0	0	0	0	30
Capucins	99	13/06/2006	49°2,633'	66°50,726'	Sg	0	0	0	0	0	0	0	0	0	0	0	0	4	0	0	0
Capucins	100	12/06/2006	49°2,608'	66°51,527'	V	0	0	0	0	0	0	0	0	0	0	0	0	0	0	0	30
Capucins	101	12/06/2006	49°2,607'	66°51,464'	Sg	0	0	0	0	0	0	0	0	0	0	0	0	0	0	0	2
Capucins	102	13/06/2006	49°2,607'	66°51,403'	Sg	0	0	0	0	0	0	0	0	0	0	0	0	0	0	0	0

Annexe 3. (suite).

Site	Station[1]	Date	Latitude	Longitude	Séd[2]	Densité[3]			Rendement[4]			Macrobenthos[5]									
			(N)	(W)		11p	legal	juv	11p	legal	juv	Ma	Me	My	Bu	Li	Te	Po	St	Ps	Zo
Capucins	103	13/06/2006	49°2,605'	66°51,341'	Sv	0	0	0	0	0	0	20	0	0	0	0	0	0	0	0	0
Capucins	104 G	13/06/2006	49°2,605'	66°51,279'	Sv	124	0	8	654,7	0	0,8	36	0	0	0	0	0	4	0	0	0
Capucins	105 G	13/06/2006	49°2,603'	66°51,218'	Sv	100	4	16	460,9	70,5	1,6	140	0	0	0	0	0	0	0	0	0
Capucins	106 G	13/06/2006	49°2,602'	66°51,157'	Sg	40	0	4	172,5	0	0,4	60	0	0	0	0	0	0	0	0	0
Capucins	107 G	13/06/2006	49°2,600'	66°51,096'	Sv	44	0	8	159,9	0	0,8	60	0	0	0	0	0	0	0	0	0
Capucins	108	13/06/2006	49°2,600'	66°51,034'	V	0	0	0	0	0	0	0	0	0	0	0	0	0	0	0	15
Capucins	109 G	13/06/2006	49°2,598'	66°50,973'	Sv	24	0	4	32,9	0	0,4	172	0	0	0	0	0	0	0	0	0
Capucins	110	13/06/2006	49°2,597'	66°50,911'	V	0	0	0	0	0	0	0	0	0	0	0	0	0	0	0	30
Capucins	111	13/06/2006	49°2,597'	66°50,850'	Vs	0	0	0	0	0	0	96	0	0	0	0	0	4	0	0	0
Capucins	112	12/06/2006	49°2,567'	66°51,467'	Sg	0	0	0	0	0	0	0	0	0	0	0	0	0	0	0	0
Capucins	113	13/06/2006	49°2,568'	66°51,406'	S	0	0	0	0	0	0	0	0	0	0	0	0	0	0	0	0
Capucins	114 G	13/06/2006	49°2,565'	66°51,343'	Sv	32	0	0	228,6	0	0	28	0	0	0	0	0	0	0	0	0
Capucins	115 G	13/06/2006	49°2,563'	66°51,281'	Sv	48	0	0	135,9	0	0	252	0	0	0	0	0	0	0	0	0
Capucins	116 G	13/06/2006	49°2,562'	66°51,220'	Sv	44	0	4	159,5	0	0,3	264	0	0	0	0	0	0	0	0	0
Capucins	117 G	13/06/2006	49°2,562'	66°51,159'		48	0	0	162,4	0	0	0	0	0	0	0	0	0	0	0	0
Capucins	118	13/06/2006	49°2,560'	66°51,097'	V	0	0	0	0	0	0	0	0	0	0	0	0	0	0	0	50

[1] : G = identifie les stations présentes sur le gisement.
[2] : Type de sédiments, V = vase ; Vs = vase sableuse ; Sv = sable vaseux ; S = sable ; Sg = sable graveleux ; M = sédiment mixte ; R = roches.
[3] : Densité des myes (nombre/m^2), 11p = de taille ≥ 11 mm ; légal = ≥ 51 mm ; juv = < 11 mm.
[4] : Rendement des myes (g/m^2), 11p = de taille ≥ 11 mm ; légal = ≥ 51 mm ; juv = < 11 mm.
[5] : Densité du macrobenthos (nombre/m^2), Ma = *Macoma balthica* ; Me = *Mesodesma arctatum* ; My = *Mytilus edulis* ; Bu = *Buccinum undatum* ; Li = *Littorea littorea* ; Te = *Tectura testudinalis* ; Po = Polychaeta ; St = *Strongylocentrotus droebachiensis* ; Ps = *Pseudopleuronectes americanus* ; Zo = Pourcentage de recouvrement par *Zostera marina*.

Annexe 4. Paramètres des relations allométriques linéaires entre différentes variables et la longueur pour les myes communes (*Mya arenaria*) par gisement échantillonné en 2006 et valeur estimée de chaque variable dépendante pour une mye de 51 mm.

Relation allométrique	Équation	R^2	Comparaison[1]	Valeur à 51 mm
Largeur vs longueur				
Pointe des Riou	$y = 0{,}626\ x + 0{,}159$	0,98	a	32,1 mm
Rimouski	$y = 0{,}617\ x + 0{,}479$	0,99	a	31,9 mm
Capucins	$y = 0{,}624\ x + 0{,}796$	0,99	b	32,6 mm
Épaisseur vs longueur				
Pointe des Riou	$y = 0{,}397\ x - 0{,}351$	0,97	a	19,9 mm
Rimouski	$y = 0{,}405\ x - 0{,}525$	0,97	a	20,1 mm
Capucins	$y = 0{,}398\ x - 0{,}406$	0,98	a	19,9 mm
Poids entier humide vs longueur				
Pointe des Riou	$\ln(y) = 3{,}121 \ln(x) - 9{,}509$ ($y = 0{,}00074\ (x^{3{,}121})$) *	0,98	b	15,8 g
Rimouski	$\ln(y) = 3{,}087 \ln(x) - 9{,}315$ ($y = 0{,}00090\ (x^{3{,}087})$)	0,99	a	16,8 g
Capucins	$\ln(y) = 3{,}112 \ln(x) - 9{,}368$ ($y = 0{,}00085\ (x^{3{,}112})$)	0,99	a	17,6 g
Viscères secs vs longueur				
Pointe des Riou	$\ln(y) = 3{,}013 \ln(x) - 12{,}465$ ($y = 0{,}00004\ (x^{3{,}013})$)	0,97	≠	0,5 g
Rimouski	$\ln(y) = 3{,}239 \ln(x) - 13{,}204$ ($y = 0{,}00002\ (x^{3{,}239})$)	0,98	≠	0,6 g
Capucins	$\ln(y) = 3{,}133 \ln(x) - 13{,}285$ ($y = 0{,}00002\ (x^{3{,}133})$)	0,98	≠	0,4 g
Coquilles sèches vs longueur				
Pointe des Riou	$\ln(y) = 3{,}145 \ln(x) - 10{,}218$ ($y = 0{,}00037\ (x^{3{,}145})$)	0,98	a	8,6 g
Rimouski	$\ln(y) = 3{,}078 \ln(x) - 10{,}050$ ($y = 0{,}00043\ (x^{3{,}078})$)	0,98	a	7,8 g
Capucins	$\ln(y) = 3{,}119 \ln(x) - 10{,}177$ ($y = 0{,}00038\ (x^{3{,}119})$)	0,99	a	8,1 g

[1] : Comparaison des relations linéaires, où ≠ identifie des pentes différentes et des lettres identiques identifient des ordonnées à l'origine similaires (α de 0,01).

* : Équation exponentielle pour les relations ln x ln.

Annexe 5. Superficie, densité (± erreur-type) des myes communes (*Mya arenaria*) par catégorie de tailles des gisements du Québec inventoriés entre 2001 et 2005.

Gisement	Superficie (km^2)	Densité (≥ 11 mm) (myes/m^2)		Densité (≥ 51 mm) (myes/m^2)	
		Moyenne	Maximale	Moyenne	Maximale
Côte Nord					
Moulin à Baude 2002 [1]	0,48	48,9	224	26,9	180
Baie des Chevaux 2002 [1]	1,47	167,8	600	7,6	68
Betsiamites 2005 [1]					
Pointe aux Outardes 2003 et 2004 [1]	6,51	38,7	288	13,5	196
Mingan 2001 [2]	0,47	52,6	252	24,3	144
Îles-de-la-Madeleine [3]					
Havre-aux-basques 2001	2,20	201,8	1 292	0,1	4
Havre-aux-Maisons 2003	1,14	112,0	844	7,1	192
Dune-du-Nord 2003	0,47	81,4	544	0	0
Pointe-aux-Loups 2003	0,65	157,3	948	8,5	52
Dune-du-Sud 2003	0,38	92,8	472	7,0	32
Sud de la Gaspésie [4]					
Bassin de la rivière Nouvelle 2002	1,20	60,9	432	10,0	112
Carleton centre 2002	0,11	12,9	60	0,9	16
Clapperton 2002	0,20	1,4	32	0,2	8
Pointe Verte (Maria) 2001	0,20	29,6	172	1,9	24
Bonaventure ouest 2002	0,16	15,0	128	5,8	64
Port-Daniel 2002	0,38	83,7	428	18,2	176
Baie du Grand Pabos 2002	0,49	48,1	404	7,9	112
Estuaire de la rivière Malbaie 2002	0,31	115,9	452	40,6	180
Estuaire de la rivière Saint-Jean 2002	0,52	87,8	396	14,4	156

[1] = Données préliminaires, M. Giguère, MPO Mont-Joli, données non publiées.
[2] = Brulotte et Giguère 2003.
[3] = Brulotte *et al.* 2006.
[4] = Roy *et al.* 2003.

Annexe 6. Historique des informations relatives aux différents gisements de mye commune (*Mya arenaria*) de la rive sud de l'estuaire du Saint-Laurent.

Site	Auteurs	Superficie (km^2)	Biomasse (≥ 50mm) (t)	Densité (≥ 50mm) ($myes/m^2$)	Densité totale ($myes/m^2$)
Anse au Persil	Lavoie 1966 [1]	0,5			
Île Verte	Biorex 1992	2,81	540		F et M [2]
	Biorex 1999	2,41			
Anse de l'île Verte	Biorex 1992	3,7	498		
Batture de Tobin	Biorex 1992	1,1	148		F
	Lavoie 1967			(max 52)	
	Lavoie 1966	7,0	6 074	129 boisseaux/acre	
Îlets D'Amours	Biorex 1999	1,0			
Pointe des Riou	Biorex 1992 et 1999	0,72	102		F et M
Baie du Ha! Ha!	Lavoie 1967	1,2		(max 80)	
	Biorex 1992 et 1999	0,5	67		F
	Roseberry 1988				68
	Lavoie 1966	1,2	1 116	138 boisseaux/acre	
Anse à l'Orignal	Biorex 1992 et 1999	0,57	184		F et E
	Tremblay 1990 [3]				88 (max 330)
	Roseberry 1988				177 (max 590)
Anse à Mercier	Roseberry 1988				104
Anse aux Bouleaux	Roseberry 1988				44
Baie Hâtée	Lavoie 1966			(max 36)	44 à 116
Havre du Bic	Biorex 1992 et 1999	1,45	707		M et E
	Roseberry 1988				104
Anse au Sable	Biorex 1992	0,11	58		M et E
	Biorex 1999	2,09			
Rimouski	Biorex 1992	1,98	415		F et M
	Lavoie 1966			(max 111)	82 à 261
	Lavoie 1967			(max 152)	
Rade de Rimouski	Biorex 1992 et 1999	0,68	258		F et E
Rimouski coté est	Desrosiers et Brêthes 1984	3	24 800 myes		(max 3 264)
Grand Rimouski	Lavoie 1966	13		(max 156)	(max 536)
	Lavoie 1966	13	14 355	164 boisseaux/acre	
Anse aux Coques	Biorex 1992 et 1999	0,63	93		F et M
Baie Mitis	Biorex 1992 et 1999	0,57	195		F et M
	Vaillancourt et Lafontaine 1999			(max 48)	0 à 346
	Lavoie 1966	4,8 [4]		(max 96)	40 à 436
	Lavoie 1966	0,64			

Annexe 6. (suite).

Site	Auteurs	Superficie (km^2)	Biomasse (≥ 50mm) (t)	Densité (≥ 50mm) ($myes/m^2$)	Densité totale ($myes/m^2$)
Grand-Métis	Lavoie 1966			(max 28)	72 à 304
Anse du Petit Mitis	Biorex 1992	0,68	307		F et E
	Lavoie 1966	1,5		(max 224)	4 à 496
	Lavoie 1966	0,6	7 354	177 boisseaux/acre	
Capucins	Lavoie 1966			12 à 80	76 à 156
	Lavoie 1966	0,02			
	Lavoie 1966	0,7	599	127 boisseaux/acre	
	Biorex 1992	0,22	148		E

[1] : Données non publiées de Lavoie 1966, cité dans Andersen et Gagnon 1980, Bourget et Messier 1976 et en partie dans Lavoie 1967.
[2] : Abondance qualitative selon le nombre de trous de myes (F=0 à 20/m^2, M=3 à 60/m^2 et E= 20 à 60+/m^2).
[3] : À petite échelle, superficie couverte de 45 m x 45 m.
[4] : Superficie pour l'ensemble de la baie Mitis.